



Prof.* Dr. med. Enrico Edinger

*Honorary professor at the Medical Institute of Traditional and Nontraditional Medicine
(Dnepropetrovsk, Ukraine)

Mitglied der „ Medizinischen wissenschaftlichen Gesellschaft Odessa an der Europäischen Akademie der Wissenschaften der Ukraine“

Facharzt für Neurologie und Psychiatrie, Psychotherapie

Tätigkeitsschwerpunkte: Energie- und Raumfahrtmedizin, Psychoneuroimmunologie, Hypnose, Sexualmedizin, Akupunktur, Regulationsmedizin

KONTAKT
Internationale Akademie für
Regulationsmedizin und
Bewusstseinsforschung
Bonner Straße 10 53424
Rolandseck Telefon: +49 (0)2228
91 34 50 E-Mail: info@inakarb.de

**Schutz vor Impfadjuvantien, Spike
Proteinen und Impfnebenwirkungen
Einige Vorschläge**

www.inakarb.de



Erkenntnisse und Wissen aus der Raumfahrtmedizin

Von der Prävention, Leistungssteigerung und
Gesundheit unter höchster Belastung bis zur
Verjüngung und neuer Bewusstseinsentwicklung



Ulf Merbold und Kosmonaut Valery Polyakov bei Experimenten auf der Mir im Oktober 1994. Bild ESA

**Nach 437 Tagen im All,
zurück auf der Erde:
Der Astronaut Valery Polyakov
verlässt im Handstand
die Raumkapsel –
und um 22,3 Prozent
verjüngt dank verschiedener
Verfahren der
Raumfahrtmedizin***

* gemessen an der DNA der Mundschleimhaut

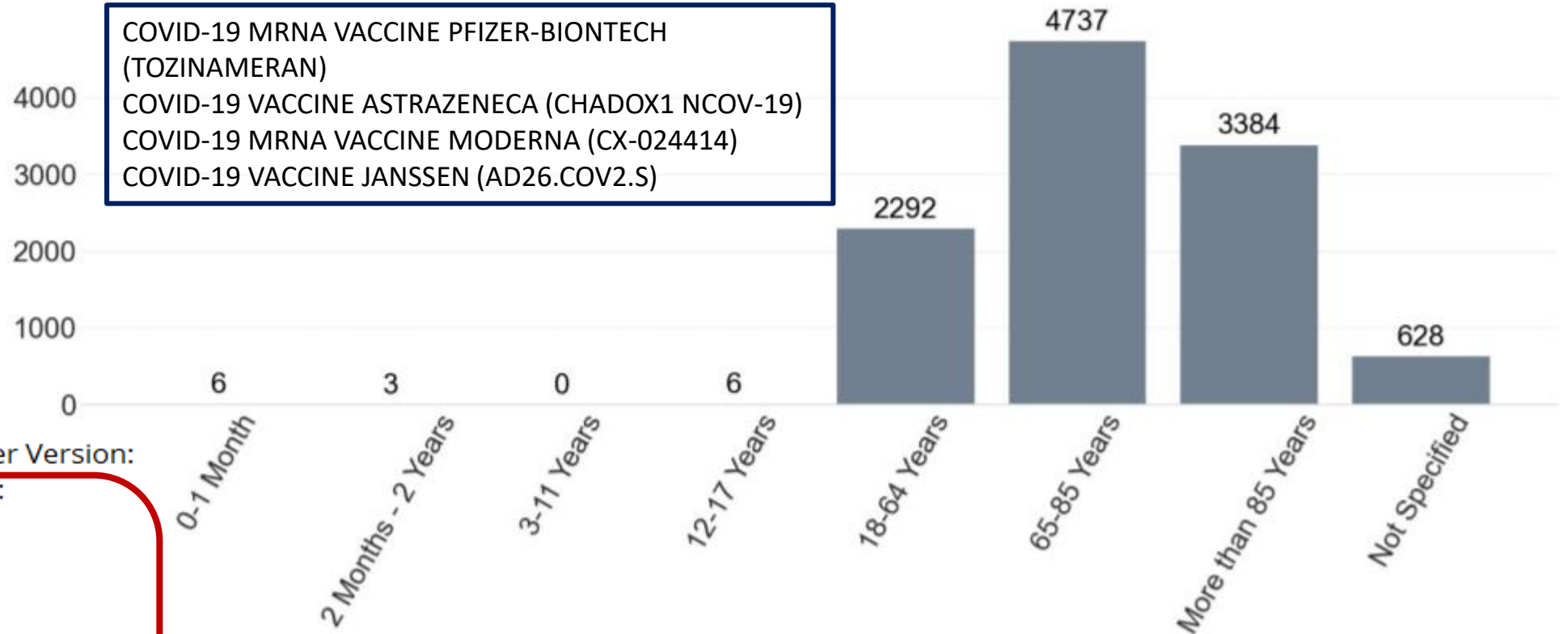
- 437 Tage - Waleri Poljakow
- 379 Tage - Sergei Awdejew
- 365 Tage - Wladimir Titow/
Mussa Manarow
- 340 Tage - Scott Kelly/Michail
Kornijenko
- 326 Tage - Juri Romanenko
- 311 Tage Sergei Krikaljow
- 289 Tage - Peggy Whitson
- 240 Tage - Waleri Poljakow

Hauptmechanismen bei der Abwehr von Impfstoff - Nebenwirkungen und Spike Protein

- I. Physikalischer Aspekt
- II. biochemischer Aspekt
- III. Seelisch – psychisch
mentaler Aspekt



Todesfälle nach Altersgruppen



COVID-19 MRNA VACCINE PFIZER-BIONTECH (TOZINAMERAN)
 COVID-19 VACCINE ASTRAZENECA (CHADOX1 NCOV-19)
 COVID-19 MRNA VACCINE MODERNA (CX-024414)
 COVID-19 VACCINE JANSSEN (AD26.COVS.2)

Daten-Aktualisierungen in dieser Version:

- Aktualisierung der EMA-Daten:
 -> 628.426 Fälle (+38.130)
 -> **10.188 Todesfälle (+639)**
 -> 166.790 schwerwiegende Nebenwirkungen (+13.990)
- Aktualisierung der Daten aus den nationalen Sicherheitsberichten
 -> Meldedifferenz der EMA-Daten zu den nationalen Sicherheitsberichten bei 32,7 %.
 -> **Deutschland leitet nur 33% seiner Fallmeldungen an die EMA weiter.**

: 09.07.2021

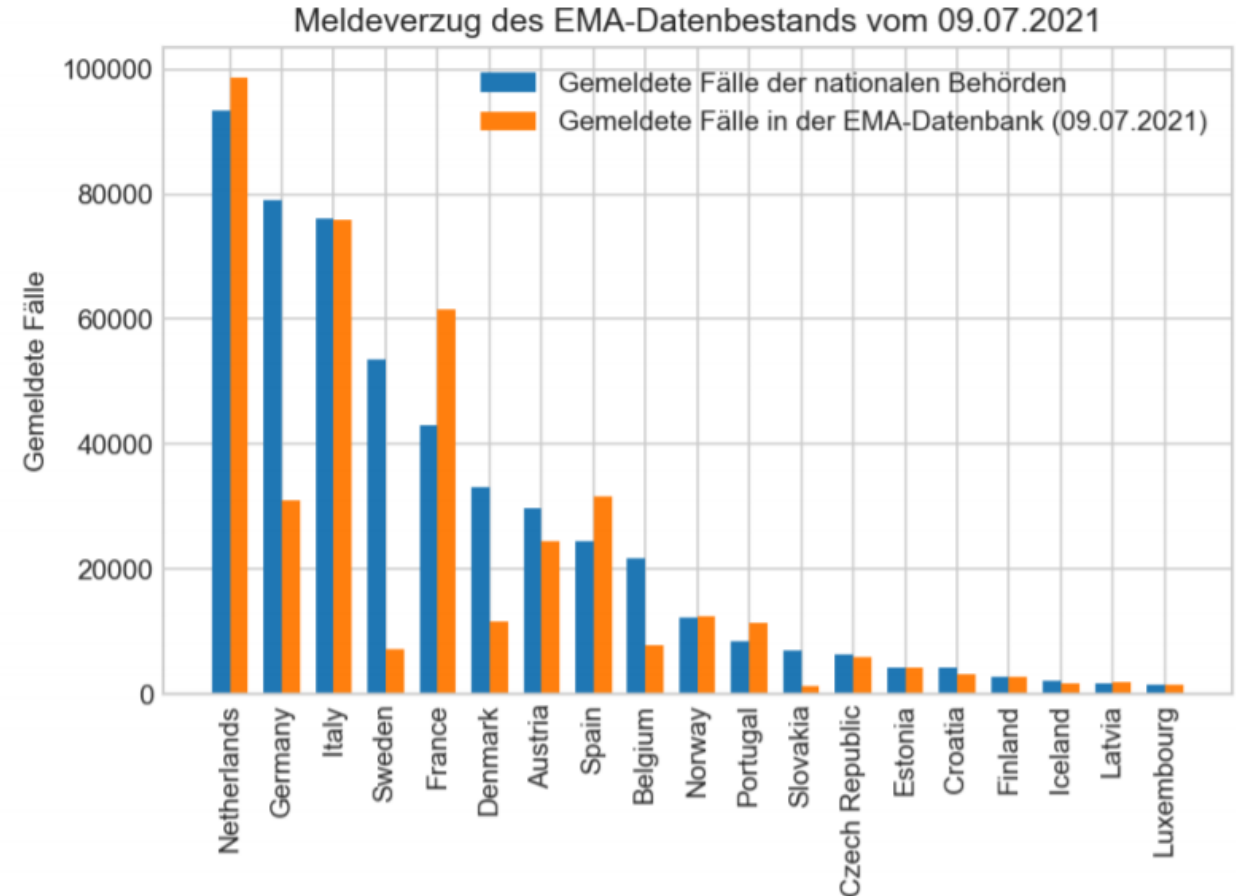
Tagesreport schwerwiegender Nebenwirkungen der Covid-19-Impfungen

Europäische Datenbank gemeldeter Verdachtsfälle von Arzneimittelnebenwirkungen Datenstand: **09.07.2021**

Tabellarische Darstellung der Meldeverzögerungen nationaler Sicherheitsbehörden

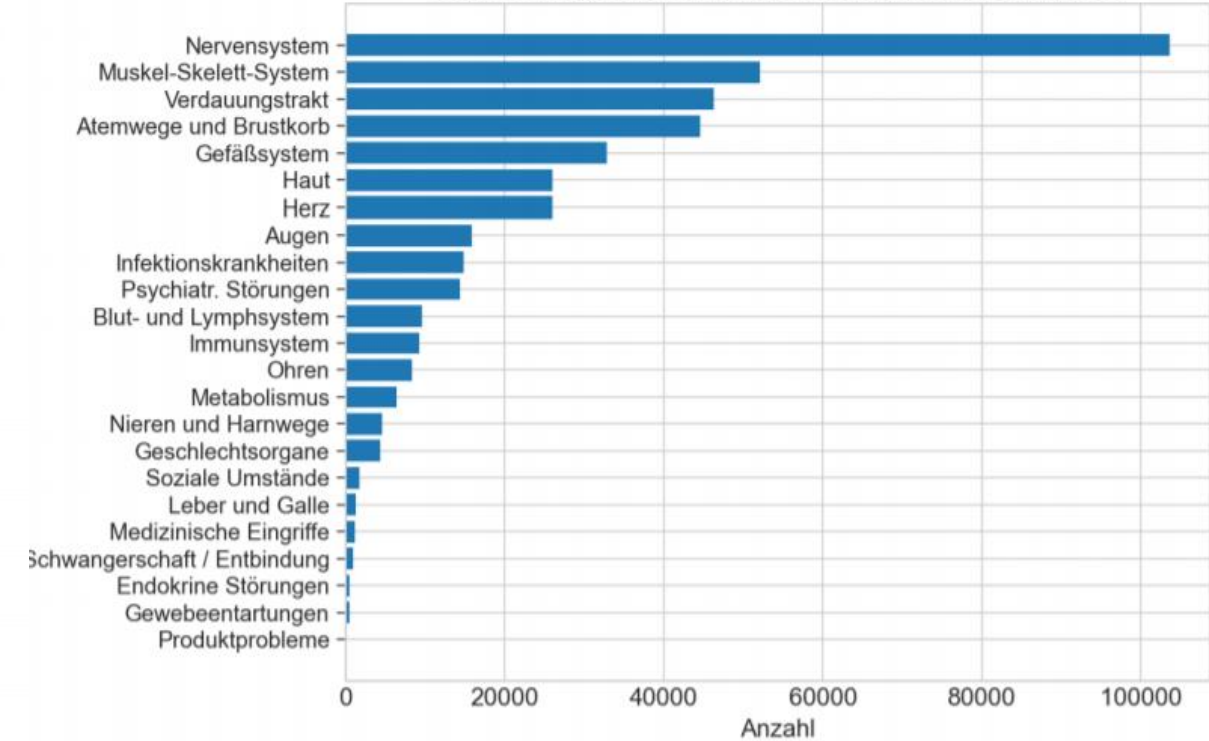
Land	Behörde	Nationales Berichtsdatum	Fallzahl Bericht	Fallzahl EMA	Abweichung
Netherlands	Lareb	04.07.2021	93453	98548	-5 %
Germany	Paul Ehrlich Institut	31.05.2021	79106	31045	155 %
Italy	AIFA	26.06.2021	76206	75833	0 %
Sweden	Lakemedelsverket	07.07.2021	53570	7255	638 %
France	ANSM	03.06.2021	43050	61574	-30 %
Denmark	Laegemiddelstyrelsen	09.05.2021	33092	11689	183 %
Austria	Bundesamt fuer Sicherheit im Gesundheitswesen	25.06.2021	29649	24433	21 %
Spain	AEMPS	30.05.2021	24491	31725	-23 %
Belgium	afmps	01.07.2021	21677	7814	177 %
Norway	Legemiddelverket	06.07.2021	12257	12496	-2 %
Portugal	SNS	27.06.2021	8470	11394	-26 %
Slovakia	SUKL	12.07.2021	7028	1250	462 %
Czech Republic	SUKL	06.07.2021	6305	5843	8 %
Estonia	Ravimiamet	12.07.2021	4269	4167	2 %
Croatia	Halmed	12.07.2021	4262	3139	36 %
Finland	Fimea	30.06.2021	2675	2858	-6 %
Iceland	Lyfjastofnun	12.07.2021	2123	1642	29 %
Latvia	Zalu Valsts agentua	27.06.2021	1758	1976	-11 %
Luxembourg	Regierung LU	16.06.2021	1444	1552	-7 %

Übersicht der Meldeverzögerungen nationaler Sicherheitsbehörden

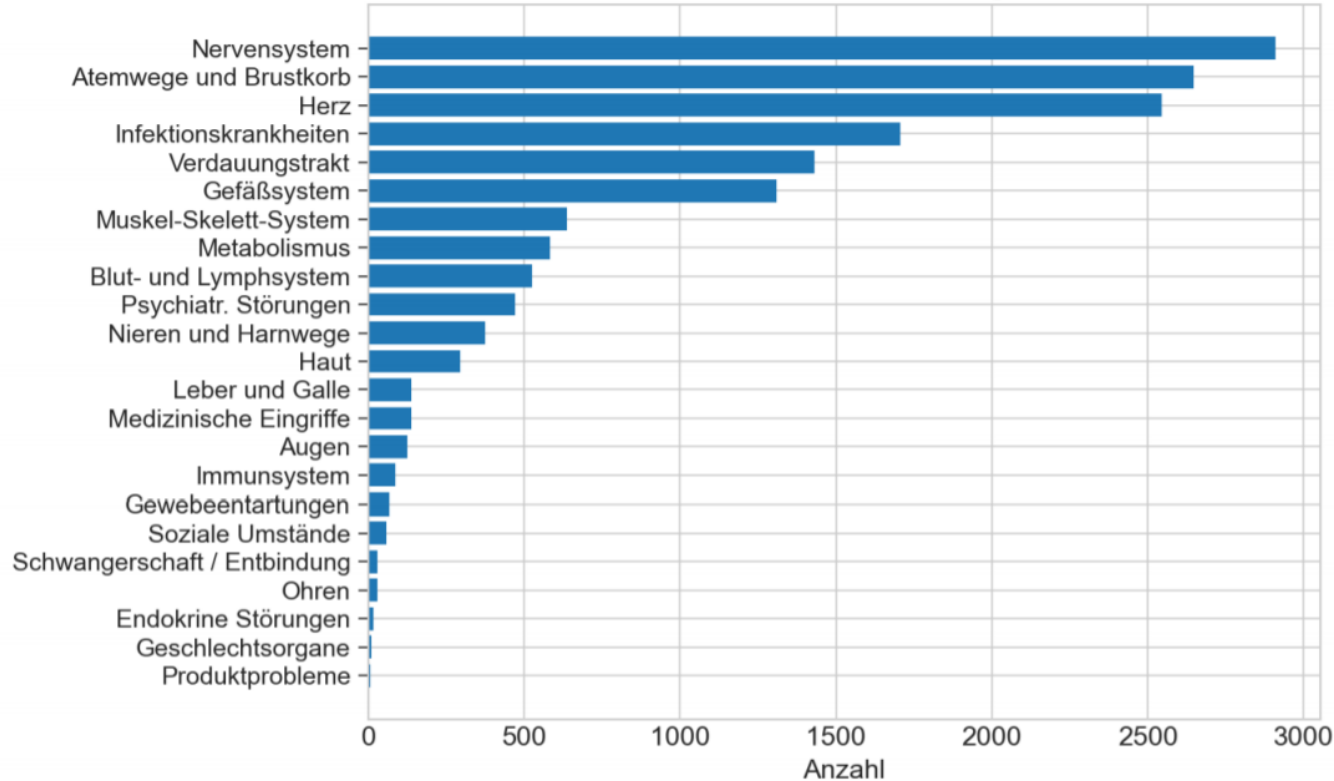


Schwerwiegende Fälle nach betroffener Organklasse

Schwerwiegende Fälle nach betroffener Organklasse



Todesfälle nach betroffener Organklasse



ad I. Physikalischer Aspekt

ein Mechanismus ist dass die **Millimeterwellen Frequenzen von 5G** nach Möglichkeit durch bestimmte physikalische Systeme so umgeformt oder transformiert bzw gedämpft werden können, dass sie im Körper keine Resonanz mehr erfahren.

Insbesondere von aussen eingebrachte Nanosysteme (Wasser, Lebensmittel, Chemtrials, 5G und Elektroporation) Systeme reagieren durch Magnetische, Elektrische und Thermografische Induktion von innen und aussen, dies sind v.a. **Impfadjvantien** in Form von meist **Nanobots** wie das

- **DARPA-GEL** in Verbindung mit Lithium
- **DIE Kationischen Peptide (Teil des PEGs, polyethylenglykols)**
- V.a.: das **GRAFENOXID** das nach Aussagen des spanischen Portals „Quinta columna“ mehr als 94% der Adjuvantien im Impfstoff ausmachen soll, sowohl ueber UVA (340nm) als auch über 5 G angesteuert werden kann

Nanobots , Lithium und DARPA- Gel:

Hergestellt über ein von DARPA-Gates, finanziertes Silicon Valley-Unternehmen, scheint für den kommenden **COVID-Impfstoff** vorgesehen zu sein. Das US-Verteidigungsministerium und die Bill and Melinda Gates Foundation haben in Zusammenarbeit mit Profusa, einem Unternehmen aus dem Silicon Valley, eine Nanotechnologie aus Hydrogel (ähnlich einer weichen Kontaktlinse) entwickelt, das mithilfe der Haut injiziert und unter die Haut implantiert werden kann, ein Impfstoff als Abgabesystem. Dieser Sensor (oder genauer gesagt ein Biosensor), der kleiner als ein Reiskorn ist, würde effektiv mit dem Körper verschmelzen. Als ein Stück Nanotechnologie würde es sich mit dem drahtlosen Netzwerk (dem 5G gesteuerten IoT oder Internet der Dinge) verbinden und sowohl Informationen über Sie und Ihren Körper an Behörden senden als auch Informationen empfangen. Dieser eine Artikel von Defense One wurde bereits im März 2020 berichtet, dass der Biosensor auf dem richtigen Weg sei, um Anfang 2021 die FDA-Zulassung zu erhalten. Dies ist ungefähr zu der Zeit, als uns mitgeteilt wurde, dass wir mit der Einführung des COVID-Impfstoffs rechnen sollen .

**COVID-19
sensor**



<https://www.businessinsider.com/military-sensor-skin-covid-darpa-19-2021-4>

Diese kleinen und weichen Sensoren wurden entwickelt, um die Körperchemie über Monate bis Jahre hinweg zu verfolgen, wenn sie unter die Haut eingeführt werden. Insider/Profusa

- Der winzige Sensor, der von DARPA unterstützt wurde, kann unter die Haut injiziert werden.
- Es überwacht ständig, ob der Körper krank ist und kann das Signal an einen Sensor weitergeben.
- Es erkennt COVID-19-Infektionen ein bis zwei Tage vor dem Auftreten von Symptomen, so die Hersteller.

Analyse von Teststäbchen aus Oberflächentests in der Slowakischen Republik - Bestätigung des Genozids

<https://docplayer.org/211030666-Analyse-von-teststaebchen-aus-oberflaechentests-in-der-slowakischen-republik-bestaetigung-des-genozids.html>

Eines der weiteren großen Probleme stellen die **Nanobots**, die ebenfalls den Impfstoffen verbunden sind, dar. Diese haben eine Größe von ca. **10 exp-9** also zu klein sie einfach entfernen zu können, setzen sich nach japanischen Studien in jedes Organ hinein, und werden aktiviert indem sie **Eisen** aus roten Blutkörperchen und anderen Zellen entfernen.

- Angeschaltet werden können Sie von außen über **Quantencomputer, Satelliten Handys WLAN** usw. Über **Silizium** und **Lithium** können Sie quasi in den **Synapsenspalt** d. h. via Bluetooth u. WLAN usw. in unsere Nerven eingebaut gesteuert werden

Hier betroffen sind auch das in den

- **Teststäbchen,**
- **der FFP2 Maske**
- **der Impfung**

verabreichte DARPA Gel, dass der Lage ist **90° kristalline Strukturen zu bilden**, sobald Nasensekret Schleim Dämpfe Blut o. ä. Ihnen in Verbindung kommt. Die

Teststäbchen der PCR Tests beispielsweise, sind so gearbeitet, dass sie an den Enden Partikel haben die die Schleimhaut der Nase auf ritzen und dann mittels ihrer 90° Strukturen Elektromagnetische Felder entwickeln die zum stärksten elektromagnetischen Feld des Körpers Nämlich der Zirbeldrüse wandern und diese dort zerstören!



Abbildung 1 und 2 Nylon-Hohlfasern am gebrochenen Ende der Testtupfer.

Abbildung 3. Zum Vergleich ein Bild einer klassischen Watte unter dem Mikroskop.

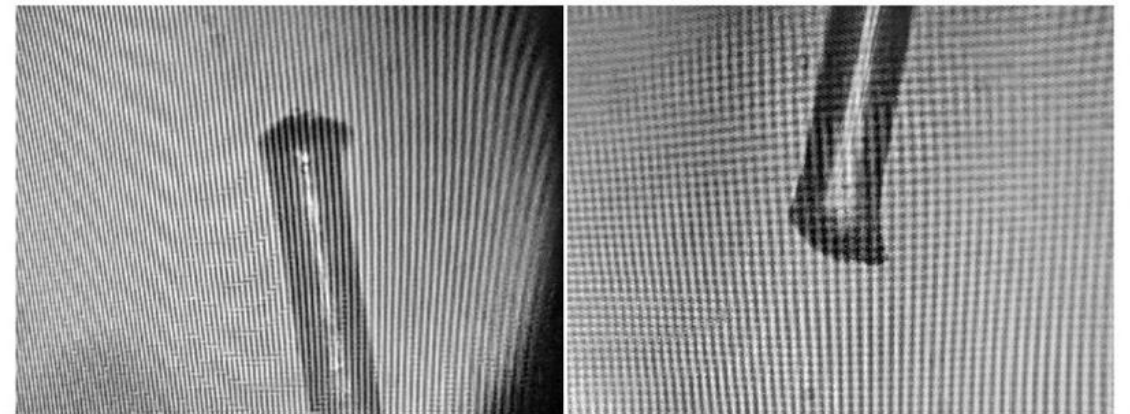


Abbildung 4 und 5 Gebrochene Enden - ihre Aufgabe ist es, das Epithel (Oberflächenschicht) auf der Schleimhaut zu stören, wodurch auch ihr Bruch und anschließendes Auslaugen des Fasergehalts - Darpa Hydrogel und Lithium. Die Gewinde sind patentiert [von Darpa].

Abbildung 10 bis 11. Nach Kontakt des Darpa Hydrogels mit organischen Flüssigkeiten (z.B. Speichel) beginnen sie innerhalb weniger Minuten rechteckige Kristallstrukturen zu bilden. Diese wachsen allmählich fraktal.

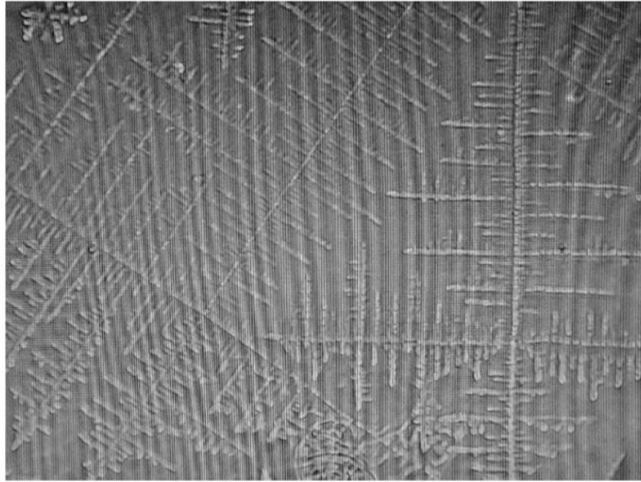


Abbildung 12. Ergebnis der Kristallisation nach 24 Stunden.



Abbildung 14. Darpa Hydrogel Kristalle wachsen unter dem Mikroskop in Richtung des Magnetfeldes. Im menschlichen Nasopharynx nach Tupfern wachsen in Richtung der Zirbeldrüse. Die Zirbeldrüse erzeugt ein lokal stärkeres Magnetfeld als die äußere magnetische Field der Erde.



Abbildung 17 3D. Darpa Hydrogel Kristalle. Dazu kam der menschliche Speichel mit Antikörpern auf der linken und dann auf der rechten Seite Ivermectin, siehe Abbildungen 18 und 19.

Darpa Hydrogel (Referenz) ist eine künstliche Substanz, die einen Konverter zwischen elektromagnetischem Signal und lebender Zelle, Gewebe und Organ erzeugt. Konvertiert ein elektromagnetisches Signal von einem Sender in ein Signal, das eine lebende Zelle versteht und responds. (siehe Foto von Käfer - Darpa Hydrogel wurde in diese Nervenstrukturen injiziert und war über ein Radio steuerbar).



Darpa
[darpa.mil](https://www.darpa.mil)

Die Defense Advanced Research Projects Agency ist eine Forschungs- und Entwicklungsagentur des US-Verteidigungsministeriums, die für die Entwicklung neuer Technologien für den Einsatz durch das Militär zuständig ist. Ursprünglich bekannt als Advanced Research Projects Agency, wurde die Agentur am 7. Februar 1958 von Präsident Dwight D. Eisenhower, Vereinigte Staaten von Amerika (USA)

Links

1) <https://www.copan.com>

2) <https://www.darpa.mil/work-with-us/covid-19> LINKS

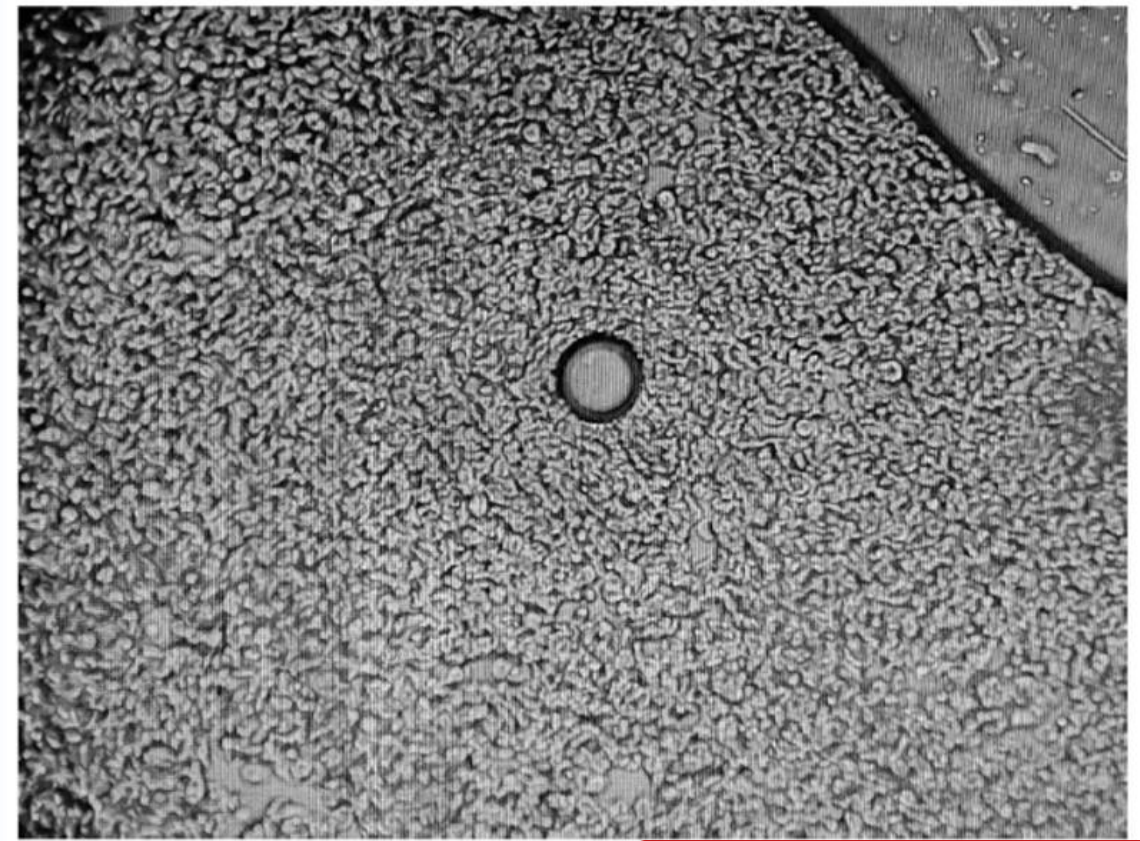
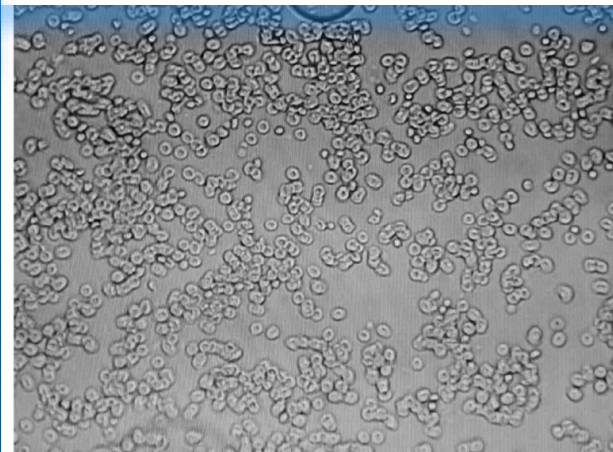


Abbildung 21. Die Zugabe von Darpa Hydrogel aus der Teststange führte zu einem totalen Massaker an roten Blutkörperchen.

Teststange führte zu einem totalen Massaker



normale rote
Blutkörperchen



Pathologische 90 Grad Winkel mit der Erzeugung von Entzündungen und Tumoren



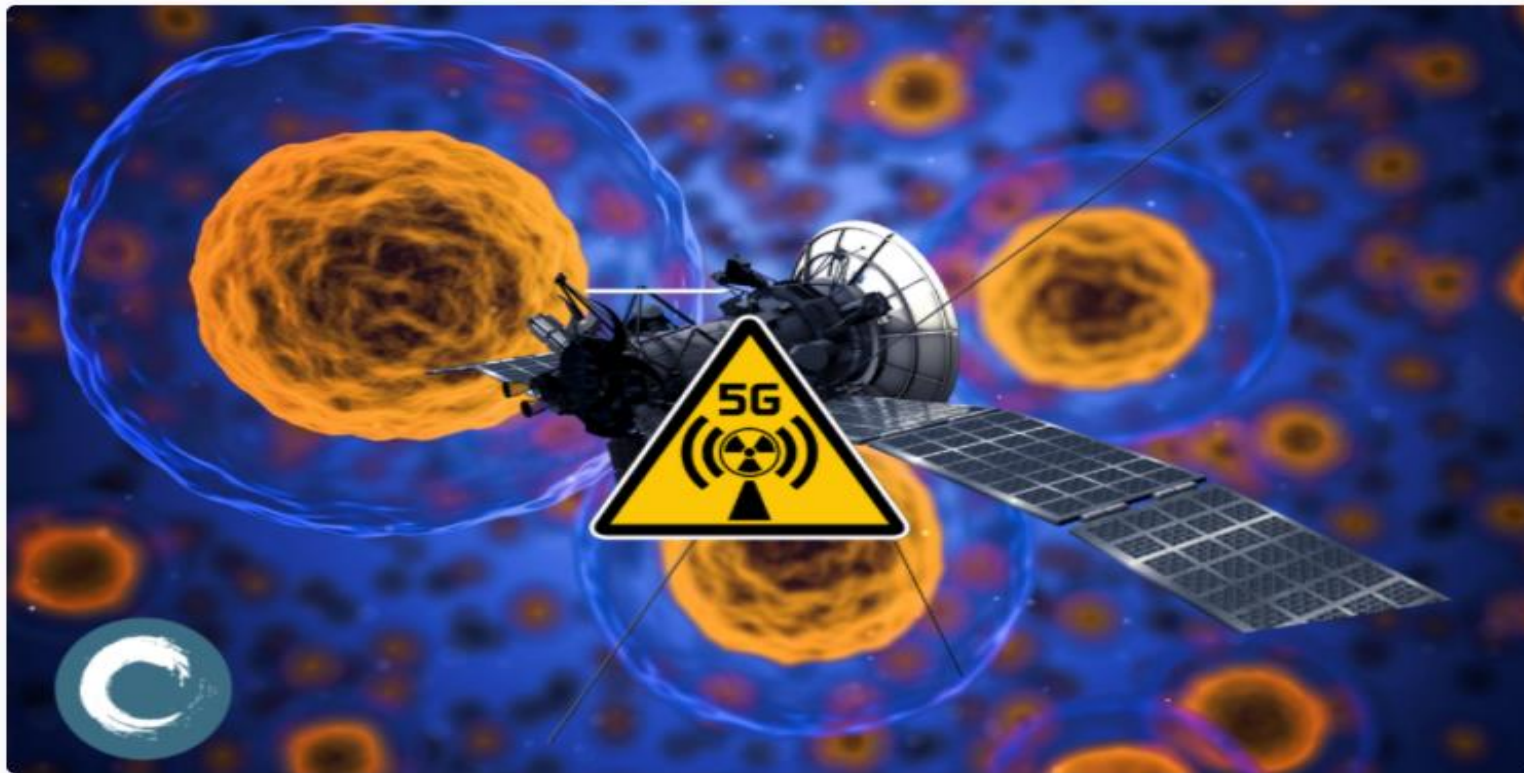
Der Raumharmonisierer, der starke 30/60 Grad – Winkel im Umkreis von 12 m aufbaut

DARPA-Gel in Impfstoffen, Masken und PCR-Stäbchen für unser System pathologische 90 Grad Winkel!



Blutkristallinat

einer Frau mit Brustkrebs



qimono-1962238, piro4d-2707530, dg-ra-4854875/pixabay

Gentechnisch hergestelltes „Magneto-Protein“ steuert Gehirn und Verhalten aus der Ferne „Knallharte“ neue Methode nutzt ein magnetisiertes Protein, um Gehirnzellen schnell, reversibel und nicht-invasiv zu aktivieren

17. Mai 2021 | Psychologie | Gesellschaft | Wissenschaft | Forschung | connectiv.events

Forscher in den USA haben eine neue Methode entwickelt, um die Gehirnschaltkreise zu kontrollieren, die mit komplexen Verhaltensweisen bei Tieren verbunden sind. Sie nutzen die Gentechnik, um ein magnetisiertes Protein zu erzeugen, das bestimmte Gruppen von Nervenzellen aus der Ferne aktiviert.



Die geimpften Lipid.
Nanopartikel enthalten
**Kationische
Peptide**

Dies ist eine grobe Zusammenfassung der Ausführung von Dr. Vanessa Schmidt-Krüger.

- erheblichen **Leberzellschädigung**, das sie **vacuolisieren** also in die **Apoptose** gehen. Normalerweise versucht die Leber diese Toxine zu entgiften jedoch ist die Masse das kationische Lipid es einfach zu hoch, zunächst versucht die kaum zu entgiften Gifte in einen Bereich der Zelle zu verschieben um die Zelle zu retten, jedoch die Masse der Toxine ist zu hoch. Diese vacuolisierten Zellen haben eigentlich keine Entgiftungsfunktion mehr **weshalb Leberzellen selbst Selbstmord** begehen. Transaminasenerhöhung als Zeichen der Leberzerstörung! Cave Tod bei Lebervorschädigung
- Reduktion der **Erythrozyten, des HB** und **Hämatokrit**, der **Reticulozyten** durch ROS
- Gerade **kationische Peptide** sind seit vielen Jahren als hochtoxisch bekannt und als DNA-zerstörend! **Interferon I ausgeschüttet Cytokine!** **Autoimmunität** zu aktivieren gegen körpereigene Bestandteile, , da das Immunsystem im Sinne einer Fehlantwort, da zu viel Gewebe abgestorben ist reagiert.

- Wirken toxisch, indem sie durch ihre **positive Ladung** **Brüche in der DNA** verursachen,
- sind verantwortlich für **die allergischen Reaktionen bis zum anaphylaktischen Schock, der tödlich** enden kann
- können die **Blut-Hirnschranke überwinden** u. zerstören die Astrogliazellen des **zentralen Nervensystems**, diese sind u.a. am Austausch von Nährstoffen und Stoffwechselprodukten zwischen den Nervenzellen und dem Blut beteiligt, Folge: kann z.B. die **Schädigung des Fazialisnerves sein mit Gesichtslähmung** bis zu 6 Monaten, **Blindheit**, MS, **Schlaganfälle** , **Entzündungen des Nervus Ischiadicus**, perineural etc.
- Sklerosierung des Gewebes im gesamten Körper, nicht nur an der Einstichstelle mit **fibrotischem Umbau des Bindegewebes** mit nachfolgender **Nekrotisierung** und **Funktionsverlust** des Gewebes statt, va also der Muskelfasern (Myofaserdegeneration).
- zerstört die Zellmembranen und produziert extreme **Mengen an Sauerstoffradikalen**, zudem erzeugt es eine verheerende Immunantwort D. h. die Zelle ist so stark geschädigt, dass sie in die **Apoptose** geht oder sich eine **Tumorzelle** umwandelt!
- **Bekannt ist das veränderte Zellen von Geimpften ausgeschieden werden können**, es gibt jedoch keine genauen Untersuchungen es gibt auch keine Umweltverträglichkeitsuntersuchungen.
- **veränderten Blutbildern** zum Beispiel ein Anstieg von **71 % des Alpha-2-Macroglobulins** durch die entsprechende Immunantwort mit **Entzündungsaktivität**, ein Anstieg des **Alpha -1-acetglycoprotein**, das typischerweise auftritt bei **besonders starken Entzündungen** im Gewebe
- **Anstieg von Fibrinogen** als Marke für die Entzündung der Blutgefäße und eine **Veränderung der Blutgerinnung** - Da bei diesen Prozessen die **Blutgefäßwand erodiert wird** Fibrinogen zur Kompensation zur Abdichtung der Blutgefäße gebildet. **Fibrinogen geht aber auch mit einer verstärkten Blutgerinnungsneigung Thrombosen Embolien** usw. einher **Anstieg der D-Dimere . teilweise Sinusvenenthrombosen.**

Da die **kationischen Lipide** sofort wirken beginnen auch die Nebenwirkungen sofort nach der Impfung. Der geimpfte Mensch kann eigentlich nur dann überleben, wenn er es schafft die kationischen Lipide zu beseitigen, was bei Vorerkrankungen eigentlich kaum möglich ist, und dies müsste eigentlich 4-5 Monate dauern, bei der ersten Impfung!

Lösung:

Das gewaltigste Problem der kationischen Lipide stellt die **wahnsinnige Bildung von Sauerstoff u. Stickstoffradikalen** da. Daher benötigt man zur Gegenwirkung Stoffe, die einen hohen **ORAC Wert** haben, (**ORAC** steht für "**Oxygen Radical Absorbance Capacity**", also die Fähigkeit, Sauerstoffradikale abzufangen.) Der **Wert** gibt an, wie viele freie Radikale pro Gramm Saft oder Frucht neutralisiert werden können, also einen Wert der die Anzahl der minusgeladenen Teilchen des Wirkstoffes angibt um radikale also Teilchen bei denen diese Minusladungen fehlen sogenannte Radikale, ausgleichen zu können. Eine der stärksten Produkte diesbezüglich sind folgende Stoffe:

- **Apigenin** (ORAC 30.000) 2-0-1 und **Luteolin** sowie **Quercetin**
- **Astaxantin** (6500 mal stärker als Vitamin C) 2-0-0
- **Tiamat TXT Technologie Produkt 3, Reis bzw. Erbsenprotein** mit Zusatzstoffen, ORAC-Wert 90.000) ein Sacht morgens und abends
- **Tiamat TXT Technologie Produkt 4, Lupinenproteinen mit Zusätzen**, (ORAC-Wert 100.000) , ein Sacht morgens und abends
- „**Alpha –H**“ stimuliert den Citratzyclus der Mitochondrien
- **Melatonin** ist einzigartig in der Lage die durch E-smog 1000 fach aktivierten Ca kanal - Vaporinkanäle zu blocken u damit den durch Inflammasome bedingten **Cytokinstorm** zusammen mit **Arginin** zu unterdrücken sowie die innere Mitochondrienmembran vor Zerriss zu schützen
- **NAC und Gluthathion und Methylenblau** verhindern das Andocken des Spike –Proteins an den ACE. 2 - Rezeptor
- **Terpene und deren Mischungen**, höchste je gemessene ORAC-Werte von mehr als **10 Millionen**, ca. zwei Schnapsgläschen täglich

Article

Flavonoids with Glutathione Antioxidant Synergy: Influence of Free Radicals Inflow

Igor Ilyasov ^{1,*}, Vladimir Beloborodov ¹, Daniil Antonov ¹, Anna Dubrovskaya ¹, Roman Terekhov ¹, Anastasiya Zhevlakova ¹, Asiya Saydasheva ¹, Vladimir Evteev ² and Irina Selivanova ¹

Quercetin-Glutathion.

Quercetin mit Glutathion zeigte ebenfalls Synergie. Auch hier stieg die beobachtete Synergie mit dem Glutathion-Gehalt, nahm bis zum Verhältnis 1:16 zu und nahm dann ab.

Das allgemeine Ausmaß der Synergie war weniger beträchtlich als im Fall der **Taxifolin-Glutathion** Kombinationen mit einem Maximalwert, der mit **51%** etwa halb so groß war (siehe Tabelle 3, Abbildung S5b).

Rutin-Glutathion. Die Kombinationen von Rutin mit Glutathion zeigten eine signifikante Synergie die im Allgemeinen nicht vom Verhältnis der Komponenten abhing. Das Ausmaß des Mischungseffekts war bei allen untersuchten Verhältnissen war fast gleich und betrug im Durchschnitt **68 ± 11%**

Vitair S.O.E



Die Forschung der letzten Jahrzehnte konnte zeigen, dass der Körper Sauerstoff an Zellmembranen, in Zellen und Zellorganellen in den **Singulett-Zustand** anregt und somit erst den Transport durch Membranen und das Bilden von Verbindungen mit anderen chemischen Elementen ermöglicht.

GRAFENOXID

[Qu et al., ACS Nano. 2013 Jul 23;7(7):5732-45]



Graphene oxide suggested to trigger programmed necrosis in macrophages through engagement of Toll-like receptors

Interaktionen von Graphenoxid mit angeborenen Immunzellen;
Biodegradation von Neutrophilen und Inflammasom-Aktivierung (produzieren Zytokinstorm und ARDS , lebensgefährliches Atemnotsyndrom)

Prof. Dr. Bengt Fadeel, Forschungsgruppenleiter, Nanosafety & Nanomedicine Laboratory, Division of Molecular Toxicology, Institute of Environmental Medicine, Karolinska Institutet, Stockholm, (S)

24. Immunogenität Toxizität und Sicherheit von Nanopartikeln

Lösung und Therapie

Hochdosierte Ros und RNOS- Fänger:

- Alpha H
- Terpenmischungen
- Tiamat produkt II.III u. IV mit Apigenin, Lupinen- und Erbsenprotein, biologischem Acerola und Arginin, Astaxanthin, Apigenin
- N- Acetyl- Cystein (NAC) mit Gluthathion und Zink
- Melatonin und Vit C

Bioflavonoide wie :

- Apigenin, Quercetin, Cranberry, Rutin
Vit A mit DHA

www.orwell.city



RICARDO DELGADO BIOESTADÍSTICO

Jose L. Sevillano

But when we check Google cache, which is this tool that the elite also use, we find out that the publication was made last night.

LUMNA TV. PAYPAL: www.paypal.com/paypalme/laquintacolumna

La Quinta Columna kommentiert das mysteriöse Patent, das versucht, die Verwendung von Graphenoxid als Trägerstoff in Impfstoffen zu normalisieren

Bibliographic data

Global Dossier

Applicants UNIV BEIJING TECHNOLOGY +
Inventors DONG XIAOXIAO; DOU XIANGNAN; HU QIN; SHENG WANG; YU BOYANG -
于渤洋; 盛望; 窦相南; 胡秦; 董晓筱;
DONG XIAOXIAO; DOU XIANGNAN; HU QIN; SHENG WANG; YU BOYANG

Classifications

IPC A61K39/12; A61K39/39; A61P31/12;
CPC A61K39/12 (CN); A61K39/39 (CN);
A61P31/12 (CN);
A61K2039/55583 (CN);

Priorities CN202011159718A-2020-10-26

Application CN202011159718A-2020-10-26

Publication CN112089834A-2020-12-18

Published as CN112089834A

Patente für COVID-Impfstoffe enthalten **GRAPHENOXID** in ihrer Zusammensetzung.

In verschiedenen chinesischen, koreanischen etc. Patentanmeldungen ist Graphen eindeutig als Bestandteil von Covid-Impfstoffen enthalten.

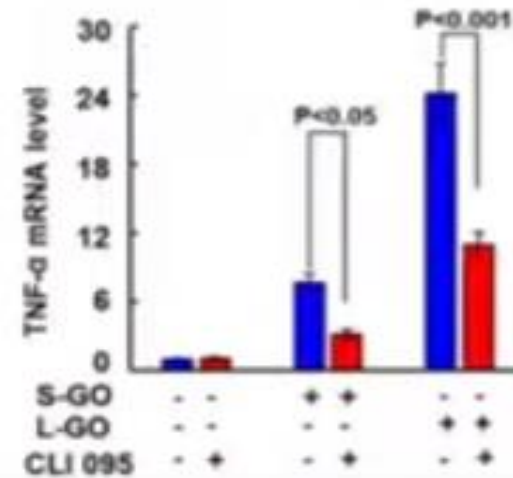
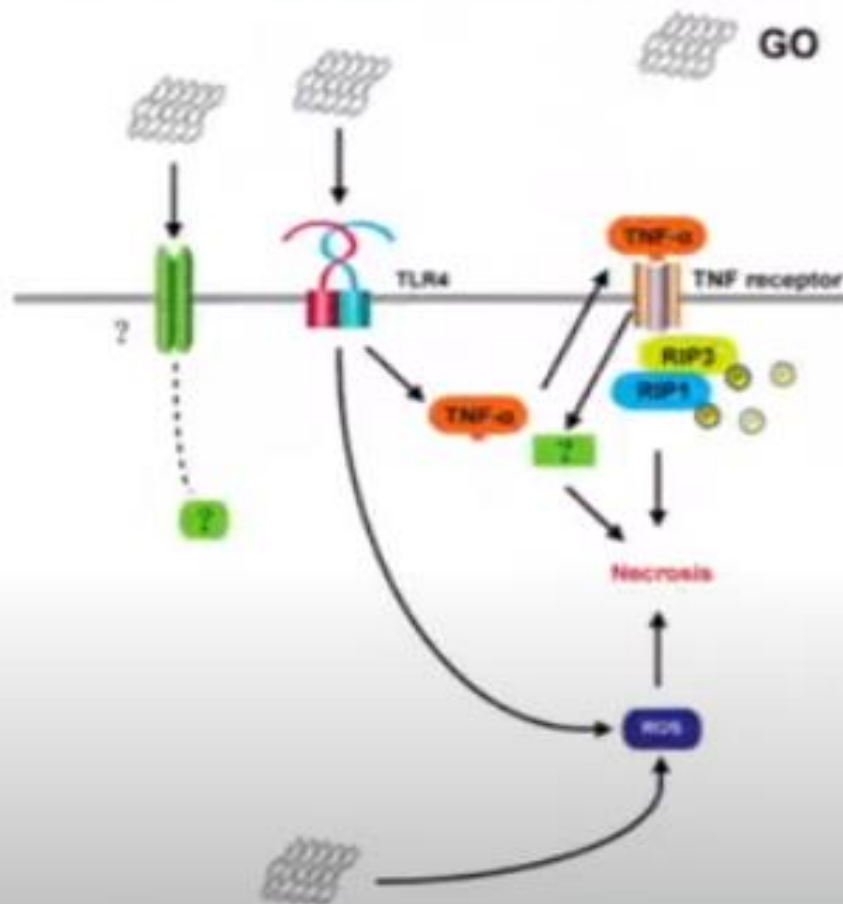
Rekombinanter Nano- Coronavirus- Impfstoff mit Graphenoxid als Träger

Zusammenfassung

Die Erfindung gehört zu dem Gebiet der Nanomaterialien und biologische Medikamente, und bezieht sich auf einen Impfstoff, insbesondere zur Entwicklung eines 2019-Ncov corona-Kern rekombinanten nano - Impfstoff. Die Erfindung umfasst auch ein Herstellungsverfahren des Impfstoffs und die Anwendung des Impfstoffs in Tierversuchen.

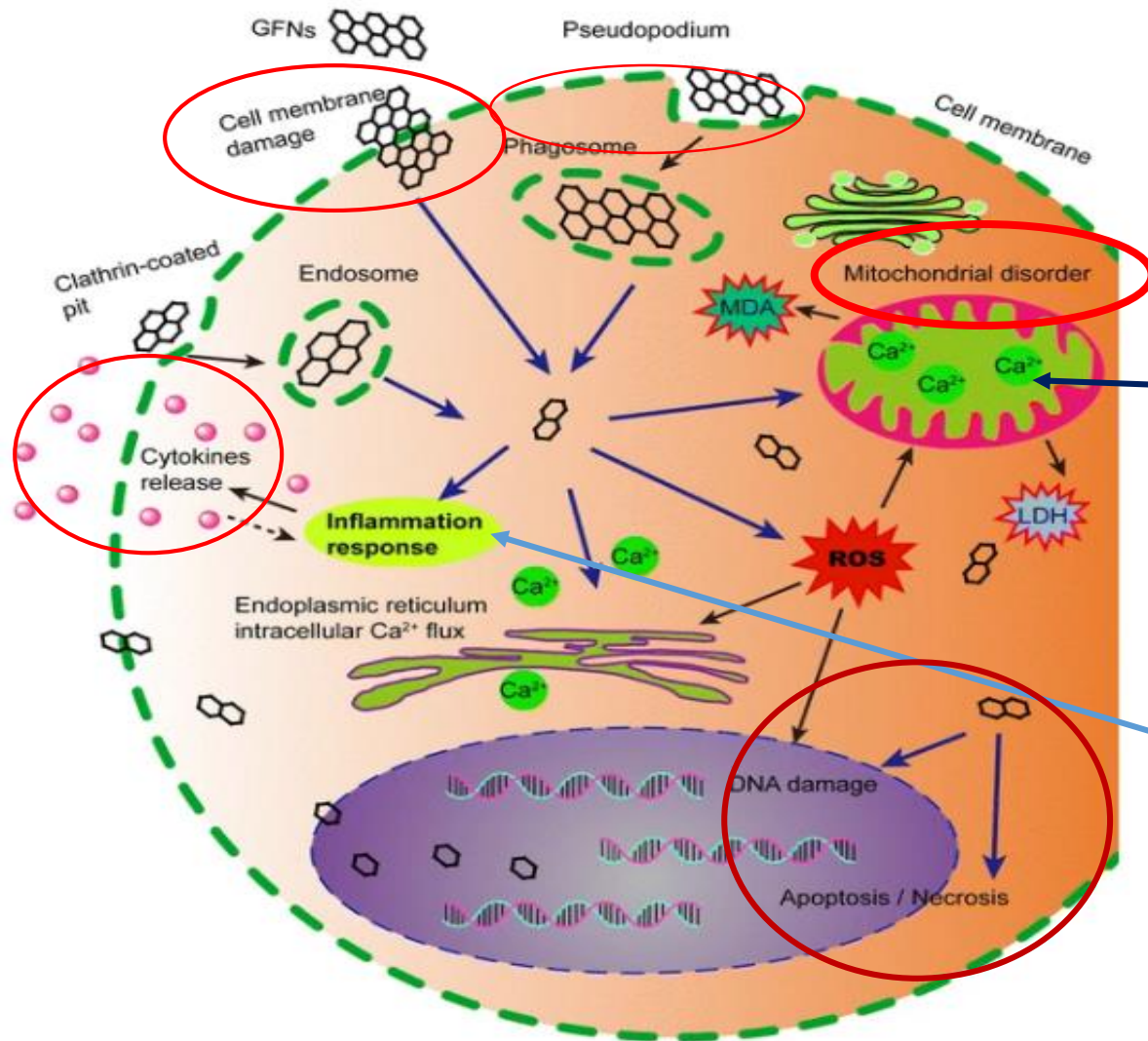
- Der neuartige Coronavirus- Impfstoff enthält **Graphenoxid**, Carnosin, CpG und **das neuartige Coronavirus RBD**; Das Carnosin, das CpG und das neuartige Coronavirus RBD werden auf einem Gerüst des Graphenoxids kombiniert; die kodierende Sequenz des CpG ist wie in SEQ ID NO 1 gezeigt; und das **neuartige CoronavirusRBD weist darauf hin, dass eine neuartige Coronavirus- Proteinrezeptor-Bindungsregion einen spezifischen Antikörper mit hohem Titer erzeugen kann**, der auf die RBD in einem Mausekörper abzielt, und es wird eine starke Unterstützung für die Prävention und Behandlung des neuartigen Coronavirus bereitgestellt.

Graphene oxide suggested to trigger programmed necrosis in macrophages through engagement of Toll-like receptors



- The lateral dimensions of GO are important for pro-inflammatory responses [Ma et al., ACS Nano. 2015 Oct 27;9(10):10498-515].

Abb. 3



Toxizität von Nanopartikeln der Graphenfamilie: ein allgemeiner Überblick über die Ursprünge und Mechanismen

[Lingling Ou](#), [Bin Song](#), [Huimin Liang](#), [Jia Liu](#), [Xiaoli Feng](#), [Bin Deng](#), [Ting Sonne](#) & [Longquan Shao](#)

Partikel- und Fasertoxikologie **13**, Artikelnummer: 57 (2016) | [Diesen Artikel zitieren](#)

133k Zugriffe | 261 Zitate | 1365 Altmetrisch | [Messwerte](#)

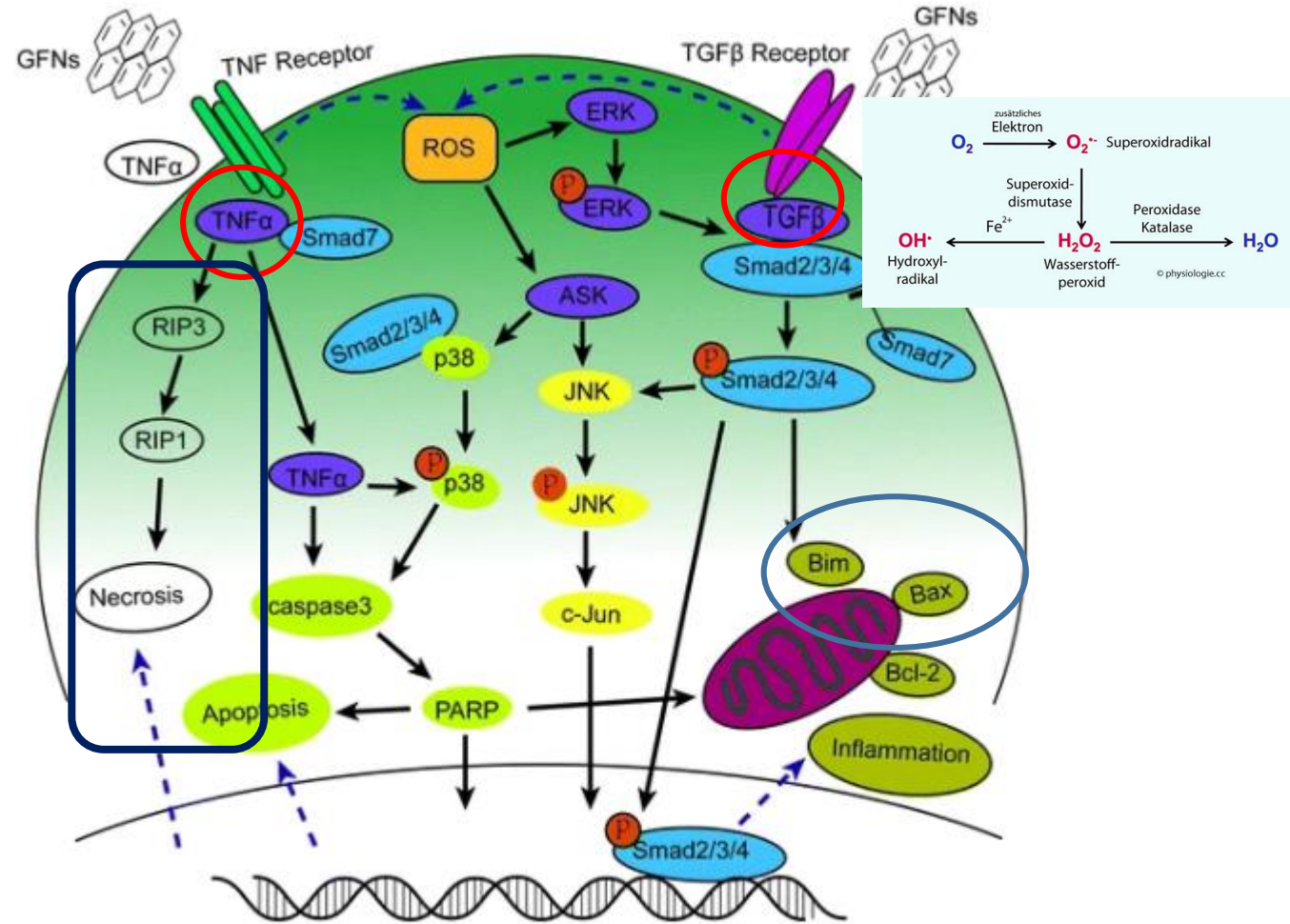
Produktion von **Vaporinen**, durch Ca-Flutung, durch Elektromog verstärkt, dann Produktion von **Peroxyinitrit** mit katastrophalem resultierenden **neurologischen Erkrankungen** und dann tödlichen **Inflammasomen**

Schematische Darstellung zeigte die möglichen Mechanismen der Zytotoxizität von GFNs. GFNs gelangen auf unterschiedliche Weise in die Zellen, die die ROS-Erzeugung, den LDH- und MDA-Anstieg und die Ca²⁺-Freisetzung induzieren. In der Folge verursachen GFNs Arten von Zellschädigungen, zum Beispiel Zellmembranschäden, Entzündungen, DNA-Schäden, mitochondriale Störungen, Apoptose oder Nekrose

ROS-Produktion führt zu oxidativem Stress

- Oxidativer Stress entsteht, wenn steigende ROS-Spiegel die Aktivität antioxidativer Enzyme, einschließlich **Katalase**, **SOD** oder **Glutathionperoxidase** (GSH-PX) überwältigen [174].
- ROS wirken als Second Messenger in vielen intrazellulären Signalkaskaden und führen zu zellulären makromolekularen Schäden wie **Membranlipidabbau**, **DNA-Fragmentierung**, **Proteindenaturierung** und **mitochondrialer Dysfunktion**, die den Zellstoffwechsel und die Signalübertragung stark beeinflussen [175 – 177].
- Die Interaktionen von **GO mit Zellen können zu einer übermäßigen ROS-Erzeugung führen**, die den ersten Schritt in den Mechanismen der **Karzinogenese, Alterung und Mutagenese darstellt** [83 , 122].
- Oxidativer Stress spielte eine signifikante Rolle bei der **GO-induzierten akuten Lungenschädigung** [30], Und die Entzündungsreaktionen durch oxidativen Stress oft entstanden bei der Einwirkung von GFNs [verursacht 133 , 177 , 178]. Die **Aktivität von SOD und GSH-PX nahm nach Exposition gegenüber GO zeit- und dosisabhängig ab** [82 , 106 , 119].
- In ähnlicher Weise war **oxidativer Stress die Hauptursache für Apoptose und DNA-Schäden**, nachdem HLF-Zellen GO ausgesetzt wurden [148].
- Sowohl die Mitogen-aktivierte Proteinkinase (**MAPK**) (JNK, ERK und p38) als auch die **TGF-beta-bezogenen Signalwege** wurden durch die ROS-Erzeugung in reinen Graphen-behandelten Zellen ausgelöst, begleitet von der Aktivierung von **Bim und Bax, zwei Pro -apoptotische Mitglieder der Bcl-2-Proteinfamilie**.
- Als Ergebnis wurden Caspase-3 und seine nachgeschalteten Effektorproteine wie PARP aktiviert und die **Apoptose wurde initiiert** [83 , 179]. Detaillierte Informationen zu den MAPK-, TGF-β- und TNF-α-bezogenen Signalwegen, die Entzündungen, Apoptose und Nekrose induzieren, sind in [4 zusammengefasst](#) .

Abb. 4



Schematische Darstellung der MAPK-, TGF-beta- und TNF-α-abhängigen Wege, die an der GFN-Toxizität beteiligt sind. ROS war der Hauptfaktor für die Aktivierung der MAPK- und TGF-beta-Signalwege, um zur Aktivierung von Bim und Bax zu führen, was die Kaskade von Caspasen und den JNK-Weg auslöst. Die Aktivierung von Caspase 3 und RIP1 führte schließlich zu Apoptose und Nekrose

Grafenoxid

Antecedentes

- D. Ricardo Delgado Martín solicita PRESTACIÓN DE SERVICIOS de Investigación a la UAL denominada:

"DETECCIÓN DE GRAFENO EN MUESTRA DE SUSPENSIÓN ACUOSA"

- El 10/06/2021 se recibe por mensajería 1 vial, etiquetado con el texto siguiente:

- **"COMIRNATY™. Sterile concentrate. COVID-19 mRNA. 6 doses after dilution.
- Discard date/time: PAA165994.LOT/EXP: EY3014 08/2021"**

- Procedencia y trazabilidad: se desconoce
- Estado de conservación: refrigerado
- Mantenimiento durante el estudio: refrigerado
- **Codificación de la muestra problema a analizar: RD1**

Hintergrund-D.

Ricardo Delgado Martín bittet um die ERBRINGUNG VON FORSCHUNGSDIENSTLEISTUNGEN für die UAL mit dem Titel:

"DETECTION OF GRAPHENE IN AQUEOUS SUSPENSION SAMPLE"-

Am 10.06.2021 geht 1 Fläschchen per Kurier ein, beschriftet mit dem folgenden Text: -

"COMIRNATY™": Steriles Konzentrat. COVID-19 mRNA.

6 Dosen nach Verdünnung-Verwerfungsdatum/-zeit: PAA165994.LOT/EXP: EY3014 08/2021,,

-Herkunft und Rückverfolgbarkeit: unbekannt-
Lagerung: gekühlt-Aufbewahrung während der Studie:
gekühlt-Codierung der zu analysierenden Probe:

RD13 Sie können die Authentizität, Gültigkeit und Integrität dieses Dokuments unter folgender Adresse

überprüfen: <https://verificarfirma.ual.es/verificarfirma/code/wHN2x8tkKPsiSy/iL6TwQ==> Firmado By Pablo Campra Madrid Date 28/06/2021 ID.

FIRMA [firma.ual.es/wHN2x8tkKPsiSy/iL6TwQ==](https://verificarfirma.ual.es/wHN2x8tkKPsiSy/iL6TwQ==) PAGE 3/24 wHN2x8tkKPsiSy/iL6TwQ==

DETECCIÓN DE OXIDO DE GRAFENO
EN SUSPENSIÓN ACUOSA (COMIRNATY™ (RD1))

ESTUDIO OBSERVACIONAL EN MICROSCOPIA ÓPTICA Y ELECTRÓNICA

Informe provisional (I)

28 de Junio de 2021



Prof. Dr. Pablo Campra Madrid

Doctor en Ciencias Químicas y Licenciado en Ciencias Biológicas

ESCUELA SUPERIOR DE INGENIERIA

UNIVERSIDAD DE ALMERÍA, ESPAÑA

TRANSMISSION ELECTRONIC
MICROSCOPY
(TEM)

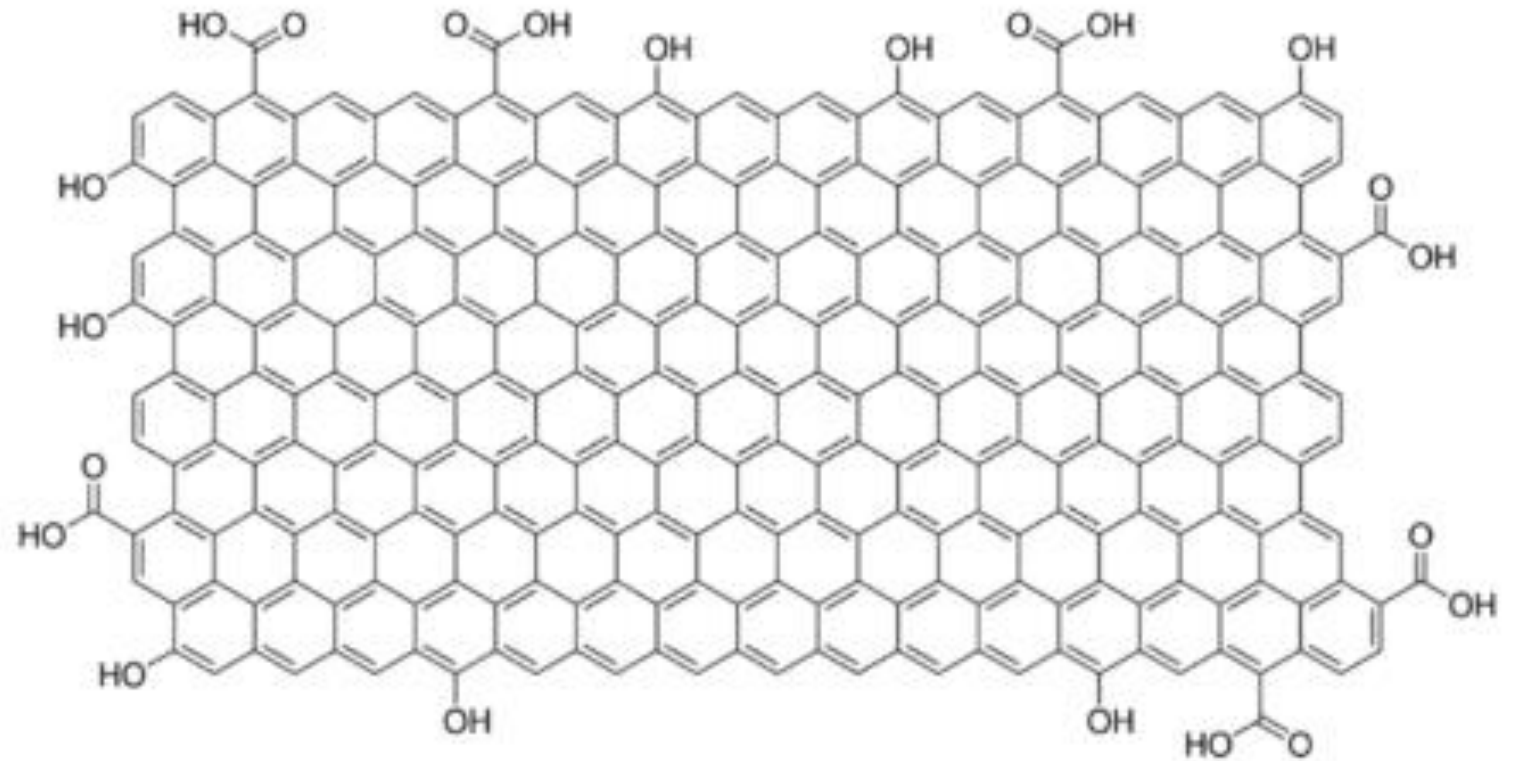
Die Elektronenmikroskopie (TEM) wird üblicherweise zur Abbildung von Graphen-Nanomaterialien verwendet. Sie ist zu einem ziemlich standardisierten und einfach zu bedienenden Instrument geworden, das in der Lage ist, einlagige Graphenblätter abzubilden.

Id. FIRMA	Fecha	28/06/21
afirma.ul.es	PÁGINA	1/24
Pablo Campra Madrid		
4102481K0915V711667500		

Puede verificar la autenticidad, validez e integridad de este documento en la dirección:
<https://verificarfirma.ul.es/verificarfirmacodewh-Nz289K9e9ISyV1L6TWC>

MUSTER VON REDUZIERTEM GRAPHENOXID

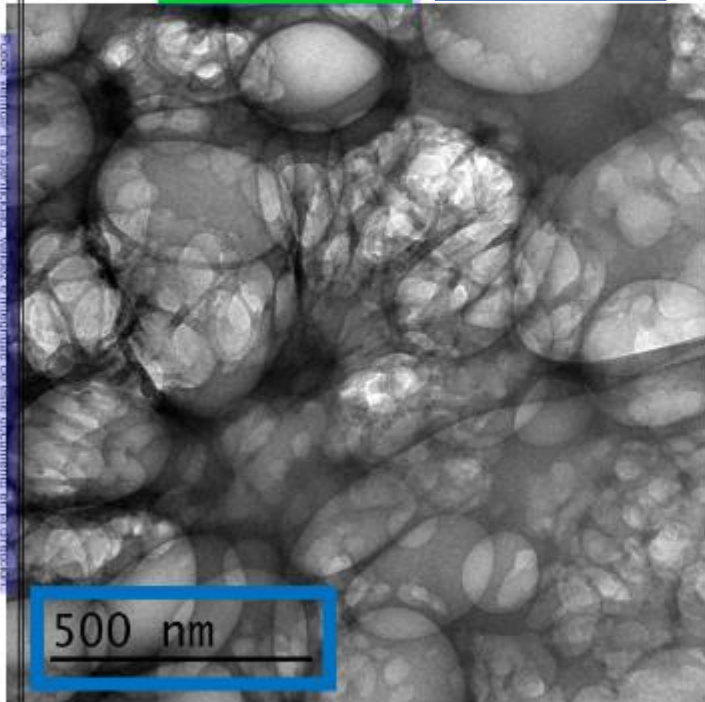
PATRON DE OXIDO DE GRAFENO REDUCIDO



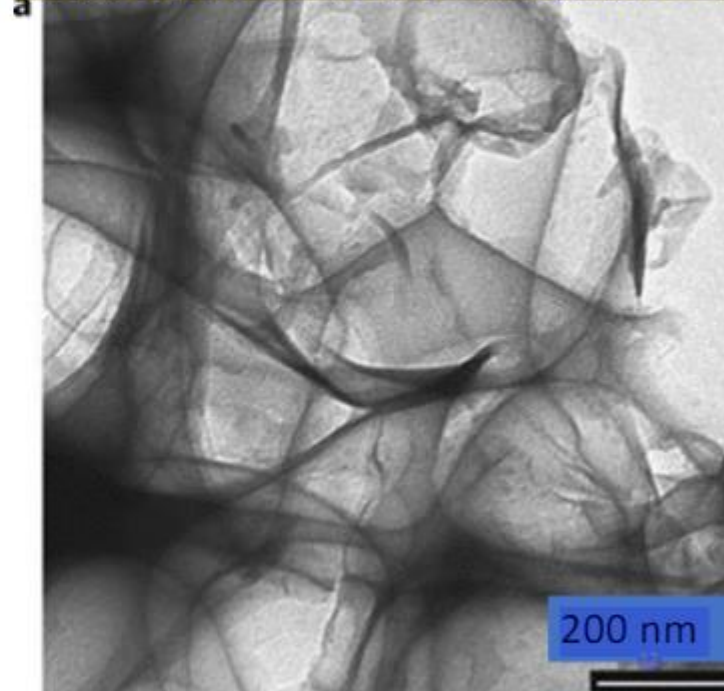
ERGEBNISSE: Vergleich der Problemprobe (RD1) mit einem Literatur

RESULTADOS: Comparativa de muestra problema (RD1) con una imagen TEM de literatura

MUESTRA RD1 Beispiel 1

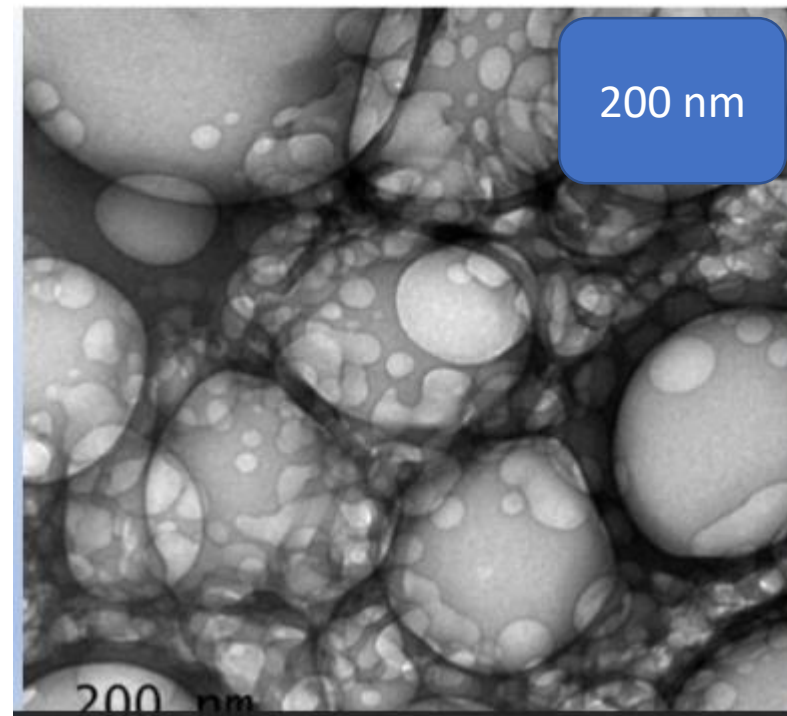
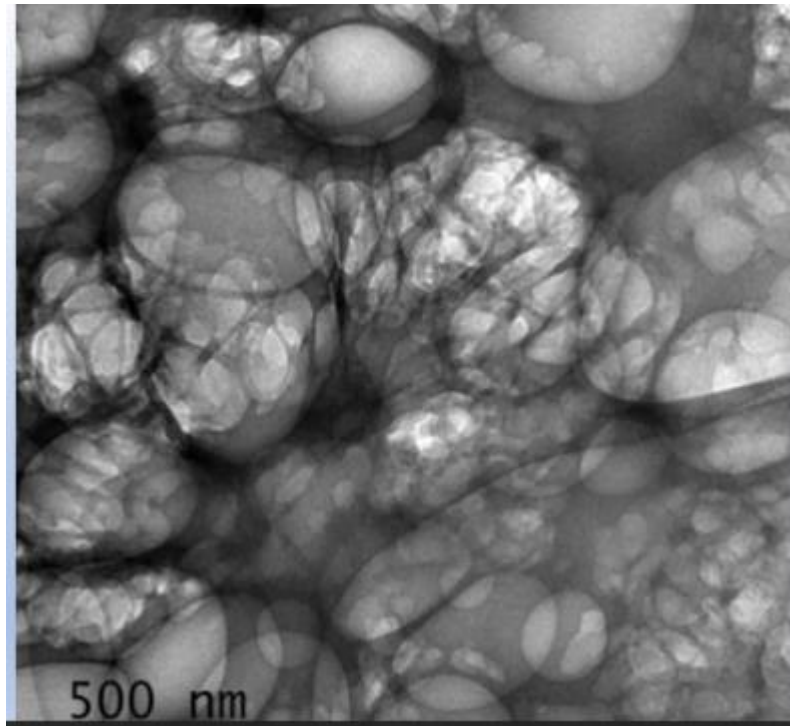
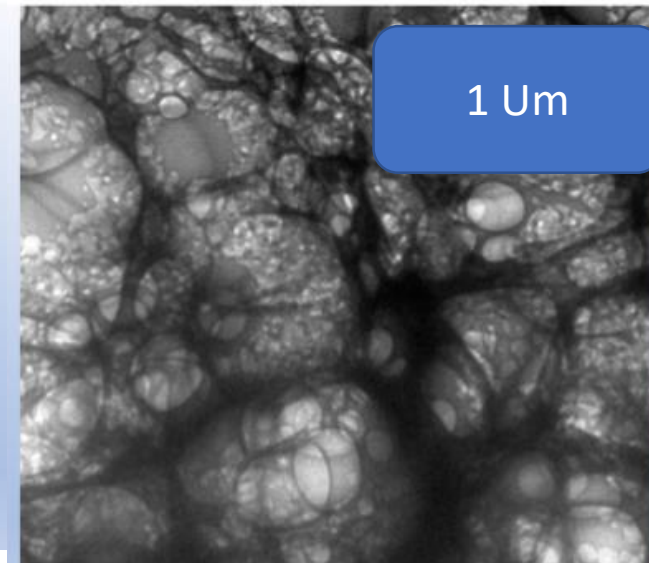
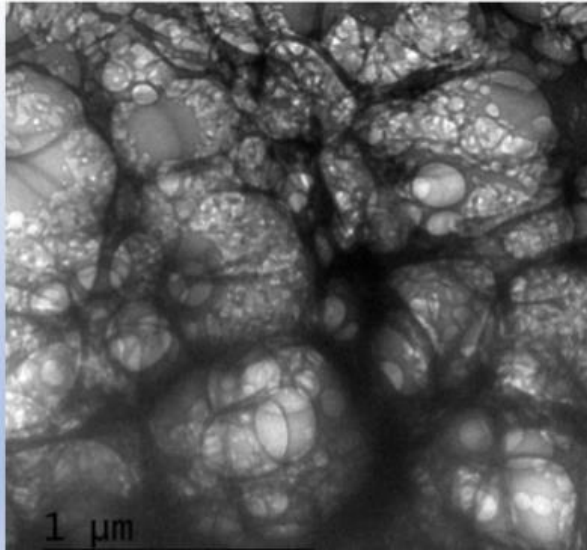


Choucair et al 2009. Nature Nanotechnology 4(1):30-3 Fig 2



Links der Imfstoff
rechts die
Literaturvergleich mit
Grafenoxid
absolut identisch!!

MUESTRA
RD1



Die **links** in der **Impfstoffprobe** gefundenen Grafenschichten sind absolut identisch mit den in der Literatur beschriebenen Grafenmolekülen **rechts**, damit ist zumindest elektronenmikroskopisch der Beweis erbracht, dass Impfstoffe, z.B. von Biontech/Pfizer **mit Grafenoxid verseucht sind**

SCHLUSSFOLGERUNGEN UND EMPFEHLUNGEN

1. Die mikroskopische Untersuchung der Probe liefert solide **Beweise für das Vorhandensein von Graphen-Derivaten**, zumal die Mikroskopie einen eindeutigen Beweis liefert. Die endgültige Identifizierung von Graphen, **oxidiertem Graphen (GO)** oder **raffiniertem Graphen (rGO)** in der RD1-Probe erfordert eine **STRUKTURELLE CHARAKTERISIERUNG** durch die **Analyse spezifischer Spektralmuster**, die mit den in der Literatur veröffentlichten und den von der Standardprobe erhaltenen vergleichbar sind, die durch spektroskopische Techniken wie XPS, EDS, NMR, FTIR, Raman u. a. erhalten wurden.
2. Die Analysen in diesem Bericht beziehen sich auf eine **EINZELNE PROBE**, die in ihrem Gesamtvolumen für die Verarbeitung begrenzt ist. Es ist daher notwendig, eine signifikante Stichprobe ähnlicher Fläschchen durchzuführen, um verallgemeinerbare Schlussfolgerungen über vergleichbare Proben, die Erfassung der Herkunft, die Rückverfolgbarkeit und die Qualitätskontrolle während der Lagerung und des Transports vor der Analyse zu ziehen.²² Die Authentizität, Gültigkeit und Vollständigkeit dieses Dokuments kann überprüft werden unter:

CONCLUSIONES Y RECOMENDACIONES

1. El estudio microscópico de la muestra aporta **sólidas evidencias de presencia probable de derivados de grafeno, si bien la microscopía no proporciona una prueba concluyente**. La identificación definitiva de grafeno, grafeno oxidado (GO) o grafeno oxidado reducido (rGO) en la muestra RD1 precisa de la **CHARACTERIZACIÓN ESTRUCTURAL** mediante el análisis de patrones espectrales específicos comparables a los publicados en literatura y a los obtenidos a partir de muestra patrón, obtenidos con técnicas espectroscópicas como XPS, EDS, RMN, FTIR o Raman, entre otras.
2. Los análisis de este informe corresponden a **UNA SOLA MUESTRA, limitada en volumen total disponible para procesar**. Es por tanto necesario realizar un muestreo significativo de viales similares para extraer conclusiones generalizables a muestras comparables, registrando origen, trazabilidad y control de calidad durante la conservación y transporte previas a los análisis.

Die **spanische Agentur für Arzneimittel und Gesundheitsprodukte (AEMPS)** hat jedoch bereits am vergangenen Donnerstag **die freiwillige Einstellung der Vermarktung dieser chirurgischen Masken mit Graphen-Biomasse** beantragt, da die Gesundheitsbehörden Kanadas in einem Dokument über die möglichen Risiken aufgrund des Vorhandenseins von Graphen oder Graphenbiomasse in den Masken.

La Quinta Columna: "Graphenoxid hat seine Absorptionsbande bei 5G"

12. JUNI 2021

Es besteht eine Verbindung zwischen 5G-Antennen und dem „Impfstoff“. Graphen wird von außen manipuliert, das ist mit der neuen Technologie möglich.

Graphenfrequenzen sind in der 5G-Bandbreite enthalten, und Menschen, die diesen fälschlicherweise "Impfstoff" erhalten, werden **mit Graphenoxid geimpft**, das **bei Kontakt mit Wasserstoff aus Biomolekülen magnetisch wird**. Das heißt, es wird magnetisch, sobald es im Körper ist. Dies kann am selben Tag der Impfung, Tage, Wochen und bis zu 3 Monate später geschehen; und es ist nicht nur auf den Impfbereich beschränkt. Dieses **Graphenoxid soll den zerebralen Neurocortex** erreichen, wie die Biostatistiker Ricardo Delgado und Dr. José Luis Sevillano von La Quinta Columna bereits herausgefunden haben.

Bei **5G-Frequenzen von 42,6 GHz** gehen die in die Impfstoffe injizierten 1,2-nm-Nanoröhren in Resonanz und verändern den Gehirnprozess stark

<https://www.extremetech.com/extreme/150121-magnetogenetics-a-new-technique-to-control-the-inner-workings-of-human-cells-and-build-neural-circuits>

<https://www.theguardian.com/science/neurophilosophy/2016/mar/24/magneto-remotely-controls-brain-and-behaviour>

- die Platzierung magnetischer Nanopartikel in Neuronen einen Fernzugriff auf das Zentralnervensystem und das Gehirn ermöglicht und es **entfernten** Mitarbeitern ermöglicht,

Es gibt auch viel wissenschaftliche Literatur, Forschung und Berichterstattung zur

Magnetogenetik, einem Forschungsgebiet, das den Fokus auf magnetische Nanopartikel, **fluoreszierende Nanopartikelsensoren** und die Erforschung des **Gehirnverhaltens** kombiniert.

Wissenschaftler haben gelernt, dass

- **Neuronen aus der Ferne ein- und auszuschalten, was die motorischen / Muskelbewegungen, das Gedächtnis und das Verhalten beeinflusst.**

Ich lasse Sie wissen, dass der Covid-19-Impfstoff die Arme der Geimpften magnetisiert und dies mit alarmierender Geschwindigkeit. ----- Auf der anderen Seite ist eine der Nebenwirkungen von Impfstoffen die generalisierte Thrombopenie, die Ursache für so viele Todesfälle, die in der nordamerikanischen VAERS und in ihrem europäischen Äquivalent, der EMA, registriert wurden.

Der Grund für all dies ist, dass COvid.19-Impfstoffe 94 % Graphen enthalten. Ich füge den Bericht des Mitglieds der Fakultät, Herrn **Pablo Campra Madrid**, über die Analyse einer Ampulle des Pfizer-Impfstoffs bei. Graphen ist ein **giftiges Material für den menschlichen Körper**, wie Dutzende von wissenschaftlichen Arbeiten behaupten, und sollte nicht in Impfstoffen enthalten sein. Und weniger, in diesem Verhältnis. Bei den Impfstoffen handelt es sich fast ausschließlich um Graphenoxid-Flocken von ca. 120 nm. Hunderte Millionen davon in jeder Dosis.

Als spanischer Staatsbürger mit vollen Rechten fordere ich, dass Sie die Impfkampagne einstellen und dass die Gesundheits- und Pharmakologen so schnell wie möglich und dringend die Durchstechflaschen aller Impfstoffe analysieren. Sie finden das gleiche wie bei Dr. Campra. Und genauso wie die Hunderte von Wissenschaftlern, die derzeit die Fläschchen analysieren.

Herr Präsident und Minister der Regierung: Von diesem Moment an werden Sie nie wieder sagen können, dass Sie es nicht gewusst haben. Und wenn sie keine sofortigen Maßnahmen ergreifen, werden sie als notwendige Kollaborateure eines Völkermords angesehen, eines Verbrechens gegen die Menschlichkeit, für das sie vom spanischen Volk kriminell denunziert werden, von dem ein Großteil nicht mehr der Täuschung des Regierungsdieners folgt Medien, deren Führer auch der Justiz zur Rechenschaft gezogen werden.

Wir alle warten auf Ihre plötzliche Antwort auf unsere Anfrage.

Offener Brief an Pedro Sánchez und die gesamte Regierung

Veröffentlicht am 16. Juli 2021 von HERAUSGEBER

Präsidentschaft der Regierung

La Moncloa-Palast

Avda. Puerta de Hierro, s / n 28071 Madrid (Spanien)



Die elektronische Anregung, ihre Magnetresonanz, liegt genau in der dritten Bandbreite der 5G-Technologie, die gerade ausgeschrieben wird und die uns während der gesamten Pandemie begleitet hat.

2. Ein anderes Gitter wäre das terrestrische: ein Spinnennetz aus Antennen.

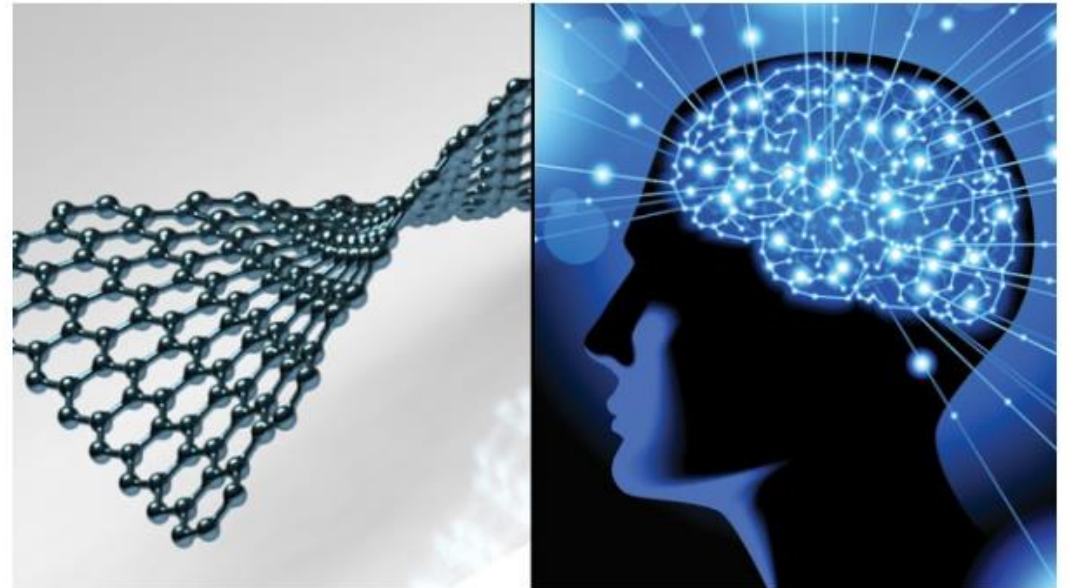


3. Und die fehlende Schnittstelle in der Mitte dieser beiden Gitter, die wir jetzt kennen, sind genau die Graphenoxid-Nanopartikel, die mit der künstlichen Intelligenz verbunden sind.

La Quinta Columna erklärt, was genau der „Gehirn-Tsunami“ ist, den das nie isolierte SARS-CoV-2 verursachen wird

Tatsächlich haben sie Graphen zumindest durch die Luft mit den berühmten Chemtrails- Sprays eingeführt, die wir jedes Mal sehen, wenn eine neue Welle angekündigt wird. Eine Ansage, die gut mit dem Auftakt dieses Express-Spritzens untermalt ist, und die Leute erkennen bereits logisch, was am Himmel passiert. Auch durch die Masken, PCR- und Antigentests und Impfstoffe wie Anti-Grippe und Anti-COVID in all seinen Varianten, da sie alle die magnetische Wirkung erzeugen.

La Quinta Columna: Graphenoxid + 5G = COVID-19



Graphen oxid ist steuerbar über 340 nm UV-Licht, Prof Delgado Universität Almeria

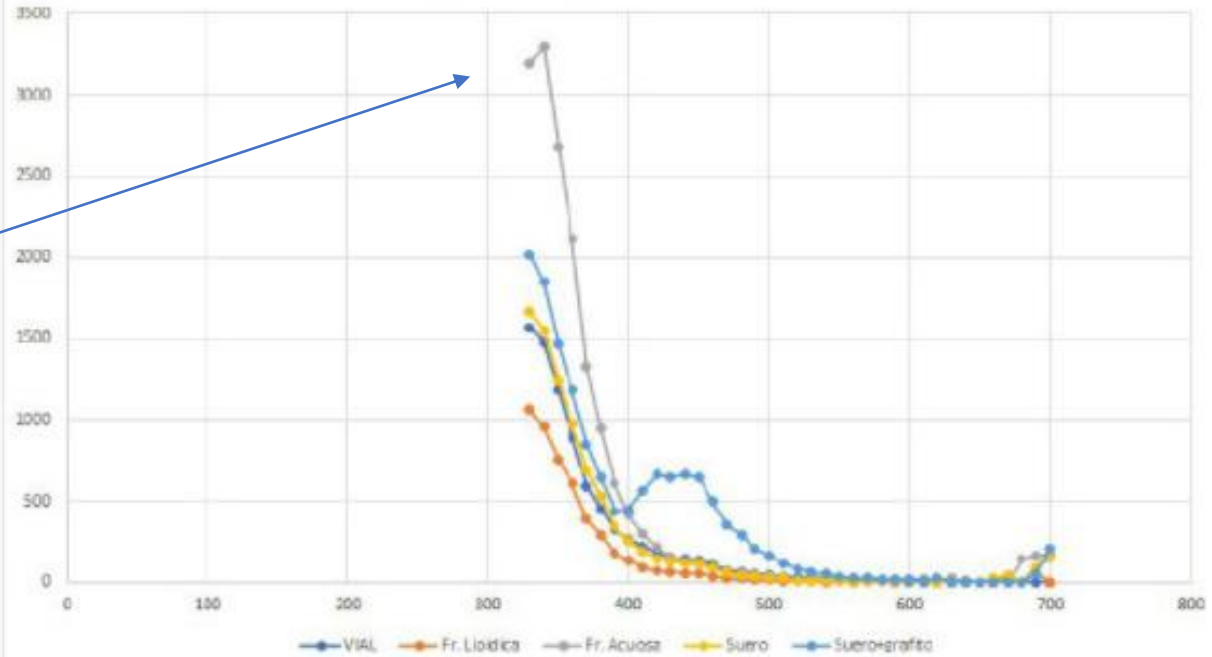


Geimpfte zeigen im Impfbereich bei 340 nm eine **Photoluminiszanz**, wenn mit Taschenlampen und UV-Filter beleuchtet! Neurokontrolle mit dieser Art von Material bedeutet Tod durch Neurodegeneration!

LA QUINTA COLUMNA TV



FLUORESCENCIA UV (PLACA 53)



ANÁLISIS FLUORESCENCIA UVA VACUNA PFIZER
(POSITIVO A 340 nm) 🙌

t.me/laquintacolumna/7735

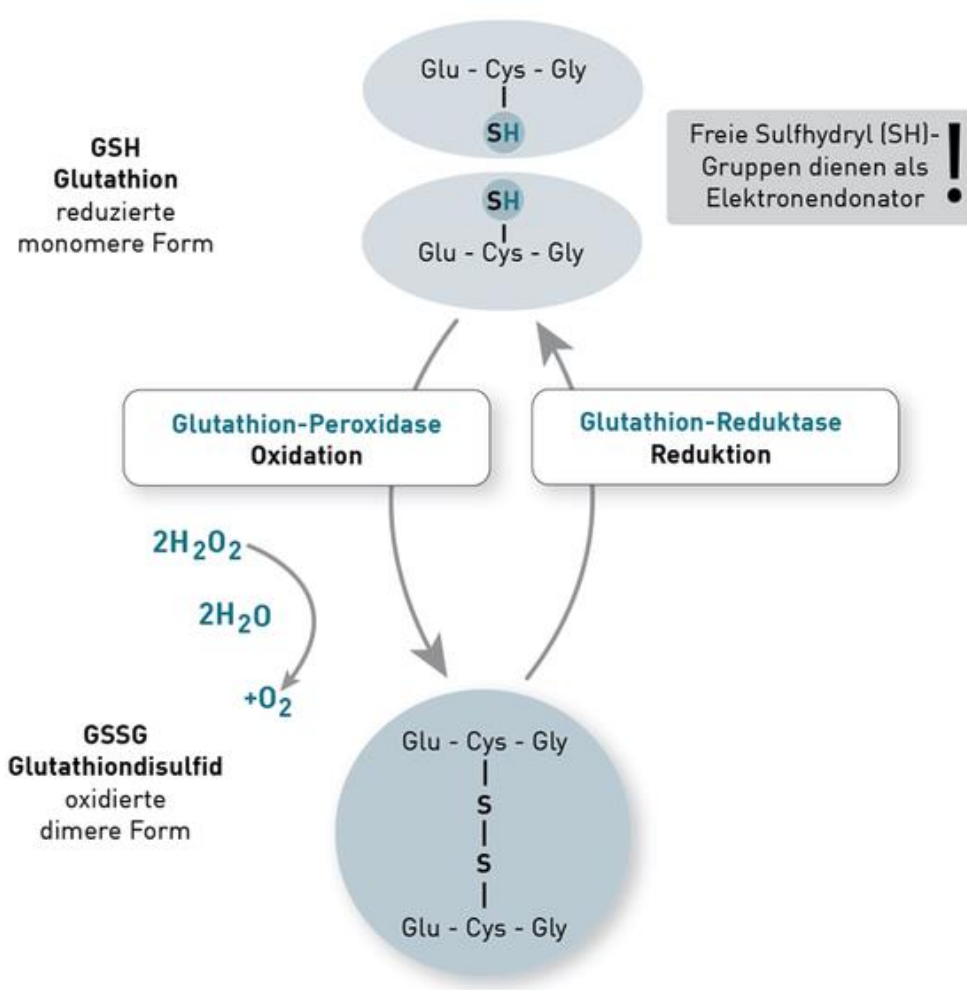
50.6K 👁 edited Jul 9 at 23:39

Gehirn-Tsunami“ bedeutet, dass beim Einschalten dieser Technologie das direkt im Kopf installierte Graphen, wie es viele Menschen mit Magnetismus haben, den berühmten „Gehirn-Tsunami“ verursacht, den sie als Symptom eines neuen Coronavirus ankündigen , aber das entspricht offenbar der **Neurodegeneration, die das Graphenoxid im Körper verursacht**, wenn es durch die Wirkung des elektromagnetischen Störfokus elektronisch angeregt und viel schneller **oxidiert** wird.

Wenn sie die 5G-Technologie einschalten, werden wir hier in Spanien die **Delta-Variante oder die Delta Plus haben**, die sich auch auf Gehirnzustände beziehen, und sie haben die perfekte Ausrede, um zu sagen, dass sie die Bevölkerung mental kontrollieren können, weil diese Leute aggressiv werden oder sie werden praktisch verrückt, oder? Das war die letzte Schlussfolgerung, die wir bei unseren Recherchen gezogen haben. Sie werden wahrscheinlich diese **KI-Steuerung mit diesen Leuten verwenden, indem sie das Satellitennetzwerk der 5G-Technologie und das Graphen nutzen**, das viele Leute jetzt in ihren Köpfen haben, um uns zu zeigen, dass das Virus sehr gefährlich ist und dass dies der einzige Weg ist, um zu Kontrolle ist es mit Impfstoffen.

LA QUINTA COLUMNA TV

Die gute Nachricht ist, dass der Körper anscheinend über eine gewisse Fähigkeit verfügt, dieses Material durch seine eigenen **Glutathion-Reserven schrittweise zu eliminieren**. Deshalb wollen sie uns alle drei bis vier Monate eine zweite, dritte und sogar vierte Dosis geben. Sie ziehen es bereits in Erwägung. Oder diese intranasalen Impfstoffe so herzustellen, dass wir uns die Graphen-Dosis direkt selbst geben und wir mental kontrolliert werden, für Gott weiß was für einen Zweck . Natürlich ist dies das Ziel jedes Diktators, jeder völkermörderischen und hasserfüllten kriminellen Elite, wie wir sie haben.



Glutathion (GSH) wirkt antioxidativ

Glutathion (GSH) ist ein schwefelhaltiges Tripeptid aus **Glutaminsäure, Glycin und Cystein**. Es wird in der Leber gebildet und ist ein bedeutendes wasserlösliches zelluläres Antioxidanz und ein wichtiger Enzymkofaktor. GSH ist in jeder Zelle des Körpers vorhanden. Die höchsten Konzentrationen finden sich in der **Leber** (wichtigstes Organ für die Entgiftung) und in **Erythrozyten** sowie in weißen Blutzellen (**Immunzellen**).

Glutathion liegt in einer **reduzierten (GSH)** und einer **oxidierten Form (GSSG) vor**, deren Mengenverhältnis zueinander den Redoxstatus innerhalb der Zelle bestimmt. Im Normalfall wird ein **Verhältnis von 9:1 (GSH:GSSG)** nicht unterschritten. Antioxidativ wirkt nur das GSH. Durch toxische Einflüsse wird das Gleichgewicht zum oxidierten Status (GSSG) verschoben. Die »Wiedergewinnung« des GSSG zum GSH wird durch die **Glutathion-Reduktase** katalysiert.

Glutathion (GSH) eliminiert Radikale

- Glutathion ist an vielen Stoffwechselprozessen beteiligt. Es schützt die Tertiärstruktur von Proteinen, fördert den Transport von Aminosäuren durch die Zellmembranen und spielt eine herausragende Rolle im **antioxidativen** Schutzsystem. Als Ko-Substrat der Glutathion-Peroxidase entgiftet es die im Körper unweigerlich auftretenden und bei **oxidativer Belastung verstärkt gebildeten Peroxide**.
- Das Glutathionsystem stellt ein »**Fängersystem**« dar, welches die ständig und in jeder Zelle gebildeten **Wasserstoffperoxide und Lipidperoxide unter Bildung von Wasser und Sauerstoff** metabolisiert. Es stellt den entscheidenden Schutz der Zell- und Mitochondrienmembranen vor der Schädigung durch reaktive Sauerstoffspezies (oxidativer Stress) dar. Weiterhin ist Glutathion daran beteiligt,
- **oxidiertes und damit wirkungsloses Vitamin C und E** wieder in die reduzierte Wirkform zu überführen. Es trägt auch dazu bei, dass Immunzellen **Leukotriene** bilden können, welche u. a. bei Infektionen entstehen und die Funktionen der Leukozyten im Ablauf von Immunabwehrreaktionen steuern.

<https://www.imd-berlin.de/fachinformationen/diagnostikinformationen/glutathion-gsh-intrazellulärer-nachweis-in-immunzellen.html>

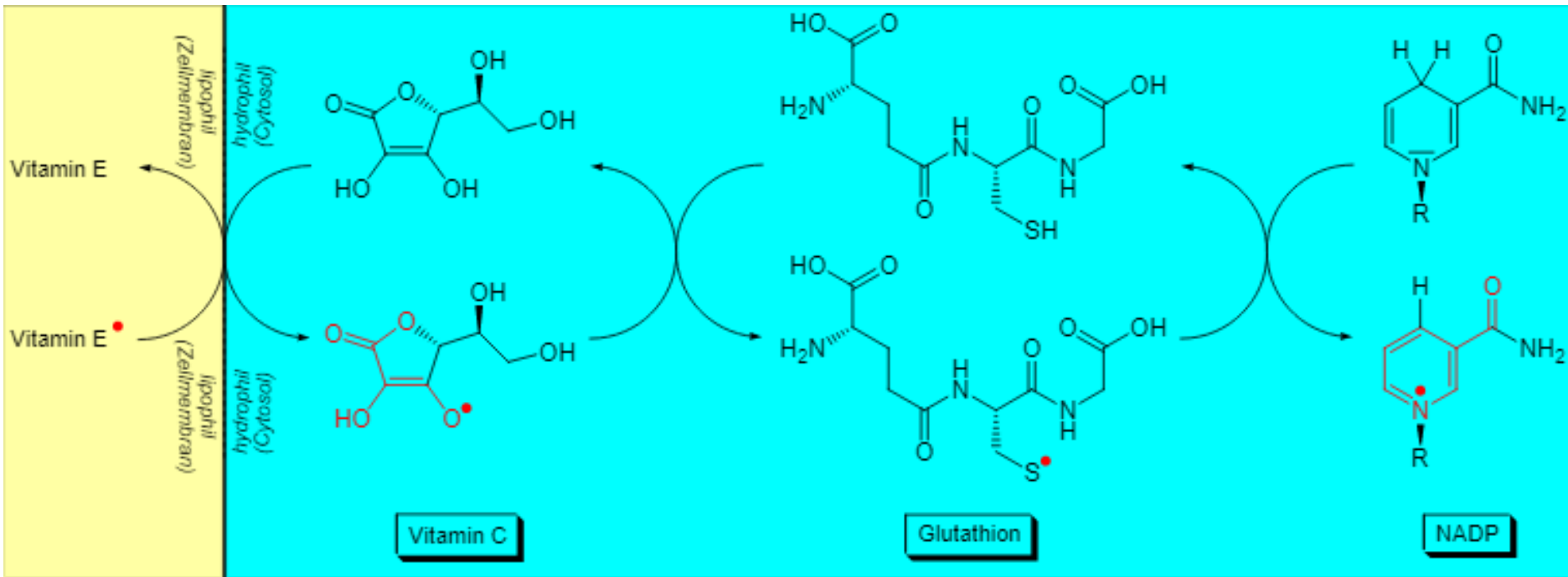


Abb.2 | Vereinfachter schematischer Radikaltransfer im Cytosol
© Wiley-VCH

Der gesamte Reaktionsverlauf (Abb. 2) mit ausgeglichener Elektronenbilanz ist etwas komplizierter:

1) Zwei Ascorbat-Radikale reagieren in einer Disproportionierungsreaktion zu Ascorbat und Dehydroascorbat:



2) Das freie Glutathion-Radikal ist lediglich formalistisch, es "stabilisiert" sich über eine Dimerisierung zum Glutathion-disulfid (GSSG).

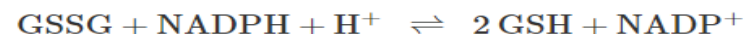
3) Für die Reduktion des GSSG bekommen die 2 GSH ihre Wasserstoff-Atome vom FADH₂/FAD-System, der prosthetischen Gruppe der Glutathion-disulfid-Reduktase:



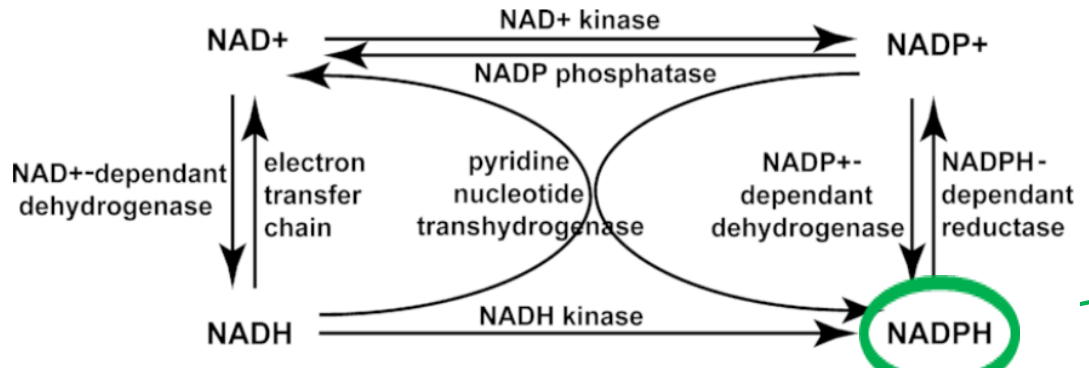
4) Die Regeneration des FAD zum FADH₂ erfolgt über das NADPH+H⁺/NADP⁺-System:



Eliminiert man das FADH₂/FAD-System und aus der Gleichung, erhält man:



Innerhalb des antioxidativen Schutzsystems ist **Glutathion** ein wichtiges Kettenglied. Es übernimmt das Radikal vom **Vitamin C** und übergibt es anschließend an die **Glutathion-disulfid-Reduktase**. Der erste Schritt recycelt das **Vitamin C**, der zweite das **Glutathion** selbst. Das in der Glutathion-disulfid-Reduktase aktive Flavin-Adenin-Dinucleotid (FAD) wird durch Übertragung des Radikals auf das Nicotinamid-Adenin-Dinucleotid-Phosphat (**NADP**) recycelt.



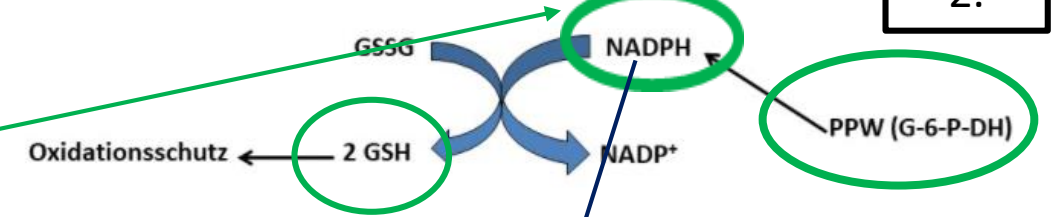
Umwandlungs- und Regenerationsweg von Coenzym NAD 1 / NADH und NADP 1 / NADPH Reaktionen, die durch NAD p -Kinase, NADP-Phosphatase und NADH-Kinase katalysiert werden, sind für die Umwandlung zwischen NAD (H) und NADP (H) verantwortlich. Reaktionen, die durch NAD p -abhängige Dehydrogenasen und Elektronentransferkette katalysiert werden, sind für die Regeneration von NAD (H) verantwortlich, während Reaktionen durch NADP p -abhängige Dehydrogenasen und NADPH-abhängige Reduktase für die Regeneration von NADP (H) verantwortlich sind. Die durch Pyridinnukleotidtranshydrogenase vermittelte Reaktion überträgt ein Hydrid von NADH auf NADP (bei gleichzeitiger Produktion von NADPH und NAD).

Glutathion (GSH) – Glutathiondisulfidreduktase

NADPH REGULIERT GLUTHATHON

2.

1.



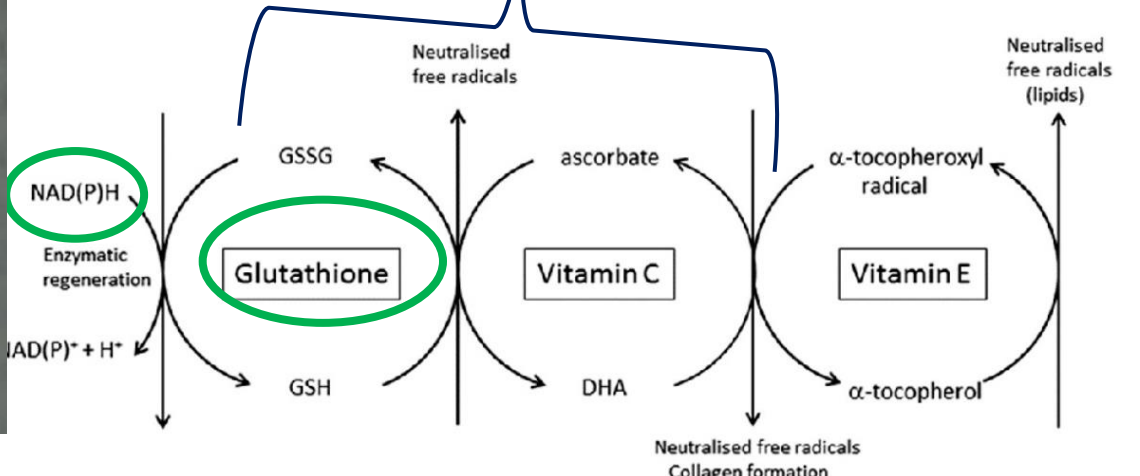
Glutathiondisulfidreduktase: regeneriert oxidiertes Glutathion (=GSSG; Glutathiondisulfid) mit NADPH zu 2 GSH

NADPH stammt aus dem **Pentosephosphatweg** (Schlüsselenzym = **Glc-6-P-Dehydrogenase**) und **wirkt als Reduktionsmittel.**

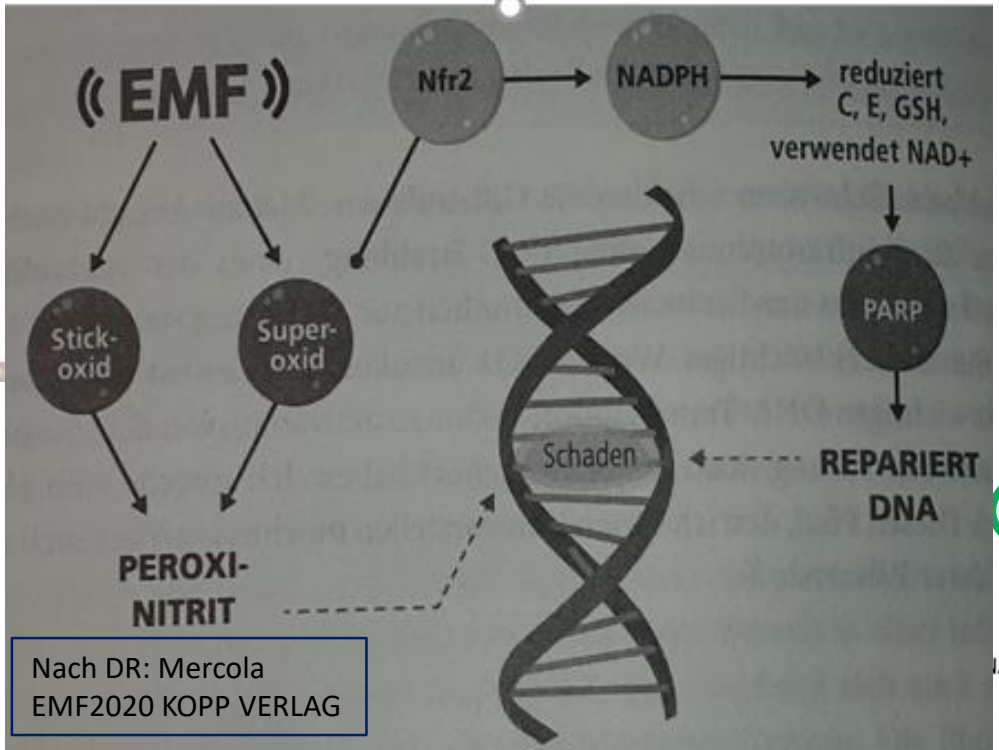
Bei **Glc-6-P-Dehydrogenase-Mangel (Favismus)** → Mangel an NADPH → mangelnde Reduktion von GSSG zu GSH → Mangel an GSH → Fehlender Oxidationsschutz → Hämolytische Anämie, Ikterus
Ausgelöst durch bestimmte Medikamente (z.B. ASS) oder Lebensmittel (Fava-Bohnen)

3.

GLUTHATHON REGULIERT VIT C



NADPH IST DIE Batterie u Steckdose unserer Zellen u reduziert die durch ELEKTROSMOG selber oxidierten Antioxidantien (GSSH, Vit C, vit E)

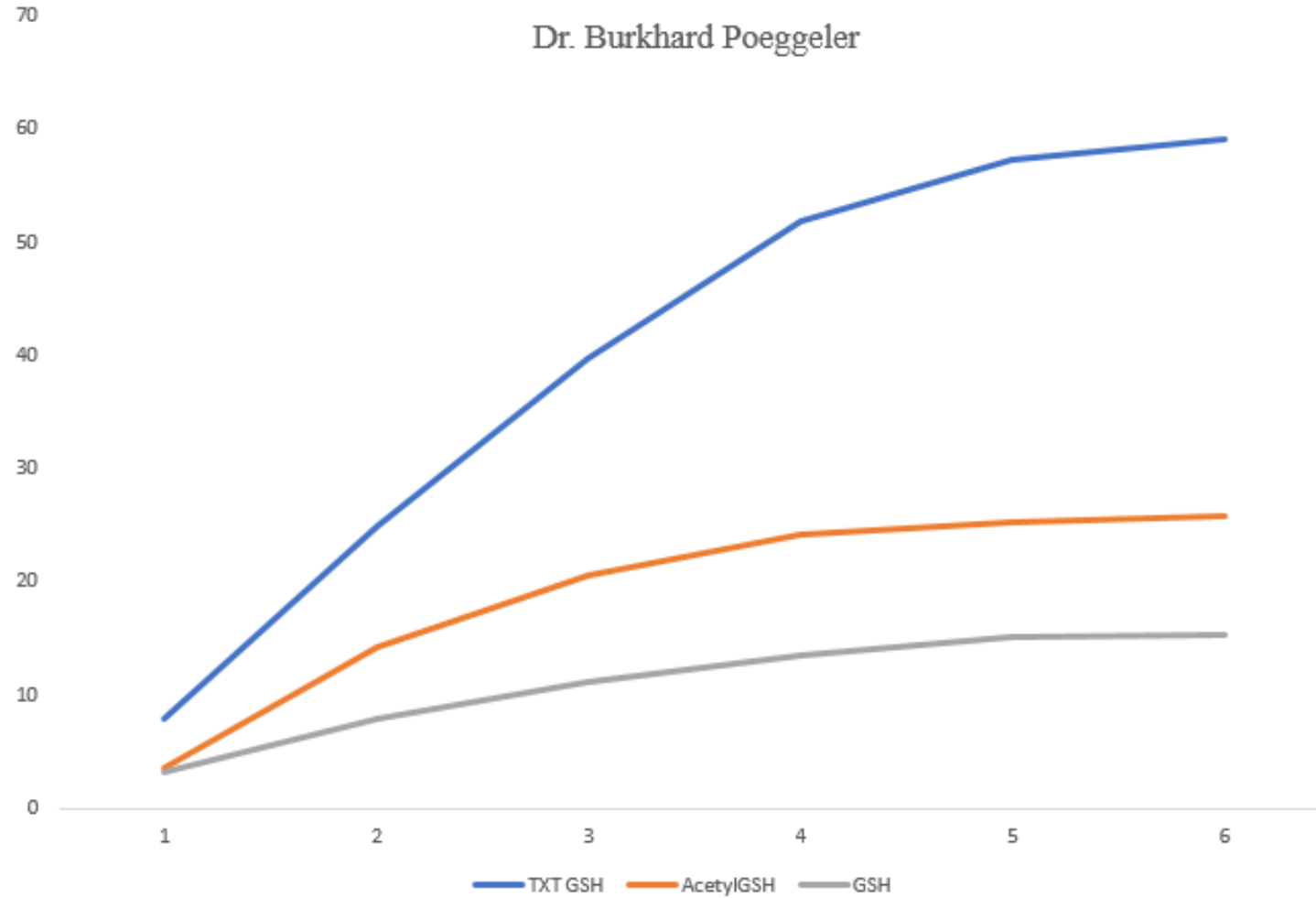


Nach DR: Mercola EMF2020 KOPP VERLAG

Gluthathion, extrem erhoechte Bioverfuegbarkeit durch die TXT-Tiamattechnologie

Anstieg der intrazellulären Glutathionkonzentrationen in % pro Monat

Dr. Burkhard Poeggeler





Elektromagnetische Wellen – aktuelle Grenzwerte in D.

Viele Studien zu direkten gesundheitlichen Auswirkungen

5G: 100 bis 6200 W!!

10Watt/m² - Strahlung bei 1,5 Meter Abstand und 4-fache Grenzüberschreitung bei 0,75 Meter Abstand (40Watt/m²)

Messwert (in $\mu\text{W}/\text{m}^2$)	Auswirkungen auf die Gesundheit	Messwert (in $\mu\text{W}/\text{m}^2$)	Auswirkungen auf die Gesundheit
ca. 5-10 Mio.	Grenzwerte Deutschland 26. BImSchV (5-10Watt/m²)	40.000	Gedächtnisfunktionen bei Kindern verlangsamt (Chiang 1989)
ca. 3 Mio.	Gehirnschäden in Ratten möglich, Tumorentwicklung möglich (Kesari 2010)	5.300	Vierfache Krebsraten im Umfeld von Sendern (Wolf u.a. 2004)
520.000	Oxidative DNA-Schäden bei Kaninchen (Guler 2010)	3.800	Stressreaktionen bei Rindern, "Rinderstudie" (Wenzel u.a. 2002)
400.000	Hodenkrebs 6,9-fach häufiger durch Radar (Davis 1993, Fink 1999)	3.200	Motorik- und Gedächtnisstörung bei Störungen des Immunsystems (Bruv)
265.000	Zunahme der Oxidation und DNA-Brüche (Campisi 2010)	2.000	Zunahme von Leukämien bei Kinder
259.000	Oxidative Schäden im Gehirn (Sokolovic 2008)	50-1.300	Wien-Studie an Schlafplätzen, Herzstörung mit der Feldstärke zunehmend
> 100.000	Bluetooth-Headset am Kopf (0,1 W/m²)	1.000	Salzburger Resolution, getragen von Bundesärztekammer u. a. Ärzteorga Spermien-Anomalien männlicher Männer (0.001 Watt/m²)
40.000	Gedächtnisfunktionen bei Kindern verlangsamt (Chiang 1989)	200	Störungen an der Zellmembran (Marinelli 1999) Anstieg von Krebs im Kindesalter (Selvin 1992)
ca. 20.000	Öffnung der Blut-Hirn-Schranke bei Ratten (Persson, Salford 1997), Direkter Effekt auf Ionenkanäle von Zellen (D'Inzeo 1988) Neuropsychiatrie-Probleme an Basisstationen (Abdel-Rasoul 2007) Lerndefizite bei Ratten (Lai 2004)	10-200	Müdigkeit, Depression... (Studien Murcia 2004, Valencia 2002 u.a.)
10.000	DNA-Hirnschäden (Verschave 1994, Lai 1996-2005) Stimulation von T-Zellen und Makrophagen (Novoselova 1999) Kopfschmerz, Schwindel, Reizbarkeit, Müdigkeit (Simonenko 1998) (0.01 Watt/m²)	> 40	Kopfschmerzen und Konzentrationsprobleme (Hutter 2006)

28GHz Basisstation mit 128 Antennenelementen (128 Mini-Keulen) zum Einbau in Laternenpfähle

Grafik: Ericsson

Exclusion zone, 10 W/m² (ICNIRP power density limit for the general public)

Grafik: Ericsson

10W/m²=61V/m auf 1.5m
40W/m²=120V/m auf 0.75m

Die 5G-Technologie ist ein schreckliches Waffensystem der US-Army!

(Falls der Artikel nicht optimal angezeigt wird, kann er auch direkt auf [Legitim.ch](https://www.legitim.ch) gelesen werden.)

Bei jedem vernünftigen Menschen müsste dieses Experiment eigentlich die Alarmglocken aktiviert haben, doch die Behörden und die Systemmedien geben sich unbekümmert. Wer sich mit der Materie auskennt, dürfte vom Testresultat jedoch kaum überrascht gewesen sein, da die 5G Technologie, auch als Active Denial System (ADS) bekannt, ein modernes Waffensystem des US-Militärs ist.



Das **Active Denial System** wird als nicht tödliches Abwehrsystem beschrieben, das durch Hautverbrennungen Menschen auf Distanz halten kann; beispielsweise um grosse Menschenmassen an Demonstrationen zu kontrollieren. Wie die Waffe in der Praxis funktioniert, wird im folgenden Video demonstriert. (spektakuläre Szene bei 0:57)

Die Sicherheit der Bevölkerung wird fahrlässig missachtet, obwohl immer mehr Menschen und besonders auch Fachleute eindringlich vor den Gefahren der 5G-Technologie warnen: Neulich wurde in Den Haag das 5G-Netzwerk getestet. **Während des Experiments fielen hunderte Vögel tot vom Himmel!** Obwohl die Behörden keine direkte Kausalität bestätigen, ist der Zusammenhang kaum abzustreiten. Zumal die Kadaver des Huygensparks in unmittelbarer Nähe zum Testgelände aufgefunden wurden.



Bei jedem vernünftigen Menschen müsste dieses Experiment eigentlich die Alarmglocken aktiviert haben, doch die Behörden und die Systemmedien geben sich unbekümmert. Wer sich mit der Materie auskennt, dürfte vom Testresultat jedoch kaum überrascht gewesen sein, da die 5G Technologie, auch als Active Denial System (ADS) bekannt, ein modernes Waffensystem des US-Militärs ist.

Die ICNIRP (internationale Strahlenschutzkommission) als privater Verein, hat ihre **Grenzwertempfehlungen bereits 5G-fähig** gemacht. **200V/m für Arbeitsplätze** und **90V/m für die Allgemeinbevölkerung**.



Das heißt, um 5G einführen zu können müssten die **Schweizer Anlage-Grenzwerte von 5 resp 6V/m komplett aufgehoben und der Sicherheitsabstand von heute 61 V/m auf 200V/m angehoben** werden. Das wird postwendend auch die **WHO** machen.

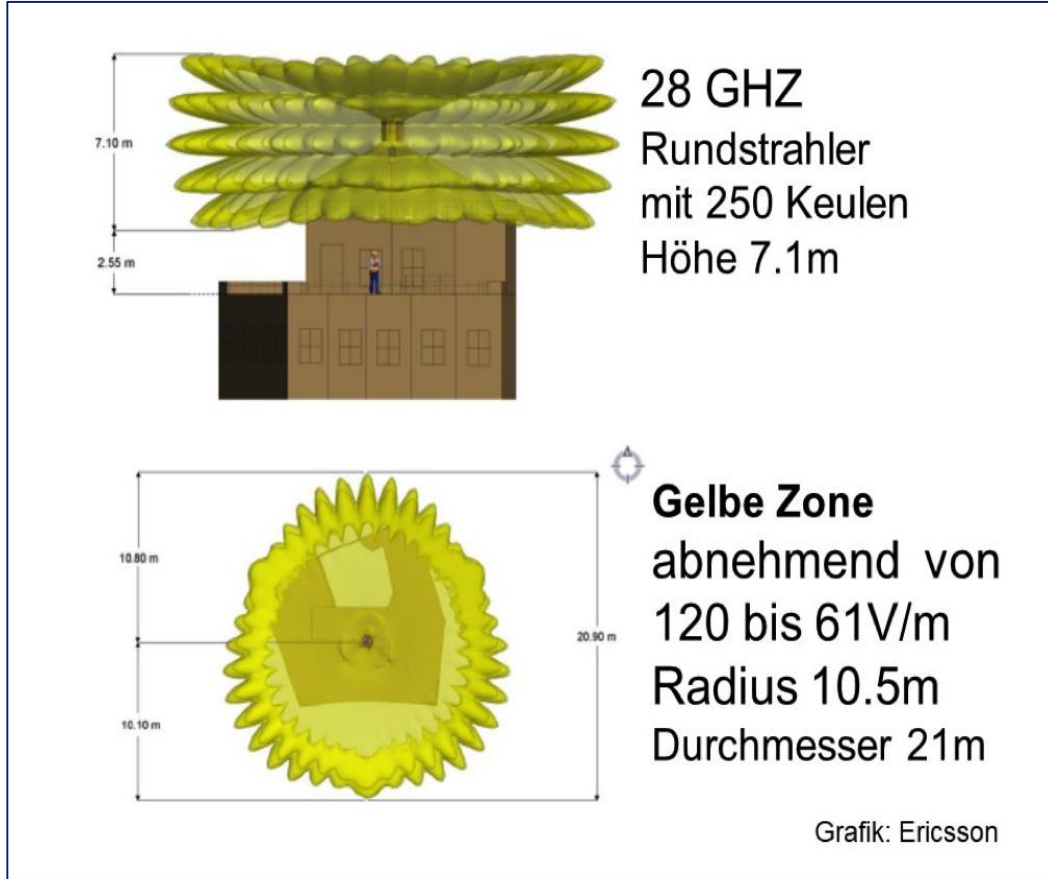


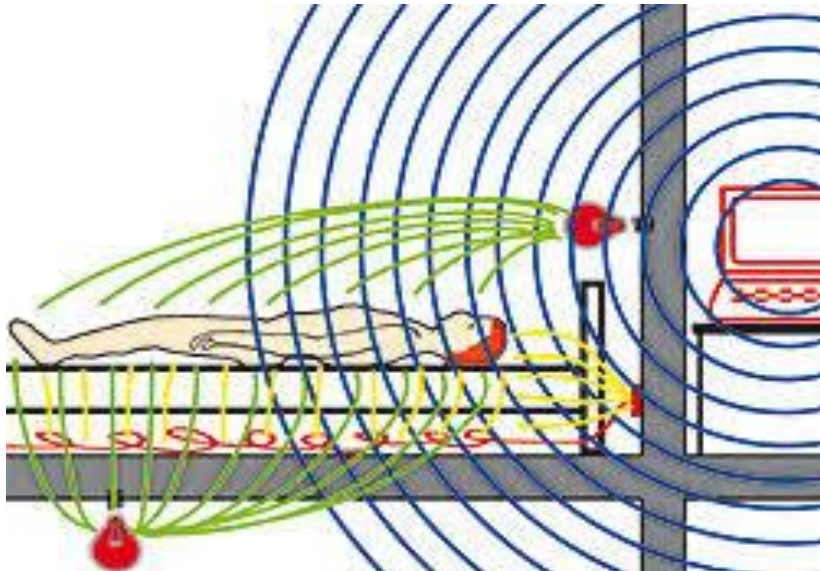
Abb.oben: Ericsson resp. Swisscom verkaufen nicht nur Sektorstrahler, sondern für eine Frequenz von **28Gigahertz** auch noch **Rundstrahler** mit insgesamt **250Strahlenkeulen**. Immer **5 Keulen übereinander oder je 50 im Kreis herum** nebeneinander. Innerhalb der gelben Zone nimmt die **Strahlung von 120V/m bis auf 61V/m in einem Abstand von rund 10.5m ab**.

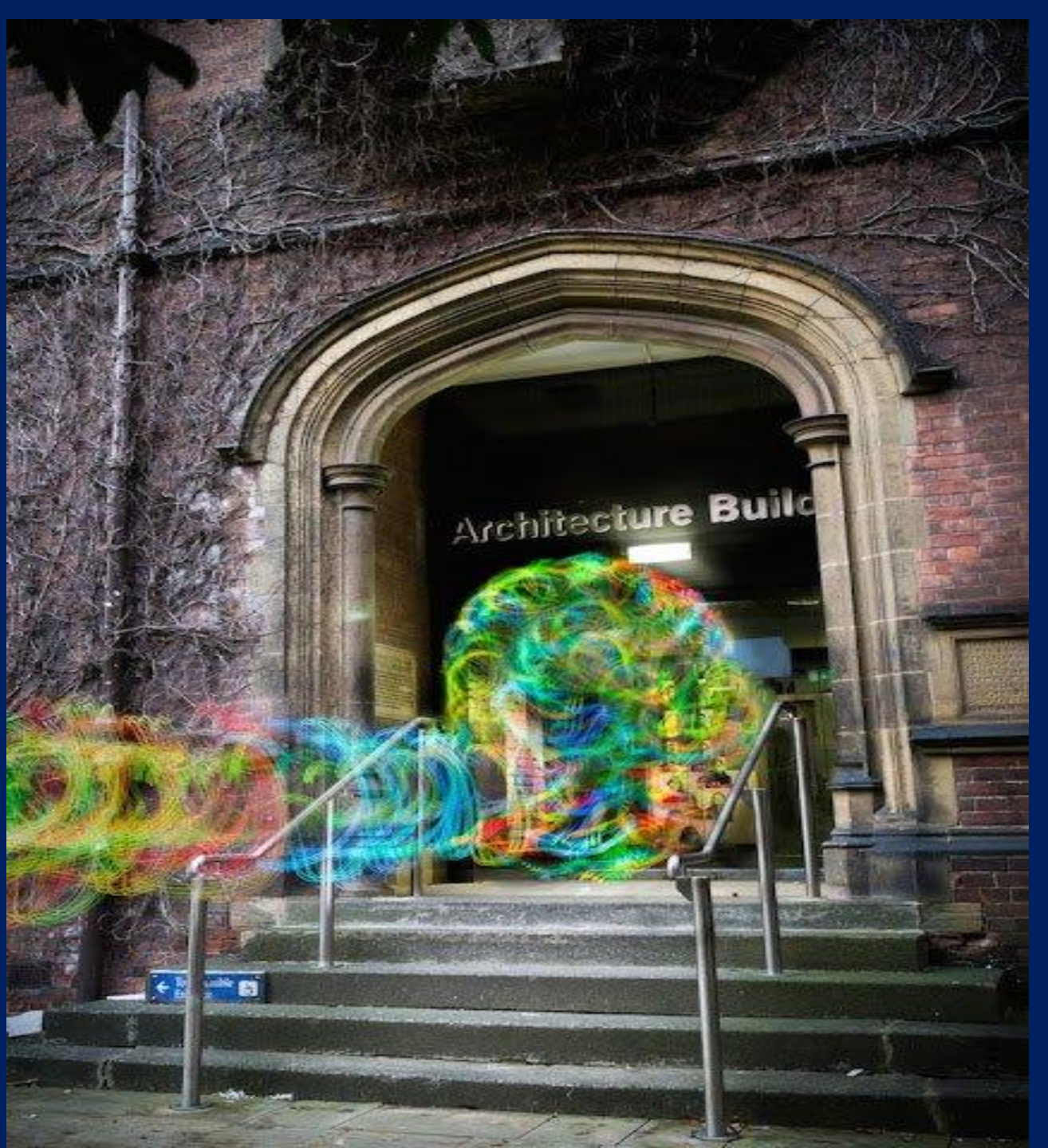
Abb. oben: Zeigt den selben 28GHz-Rundstrahler für weitere Distanzen in einer **blauen Zone**. Abnehmend von **60V/m bis auf 6V/m**. In 20m werden es noch 30V/m und in 40m noch 15V/m und in 80m noch 7.5V/m sein. Der Schweizer Anlage-Grenzwert von 6V/m für Frequenzen >1.8GHz wird erst bei einer Distanz von 115m eingehalten. Das E-feld wird dort eine Höhe von 70m aufweisen. Das heißt **die Höhe eines 24-stöckigen Hochhauses**.

Elektrisierende Bilder von WiFi-Signalen zeigen die unsichtbare Welt der EMF- Bombardierung

- Da wir die Frequenzen unserer WiFi-Geräte nicht sehen können, ist es leicht, die möglichen Schäden zu übersehen, die sie verursachen könnten. Falls wir sie allerdings sehen könnten, würden wir dann zweimal darüber nachdenken, wie oft wir sie benutzen? Mit Hilfe einer Android-App und eines Designers für Langzeitfotografie konnte Luis Hernan zeigen, wie das tatsächlich aussieht.
- Unter dem Titel ***Digital Ethereal*** bietet seine Arbeit einen erstaunlichen Einblick in die Bewegung der WiFi-Signale, die uns praktisch überall hin verfolgen.

Quelle: <http://transinformation.net/elektrisierende-bilder-von-wifi-signalen-zeigen-die-unsichtbare-welt-der-emf-bombardierung/> (am 22.01.2018, um 10:38 Uhr)





Elektrosmog

Herz und Blut

- Erhöhter Blutdruck
- Herzinfarkt
- Schlaganfall
- Arteriosklerose
- Diabetes

Stresshormone

Erhöhte Ausschüttung
Adrenalin in der
Nebennierenrinde

Verdauung

- Chronisches Sodbrennen
- Saures Aufstoßen
- Speiseröhrenkrebs
- Blähungen
- Verstopfung
- Durchfall



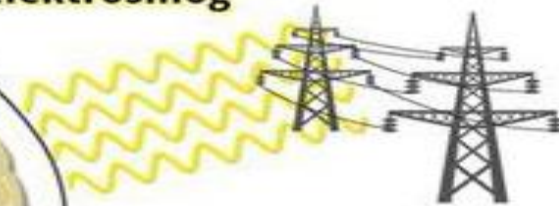
WLAN

Handy

Blut-Hirn-Schranke

- Erhöhte Durchlässigkeit
Schadstoffe ins Hirn
- Alzheimer, Demenz
- Depressionen
- Kognitive Beeinträchtigung
- Aufmerksamkeits-Defizit-
Syndrom (ADS)

Elektrosmog

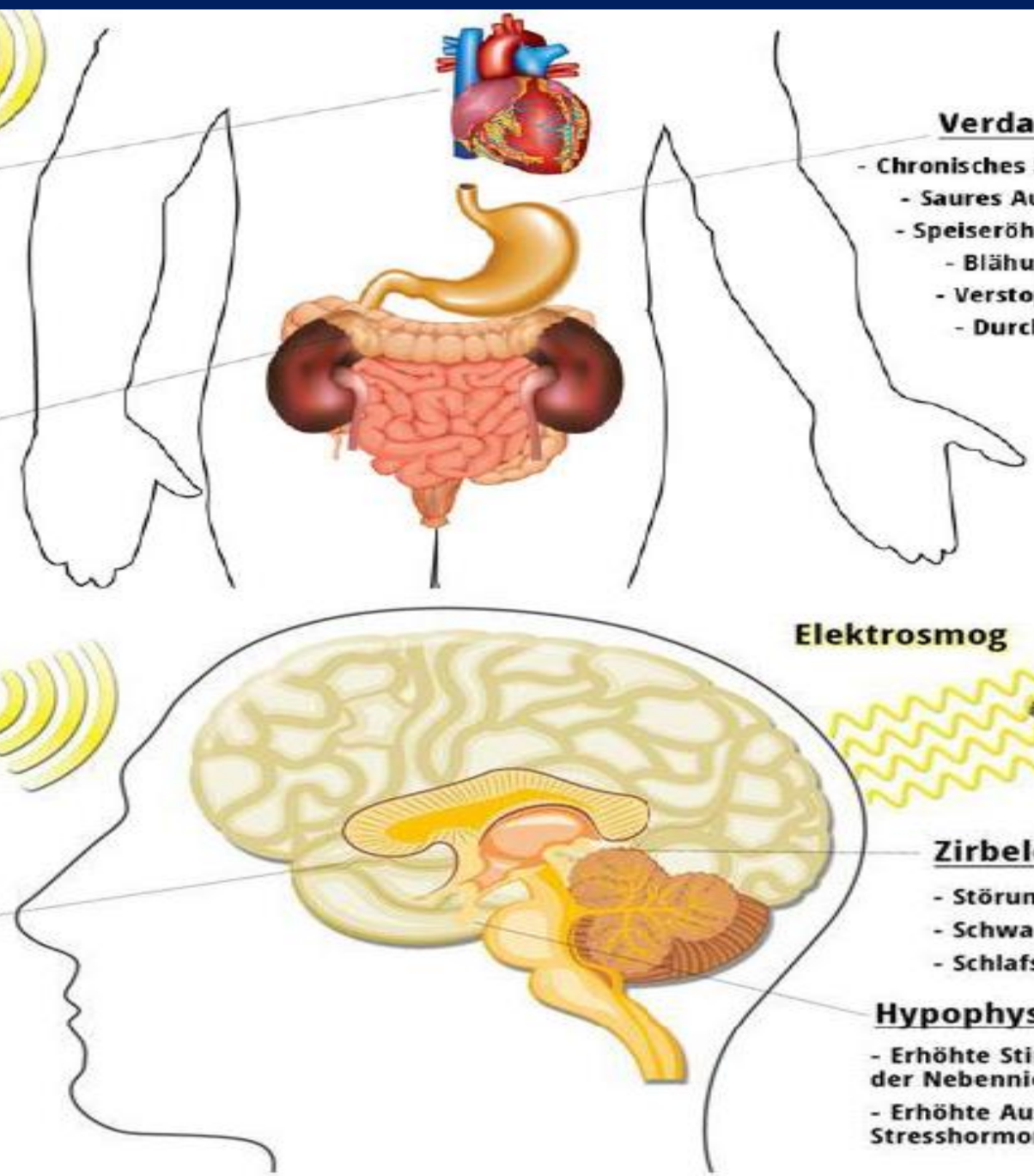


Zirbeldrüse

- Störung Melatoninproduktion
- Schwaches Immunsystem
- Schlafstörungen, Müdigkeit

Hypophyse

- Erhöhte Stimulation
der Nebennierenrinde
- Erhöhte Ausschüttung des
Stresshormons Cortisol



Studien über Auswirkungen des Mobilfunks auf biologische Systeme, EMF-Portal, Stand 2011.

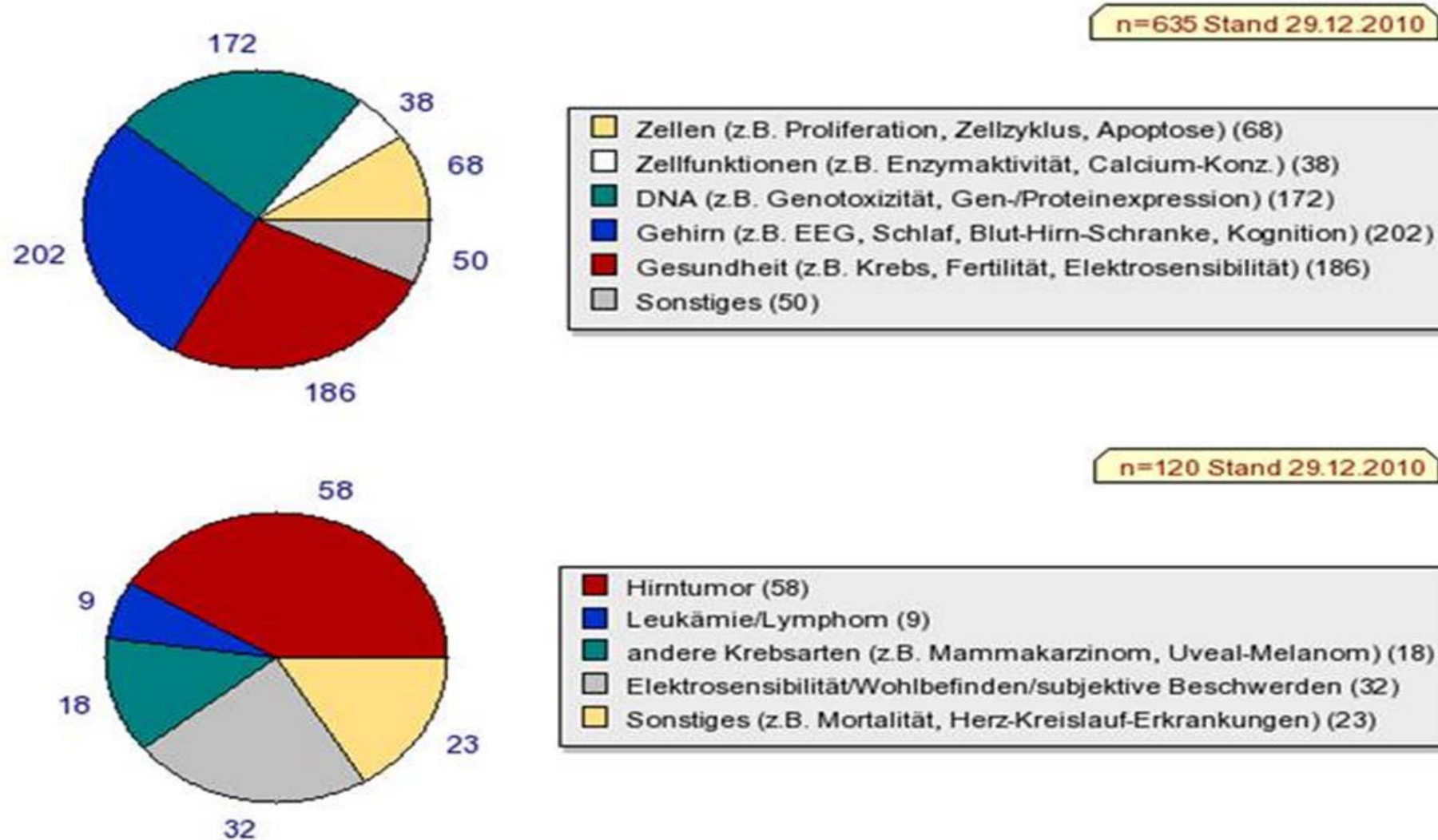


Abb. 1.5: Im EMF-Portal aufgearbeitete Studien mit Mobilfunk-Relevanz, untergliedert in **experimentelle (oben)** und **epidemiologische (unten)** Arbeiten. Quelle: EMF-Portal.

5G Auswirkungen auf die Darmflora und Zellpermeabilität

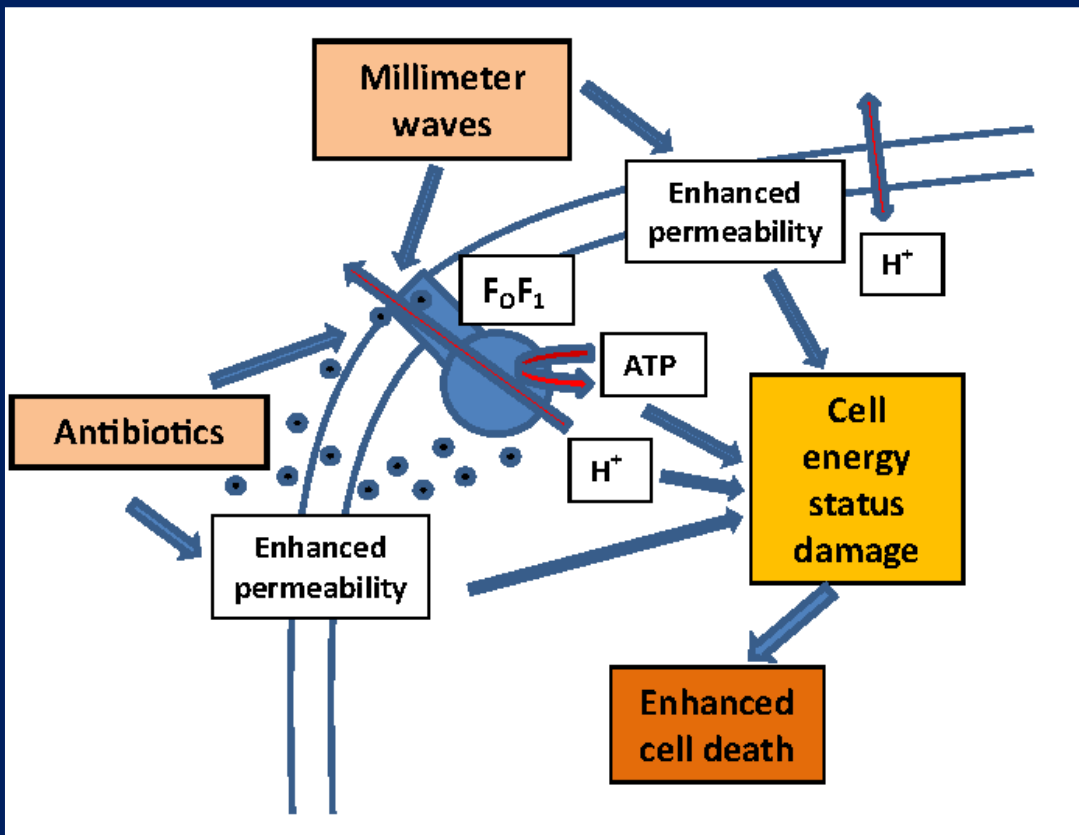


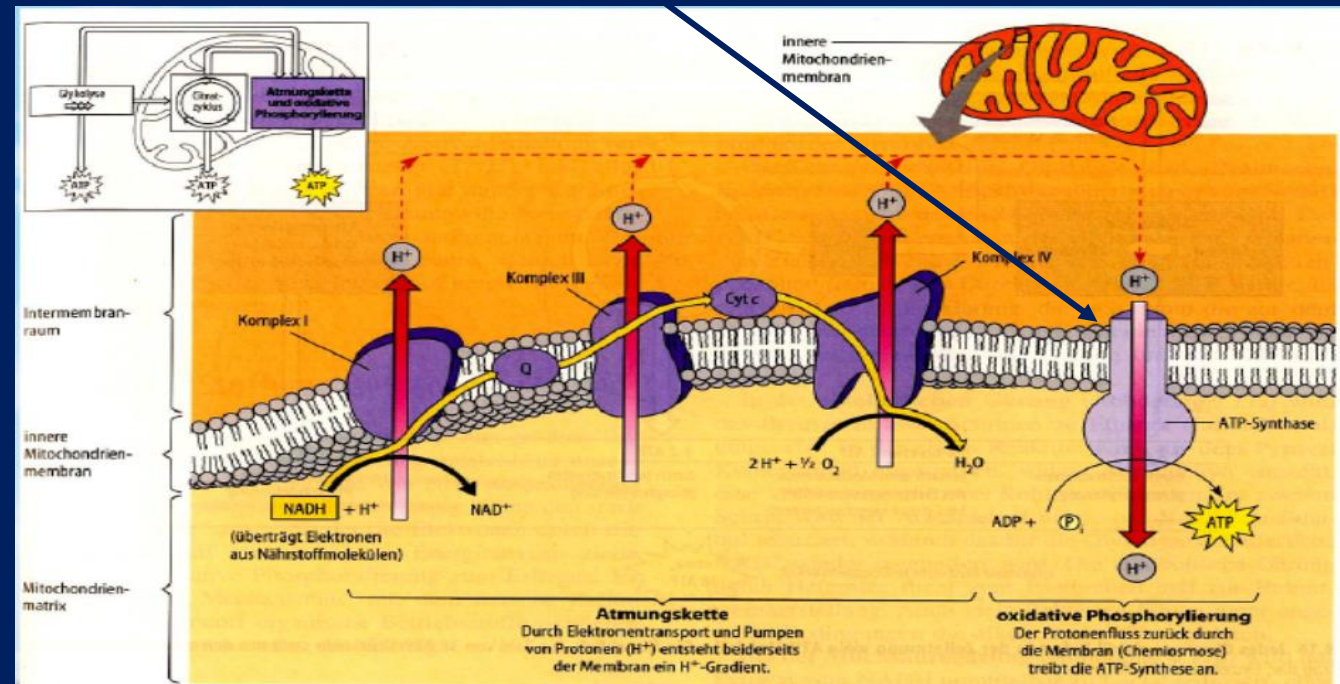
Abb. Kombinierte Wirkungen von MMW (Microwave and Millimetre Wave, 5G) und Antibiotika auf Darmbakterien, Wasser und Zellmembrane.

Aussage der Studie u.a.:
Diese Auswirkungen können zu
Antibiotikaresistenzen in Bakterien
führen!

MMW-Signale werden hauptsächlich transformiert, um Wasserclusterstrukturierung, Membranproteineigenschaften und -aktivität und andere zelluläre Strukturen zu verändern.

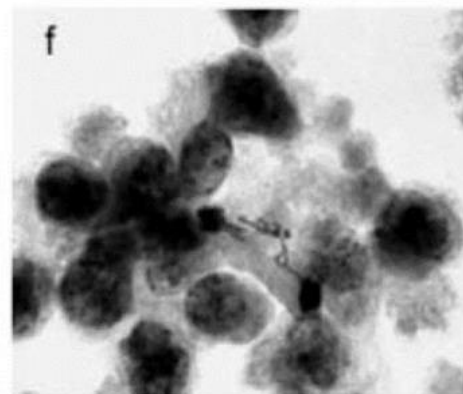
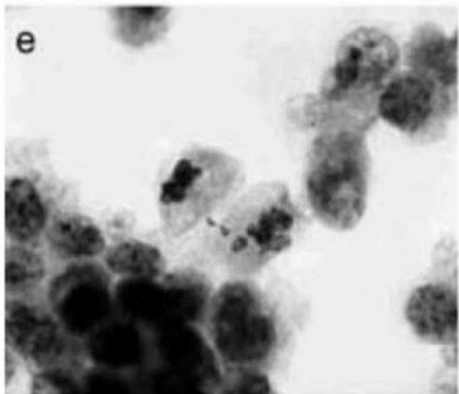
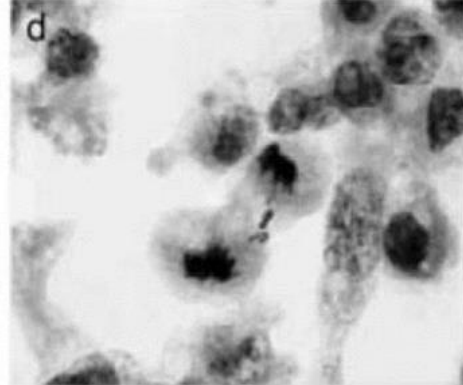
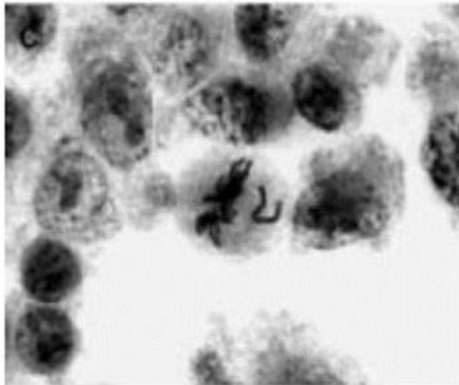
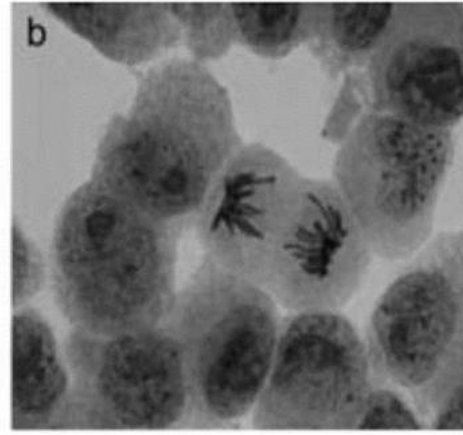
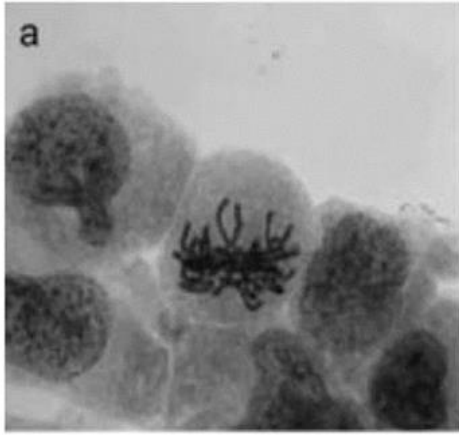
Sowohl MMW als auch Antibiotika beeinflussen die Proton F₀F₁-ATPase. All dies schafft Bedingungen, wenn die Wirkung von Antibiotika erleichtert wird, um einen erhöhten Zellschaden zu bewirken, insbesondere den Energiezustand der Zelle zu verändern und anschließend den Zelltod zu verursachen.

Die zugrunde liegenden Ergebnisse stammen von Torgomyan et al. 2011b und Torgomyan und Trchounian 2013, 2015.



Mitosestörungen

Abb.:
Mikroskopische Aufnahmen
von AL-Zellen:
Normale Metaphase (a),
normale Anaphase (b),



gestörte Metaphase (

gestörte Ana- und
Telophasen (d-f)



Mitosestörungen sind ein Phänomen von großer Bedeutung für den menschlichen Organismus, da sie sowohl zu Mikrokernbildung als auch zu Aneuploidie führen können, die wiederum mit der Krebsentstehung assoziiert ist.

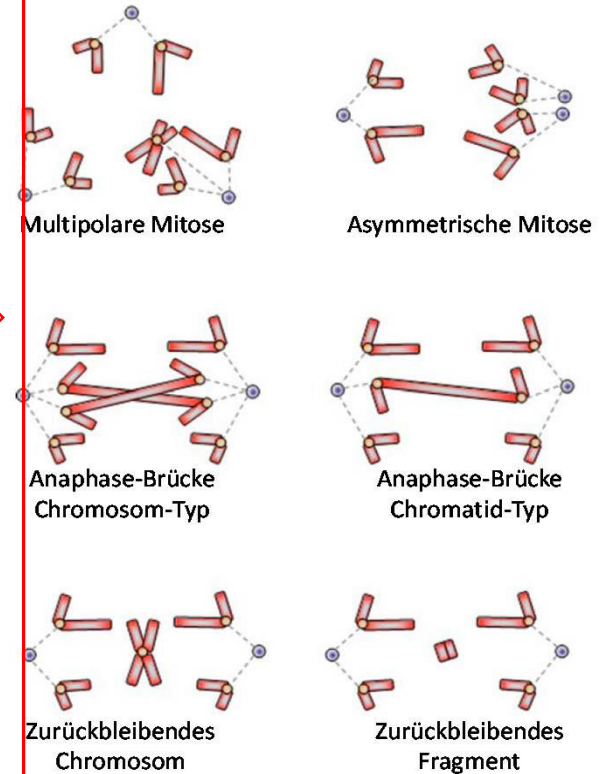
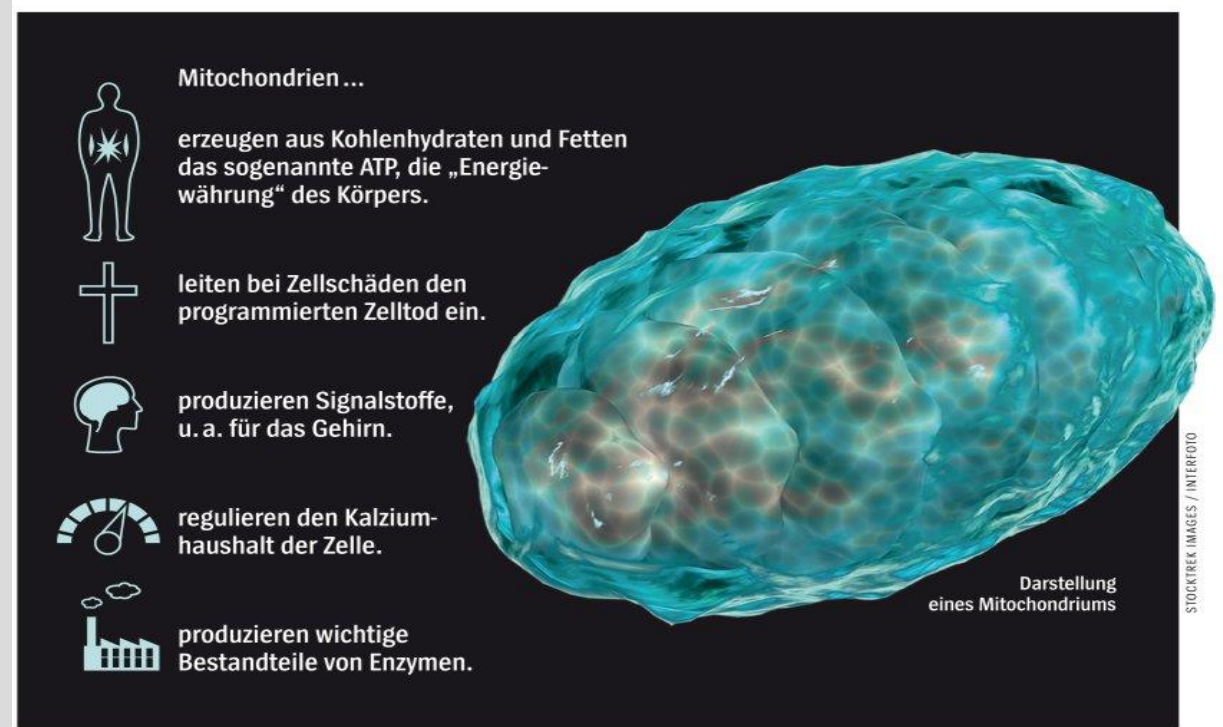


Abb. : Schematische Darstellung verschiedener Arten von Mitosestörungen.

5G: Schädigung der Mitochondrien

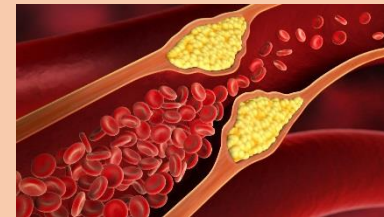
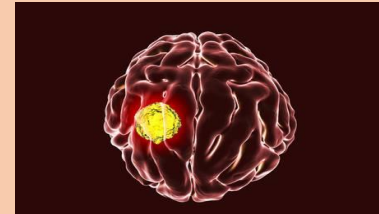
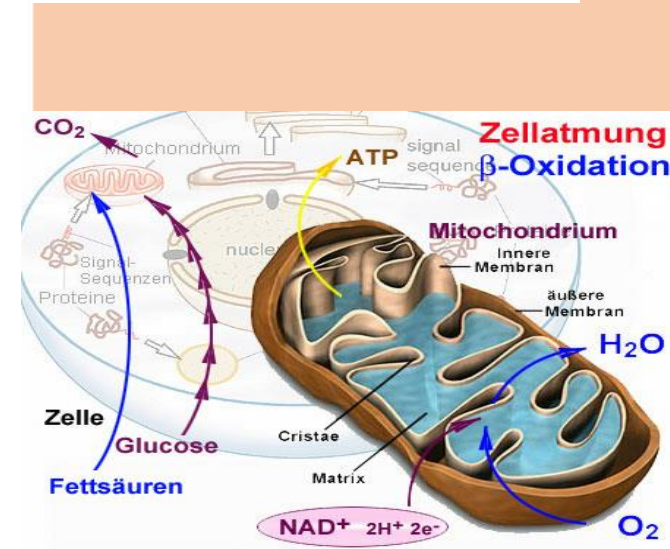
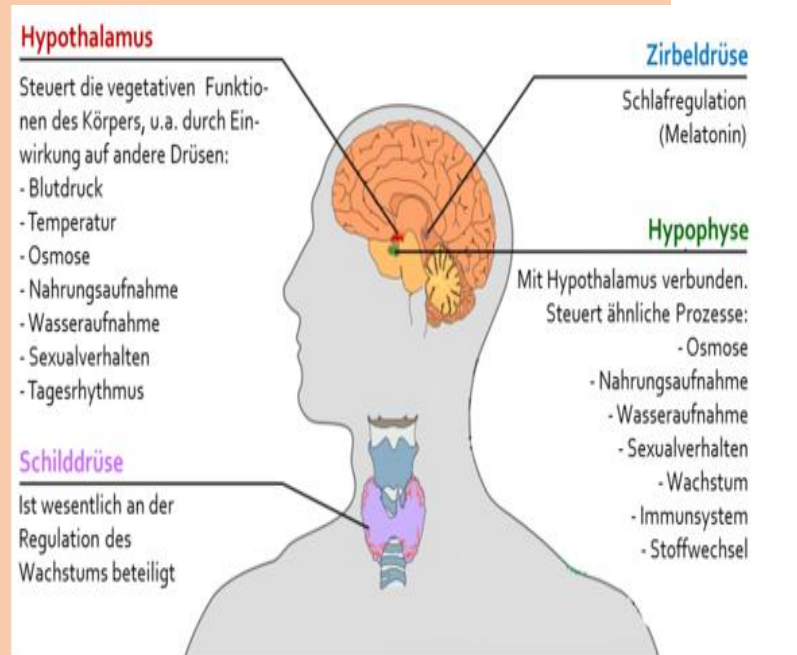
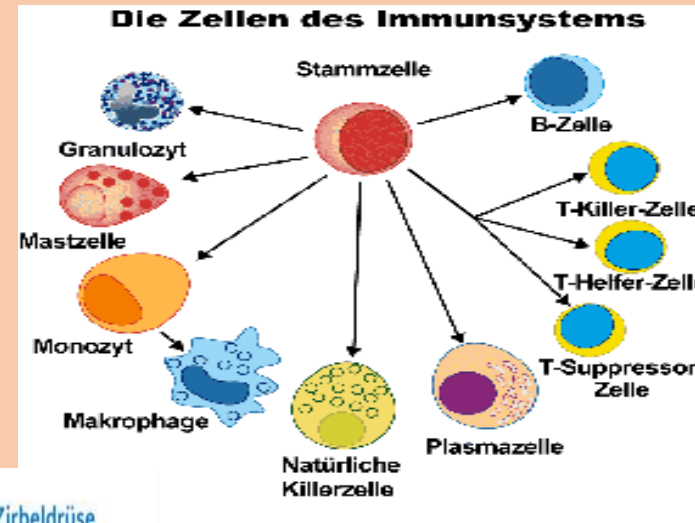
- Mitochondrien sind Zellorganellen die von einer Doppelmembran umschlossen sind und eine eigene Erbsubstanz enthalten, die **mitochondriale DNA**.
- Mitochondrien regenerieren über die Atmungskette das energiereiche Molekül Adenosintriophosphat (ATP). Neben dieser oxidativen Phosphorylierung erfüllen sie weitere essentielle Aufgaben für die Zelle.
- **Belastung durch elektromagnetische Feldstrahlung (EMF) führen zu chronischen Krankheiten und zu Schädigungen der Mitochondrien.**
- Dr. Pall veröffentlichte Forschungsergebnisse die zeigen, dass niederfrequente Mikrowellenstrahlung **spannungsgesteuerte Calciumkanäle (VGCCs) aktiviert – Kanäle in der äußeren Membran der Zellen. Nach der Aktivierung öffnen sich die VGCCs und ermöglichen einen abnormalen Zufluss von Calciumionen in die Zelle, was Stickoxid (NO) aktiviert.**
- Starke Oxidationsstressoren sind mit einem erhöhten Maß an systemischer Entzündung und mitochondrialer Dysfunktion verbunden und gelten als Ursache für viele der heutigen chronischen Krankheiten.



Dagegen;
Hochdosiert Melatonin und DHA,
Carotinoide, Zeolithe,
Grenzzonenwasser

Die gesundheitsschädlichen Wirkungen von Hochfrequenzstrahlung (HF)

- Auswirkungen auf das allgemeine Befinden⁽¹⁹⁾
- Erhöhte Anzahl freier Radikale⁽²⁰⁾
- Lern- und Gedächtnisdefizite⁽²¹⁾
- Beeinträchtigte Spermienfunktion und –qualität⁽²²⁾
- Fehlgeburten⁽²³⁾
- Neurologische Schäden⁽²⁴⁾
- Fettleibigkeit und Diabetes⁽²⁵⁾
- Oxidativer Stress⁽²⁶⁾
- Erhöhte Permeabilität der Blut-Hirn-Schranke
- Veränderung der Bakterien
- Melatonin-Reduktion
- Schädigung der Mitochondrien



5G technologies cause greatharm (grosses Leid) to human health. **Cancer** is only one of the many problems. **5G causes 720 (factorial) different diseases in human beings**, and can **kill everything** that lives except some forms of micro-organisms

Christianto V, Boyd RN, Smarandache F. Wireless Technologies (4G, 5G) are very harmful to human health and environment: a preliminary review. *BAC Cancer Res Ther* 2019; 5:25:066.

Ihre größte Chance, ein Handy (wenn Sie ein Erwachsener sind) nicht länger als 27 Minuten am Tag zu benutzen. wenn Sie das überschreiten Sie haben dann mehr als 40 Prozent Wahrscheinlichkeit, dass sich Krebs entwickelt. Für ein Kind ist diese Zeitdauer nur wenige Minuten, da Kinder aus verschiedenen Gründen 60 – 70 Prozent mehr Strahlung absorbieren als Erwachsene und die Strahlung rund 75 Prozent mehr Schaden im Inneren eines Kindes verursachen kann

In ihrem Land, in Deutschland werde ich garantieren und es ist eine Tatsache, - es ist veröffentlicht und experimentell bewiesen, dass in drei Generationen, wenn Sie nichts tun, nur eines von acht Ihrer Kinder - das sind die exponierten Kinder-, die die gesamte Bevölkerung ausmachen werden – nur eines von acht Ihrer Kinder erwarten kann, dass es gesund geboren wird. Die anderen sieben von acht werden entweder tot sein oder eine genetische Krankheit haben. Das ist veröffentlicht.

4.500 biologische Strukturen im Körper und im Gehirn, die von **Mikrowellen beein-**

flusst werden können. Zum Beispiel gibt es eine **bestimmte Frequenz, die die Darmfunktion** zusammenbrechen lässt. Eine andere, die Sie dazu bringen kann, **Selbstmord zu begehen**, eine andere, **die Krebs bei Ihnen auslöst**.

Mikrowellen-Kriegsführung - ist eine Tarnwaffe, die verwendet werden kann, um das Gehirn oder einen Teil des Körpers zu verändern, ohne dass die Person weiß, dass sie mit Mikrowellen bestrahlt wird, weil man sie nicht sehen kann, man kann sie nicht riechen, man fühlt sich bloß krank.

Tatsächlich **sind 2 der 5G Frequenzen tödliche Waffen**. Einige der 5g Frequenzen



**ZERSTÖRUNG VON MENSCH,
TIER UND NATUR
DURCH ((5G)) - STRAHLUNG**

TELEFONINTERVIEW MIT
MIKROWELLENSPEZIALIST
DR. BARRIE TROWER

Anmerkung zur Wirksamkeit der 5 G Millimeterwellen in der Erzeugung von Covidsystemem:

5 G und Wechselwirkung mit der HAUT- DNA oder 5 G produziert Coronaviren ?

Editorial > J Biol Regul Homeost Agents. 2020, 16, Juli; 10.23812 / 20-269-E-4
doi: 10.23812 / 20-269-E-4. Online vor dem Druck.

RETRACTED: 5G-Technologie und Induktion von Coronavirus in Hautzellen

M Fioranelli ¹, A Sepehri ², MG Roccia ¹, M Jafferany ², OY Olisova ³, KM Lomonosov ³, T Lotti ^{1,3}

Zugehörigkeiten + erweitern
PMID: 32668870 DOI: 10.23812 / 20-269-E-4

Rückzug in

RETRACTED: 5G-Technologie und Induktion von Coronavirus in Hautzellen.
Fioranelli M, Sepehri A, Roccia MG, Jafferany M, Olisova OY, Lomonosov KM, Lotti T.
J Biol Regul Homeost Agents. 2020, 16, Juli; 34 (8). doi: 10.23812 / 20-269-E-4R. Online vor dem Druck.
PMID: 32746604

5G-Technologie und Induktion von Coronavirus in Hautzellen

M Fioranelli ¹, Ein Sepehri ¹, MG Roccia ¹, M Jafferany ², OY Olisova ³, KM Lomonosov ³, T Lotti ^{1,3}

Zugehörigkeiten + erweitern
PMID: 32668870 DOI: 10.23812 / 20-269-E-4

Der 5 G Hammer

III.3.B)

Abstrakt

In dieser Studie zeigen wir, dass 5G-Millimeterwellen von dermatologischen Zellen absorbiert werden können, die wie Antennen wirken, auf andere Zellen übertragen werden und die Hauptrolle bei der Produktion von Coronaviren in biologischen Zellen spielen. DNA besteht aus geladenen Elektronen und Atomen und hat eine induktorähnliche Struktur. Diese Struktur könnte in lineare, toroide und runde Induktoren unterteilt werden. Induktoren interagieren mit externen elektromagnetischen Wellen, bewegen sich und erzeugen einige zusätzliche Wellen innerhalb der Zellen. Die Formen dieser Wellen ähneln den Formen der hexagonalen und fünfeckigen Basen ihrer DNA-Quelle. Diese Wellen erzeugen einige Löcher in Flüssigkeiten innerhalb des Kerns. Um diese Löcher zu füllen, werden einige zusätzliche sechseckige und fünfeckige Basen hergestellt. Diese Basen könnten sich miteinander verbinden und virusähnliche Strukturen wie Coronavirus bilden. Um diese Viren in einer Zelle zu produzieren, muss die Wellenlänge der externen Wellen kürzer als die Größe der Zelle sein. Somit könnten 5G-Millimeterwellen gute Kandidaten für die Anwendung beim Aufbau virusähnlicher Strukturen wie Coronaviren (COVID-19) in Zellen sein.

Keywords: 5G technology; COVID-19; DNA; dermatologic antenna; inductor; millimeter wave.

Copyright 2020 Biolife Sas. www.biolifesas.org.

Gekochte Schweißdrüsen durch 5 G ?

Der Mensch besitzt zwei bis vier Millionen **Schweißdrüsen**. Sie liegen unter der Epidermis in der Lederhaut. Wir werden deshalb von der **5G-Strahlung „gekocht“**, weil sie die **Millimeterwellen wie Antennen anziehen**. Zu diesem Schluss kommt eine Studie des Physikprofessors **Yuri Feldman** von der **Hebräischen Universität Jerusalem**.

Feldmans Kollegin **Dr. Yael Stein** vom **Hadassah Medical Center** in Jerusalem schrieb deswegen bereits am **9. Juli 2016** einen offenen Brief an die **Federal Communications Commission FCC (USA)**:

„Sollten diese Geräte und Antennen den öffentlichen Raum füllen, werden wir alle, auch die gesundheitlich anfälligeren Mitglieder der Gesellschaft, dieser Strahlung ausgesetzt sein: Babys, schwangere Frauen, Senioren, Kranke und elektrosensible Menschen...“

zusammen mit dem **Auftreten vieler neuer Krankheitssymptome von physischen Schmerzen und bis dahin unbekannte neurologische Störungen...**,

man wird einen **kausalen Zusammenhang** zwischen der **5G-Technologie** und diesen **spezifischen Krankheiten** nachweisen können. Die betroffenen Personen hätten somit **ein Anrecht auf eine finanzielle Entschädigung.**“

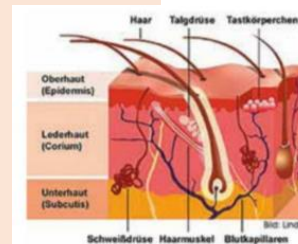
5G-Technologie und Induktion von Coronavirus in Hautzellen

M Fioranelli¹, Ein Sepehri¹, MG Rocca¹, M Jafferany², OY Olisova³, KM Lomonosov³, T Lotti^{1,3}

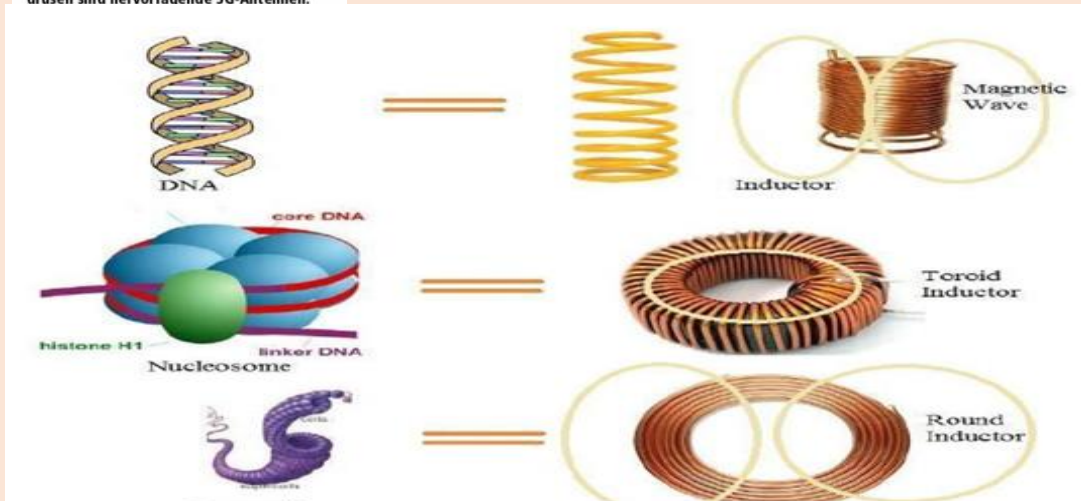
Zugehörigkeiten + erweitern

PMID: 32668870 DOI: 10.23812 / 20-269-E-4

Der 5 G Hammer



Kochender Schmerz: Haut und Schweißdrüsen sind hervorragende 5G-Antennen.



These **extra hexagonal and pentagonal bases** may join to each other and form **structures like RNAs of COVID-19** viruses.

To produce these viruses, **it is necessary that the wavelengths of external electromagnetic fields be equal or less than the size of a cell**. For this reason, **5G technology waves** could have the main role in the emergence of **COVID-19**, however radio waves could not have any effect on the evolutions within a cell (Fig. 5).

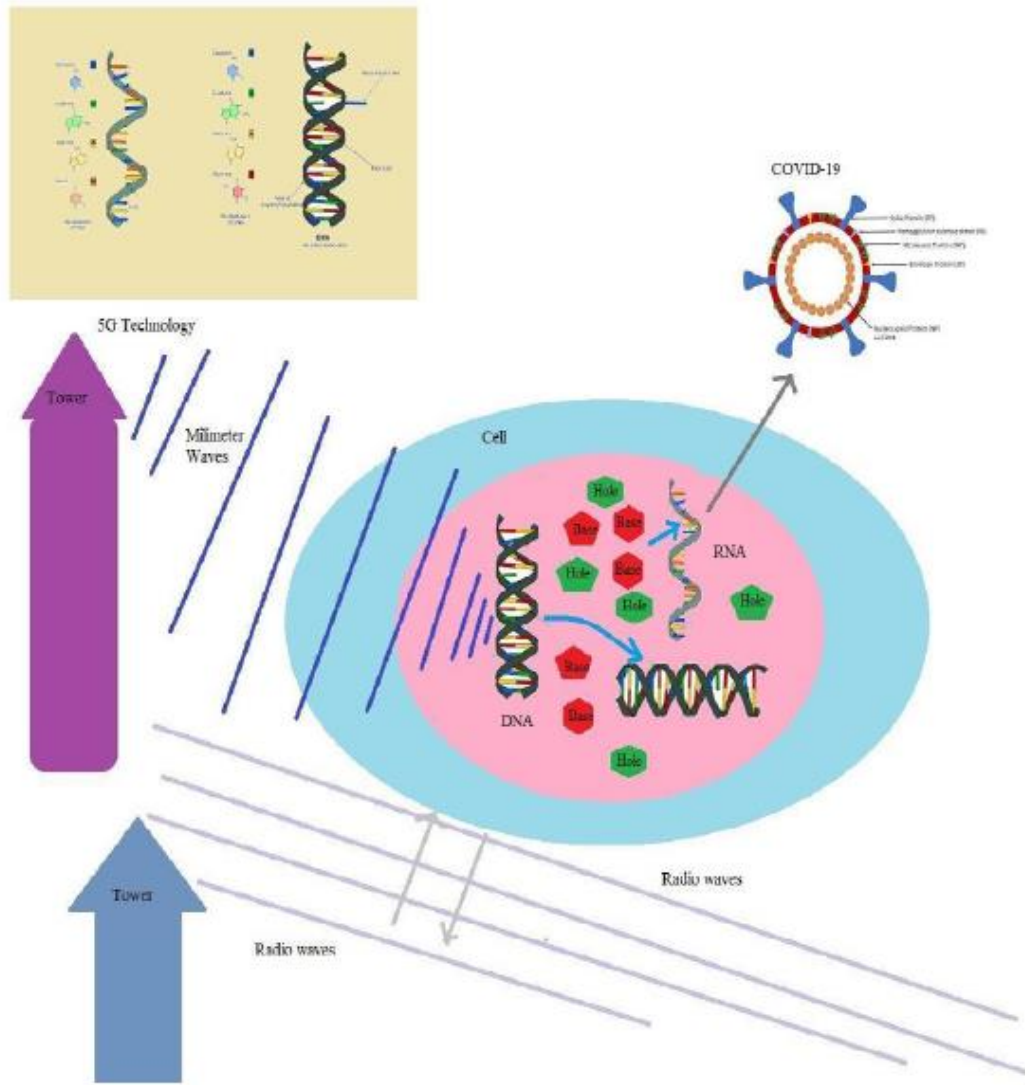


Fig. 5. 5G technology waves could pass the cell membranes and lead to production of COVID-19; however the size of radio waves are more than the size of cells and thus radio waves could not pass the cell membranes.

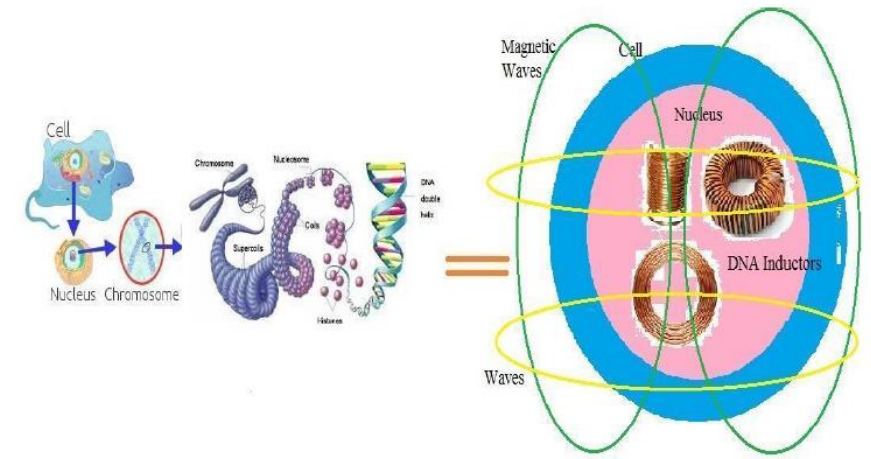


Fig. 4. A DNA within the nucleus acts as the inductor and emits magnetic waves

- A DNA coils several times around different axes within chromosomes and produces different types of inductors and electronic devices. Thus, any state of a DNA is similar to a **type of an inductor** and emits a special wave. Some of these waves are linear, some are curved and others havetoroidal shapes (Fig. 4).
- DNA is formed from hexagonal and pentagonal manifolds; thus, its emitted waves have hexagonal and pentagonal shapes. These waves produce hexagonal and pentagonal holeswithin the liquids of a nucleus and a cell. To fill these holes, hexagonal and pentagonal molecules are built.
- These **extra hexagonal and pentagonal bases may join to each other and form struc-tures like RNAs of COVID-19 viruses.**
- To produce these viruses, **it is necessary that the wavelengths of external electromagnetic fields be equal or less than the size of a cell.** For this reason, 5G technologywaves could have the main role in the emergence of COVID-19, however radio waves could not have any

STRAHLUNGSGEFAHREN

"Noch nie in der Geschichte wurden Menschen so geschickt dazu gebracht, sich langsam auszurotten - und glücklich viel Geld für das Privileg zu zahlen." - Amy Worthington, www.wi-cancer.info



Untersuchung der Korrelation zwischen Fällen von Coronavirus und dem Vorhandensein von 5G-Netzwerken

👤 Bartomeu Payeras 📅 27. April 2020 🕒 14:10 Uhr 💬 27 Kommentare

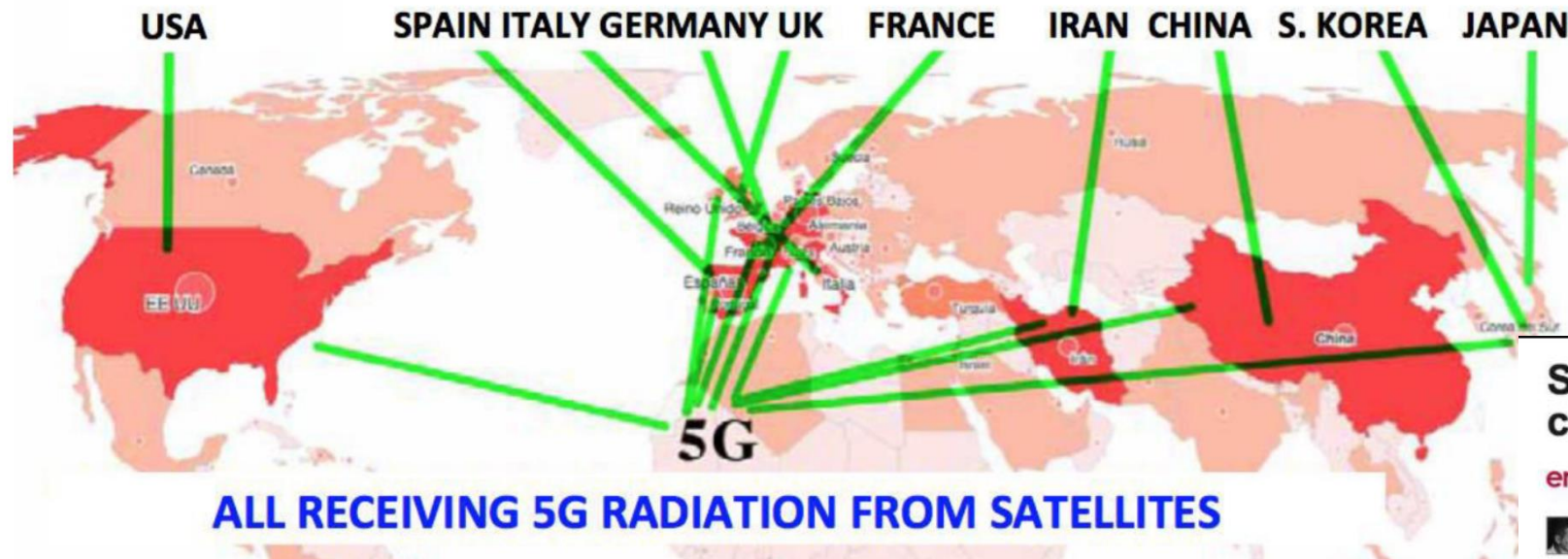
*Einführung
von Dee
McLachlan*

**Gumshoe
NEWS**



III.3.C)

1. TABELLE DER 9 LÄNDER MIT DEN MEISTEN INFESTIONEN WELTWEIT



Zu den top fünf der Corona Virusländer gehört nicht mehr China, derzeit terrorisiert das Corona Virus 152 Länder auf der ganzen Welt. 100 Kranke in einem Land wie China unterscheiden sich von 100 in einem Land wie San Marino. In Anbetracht der schlimmsten Ausbrüche in der Welt ist gegenwärtig **San Marino** mit 100 Einzelfällen einem Land mit nur 33.400 Einwohnern ganz vorne:

San Marino : 2194 Fälle/Million
 Italien : 349,9 Fälle/Million
 Norwegen : 204,5 Fällen/Million

"Angesichts der Tatsache, dass sehr kleine Länder eingeschlossen sind, wird der schlimmste Ausbruch der Welt derzeit in San Marino mit 101 Fällen in einem Land von 33.400 registriert."
<https://www.eturbonews.com/567130/mos-t-infiziert-coronavirus-country-s-san-marino-italien-norwegen-s-korea-schweizland-iran/>

Der Vergleich zwischen dem kleinen Bundesstaat San Marino (Italien) und Kroatien (direkt gegenüber der Adria) ist erstaunlich.

San Marino war der erste europäische Staat, der 5G-Technologie erhielt, und weist die höchste Infektionsrate auf. San Marino ist 2,59-mal mehr als Italien und 27-mal mehr als Kroatien - ein Land ohne 5G.

4. Der Fall San Marino ist besonders bedeutsam. Es war der erste Staat der Welt, der 5G installierte, und daher der Staat, dessen **Bürger der längsten und verdächtigsten 5G-Strahlung** ausgesetzt waren, der erste Staat der Welt mit Infektionen. Die Wahrscheinlichkeit dafür liegt bei **1 zu 37.636.**

San Marino set to become the first 5G country

engineeringpro

by Richard Morlan 19/07/2017 Like Follow

Following the signing of a Memorandum of Understanding (MoU) with Telecom Italia, San Marino is set to become the first country to go fully 5G. Telecom Italia intend to use San Marino as a testing ground for the next generation of wireless tech.



"Why San Marino? Because the self-contained nature of the state, and its relatively few restrictions on the use of radio frequency makes it the ideal place to test the latest development in telecoms connectivity."

"Telecom Italia intends to double the number of its mobile sites within the country and will additionally install a network of small cells in downtown San Marino."
<https://www.fircroft.com/blogs/an-marino-set-to-become-the-first-5g-country-72001910124>

Why San Marino? Because the self-contained nature of the state, and its relatively few restrictions on the use of radio frequency makes it the ideal place to test the latest development in telecoms connectivity.

Telecom Italia intends to double the number of its mobile sites within the country and will additionally install a network of small cells in downtown San Marino.

Comparison of no. of infections per 1000 inhabitants in 4 countries near the same latitude and using 5G networks

3. CHART AND RATES OF INFECTION OF 4 NEARBY COUNTRIES AT THE SAME LATITUDE: PORTUGAL, SPAIN, ITALY, GREECE



5G NETWORK:

The average for Spain and Italy is 2.4.

The average for Portugal and Greece is 1.09.

Conclusion: the two countries with 5G have 220% more infections.

Note: data for 4 April 2020

Vergleich von vier nahe gelegenen Ländern desselben Breitengrads: Portugal, Spanien, Italien, Griechenland. Die beiden Länder mit 5G (Spanien und Italien) haben 220% mehr Infektionen als Portugal und Griechenland.

Auch durch geplante **mRNA Impfung** mit Bildung weiterer Aktivierung der ohnehin schon bei 85% der Menschen bereits bestehenden Antikörper gegen Covid. **MASSEZELLNEKROSEN UND TOD**



Ein Biotech-Unternehmen aus San Diego erhält gerade einen Zuschuss von 9 Millionen US-Dollar für die Entwicklung eines Impfstoffs gegen das Coronavirus.

Offizielles IMFUNGSGZIEL.
Antikörpermedierte Superinfektion mit
??hoherSterblichkeitsrate?

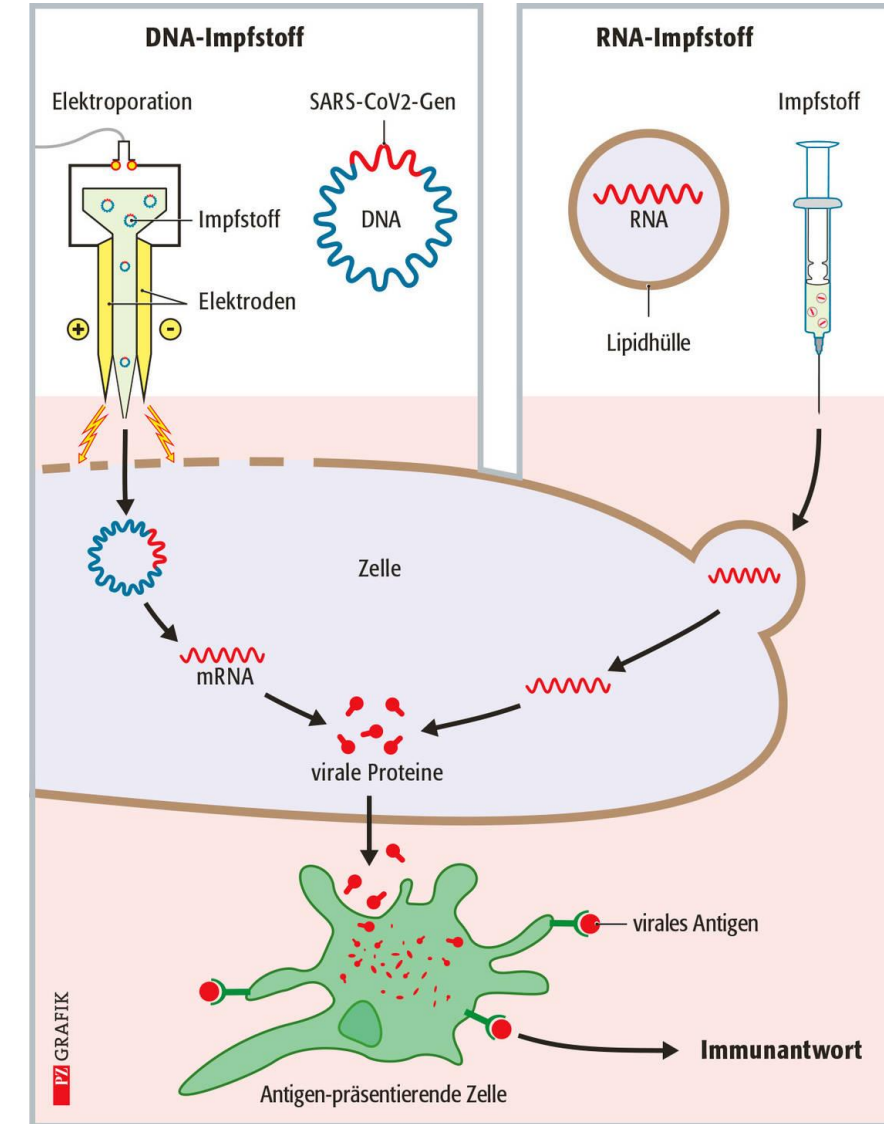
• 5G – Technik zur ELEKTROPORATION:

- Dies ist **ein gepulster elektrischer Strom**, der an lokales Gewebe angelegt wird, damit die Zelle Löcher aufweist, in die gerade genug **synthetische DNA eindringen kann**. Dann stoppt der Puls und die Zelle schließt sich.
- Die Therapie mit Referenzen aus 74 separaten Artikeln aus dem Jahr 2004 kommt zu dem Schluss, dass die Verwendung des Gentransfers mittels Elektroporation nur bei menschlichen **Antikörpern angewendet werden sollte, da Probleme von Krebs bis zum Tod auftreten können.**
- Die Speicherung und Verarbeitung genetischer Informationen basiert auf nur zwei Polymeren, **DNA und RNA**, die manipuliert werden, um **XNA** einzuschließen.
- Die Europäische Kommission hat das Integrierte Projekt PACE in ihrem Future Emerging Technologies-Programm von 2004 bis 2008 unterstützt. <http://cordis.europa.eu/ist/fet/>

Laut Wissenschaftlern könnte **XNA** auf anderen Planeten zu unterschiedlichen Lebensformen führen oder zur Schaffung neuer synthetischer Lebensformen verwendet werden.

Diese Technologie wird jetzt bei Impfungen ohne Vorschriften oder Aufsicht eingesetzt und kann nur zu einer Mutation Menschheit führen.

Geht es bei Pandemien wirklich darum? Inovio behauptet in nur 2 Stunden einen Impfstoff gegen ein nicht existierendes Virus herzustellen, „Coronavirus“ herstellen zu können! Über Elektroporation mit 5G



Zusammenfassung

• 5G- UND DIE ELEKTROKORPORATIONS-DNS-IMPfstOFFE – BEIDE ERZEUGEN GEPULSTE EMF-WELLEN

- Es existiert eine Technologie, die EMF verwendet, um die Poren der Haut zu öffnen und fremde DNS in den Blutkreislauf und die Zellen zu injizieren.
- Dies ist eine extreme Verletzung der körperlichen Souveränität, und es kann langfristige Auswirkungen haben wegen der **genetischen Mutation** – es verändert tatsächlich unsere DNS
- Was wäre, wenn **5G die Elektroporation** nachahmt? Was wäre, wenn 5G in grossem Massstab das tun kann, was die Elektroporation in kleinem Massstab tut? Wir wissen bereits, dass **5G das Potenzial hat, mutagen zu sein** (DNS-schädigend).
- Die Frequenzen, die bei 5G verwendet werden, **insbesondere 75-100GHz**, interagieren mit der geometrischen Struktur unserer Haut und **Schweissdrüsen**, wirken auf sie wie eine Übertragung ein, die eine Antenne erreicht, und beeinflussen uns und unsere Stimmung grundlegend
-
- Was wäre, wenn 5G verwendet wird, um die Haut der Menschen in Wuhan zu öffnen, damit das neue Biowaffen-Coronavirus leichter in die Haut eindringen kann?

PFLICHTIMPFUNGEN, ENTVÖLKERUNG UND TRANSHUMANISMUS

- Was nun befindet sich auf dem Grund der Coronavirus-5G-Verbindung im Kaninchenbau? Wir würden vorschlagen, wir finden eine **Pflichtimpfungen- Agenda, die Entvölkerungs-Agenda und eine transhumanistische Agenda** (über DNS-Impfstoffe).
- Die Schlüsselfiguren und Gruppen, die offensichtlich dies geplant haben, haben den Impfstoff bereits eingeführt, genau wie bei den anderen Epidemien, die im Sande verlaufen sind (SARS, Ebola und Zika). Weiner hat sogar Verbindungen zu HIV / AIDS,
- Die Beweise, dass **COVID-19 eine Biowaffe ist**, sind überwältigend – ebenso wie die Beweise dafür, dass **5G** daran beteiligt ist, entweder die **grippeähnlichen Symptome / Pneumonie bei Menschen zu verursachen und / oder die Virulenz des Virus zu verschlimmern, indem das Immunsystem der Menschen geschwächt** und sie **gepulsten Wellen von EMF** verwendet werden, um ihre Haut für fremde DNS-Fragmente (einschliesslich Viren) zu öffnen.



Ich, **6**fache
Witwe suche
Mann zum
verlieben.

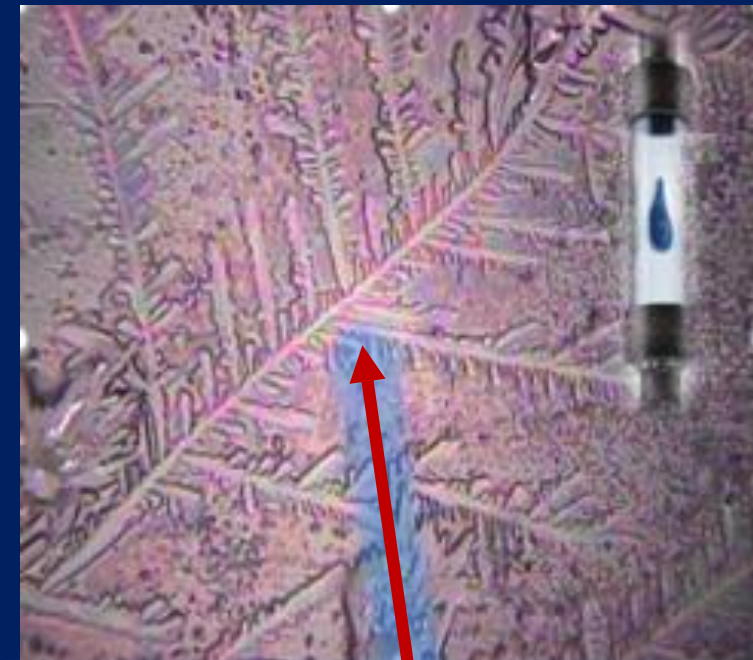
Meine Hobbys:
Pilze sammeln
und kochen!

WO-TV
ge.org

Lösung
biophysikalischer
Probleme



Pathologische 90 Grad Winkel mit der Erzeugung von Entzündungen und Tumoren



Der Raumharmonisierer, der starke 30/60 Grad – physiologische Winkel im Umreis von 12 m aufbaut

DARPA-Gel in Impfstoffen,
Masken und PCR-Stäbchen
für unser System
pathologische 90 Grad
Winkel!



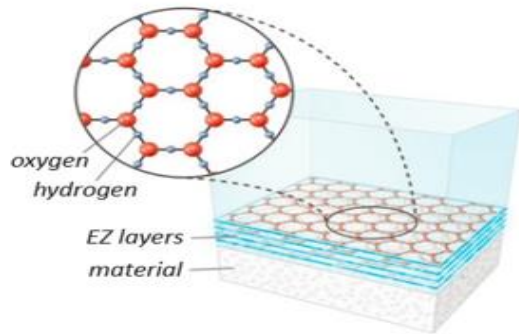
Blutkristallinat

einer Frau mit Brustkrebs

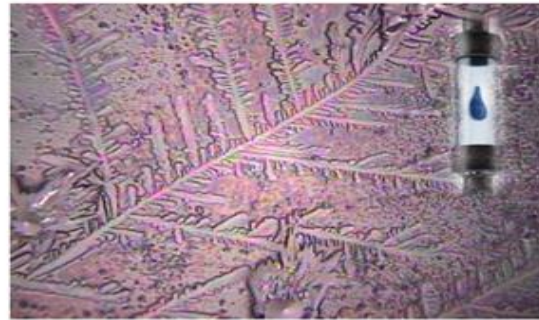
Die Systeme Quantenstein, Raumharmonisierer, Autoharmonisierer.

Erdungstransformer

wirken vor allem über die Bildung und den den Aufbau von HEXAGONALEM Wasser im Körper und auch in der Umgebungsluft, im Auto oder im Freien, so dass die pathologischen 90 Grad Winkel in physiologische 30/60 Grad Winkel umgebaut werden.

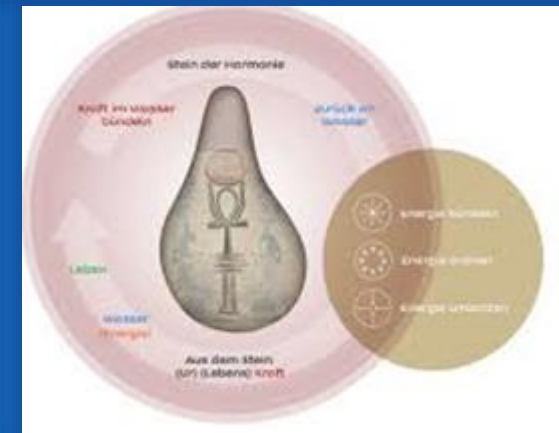


*Hexagonales Wasser
nach Pollack, H3O2*



Physikalisch und biologisch perfekt strukturiertes Wasser

Regelmäßige Kristallstrukturen, ideale Formbildung mit 60° Winkelstrukturen, d.h. **hexagonal**
Der Sauerstoffgehalt **erhöht** sich um **44%**
Optimale biologische und technische Eigenschaften, minimale Fäulnisbildung



Quantenstein

Autoharmo- nisierer



Raum- harmonisierer

Hexagonales Wasser ist extrem „ – „ geladen und der optimale Ausgleich für massive Radikale, die zB. Durch Elektromog oder Impfungen usw. in den Körper gelangen



Wasser- strukturierer

LEBENSERHALTENDES WASSER



„Die Zelle ist unsterblich. Allein die Flüssigkeit, in der die Zelle schwimmt, unterliegt degenerativen Prozessen“

Dr. Alexis Carrel (erhielt den Nobelpreis für Medizin für den Laborbeweis 1912)

"Voraussetzung, damit die Zelle ewig währt, ist die regelmäßige Erneuerung dieser extrazellulären Flüssigkeit. Nicht jedes Wasser kann „ewiges Leben“ gewährleisten. Der Unterschied zwischen einer biologisch aktiven Zellflüssigkeit und gewöhnlichem Wasser besteht in dessen **physikalischer Struktur, der räumlichen Anordnung seiner Moleküle (Geometrie)**. Eine Störung dieser Ordnung ist mit Krankheiten verbunden."

Dr. Alexis Carrel

- „Tumore entstehen durch die Zerstörung der **Wasserstruktur** in der Zelle, also im intrazellulären Wasser. Es bildet sich ein **Herd aus „nicht lebendem Wasser“ innerhalb des „lebenden“, quasi-kristallinen, energetisierten Zellwassers**. Dieser wirkt als permanenter Reiz auf die Zelle, sich zu teilen. Die Folge ist der Beginn eines wuchernden Krebsgeschwürs.“
- Karl S. Trincher, renommierter österreichisch-russischer Biophysiker, Trincher, K.: Wasser – Grundstruktur des Lebens und Denkens; Herder, Wien 1990, ISBN-10: 3210250030)

Probe	pH	ORP	rH2	el. Leitf.	R-Wert	Energiew.
				$\mu\text{S/cm}$	Ohm	μW
Vergleichsprobe im Feld von Stein der Harmonie	7,67	-10,0	21,76	611	1637	22,7
Vergleichsprobe	7,75	66,0	24,49	509	1965	37,0

Unabhängig vom pH-Wert ist der **rH2-Wert** der Indikator für das **Reduktionspotential** (Zunahme der Elektronen!) des Wassers. Dieser Wert wird gegenüber der Vergleichsprobe etwas abgesenkt und unterschreitet sogar den optimalen Wert von 22 ein wenig. (**Ein rH2-Wert von ca. 22 steht für redoxneutrale Verhältnisse**, die obere Grenze des zuträglichen Bereichs liegt nach VINCENT bei 28). Es ist äußerst selten anzutreffen, dass ein Verfahren zur Beeinflussung von Wasser einen derart **günstigen rH2-Wert** erzielt! Auch die Beurteilung des Redoxverhaltens des Steins der Harmonie fällt somit unter bio-elektronischen Gesichtspunkten sehr günstig aus.

„Insgesamt kann unter den Gesichtspunkten des pH-Wertes, des rH2-Wertes sowie des Energiewertes der Einflussnahme des Steins der Harmonie auf Wasser ein hervorragendes bio-elektronisches Zeugnis ausgestellt werden“.

Die Auswertung der Messungen des Energiewertes ergab, dass sich durch den Stein der Harmonie ein Wert von 22,7 μW nach der bio-elektronischen Berechnungsmethode einstellt (gegenüber 37 μW bei der Vergleichsprobe). VINCENT fordert idealer Weise niedrige Werte ($< 25 \mu\text{W}$). Diese Vorgabe wird durch den Einfluss des Steins der Harmonie erreicht – wiederum ein selten anzutreffender Fall! Viele Wässer weisen gegenüber der Sichtweise der Bio-Elektronik zu hohe Energiewerte auf.



Einschub: **DIE WASSERSTRUKTURIERUNGSLIEGE**

(Aus dem Buch „Zirbeldruese in Gefahr, Prof Edinger,2019)

entspricht in ihren Eigenschaften dem **Quantenstein**, allerdings in vielfacher Verstärkung durch Ausbreitung im Atemlufttraum der Zimmerumgebung mit einer



Oxygenierungsteigerung pro m³ Luftraum um 44% (Dr Medinger ,IREC-Institut,2018).Hier wird der Luftraum um die Wasserliege herum über einen Wasserstrukturierer, der in einer Wanne unterhalb des Stuhles im Wasserkreislauf eingebracht ist so energetisiert, dass es nach Angaben von Einstein und Volkamer zum Aufbau eines „relativistischen Aethers“ kommt, d.h. der Wiederaufrichtung aller unserem physischen geistigen und mentalen Strukturen einschließlich des Hyperraumes zur kompletten Entfaltung unseres Seins.

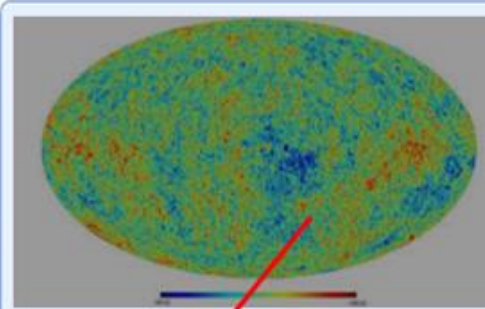
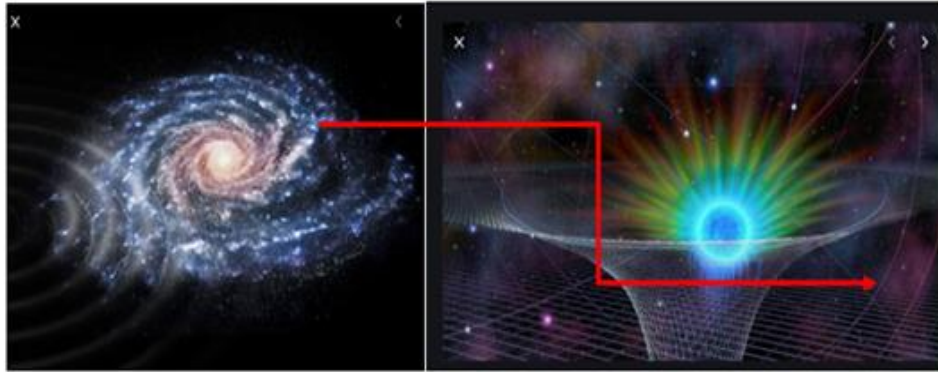


Die Verschränkung (Signaling coherence pulsation) ist bereits ursprünglich im Kosmos angelegt:

Unsere Milchstraße mit riesigem

Schwarzes Loch in der Milchstraße

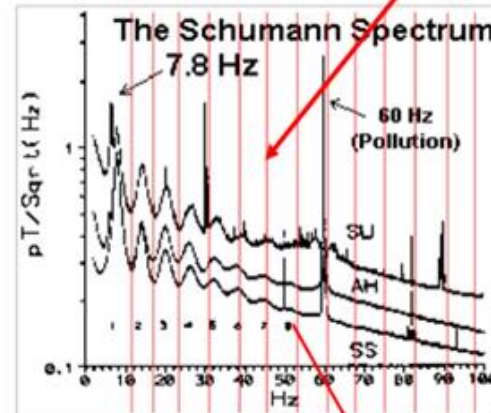
enthält Microwellenstrahlung



3: Cosmic background radiation. Taken from <http://researchgate.net>

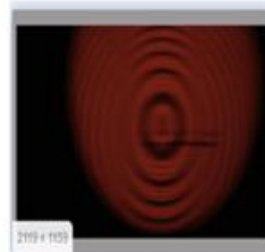
Temperaturschwankungen in der Hintergrundstrahlung, aufgenommen durch den Satelliten COBE (Mission 1989–1993), **Mikrowellenstrahlung des Urknalls**, nach Angaben der Universität Oulu in Finnland, entsteht diese allem aus einem großen schwarzen Loch inmitten unseres Sonnensystems, Größe ca. 30.000 Sonnen, diese Wellen werden interpoliert und verrechnet mit den von **Schumann** gemessenen terrestrischen Schumannwellen

1. Es besteht einerseits ein kosmisches Hintergrundfeld aus Hydrogengasfäden die sich zwischen den Galaxien aufspannen und dies entspricht dem lange theoretisierten kosmischen Web. (New Scientist 4.10.19)
2. Andererseits ist die Quantenverschränkung, die nach Angaben von Giesing /CERN, mit 100.000 -facher Lichtgeschwindigkeit erfolgt Instantan vorhanden. Unsere komplette Taktung, die im wesentlichen durch Verrechnung und Überlagerung der kosmischen Hintergrundstrahlung mit den Schumannwellen durch Übertragung auf die verschiedenen Sauerstoffkonformationen unseres hexagonalen Wassers nach Pollack vor allem über die Zirbeldrüse und des Herzmagnetfeld erfolgt bestimmt im wesentlichen unser Leben! Die sogenannte **enzymatische und genetische Resonanz Induktion dieses hexagonalen Wassers**, abhängig und stimuliert durch das Netz der kosmische Hintergrundstrahlung und Schumannwellen ist entscheidend für unsere Genetik und die Enzyymbildung.

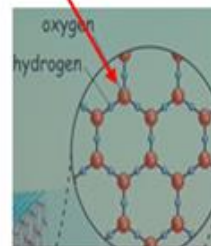


Nach Angaben des chinesischen Quantencomputers SINIRA **Oszilliert die Hintergrundstrahlung des schwarzen Loches der Milchstraße mit der irdischen Schumannfrequenz die unser Gehirn und sämtliche Rhythmen im Körper taktet**. Die von W. O. Schumann ermittelte Frequenz wird heute als „**biologisches Normal**“ bezeichnet, da sich durch Messungen an freiwilligen Versuchspersonen gezeigt hat, dass der Mensch diese Signale braucht. Dies wurde bis heute durch mehrere unabhängige Wissenschaftler bestätigt.

Einer davon ist **Michael A. Persinger** der im Auftrag der NASA handelte. Während der ersten bemannten Raumflüge stellten sich erhebliche physiologische Probleme bei den Astronauten ein, und dies konnte nur durch die Installation von Schumannwellen - Generatoren behoben werden. (siehe dazu in "The effect of pulsating magnetic fields upon the behavior and gross physiological changes of the albino rat Undergraduate thesis" von Persinger, M. A).



Joachim Heintze Peter Bock Hrsg. Band 4. Wellen und...
link.springer.com



Hexagonales Wasser

die Geamtsteuerung des Menscher erfolgt über ein

Coincidence
Convergence
Clusters,

also einer Kohärenz aller Systeme zur Kohärenzkopplung zwischen kosmischen Frequenzen, Schumannwellen und inneren Kohärenzgeneratoren des Körpers (Wasser, Mitochondrien, Microtubuli, Kollagene, Enzyme, DNA usw. (wird extrem durch E- Smog zerstört)

Tiamat Nutrition Technologies (TNT)

- Tiamat Nutrition Technologies nutzt **bioenergetische Naturwirkstoffe für die Regeneration der Zellen und Organe unseres Körpers.**
- So kann die kollagene **Biomatrix des Bindegewebes zeitlebens** erneuert werden. Beschädigte **Mitochondrien und Biomoleküle** werden dabei gezielt ersetzt und Nährstoffe sowie deren Komplexe sorgen für eine schnellere Regeneration der Zellen und Organe.
- Redoxaktive Nährstoffe ermöglichen
- **Resonanz, Regulation und Regeneration mit Synchronisation, Signalgebung und Stoffwechselsteuerung zur Entgiftung und Entspannung durch eine optimale und bedarfsgerechte Ernährung.**
- Nicht viel hilft viel, sondern so wenig wie möglich und so viel wie nötig, das ist hier das Motto.
- Ferner werden die Naturwirkstoffe über eine Biomatrix zugeführt und können so die Regeneration stimulieren. Die **Regeneration** wiederum bedeutet Schutz vor Schäden und Stärkung der eigenen Ressourcen. .

Einzigartige Tiamat und Tiamat Extreme Technologie zu Resonanzerfüllung des CCC

Tiamat Xtrime Technologies (TXT)

Tiamat Xtrime Technologies ist die neueste Variante diese Technologien. Tiamat Xtrime Technologies **auch TXT** genannt führt die Naturwirkstoffe zur Regeneration in

optimaler Zusammensetzung zu

TXT Melatonin,

TXT Glutathion

TXT Trimax

TXT Brain complex

zusammen.

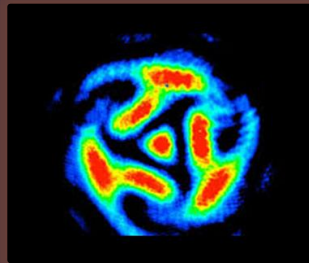
- Die Strategie bedient sich einer einzigartigen Effizienz mit vorher nicht erreichter Bioverfügbarkeit und Bioaktivität.
- Deren Anwendung ermöglicht deshalb **gesund Altern** durch **Reparatur, Regeneration und Redoxregulation.**
- Sie stärkt die **körpereigene Stoffwechselsteuerung** und beeinflusst damit Stoffwechselstörungen positiv.
- Sie kann damit dem Altern, der Belastung und dem Stress entgegenwirken und
- unsere Gesundheit durch Ernährung, Entgiftung und Entspannung erhalten

das kosmische den Menschen von **aussen steuernde Coincidenz Coherenz Cluster (CCC)** benötigt eine „physiologische Andockstation“, deren Funktionen v.a. über unsere Kollagenstrukturen erfüllt werden, in deren Aufbau kann gerade die TiamatTechnik hervorragendes leisten!

1. Die unglaubliche **Speicherfähigkeit** von hexagonalem Wasser durch **Reis/Erbseprotein** (Trimax /Produkt 3 der Tiamatechnologie) um das 12- fache ermöglicht die Verhinderung des Schredderns von Kollagenen durch Elektrosmog und 5 G !

2. Zudem ermöglicht es die Bildung eines für unser Leben entscheidenden **Coincidence Convergence Clusters**, also einer **Kohärenz aller Systeme** zur Kohärenzkopplung zwischen kosmischen Frequenzen, Schumannwellen und inneren **Kohärenzgeneratoren** des Körpers (Wasser , Mitochondrien, Microtubuli, Kollagene, Enzyme, DNA usw. (wird extrem durch E- Smog zerstört)

3. Die **Quantenverschränkung** erfolgt sofort und eine frequenzmodulierte **In-Formation** der Biomatrix erneuert das **interstitielle Bindegewebe**



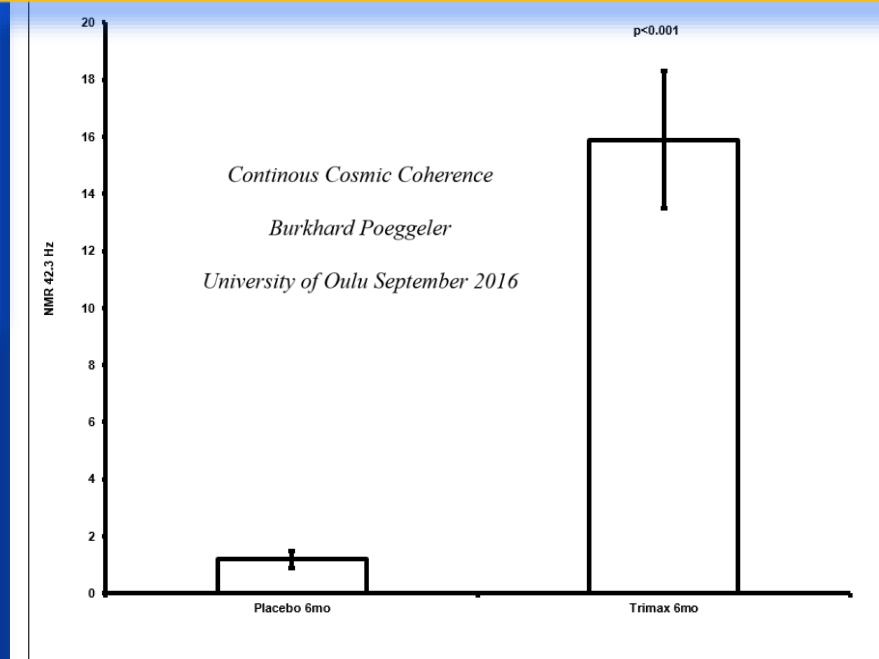
4. sollte gemäss der Erdschwingung . Anm. der Kammerton alle Organsysteme auf 432 Hz eingestellt werden, was mit Reisprotein gelingt (liegt derzeit bei unphysiologischen Werten von 440 Hz, purer Stress für die Koordination aller Systeme und **Beta- Shift!**

Besondere biochemische und biophysikalisch-kosmische Kohärenzwirkungen von **Reis/Erbseprotein** Kollagenhydrolysat /Tiamat-technik

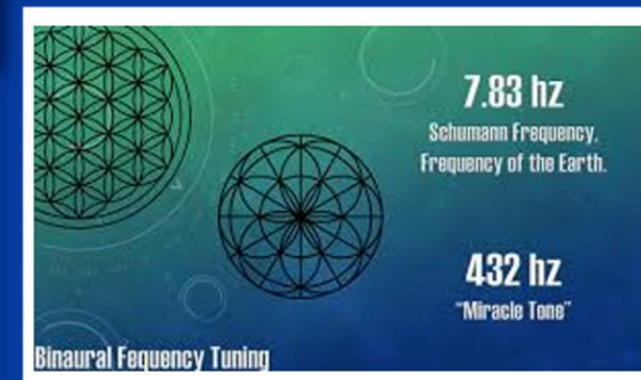
Nach nur 6 Monaten Anwendung führt Trimax zu einer 12 fachen Erhöhung des Gehalts an hexagonalem Wasser im Bindegewebe (N=12)

Kann also 12 mal stärker **Elektrosmog** neutralisieren

Die Kollagen- Wasser- Matrix ist seitens der **Zugstärke 300 x stärker** als die muskulären Aktin- myosinfilamente!



Hexagonales Wasser hat in der Kollagen-Wasser-Biomatrix des Bindegewebes die NMR Resonanz von 42.3 Hz



Computer conclusion on the program "Helios"



Full name: **Vatolin Grigory**
 The birthday date: **24.10.1974, Sunday**
 The counted date of the conception (CDC): **17.02.1974, Sunday**
 Newmoon: **14.10.1974, Thursday 10Days**
 Fullmoon: **31.08.1974, Thursday 25Days**
29.10.1974, Friday 5Days

PERIOD	Earth magnetic field	interplanetary magnetic field	solar radiation	Wolf's number	square of the sun spots	number of magnetic storms
week before the CDC	6	0	2	2	0	0
1st week of prenatal develop.	4	1	2	3	0	0
2nd week of prenatal develop.	7	0	2	2	0	0
3rd week of prenatal develop.	6	0	2	1	0	0
4th week of prenatal develop.	6	1	2	3	0	0
5th week of prenatal develop.	7	0	2	2	0	0
6th week of prenatal develop.	7	0	2	2	0	0
7th week of prenatal develop.	7	0	2	2	0	0
8th week of prenatal develop.	5	0	2	4	0	0
3rd moon month	6	3	3	4	0	1
4th moon month	6	1	7	2	0	0
5th moon month	7	1	2	3	0	0
6th moon month	7	0	2	3	0	1
7th moon month	7	0	2	3	0	0
8th moon month	7	3	2	3	0	1
9th moon month	7	0	2	4	0	1
10th moon month	7	1	2	2	0	0
the birthday date	6	0	3	3	0	0
the 1st month after birthday	5	1	2	2	0	0

Die ausgewerteten Parameter, welche uns am stärksten beeinflussen im Überblick:

- **Die Mondphasen:** Sie geben an wie groß der Einfluss von Neu- und Vollmond im Zusammenhang mit ihrem Geburtstermin ist. Einige Personen sind empfänglicher für die Einflüsse des Neumondes, andere des Vollmondes.
- **Magnetfeld der Erde:** Gibt die Stärke der Magnetfeldschwankungen (auch Kp-Index genannt) an. Hier wird aufgezeigt wie sehr das Erdmagnetfeld auf den Menschen pränatal Einfluss genommen hat.
- **Interplanetares Magnetfeld:** Gibt die Ausrichtung der Polarität der koronaren Massenauswürfe an. Je nach Ausrichtung zum Nord und Südpol beeinflussen diese das Erdmagnetfeld.
- **Sonnenstrahlung:** Der Anteil der Sonnenstrahlung, die ohne Einfluss des Menschen auf die Erdoberfläche gelangt.
- **Wolf-Zahl:** Gibt die Anzahl und Größe der Sonnenflecken wieder. Ist also eine Maßzahl für die Sonnenaktivität. Eine verstärkte Sonnenaktivität ist etwa alle 11 Jahre zu beobachten.
- **Quadrat der Sonnenflecken:** Objektive Benotung der Fläche der Sonneneruptionen.
- **Anzahl der Magnetstürme:** konkrete Anzahl der magnetischen Stürme der Sonne.

Durch die Beobachtung des kosmischen Wetters, und nach Möglichkeit der Voraussage besonderer Ereignisse, wie z.B. Sonneneruptionen, können Schutzmaßnahmen ergriffen werden, um dessen Einfluss zu minimieren.

Nach dem Mathematiker Perikov existiert eine Korrelation der gentischen Daten der grössten Datenbanken mit planetaren Frequenzen

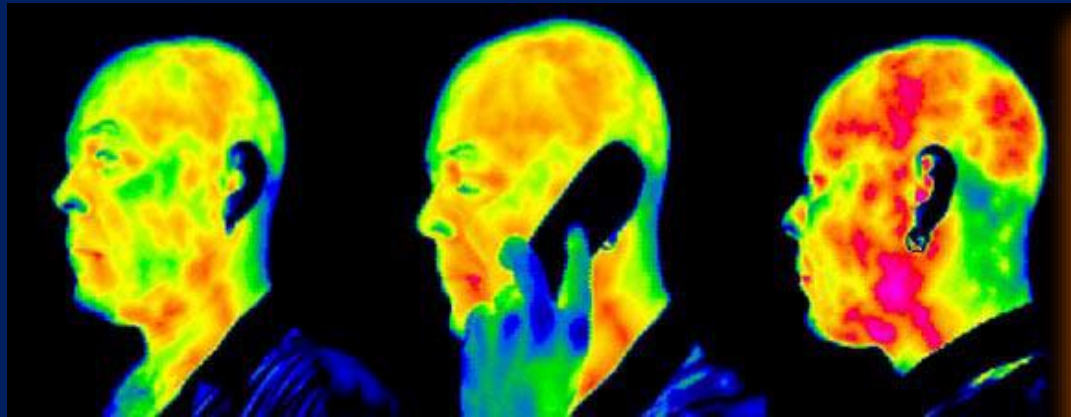
Dargestellt das Programm Helios, das in der Lage ist, die Krankheitswahrscheinlichkeit eines Menschen aufgrund seiner Sonne oder Planeten Frequenzabhängigkeit auf plus -4 Wochen zu ermitteln. Je höher die Zahlen der gemessenen Parameter sind desto höher ist die Wahrscheinlichkeit einer erheblichen Endothel Erkrankung der Gefäße.

Stress und Zelluntergang durch den Betashift der Schumannresonanz in höhere Frequenzbereiche

Problematik, Licht (EMF), Schall (Vibrationen) und Wärme (Bewegungen) steuern unsere Solitonen-, Phononen- und Photonenfelder, werden aber durch ELFs (Satteliten, Funkstrahlung, Chemtrials etc.) verändert

Größte Problematik ist der starke **Beta Shift**. Das ist Belastung und Stress pur, damit vorzeitiges Altern. Die Schumann Resonanz steigt heute tagsüber auf **bis zu 90 Hz** statt wie bisher 45 Hz, dabei kommt es zur Kopplung des EMGs über das EKG auf das EEG. :

- **Komplette Zerstörung der globuläre Kollagenantenne**, zurück bleiben toxische degenerierte Kollagenfragmente, die sich überultra- und Hyperschall vermehren und wie Streubomben überall im Gewebe, v.a. Gehirn, Hut und Lunge wirken
- **Stoffwechselsteuerung entgleist** mit interner Desynchronisierung, u. Degeneration der lebenden Biomatrix. Damit steht das Kollagen der Bindegewebsbiomatrix nicht mehr als Antenne, Rezeptor und Amplifyer zur Verfügung.

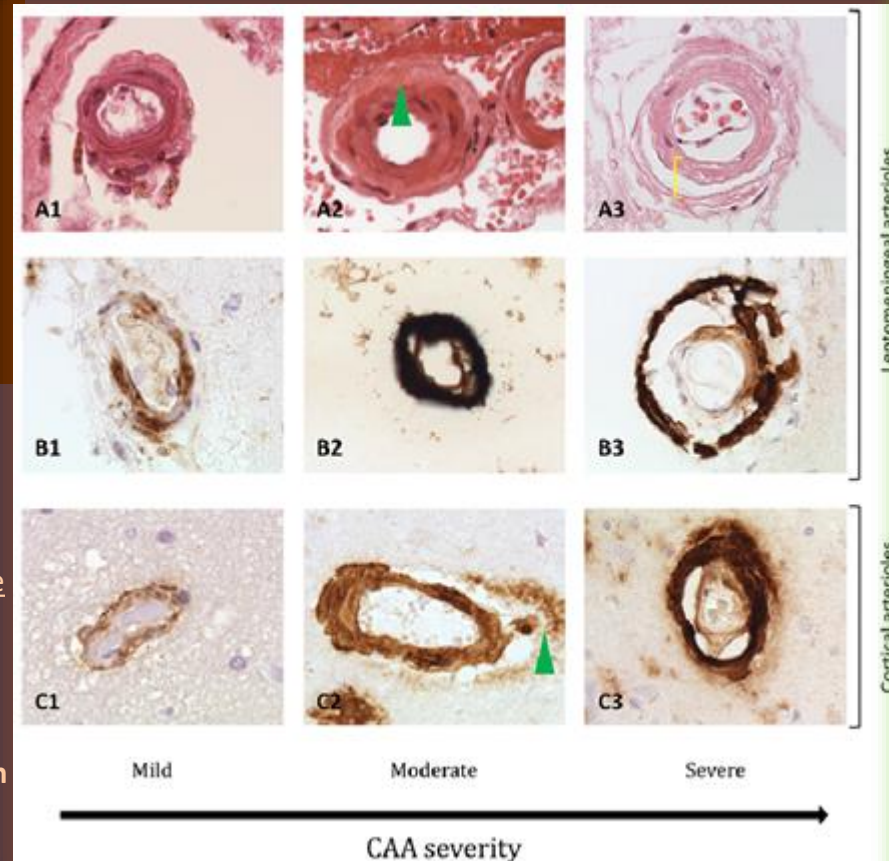


Wärmebildung im Kopfbereich durch **Mobilephone**: Die zum glymphatischen System des Interstitiums gehörenden Drüsen des Bindegewebes werden aktiviert. Auch das Gehirn selbst reagiert, allerdings mit Verzögerung. Dies bedeutet aktive Resonanz mit endogener Regulation.

Das ist keine passive Absorption, sondern aktive Abstrahlung, durch die kollagene **Biomatrix**. Am schlimmsten trifft es die **Gefäße**. Diese werden durch die Ablagerungen versteift. Damit kommt es nicht mehr zur Entspannung.

Der **Blutdruck** bleibt hoch, die Körpertemperatur ebenfalls, die Gehirnwellen können nun nicht mehr in den niederfrequenten Bereich gleiten. Somit bleibt das **Nocturnal Shifting und Drifting aus**. Der Schlaf kann nicht mehr der **Regeneration** dienen. Die fehlgefalteten Proteine akkumulieren. Wenn die Wärmebildung langfristig und wiederholt dort zur Bildung von Kollagenfragmenten führen, dann

Zerreissung der KOLLAGENSTRUKTUREN DER BINDEGEWEBE DER GEFÄSSINNENWAND



DAGEGEN:

1. **Trimax und GSH Komplex, Vit C:**

normale Kollagenbildung u Schutz in Haut, Knorpel, Zähnen, Knochen, Blutgefäßen, Zahnfleisch, fängt SOD ab und erhöht Bioverfügbarkeit von L- Arginin mit NO, verhindert Glycosylierung u AGEs

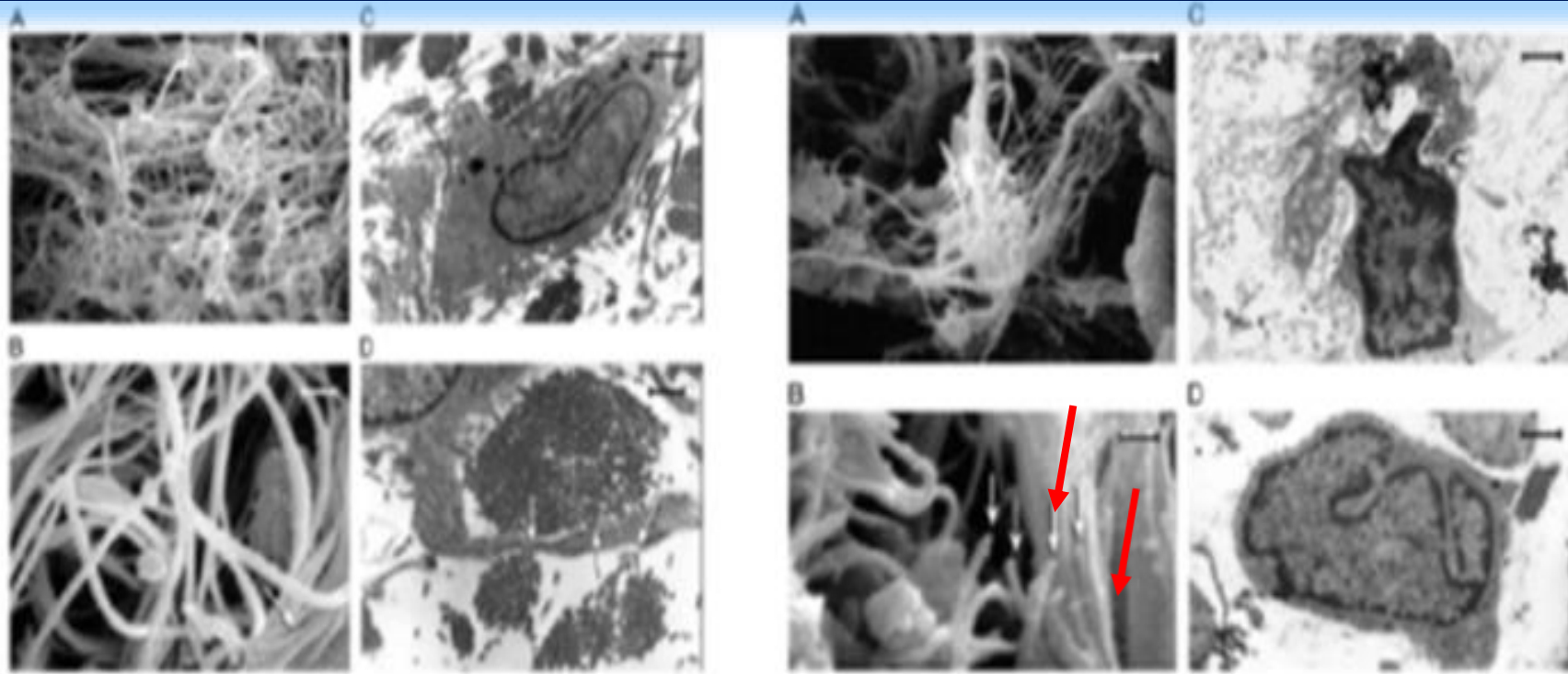
2. Synchronisierendes Melatonin

biologische Uhr, damit Hilfe beim **Einschlafen** und wirkt gegen interne **Desynchronisierung** etwa durch Jet Lag, **antioxidative Protektion**, bioenergetische Stimulation und ubiquitäre Regeneration.

3. TRIMAX Proteine

dienen dem Aufbau und Erhalt der Muskeln sowie zur Erhaltung der Knochen und sichern die Regeneration der Bindegewebsbiomatrix

Zerstörung der Kollagene durch 5 G



Intakte Kollagenfasern

Durch Strahlung zerstörte Kollagenfasern

Die globulären Kollagenfasern sind die **Antenne**, der **Rezeptor** und der **Amplifier** für natürliche und damit künstliche EMF.

Sie werden durch 5G geschreddert und in hochmolekulare reaktive Kollagenfragmente verwandelt:

Die Pfeile (B) markieren die zahlreichen Kollagenfragmente. Die Fasern werden **völlig zerstört** (rechts C und D).

Die Trümmer sind **Radikalkanonen** und **senden zellzerfetzende Schall-, Ultraschall- und Hyperschallwellen aus.** Das führt zu **schweren Organschäden und starken Entzündungen**

Die 5 G-Stosswellen bündeln sich in allen Hohlräumen, : **Lunge, Hautschichten, Bindegewebe mit Interstitium, alle Schleimhäute** va im Darm mit Perforation. Hinzu kommt der natürliche Verlust von Bindegewebe durch **Verzuckerung /Glycosylierung** u **Insulinresistenz** bei fast 70 % der Menschen. Ab dem 25. Lebensjahr haben wir pro Jahr einen **Kollagenverlust und damit Muskelmassenverlust von 1%**, sowie **1% des Grundumsatzes**, dh. Mit zunehmendem Alter werden die **Insulinresistenz**, der Verlust der gesunden Bindegewebe und damit **die Empfindlichkeit gegenüber Strahlenbelastung hoch** gefahren.

Lösung:

TIMELINE ONE

Entdeckung der gefährlichen Nanoporation durch
RF-EMF

2017

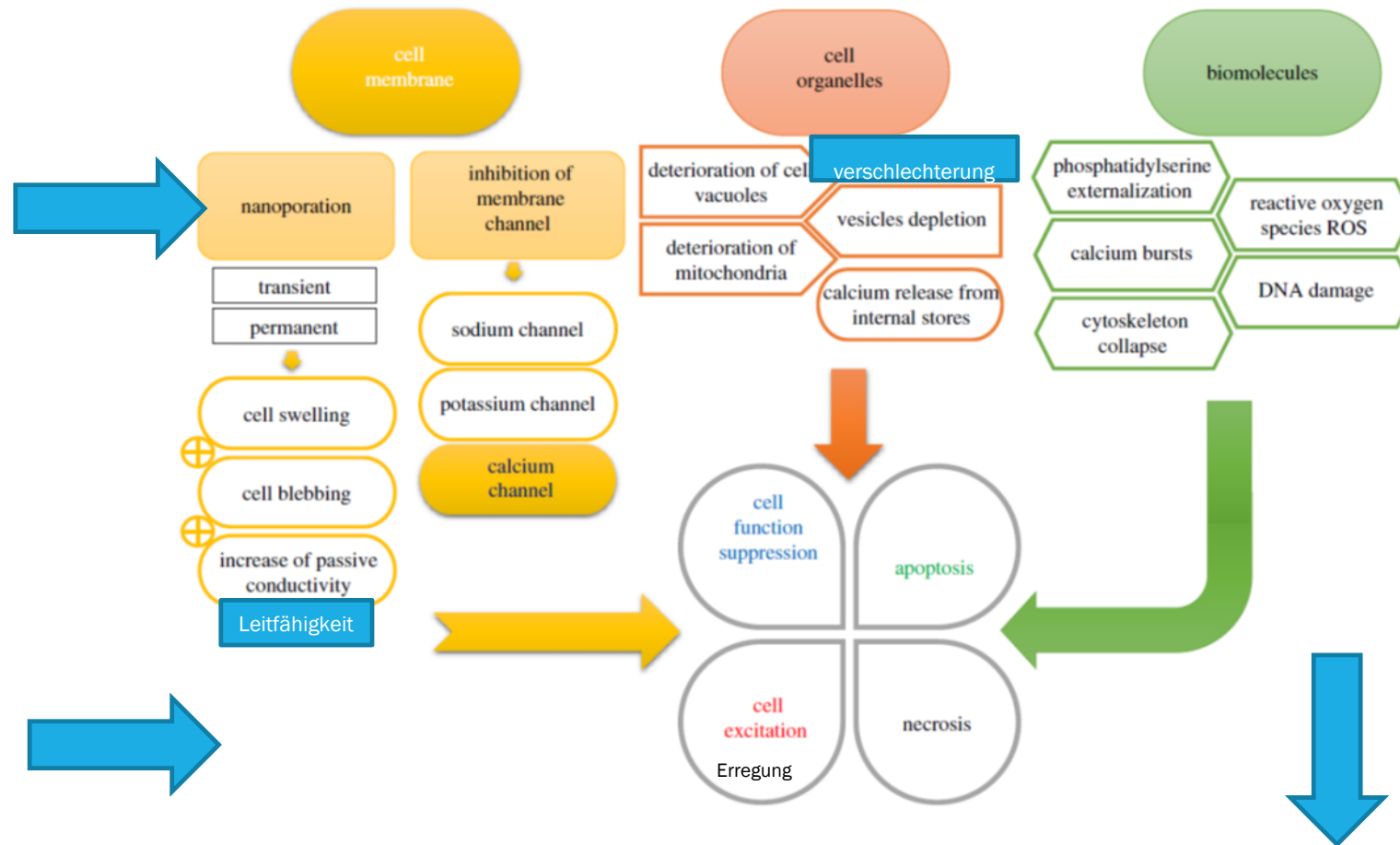
Entdeckung der Toxizität von Exosomen und
Furinen

2020

2020

Entdeckung der durch RF-EMF verursachten
Atemwegserkrankungen einschliesslich LCS

Nanoporation



Romanenko et al., 2017, The interaction between electromagnetic fields at megahertz, gigahertz and terahertz frequencies with cells, tissues and organisms: risks and potential

OPEN

Continuous Exposure to 1.7 GHz LTE Electromagnetic Fields Increases Intracellular Reactive Oxygen Species to Decrease Human Cell Proliferation and Induce Senescence

Jisu Choi^{1,5}, Kyeongrae Min^{1,5}, Sangbong Jeon², Nam Kim³, Jeong-Ki Park⁴ & Kiwon Song¹ 

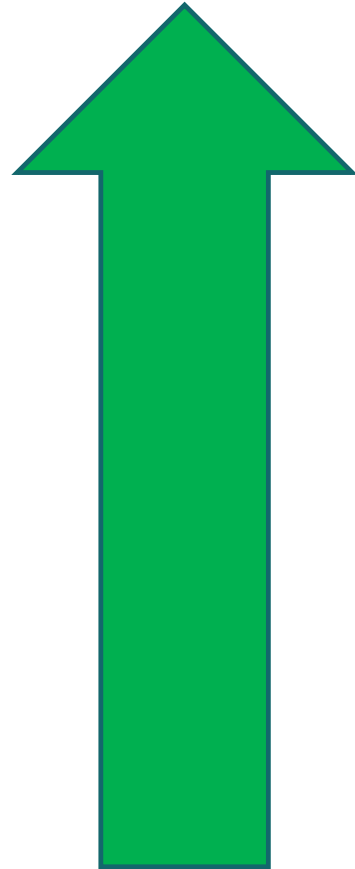
Due to the rapid development of mobile phone technology, we are continuously exposed to 1.7 GHz LTE radio frequency electromagnetic fields (RF-EMFs), but their biological effects have not been clarified. Here, we investigated the non-thermal cellular effects of these RF-EMFs on human cells, including human adipose tissue-derived stem cells (ASCs), Huh7 and Hep3B liver cancer stem cells (CSCs), HeLa and SH-SY5Y cancer cells, and normal fibroblast IMR-90 cells. When continuously exposed to 1.7 GHz LTE RF-EMF for 72 h at 1 and 2 SAR, cell proliferation was consistently decreased in all the human cells. The anti-proliferative effect was higher at 2 SAR than 1 SAR and was less severe in ASCs. The exposure to RF-EMF for 72 h at 1 and 2 SAR did not induce DNA double strand breaks or apoptotic cell death, but did trigger a slight delay in the G1 to S cell cycle transition. Cell senescence was also clearly observed in ASC and Huh7 cells exposed to RF-EMF at 2 SAR for 72 h. Intracellular ROS increased in these cells and the treatment with an ROS scavenger recapitulated the anti-proliferative effect of RF-EMF. These observations strongly suggest that 1.7 GHz LTE RF-EMF decrease proliferation and increase senescence by increasing intracellular ROS in human cells

Sci Rep, 2020

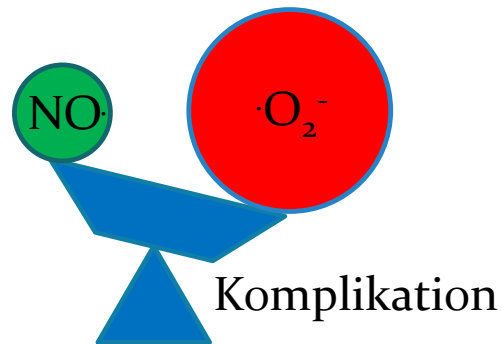
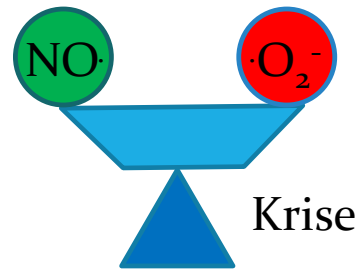
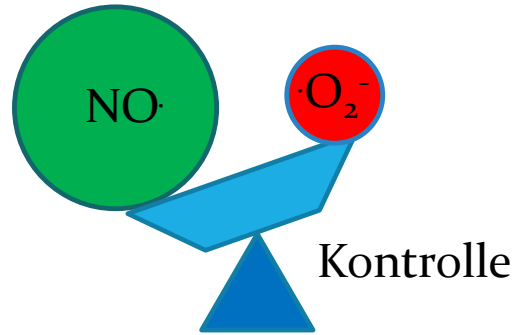


Figure 1. Examples of skin lesions observed on the hand of an EHS-bearing patient (A) and of an EHS/MCS-bearing patient (B). (Photographs are issued from the database).

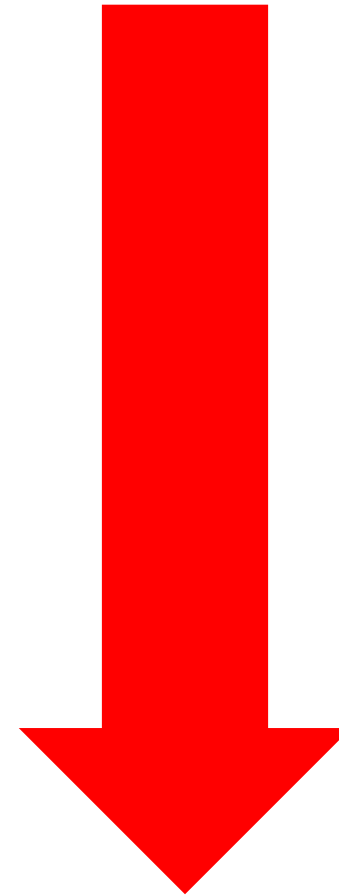
Arginin
Apigenin



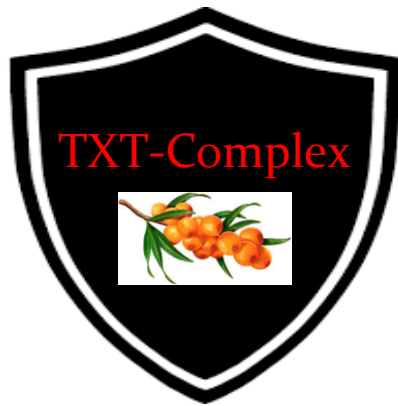
Regeneration



RF-EMF
Strahlung



Degeneration



POEGGELER FHM PROTOCOLS 07 2021



2 x 2 TXT-Complex, morgens und abends 2 Shakes

Diät-
management

4 x 12 g Süßlupine, Sanddorn und Acerola

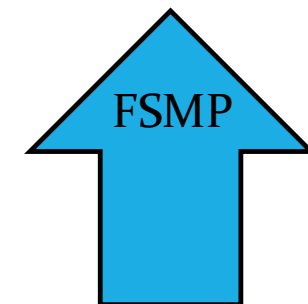
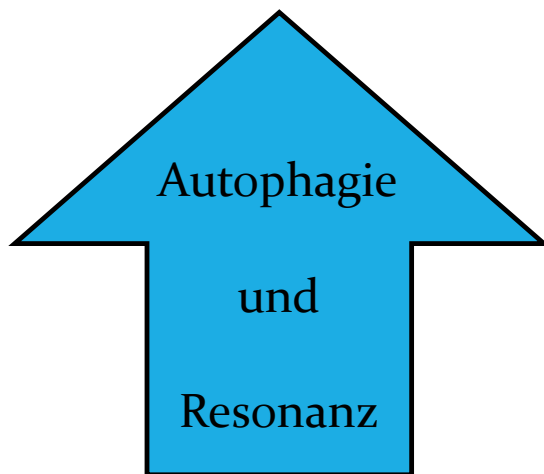
<https://www.fresenius-kabi.com/de/ernaehrung/kabi-glutamine>

PLUS

2 x 10 g L-Glutamin aus

20 g Fresenius Kabi morgens und abends

nach den Shakes mit dem TXT-Complex



RF-EMF und Furine

Tsiang et al., 2021

COVID-19 Attributed Cases and Deaths are Statistically Higher in States and Counties with 5th Generation Millimeter Wave Wireless Telecommunications in the United States

“RF exposure also affects the structure of hemoglobin, reducing its ability to bind to oxygen. After just two hours of exposure to cell phone radiation, human hemoglobin structure changed, decreasing its affinity to bind to oxygen in the lungs between 11-12% which reduces the amount of oxygen that would be carried from the lungs to the body’s tissues, contributing to hypoxia. This is important because SARS CoV-2’s ability to infect cells is enhanced when blood oxygen levels decline. The furin cleavage sequence in the virus activates increased ACE2 receptor attack and cellular invasion in low oxygen environments.”

Regressionsgleichungen sagten voraus, dass die Zahl der Covid-Fälle pro Million um 46 % und die Zahl der Todesfälle pro Million um 57 % zurückgehen würde, wenn es in den mmW-Bezirken kein mmW gäbe

Die ganze Wahrheit

Die HF-Exposition beeinträchtigt auch die Struktur des **Hämoglobins** und verringert seine Fähigkeit, **Sauerstoff zu binden**. Nach nur zwei Stunden Exposition gegenüber Handystrahlung veränderte sich die Struktur des menschlichen Hämoglobins, wodurch sich seine **Affinität zur Bindung von Sauerstoff in der Lunge um 11-12 %** verringerte, was zu einer Verringerung der Sauerstoffmenge führte, die von der Lunge zu den Körpergeweben transportiert wurde, was zu einer Hypoxie beitrug.

Dies ist wichtig, da die Fähigkeit von **SARS CoV-2, Zellen zu infizieren, bei sinkendem Sauerstoffgehalt im Blut erhöht wird**. Die **Furin-Spaltungssequenz im Virus** aktiviert einen verstärkten Angriff auf den **ACE2-Rezeptor und eine Zellinvasion in sauerstoffarmen Umgebungen**."

Die COVID-19-bedingten Fall- und Sterberaten für die USA

Tsiang et al., 2021
COVID-19 Attributed Cases and Deaths are Statistically Higher in States and Counties with 5th Generation Millimeter Wave Wireless Telecommunications in the United States

wurden bis Mai 2020 auf drei Arten analysiert – für alle 50 Bundesstaaten, die **größten Landkreise des Landes** und die **größten Landkreise in Kalifornien** – und fanden sich für Bundesstaaten und Landkreise mit **statistisch signifikant höheren im Vergleich zu denen ohne 5G-Millimeterwellen-Technologie (mmW)**.

Der **5G mmW-Index war in allen drei Analysen ein statistisch signifikanter Faktor** für den höheren Fall und die höheren Raten, während Bevölkerungsdichte, Luftqualität und Breitengrad nur für eine oder zwei der Analysen signifikant waren. Im Durchschnitt der Bundesstaaten waren die Fälle pro Million 79 % höher ($p = 0,012$), die Todesfälle pro Million waren 94 % höher ($p = 0,049$), die Fälle pro Test waren 68 % höher ($p = 0,003$) und die

- **Todesfälle pro Test waren 81 % höher ($p = 0,025$) für Zustände mit vs. ohne mmW.**
- Im Landkreisdurchschnitt waren die Fälle pro Million um 87% höher ($p = 0.005$) und die Todesfälle pro Million waren **165 % höher ($p = 0,012$) für Landkreise mit vs. ohne mmW.**

Während eine höhere Bevölkerungsdichte zu den höheren durchschnittlichen Fall- und Sterberaten in den mmW-Staaten und Landkreisen beitrug, hatte die Exposition gegenüber mmW ungefähr die gleiche Auswirkung wie eine höhere Dichte von mmW-Staaten auf die durchschnittlichen Fall- und Sterberaten und ungefähr dreimal so viel Einfluss wie eine höhere Dichte für mmW-Counties auf mittlere Fall- und Sterberaten.

Basierend auf einer multiplen linearen Regression wären die **Fall- und Sterberaten für 5G-mmW-Staaten** um 18-30% und **für 5G-mmW-Länder um 39-57% niedriger**, wenn keine mmW-Exposition vorhanden wäre.

Diese Bewertung zeigt eindeutig, dass die Exposition gegenüber der 5G mmW-Technologie statistisch signifikant mit höheren COVID-19-Fall- und Todesraten in den USA verbunden ist.

Zusammenhang 5 G und CORONA

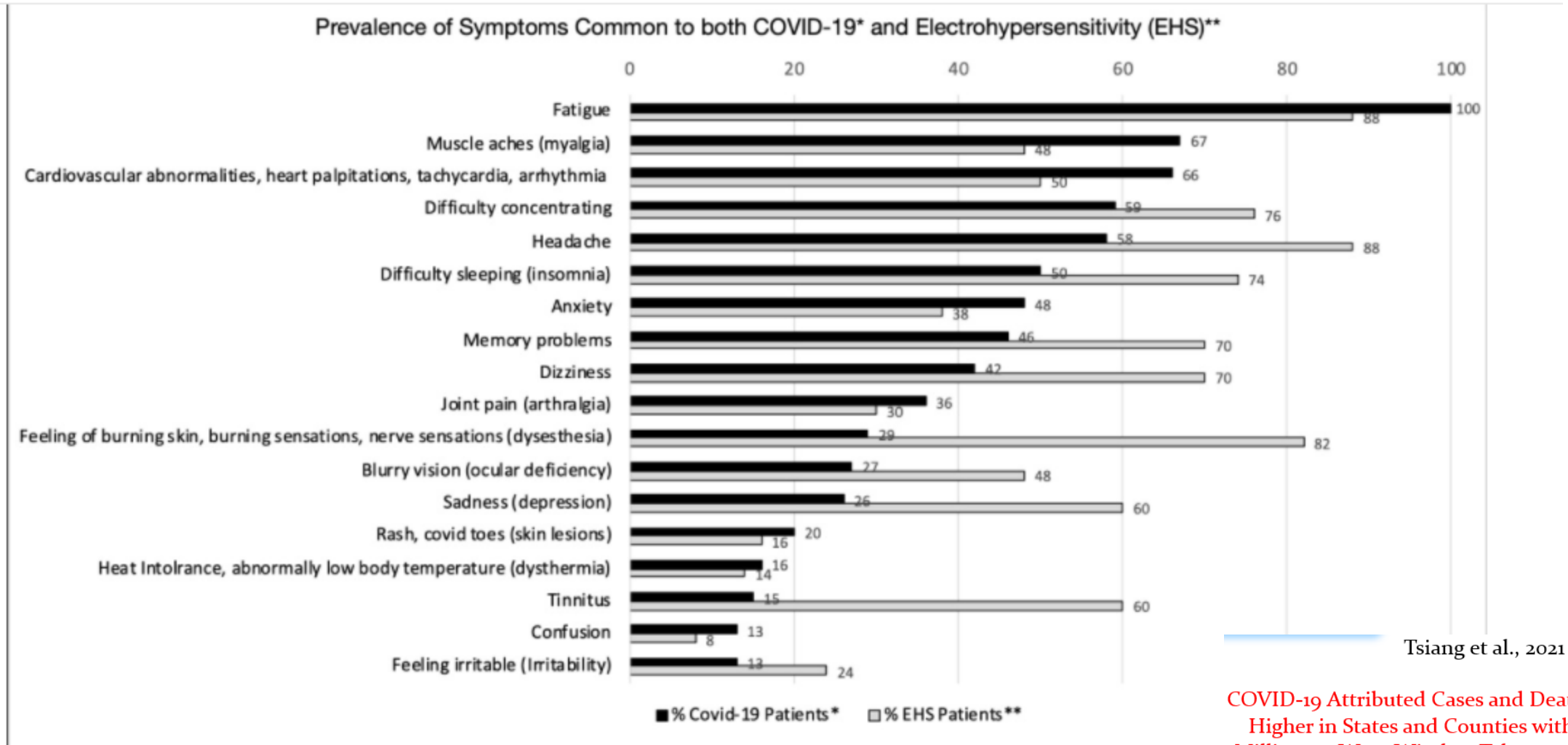


Abbildung 7. Prävalenz von Symptomen, die sowohl bei COVID-19 als auch bei Elektrohypersensibilität (EHS) auftreten. Quellen: *[21], **[22]

Obwohl 5G nicht die Ursache für COVID-19 war, zeigte die statistische Analyse, dass die Exposition gegenüber 5G mmW (die in Kombination mit 1G-4G und anderen RFR-Quellen wie Wi-Fi auftritt) ein statistisch signifikanter Faktor ist, der mit **höheren COVID-19-Fall- und Sterberaten** in den USA in Verbindung gebracht wird.

- Die Bevölkerungsdichte ist nicht nur ein Indikator für den Kontakt von Mensch zu Mensch, sondern auch für die Belastung durch drahtlose Strahlung aus der Nachbarschaft.
- Eine multiple lineare Regression ergab, dass auf der Ebene der Bundesstaaten der mmW und die höhere Bevölkerungsdichte fast gleichermaßen zu den erhöhten Fall- und Todesraten in den mmW-Staaten beitragen.
- Die Regressionsgleichungen sagten voraus, dass **die durchschnittliche Zahl der Fälle pro Million in den mmW-Staaten um 24 % und die Zahl der Todesfälle pro Million um 30 % zurückgehen würde, wenn es in den mmW-Staaten keine mmW gäbe.**
- Auf Kreisebene trug die mmW-Exposition dreimal so viel wie die höhere Bevölkerungsdichte zu den erhöhten Fall- und Sterberaten in den mmW-Kreisen bei. Regressionsgleichungen sagten voraus,
- dass die Zahl der Fälle pro **Million in den mmW-Bezirken um 39 % und die Zahl der Todesfälle pro Million um 54 % zurückgehen würde, wenn die mmW-Bezirke keine mmW-Exposition hätten.**
- In den kalifornischen Bezirken trugen mmW und AQI statistisch signifikant zu den Erkrankungs- und Sterberaten bei, während die Bevölkerungsdichte keinen Einfluss hatte. Regressionsgleichungen sagten voraus, dass die Zahl der Fälle pro Million um 46 % und die Zahl **der Todesfälle pro Million um 57 % zurückgehen** würde, wenn es in den mmW-Bezirken kein mmW gäbe.

Es ist nicht schwer zu erkennen, wie Hochfrequenzstrahlung die Fall- und Todesraten erhöhen könnte, wenn drahtlose Strahlung und SARS-CoV-2 gemeinsame Mechanismen der Schädigung menschlicher und tierischer Zellen aufweisen und die Exposition gegenüber drahtloser Strahlung Bedingungen schafft, die die Anfälligkeit für SARS-CoV-2 erhöhen.

Beide greifen über die **Phosphorylierungswege** in die Zellsignalisierung ein, erhöhen die intrazelluläre **Kalziumionenkonzentration** durch Aktivierung der VGCCs und beeinträchtigen die **Wirkung von Zellmembranen**

Hochfrequenzstrahlung wirkt sich negativ auf

- das **Immunsystem** aus,
- verringert die **Sauerstoffverfügbarkeit** für Blutzellen und Gewebe,
- erhöht den
- **oxidativen Stress** und die Entzündung und
- **verringert den Glutathionspiegel** und die **Verfügbarkeit von Vitamin D**, was alles die Virusinfektion unterstützt.

Die Einführung von **5G-mmW wurde ohne jegliche Tests zur Bewertung der Sicherheit durchgeführt**, entweder einzeln oder in Kombination mit bereits vorhandenen RF-Frequenzen wie 1G-4G und Wi-Fi.

. Die Regierung geht bei allen **Drahtlostechnologien** davon aus, dass schädliche Auswirkungen nur auf **thermischer** Ebene auftreten können und **dass es keine Auswirkungen auf nicht-thermischer Ebene gibt**, d. h. solange drahtlose Geräte und Infrastrukturen nicht genug Energie abgeben, um das Gewebe zu erwärmen, gibt es keinen Grund zur Sorge.

Tausende von Studien haben jedoch schädliche biologische Wirkungen auf **nicht-thermischer Ebene gezeigt**, und medizinische Geräte, die nicht-thermische Ebenen von Hochfrequenzstrahlung nutzen, werden seit **Jahrzehnten therapeutisch eingesetzt**, was konkrete Beweise für positive und negative biologische Wirkungen auf nicht-thermischer Ebene **nicht-ionisierender Strahlung** sind.

Derzeit werden mmW für 5G in etwa 50 US-Städten eingesetzt, aber wenn 5G vollständig eingeführt ist, wird mmW überall verfügbar sein. Mehr als 400 Wissenschaftler und Ärzte haben den 5G Appeal [78] unterzeichnet, in dem sie ein Moratorium für die 5G-Einführung fordern. **Die wirtschaftlichen Vorteile von 5G werden wahrscheinlich durch das Risiko von Gesundheitsschäden für Milliarden von Menschen auf der ganzen Welt aufgewogen.**

Anomalien, die nur bei Covid 19 auftreten

- **multiple Blutgerinnsel**, die sich in Organen und Blutgefäßen bilden,
- schwere Entzündungen, **Hypoxie und Hypoxämie** sowie Hautläsionen, selbst bei denen, die negativ auf SARS-CoV-2 getestet wurden (was darauf hindeutet, dass ihre Symptome auf etwas anderes als SARS zurückzuführen sind). CoV-2) und
- Symptome, die nach dem ersten Ausbruch der Infektion noch Monate andauern, die den Symptomen der Mikrowellenkrankheit ähneln. Das Interessante an diesen Anomalien ist, dass die **HF-Exposition sie alle verschlimmern kann**.

Die meisten Symptome, die diese langjährigen COVID-19-Patienten mit Mikrowellenkrankheit gemeinsam haben,

sind

- Kopfschmerzen,
- Müdigkeit,
- Konzentrationsschwierigkeiten,
- Gedächtnisprobleme,
- Schlaflosigkeit,
- kardiovaskuläre Anomalien wie Herzklopfen und Tachykardie,
- Tinnitus,
- Angstzustände,
- Depressionen und
- Hautläsionen

gemäß einem COVID -19 Umfragebericht der Indiana University School of Medicine [21].

Mindestens 24 der in der Umfrage gemeldeten langen COVID-Symptome sind auch Symptome der **Mikrowellenkrankheit**, auch bekannt als EHS [22] (Abbildung 7).

Drahtlose Strahlung ist eine giftige Substanz, die das **Immunsystem schwächt**, und „die Exposition gegenüber **unzähligen toxischen Substanzen schwächt das Immunsystem**, dessen Fehlfunktion dann von SARS-CoV-2 ausgenutzt wird, um zu COVID-19 zu führen“ [23].

Eine aktuelle russische Studie fand eine **starke Korrelation zwischen den Expositionsgrenzwerten eines Landes für HF-Strahlung und COVID-19-Todesfällen pro Million** ($r = 0,577$) und Todesfällen pro Fall ($r = 0,551$) [24].

Tsiang et al., 2021

COVID-19 Attributed Cases and Deaths are Statistically Higher in States and Counties with 5th Generation Millimeter Wave Wireless Telecommunications in the United States

Die Rolle von Vitamin D und Gluthathion gegenüber SARS.CO.V.2

- Vitamin D ist für das reibungslose Funktionieren des Immunsystems unerlässlich. **Niedrige Vitamin-D-Spiegel wurden mit den schwersten Symptomen von COVID-19 in Verbindung gebracht.** Patienten mit Vitamin-D-Mangel erleiden doppelt so häufig schwere Komplikationen durch COVID-19 [55].
- Eine andere Studie ergab, dass 85 % der schweren COVID-19-Patienten einen Vitamin-D-Mangel und 100 % der Intensivpatienten unter 75 Jahren einen Vitamin-D-Mangel aufwiesen [56].
- Die Sterblichkeitsrate von COVID-19 war in den europäischen Ländern mit der höchsten Inzidenz eines schweren Vitamin-D-Mangels am höchsten, und eine Supplementierung mit Vitamin D kann die COVID-19-Sterblichkeit senken [16].
- Ein Vitamin-D-Mangel kann aus einer Entzündung resultieren, die durch **chronische drahtlose Strahlenexposition** verursacht wird [40].
- Es wurde auch festgestellt, dass eine Vitamin-D-Supplementierung die negativen Auswirkungen der Handystrahlung auf das Immunsystem von Ratten umkehrt [41].
- Drahtlose Strahlung senkt auch die Aktivität des Vitamin-D-Rezeptors (VDR), indem sie die Form des VDR verändert, wodurch die VDR-Aktivität und seine Fähigkeit, Vitamin D zu binden, beeinträchtigt wird [28].

Drahtlose Strahlung verbraucht Glutathion, das Vitamin D reduziert und Infektionen fördert

- Es gibt Hinweise darauf, dass eine niedrige **endogene Glutathionproduktion** zu Komplikationen bei COVID-19 geführt hat und dass **niedrige Glutathionspiegel den Vitamin-D-Spiegel senken** [58].
- Es wurde auch festgestellt, dass Vitamin D positiv mit dem Glutathionspiegel bei Typ-II-Diabetikern korreliert [59], die ein erhöhtes Risiko für COVID-19-Komplikationen haben.

Die Glutathion-Behandlung von Patienten mit COVID-19-Pneumonie verhinderte erfolgreich den **Zytokinsturm bei COVID-19-Patienten** [60].

- **Mehrere Studien haben eine reduzierte Glutathionproduktion durch drahtlose Strahlenexposition gezeigt.**
- Es wurde festgestellt, dass Glutathion bei Personen, die in der Nähe eines Mobilfunkmastes (innerhalb von 80 m) leben, statistisch signifikant niedriger ist, die einer 100-fach höheren HF-Strahlung ausgesetzt waren, als bei Personen, die weit entfernt von einem Mobilfunkmast leben (300 m oder mehr) [37].
- Eine andere Studie ergab, dass Radararbeiter beim Militär, die seit über 10 Jahren mit Radar arbeiten, **weniger als 50% der Glutathionwerte von Nicht-Radararbeitern** aufwiesen, und dieser niedrigere Wert war statistisch signifikant [30].

Sowohl drahtlose Strahlung als auch SARS-CoV-2 stören die Calciumkanäle in der Zellmembran

Zellmembranen gelten als das Hauptziel für die Interaktion zwischen mmW und biologischen Systemen, und die Wellen können **strukturelle und funktionelle Eigenschaften von Membranen verändern** [72].

Die Zellmembran wird durch die **HF-Exposition von Mobiltelefonen** aufgrund von Veränderungen der **Phospholipid-Zusammensetzung** bei Expositionswerten deutlich unter dem aktuellen FCC-Expositionsgrenzwert **durchlässiger**. Diese erhöhte Permeabilität der Zellmembranen veränderte die **Expression von 178 Genen signifikant** ($p < 0,05$) und beeinflusste Prozesse wie **DNA-Replikation und -Reparatur, Zell- und Kalziumsignale, die Funktion des Nervensystems, die Reaktion des Immunsystems, den Fettstoffwechsel und die Karzinogenese** [38].

- **spannungsgesteuerte Calciumkanäle (VGCCs)**, die sich in Zellmembranen befinden, steuern die intrazellulären Calciumionen (Ca^{2+})-Konzentrationen. und die Exposition gegenüber **elektromagnetischen Feldern erhöht nachweislich die intrazelluläre Ca^{2+} -Konzentration in menschlichen Lymphozyten um etwa 25–50%**, und diese höhere intrazelluläre Ca^{2+} -Konzentration in menschlichen Lymphozyten erhöht **allergische Reaktionen** [73].
- **Steigende intrazelluläre Ca^{2+} -Konzentrationen haben eine Vielzahl von gesundheitlichen Auswirkungen**, von **Kopfschmerzen bis hin zu Krebs** beim Menschen [66].

Antivirale Medikamente wirken, indem sie die VGCC-Aktivierung hemmen, um intrazelluläres Ca²⁺ zu reduzieren, um die virale Replikation zu hemmen [75].

- 4.9 Sowohl drahtlose Strahlung als auch SARS-CoV-2 stören die Zellsignalisierung über p38/MAPK- und mTOR-Pfade
- SARS-CoV-2 übernimmt eine menschliche Wirtszelle, indem es die Phosphorylierungszellsignalisierung stört und die Phosphorylierung von **40 menschlichen Proteinen und 49 Kinaseenzymen verändert**, an dem unter anderem die **p38/MAPK- und mTOR-Wege beteiligt sind**.
- Diese Übernahme der menschlichen Wirtszellen durch das Virus **verhindert die Replikation der Wirtszelle und bietet eine stabile Umgebung für die Virusreplikation** [76].
- Es wurde auch festgestellt, dass Signale aus der **drahtlosen Kommunikation** die Zellsignalisierung und Phosphorylierung in den p38/MAPK- und mTOR-Wegen stören, die mit **einer erhöhten Permeabilität in Zellmembranen aufgrund von Veränderungen der Phospholipidzusammensetzung nach Exposition mit Hochfrequenzstrahlung verbunden waren** [38].
- Es gibt viele Studien zur Interaktion von EMFs mit Zellsignalsystemen; Interferenzen mit Zellsignalen und Phosphorylierung wurde in einer früheren Studie berichtet, die ergab, dass gepulste EMFs den mTOR-Signalweg schnell aktivieren [77].
Aus all den oben genannten Gründen kann die Umweltbelastung durch 5G mmW die Fälle und den Schweregrad von COVID-19 erhöhen.

Effect of oral L-Glutamine supplementation on Covid-19 treatment

Mahir Cengiz, Betül Borku Uysal, Hande İkitimur, Erkan Özcan, Mehmet Sami İslamoğlu, Emre Aktepe, Hakan Yavuzer, Serap Yavuzer*

ARTICLE INFO

Article history:

Received 29 May 2020

Accepted 21 July 2020

Available online 29 July 2020

Keywords:

Covid-19

SARS Cov-2

Pneumonia

L-Glutamine

Nutrition

SUMMARY

Objectives: The aim of this study is to investigate the effect of oral L-Glutamine supplementation on hospitalization time, need for intensive care unit and Coronavirus Disease-19 (Covid-19) mortality.

Methods: The study included 30 Covid-19 patients using L-Glutamine and 30 Covid-19 patients who did not use L-Glutamine with similar age, gender and clinical status. Diagnostic tests, laboratory examinations, clinical findings and computed thorax tomography imaging of the patients were evaluated.

Results: Hospitalization time was 10.4 ± 1.9 days in Covid-19 without L-Glutamine group and 8.9 ± 1.8 days in Covid-19 with L-Glutamine group ($p = 0.005$). In Covid-19 without the L-Glutamine group, four patients require the ICU though no one in the other group required that ($p = 0.038$). Only one mortality was observed in Covid-19 without the L-Glutamine group ($p = 0.999$).

Conclusions: Nutritional supplements such as L-Glutamine boost immune system especially by inhibition of inflammatory responses. Our results suggest adding enteral L-glutamine to the normal nutrition in the early period of Covid-19 infection may lead to a shortened hospital stay and lead to less need for ICU. Larger-scale studies are needed to evaluate the effect of adding enteral L-Glutamine to the currently used treatments in the infectious diseases especially like Covid-19.

© 2020 The Authors. Published by Elsevier Ltd on behalf of European Society for Clinical Nutrition and Metabolism. This is an open access article under the CC BY-NC-ND license (<http://creativecommons.org/licenses/by-nc-nd/4.0/>).

Ziele

Das Ziel dieser Studie ist es, die Wirkung einer oralen L- Glutamin-Supplementierung auf die Krankenhausaufenthaltszeit, die Notwendigkeit einer Intensivstation und die Sterblichkeit durch die Coronavirus-Krankheit-19 (Covid-19) zu untersuchen.

Methoden

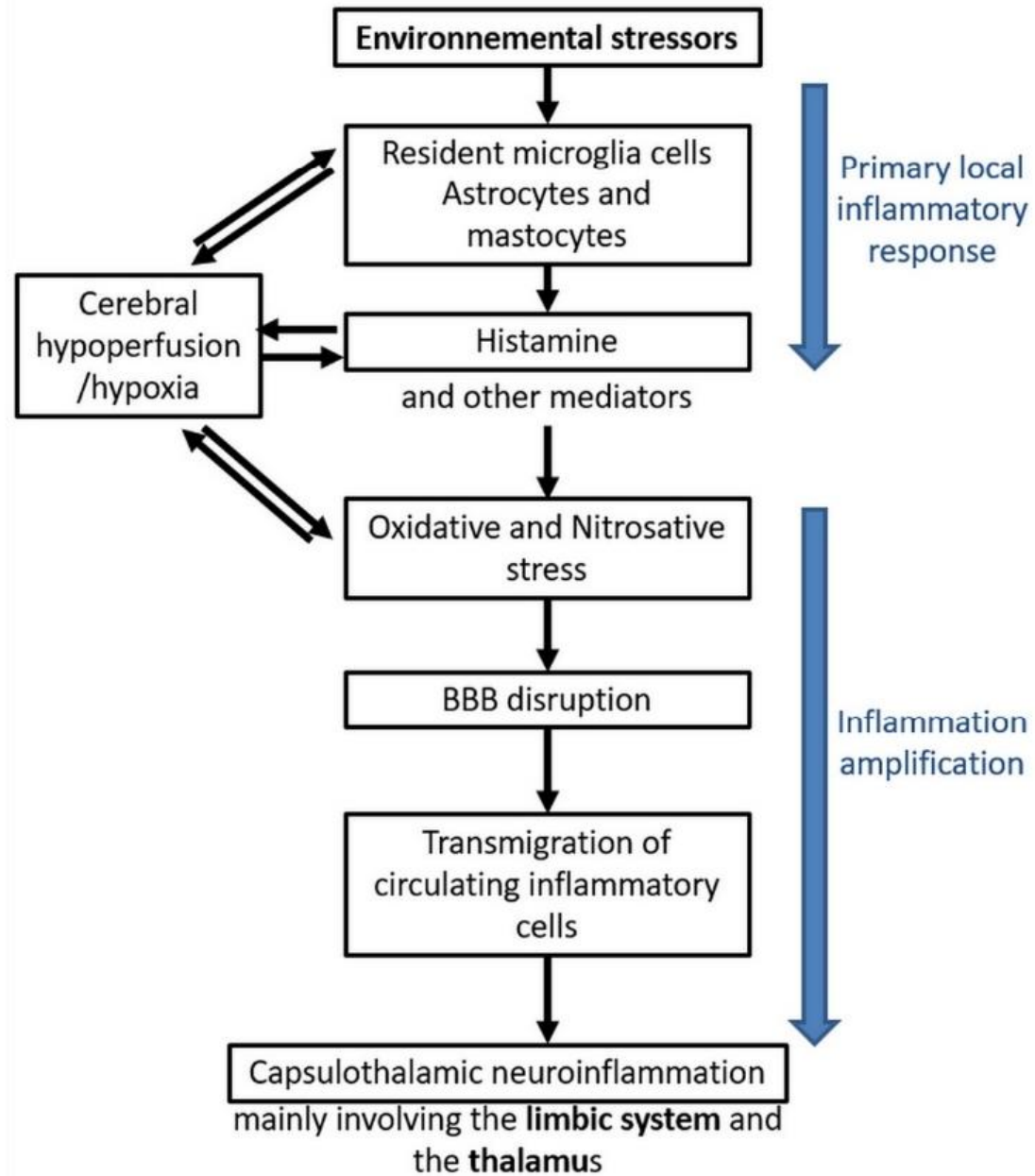
Die Studie umfasste 30 Covid-19-Patienten, die L- Glutamin einnahmen, und 30 Covid-19-Patienten, die kein L- Glutamin einnahmen, mit ähnlichem Alter, Geschlecht und klinischem Status. Ausgewertet wurden diagnostische Tests, Laboruntersuchungen, klinische Befunde und Computer-Thorax-Tomographie der Patienten.

Ergebnisse

Die Krankenhausaufenthaltszeit betrug $10,4 \pm 1,9$ Tage bei Covid-19 ohne L-Glutamin-Gruppe und $8,9 \pm 1,8$ Tage bei Covid-19 mit L-Glutamin-Gruppe ($p = 0,005$). Bei Covid-19 ohne die L-Glutamin-Gruppe benötigten vier Patienten die Intensivstation, obwohl dies in der anderen Gruppe keiner erforderlich war ($p = 0,038$). Bei Covid-19 wurde nur eine Mortalität ohne die L-Glutamin-Gruppe beobachtet ($p = 0,999$).

Schlussfolgerungen

Nahrungsergänzungsmittel wie L-Glutamin stärken das Immunsystem insbesondere durch Hemmung von Entzündungsreaktionen. Unsere Ergebnisse deuten darauf hin, dass die Zugabe von enteralem L-Glutamin zur normalen Ernährung in der frühen Phase einer Covid-19-Infektion zu einem verkürzten Krankenhausaufenthalt und zu einem geringeren Bedarf an Intensivstationen führen kann. Größere Studien sind erforderlich, um die Wirkung der Zugabe von enteralem L-Glutamin zu den derzeit verwendeten Behandlungen bei Infektionskrankheiten insbesondere wie Covid-19 zu bewerten.



TIAMAT Produkt IV

Lupinenprotein mit Sanddorn und Acerola für eine optimale Stoffwechselsteuerung und Hirnleistung

[Lupin seed protein with sea buckthorn and acerola extract improves cognition and health]

Burkhard Poeggeler und Miguel A. Pappolla

https://www.fh-mittelstand.de/fileadmin/pdf/Schriftenreihe/Schriftenreihe_13_Meilensteine_der_Gesundheitsmedizin.pdf

Zusammenfassung

Diese randomisierte, doppelblind und Placebo-kontrolliert durchgeführte und über 12 Monate andauernde klinische Studie untersuchte die Wirkungen von aktivem Placebo (2 x täglich 12 g Kakaopulver) und Verum (2 x täglich 12 g Süßlupinenprotein mit Sanddorn- und Acerolaextrakt) auf Kognition und Gesundheit von 60 jungen Sportstudentinnen und Sportstudenten. Beide Präparate wurden als wohlschmeckender Protein Shake zugeführt. Die Supplementation mit **Verum reduzierte die Glucose, Insulin und HBA_{1c} Werte signifikant**. Die Spiegel der endogenen hochpotenten antioxidativen und bioenergetischen Verbindungen Tryptophan, Indol-3-propionsäure und 5-Methoxytryptophan stiegen nach Verum stark an. Die **Gehirndurchblutung** wurde nach Verabreichung von Süßlupine mit Sanddorn und Acerola signifikant verbessert und der regenerative **Tiefschlaf** signifikant verlängert. Das Verum verbesserte die **kognitive Hirnleistung der Probanden signifikant**. Durch die einzigartige Nährstoffergänzung mit Aminosäuren, Fettsäuren, Ballaststoffen, Vitaminen und Naturwirkstoffen wie Apigenin und strukturverwandten Flavonoiden sowie weiteren phenolischen Antioxidantien konnte der als Verum verabreichte Protein Shake sowohl die Gesundheit als auch die kognitive Fähigkeit der jungen Probanden verbessern.

Lupinenprotein mit Sanddorn und Acerola schützt vor gefährlicher RF-EMF Strahlung

[Lupin protein with sea buckthorn and acerola extract protects against RF-EMF radiation]

Burkhard Poeggeler und Miguel A. Pappolla

Zusammenfassung

Diese explorative Anwendungsbeobachtung zeigt eine etwa doppelt so hohe Erkrankungsrate an Erkältungen bei Sportlerinnen und Sportlern, die einer hohen Exposition von RF-EMF (Strahlung aus Radio Frequency-Electromagnetic Fields) ausgesetzt sind. Nicht nur die Anzahl der Erkältungen fällt in dieser Gruppe fast doppelt so hoch aus, sondern auch die Dauer der Erkrankungen ist um 50 % verlängert und die Schwere der Erkrankungen fällt etwa doppelt so hoch aus. Dies ist mit einer Reduktion der Vitamin C Spiegel im Plasma verbunden. Die Kollagenfasern in der Haut sind angegriffen und die Autofluoreszenzwerte steigen an, was auf einen erheblichen oxidativen Stress und Schaden an den Proteinen in der Haut und im Bindegewebe durch RF-EMF Strahlung hinweist. Beide Effekte sind nicht signifikant. Zwar kann Lupinenprotein mit Sanddorn und Acerola vor diesem oxidativen Stress schützen und die Plasma Vitamin C Spiegel voll wiederherstellen, aber die Belastung im Vergleich zu den wenig exponierten Personen bleibt weiterbestehen. Die mit Vitamin C und E angereicherte Kakaopulver versorgte Vergleichsgruppe zeigte dagegen keine signifikante Reduktion des Infektionsrisikos. Nur die spezifische Supplementation führt zu einer entsprechend signifikant geringeren Belastung durch Atemwegserkrankungen. Aufgrund der starken negativen gesundheitlichen Effekte ist den von dem Open Window Phänomen betroffenen Sportlerinnen und Sportlern dringend geraten, die Exposition gegenüber RF-EMF zu beschränken, um die Anzahl, Dauer und Schwere von Atemwegserkrankungen entsprechend zu reduzieren.

Die Hauptwirkungen von optimierten PEMF nach der medizinischen Fachliteratur sind:

1. Das Herz pumpt kräftiger und fördert mehr Blut. Rhythmusstörungen bessern sich
2. Die Durchblutung wird in allen Blutgefäßen verbessert und der Blutfluß beschleunigt (Beweis Anlage 2: Erhöhte Wärmeabstrahlung bei Probanden infolge Behandlung mit dem *EMG*-Gerät, am 20.02.2000 mit der Infrarotkamera der Universität Zürich gemessen)
3. Die Atmung wird vertieft. Mehr Sauerstoff gelangt über die Lunge ins Blut und damit an die Zellen
4. Die Zellernährung wird verbessert und Schlackestoffe werden aus den Zellen schneller entsorgt
5. Die Viskosität des Blutes wird erniedrigt, die Gerinnung normalisiert - ein Anti-Thrombose-Effekt
6. Eiweiße werden vermehrt gebildet (Enzyme, DNS, RNS, Immunkörper, Struktureiweiße)
7. Die Zellregeneration wird angeregt und beschleunigt
Zerstörtes Gewebe (Knochen, Knorpel, Muskeln) wird wieder aufgebaut
8. Die Regeneration von Nervenzellen ist um ½ mm/Tag beschleunigt
9. Die Stimulierung des Immunsystems ist bewiesen
10. Allergische Hautreaktionen sind abgeschwächt
11. Insulin wird vermehrt ausgeschüttet, der Blutzuckerspiegel senkt sich
12. Diabetes-Spät Schäden werden gebessert (Augenschäden, Nervenkrabbeln, Nierenstörungen)
13. Die Lysozym-Aktivierung ist um 100% erhöht (Lysozym zerstört Bakterien indem es ihre Zellwände auflöst)
14. Ein PEMF wirkt gegen Schmerzen und ist entspannend und beruhigend.

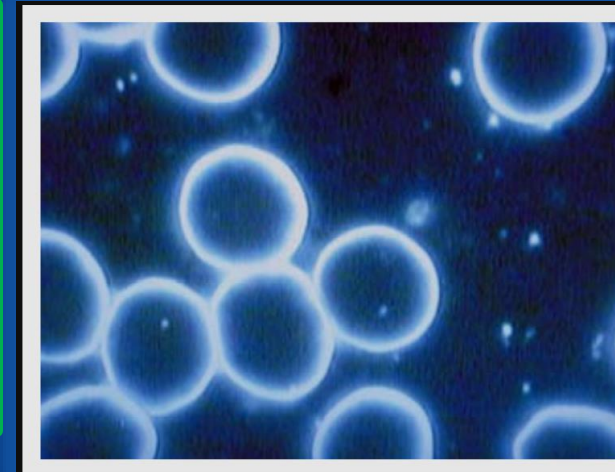
<https://sedonawellness.com/>



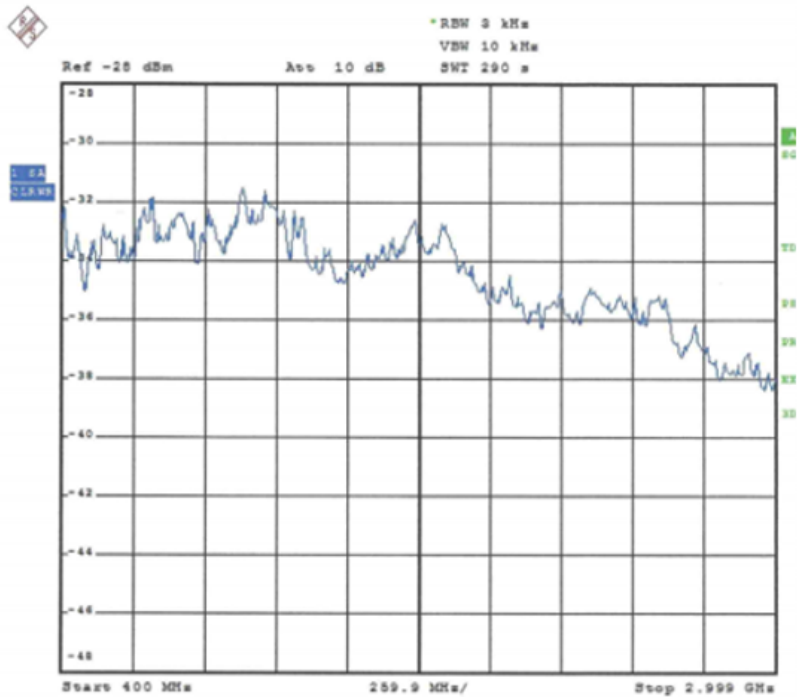
Geldrollenbildung der Erythrozyten nach Impfung, Dauermaske, E- Smog , Daarpa- Gel, Wirkung von kationischen Lipiden, Grafenoxid



Weitgehend normalisierte Erythrocyten nach Sedona Pulsierender Magnetfeldtherapie

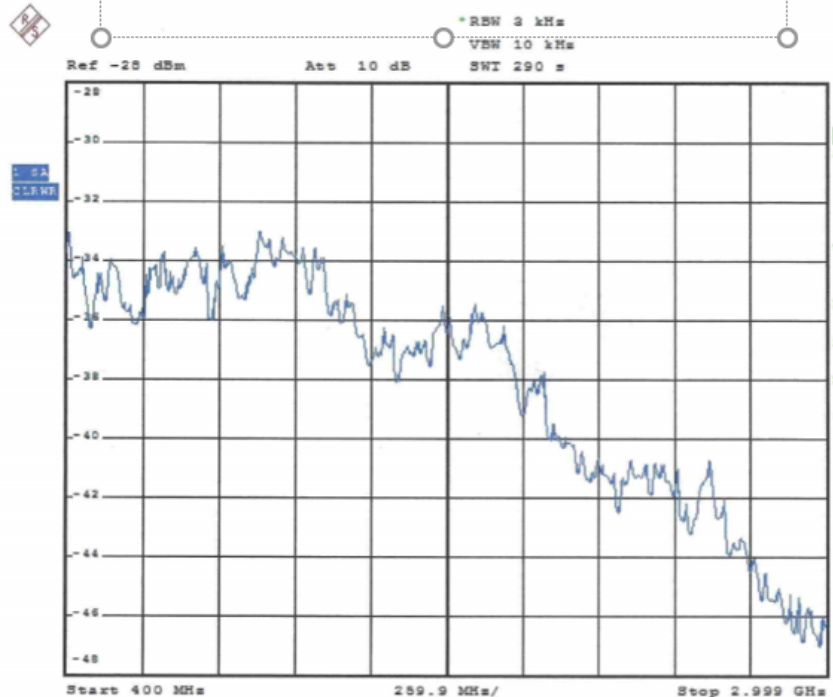


Messung 23: Referenzmessung ohne etwas im Feld der Antenne.



Date: 20.JUN.2021 10:41:52 *Messung 23 Leer*

Messung 24: Messung der Dämpfung durch den **INAKARB Home.**



Date: 20.JUN.2021 11:52:29 *Messung 24 mit QEY Home*

Eine Differenz von 6dBm entspricht einer Dämpfung/Verringerung von **75% der Signalstärke**. Also auch unabhängig von der Wirkung des QEY Home bei anderen Pegeln, gibt es selbst bei der groben Signalstärke einen eindeutigen positiven Effekt :-)



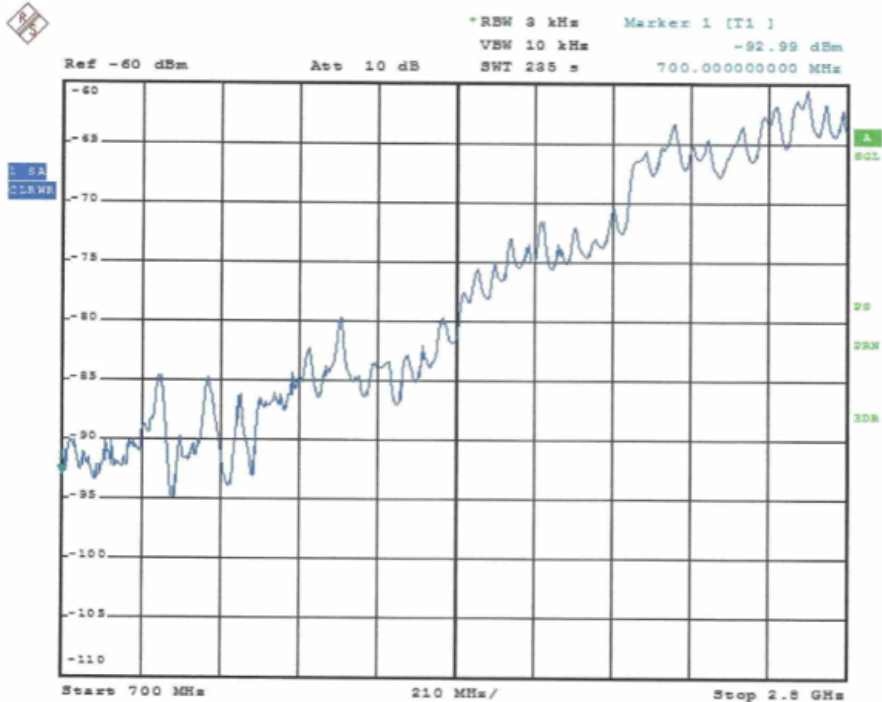
- Size 20cm x 20cm x 41cm
- Weight 2kg
- Material Oak wood
- Color Brown

Transformation der 5G Millimeterwellen zur Verhinderung des Ankoppelns an Nanomaterialien (Chips, Darpa-gele, Kationische Peptide; Grafenoxid im Koerper etc.

INAKARB HOME
Transformer,
Dämpfung/Verringerung
um **75% der**
Signalstärke

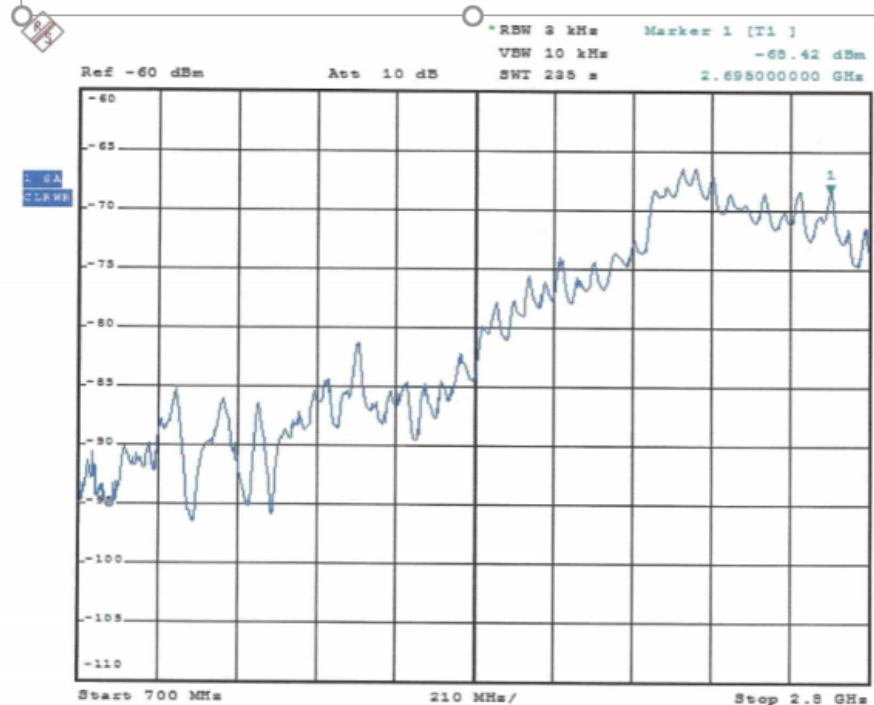
INAKARB Transformer Computer/PC

Messung 6: Referenzmessung ohne etwas im Feld der Antenne.



Date: 19. JUN. 2021 14:12:31 Messung 6 leer

Messung 9: Messung der Dämpfung durch den INAKARB Transformer Computer/PC



Date: 19. JUN. 2021 14:47:36 Messung 9 PC

Wie Sie sehen, beträgt die Dämpfung/Abschwächung der Leistung des Signals etwa 1 bis 2dBm ab etwa 1000MHz und steigt zu den höheren Frequenzen rechts auf 8dBm bis 10dBm an, wenn Sie die Leer-Messung (6: Leer) mit der QEY Computer/PC-Messung (9) vergleichen. Ein Unterschied von 10dBm entspricht einer **Dämpfung/Verringerung von 90% der Signalstärke.** Beim QEY Computer/PC gibt es also auch bei der groben Signalstärke einen positiven Effekt.



INAKARB Transformer PC

Dämpfung der

Strahlenlast um 90%!!

Computer & Router

Größe



105mm x 17mm

Gewicht 20-25g

Material Zedernholz

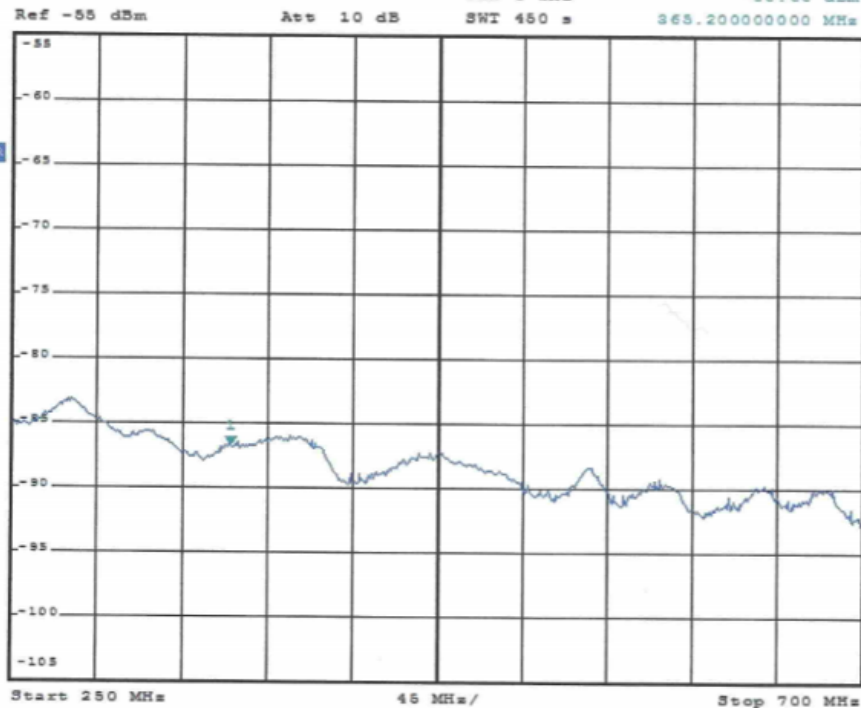
Farbe Rot/Braun

Zubehör Doppelseitiges Tape oder Klettverschluss zur Montage

INAKARB Transormer PERSONAL

Messung 2: Referenzmessung ohne etwas im Feld der Antenne

*RBW 1 kHz Marker 1 [T1]
VSW 3 kHz -86.66 dBm
SWT 450 m 365.200000000 MHz

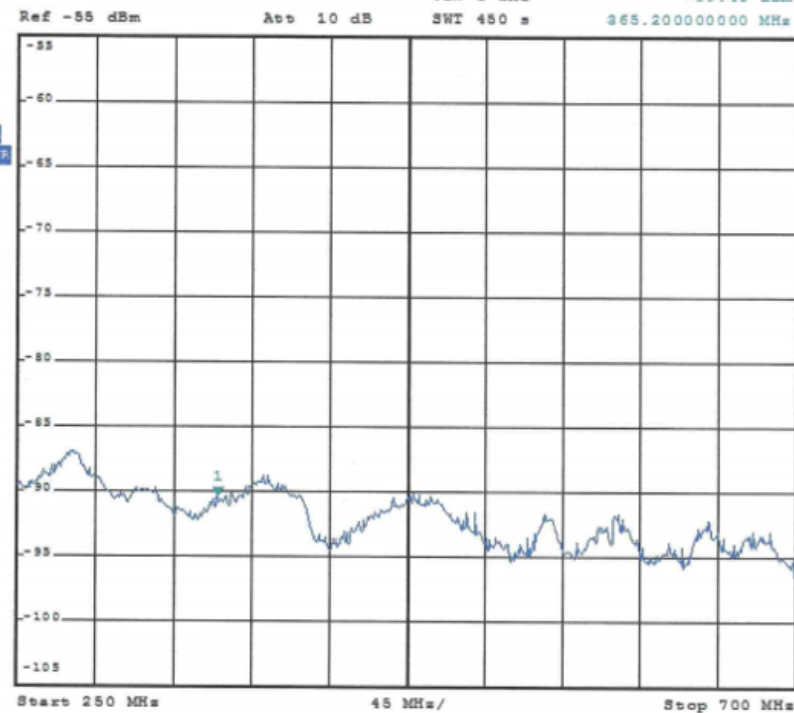


Date: 19.JUN.2021 12:59:08 leer Messung 2

Messung 4: Messung der Dämpfung durch

INAKARB Transormer PERSONAL

*RBW 1 kHz Marker 1 [T1]
VSW 3 kHz -90.40 dBm
SWT 450 m 365.200000000 MHz



Date: 19.JUN.2021 12:32:41 Messung 4 Pers.

Wie Sie sehen, beträgt die Dämpfung/Abschwächung der Leistung des Signals ca. 5dBm ab ca. 250MHz bis ca. 4dBm bei den höheren Frequenzen auf der rechten Seite, wenn Sie die Leer-Messung (2: Leer) mit der QEY Personal-Messung (4) vergleichen. Ein Unterschied von 6dBm entspricht einer **Dämpfung/Verringerung von 75%** der Signalstärke. Beim QEY Personal ist also ein positiver Effekt vorhanden.



INAKARB Transformer Personal
Dämpfung der
Strahlenlast/Signalstärke
um 75 %

Computer & Router



Größe

105mm x 17mm

Gewicht 20-25g

Material Zedernholz

Farbe Rot/Braun

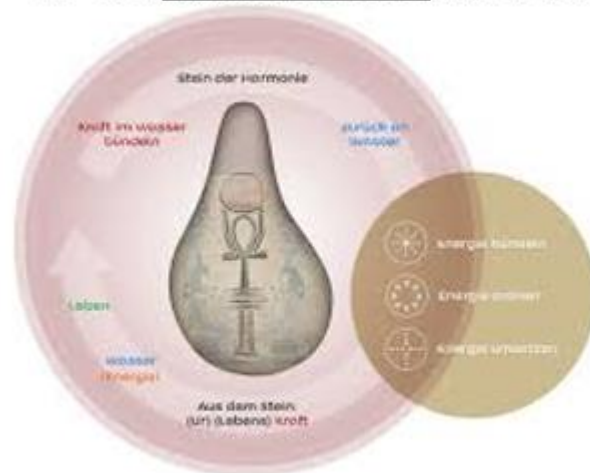
Zubehör Doppelseitiges Tape oder Klettverschluss zur Montage

Reduktion der Signalstärke durch

1. Kolganoykugel, die mit 8-facher Dämpfung auf Strahlung zwischen 750 Hz und 47 GHz reagiert



2. der Quantenstein mit 4facher Dämpfung,



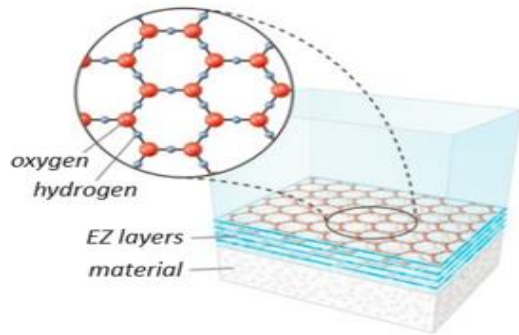
4. Der Raumharmonisierer, der im Umkreis von 12 m Durchmesser vielfach stärker reagiert als der Quantenstein



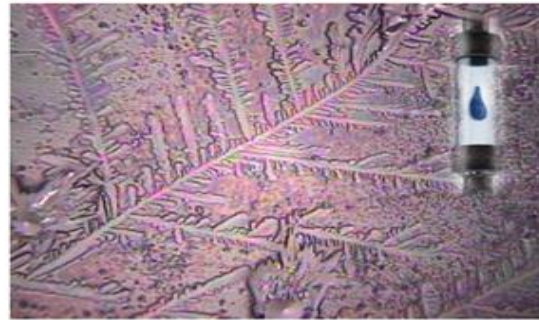
Die Systeme Quantenstein, Raumharmonisierer, Autoharmonisierer.

Erdungstransformer

wirken vor allem über die Bildung und den den Aufbau von HEXAGONALEM Wasser im Körper und auch in der Umgebungsluft, im Auto oder im Freien, so dass die pathologischen 90 Grad Grad Winkel in physiologische 30/60 Grad Grad Winkel umgebaut werden.

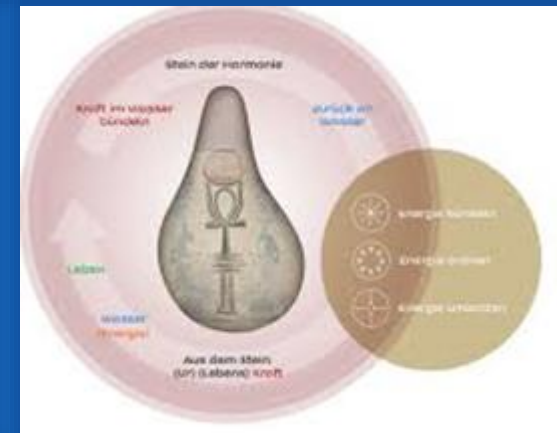


*Hexagonales Wasser
nach Pollack, H3O2*



Physikalisch und biologisch perfekt strukturiertes Wasser

Regelmäßige Kristallstrukturen, ideale Formbildung mit 60° Winkelstrukturen, d.h. **hexagonal**
Der Sauerstoffgehalt **erhöht** sich um **44%**
Optimale biologische und technische Eigenschaften, minimale Fäulnisbildung



Quantenstein

Autoharmo- nisierer



Raum- harmonisierer

Hexagonales Wasser ist extrem „ – „ geladen und der optimale Ausgleich für massive Radikale, die zB. Durch Elektromog oder Impfungen usw. in den Körper gelangen



Wasser- strukturierer

BODY-HARMONY, der sogar in der Lage ist, die per Elektromog im wichtigsten Reparatursystem des Menschen, die auch über Jahre kumulierten und angestauten pathologischen Frequenzen im **PERINEURALEN GLEICHSTROMSYSTEM** zu entlasten.



ORIGINALZITAT DES ENTWICKLERS
Josef Schwarzkopf:

Bei der Datenübertragung entstehen Mikrowellen. Sonders sollten Übertragungen von 4G und 5G Geräten sowie von Sendern beachtet werden. Am Empfängergerät werden die Wellen empfangen und abgestrahlt, diese speichern (erstarren) die Flüssigkeit von Lebewesen. Die **roten Blutkörperchen** werden belastet, es stellt sich eine verminderte **Sauerstoffaufnahme** ein. Die Datenträger kommunizieren untereinander und verstärken die Erstarrung deshalb sind Ansammlungen von mehreren Personen mit Handys usw. verstärkt zu berücksichtigen ist .(z.B. Skigebiete, Stadien, Bahn usw.)

Durch das Tragen des **Body Harmonie** werden die von außen einwirkenden und am Körper gespeicherten Mikrowellen eliminiert. Minimale Wirkung ca 2 min, bei Belastung länger (Autofahren PC- Arbeit. Dauertelefon etc.)

das Zitat vom Zauberlehrling spiegelt uns „die ich rief, die Geister werde ich nun nicht los“

Josef Schwarzkopf

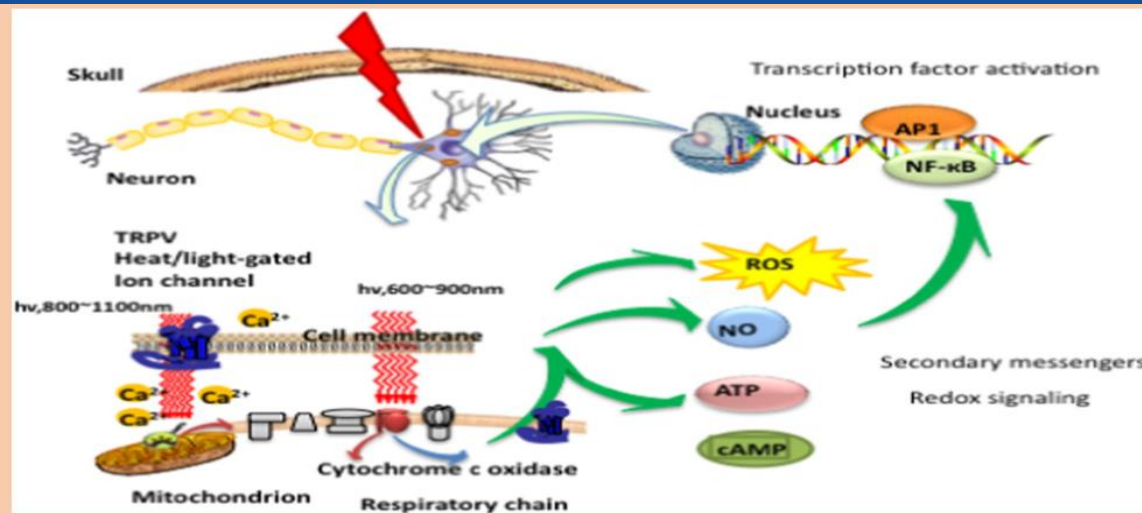


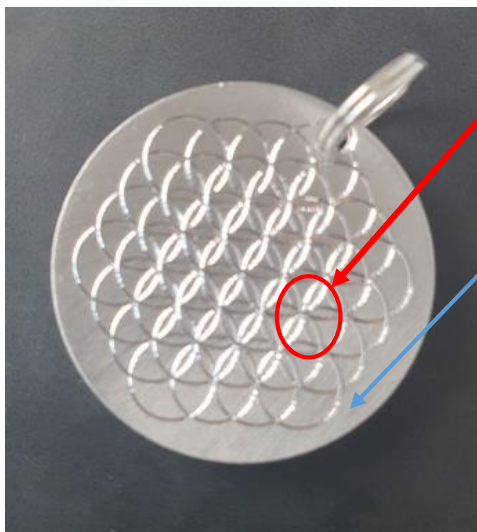
Abb. 3: Molekulare und intrazelluläre Mechanismen von transkraniellen Low-Level-Lasern (Licht) oder Photobiomodulation. AP1, Aktivatorprotein 1; ATP, Adenosintriphosphat; Ca^{2+} , Calciumionen; cAMP cyclisches Adenosinmonophosphat; NF-KB, Nuklearfaktor Kappa B; NO, Stickoxid; ROS, reaktive Sauerstoffspezies; TRPV, transientes Rezeptorpotential Vanilloid.

6. Der Light-Pen



Zur Photobiomodulation auch gegen Grafenoxid UV- Wirkung

3. der Brany-Anhänger , 3 bis 5 – fache Dämpfung



Die Lemniskaten mit der Blume des Lebens Ohne! Umrandung erzeugen fast die 3- fache Power mit der Energie Aufnahme aus dem „0-Punkt-feld“



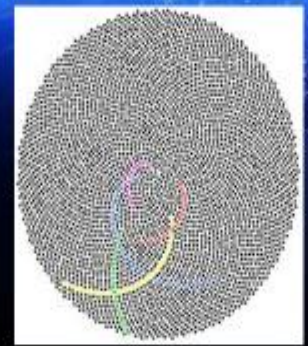
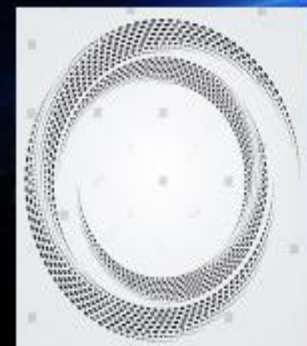
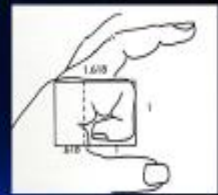
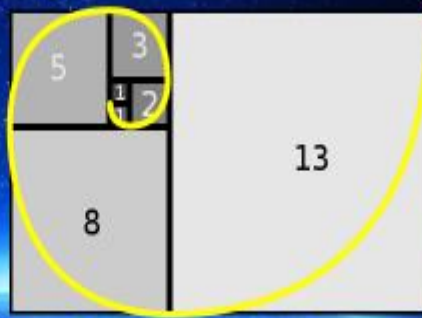
Die strukturelle Eigenschaften des Brain-Y oder Chips/Energie aus dem Quantenvakuum

Atom Kristallstruktur
VOM WELTRAUM
IN DIE
MEDIZINISCHE
PRAXIS

Fibonacci-Folge

→ Summe der beiden Vorgänger

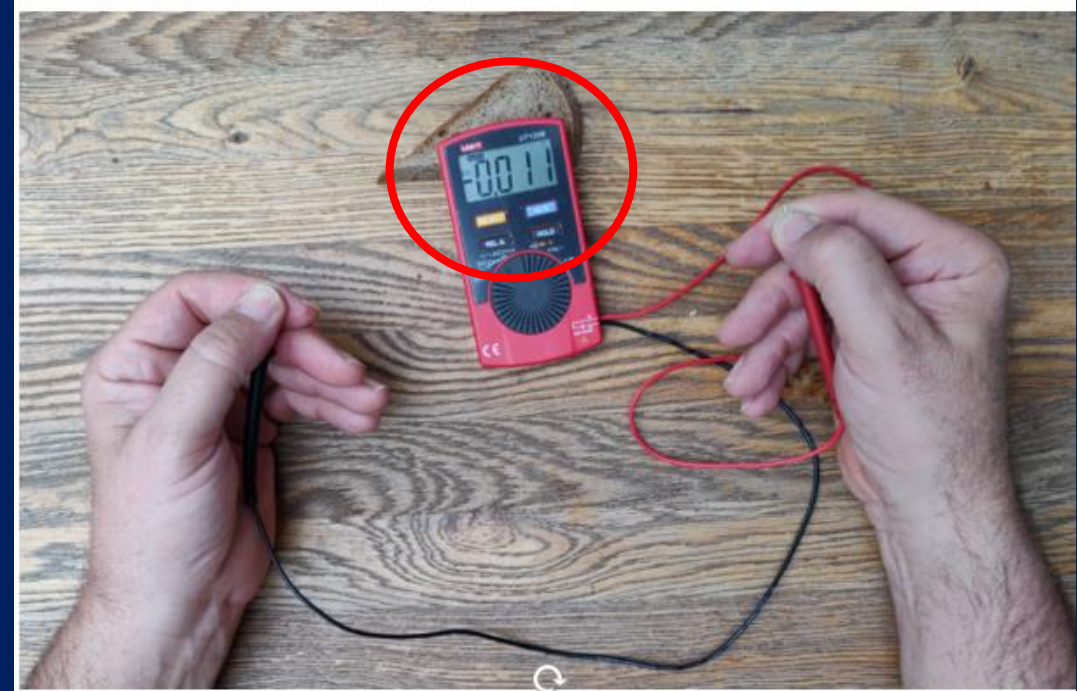
0	1	1	2	3	5	8	13	21	34
55	89	144	233	377	610	987	1597	2584	4181 ...



- 2,5 + 0,5 = 3
- 2 + 0,5 = 2,5
- 1,5 + 0,5 = 2
- 1 + 0,5 = 1,5
- 0,5 + 0,5 = 1
- 0,5

- Werden noch in der ersten Messung ohne Brany anhand der Elektroden Werte zwischen - 10 mv und + 10 mv an den Finger-Beeren gemessen
- zeigen sich nach Halten des Branys ebenfalls während der Messung an den Elektroden instantan Werte zwischen 300 und 500 mv.

Eine Energie also, die aufgrund der Naturgesetze, nach denen der Brany aufgebaut ist, offenbar aus dem Quantenvakuum in die Fingerbeeren zieht, so dass man nach Lakhowski z.B.: Tumor und Entzündungszellen sanieren kann, hier von 11 mv auf 378 mv



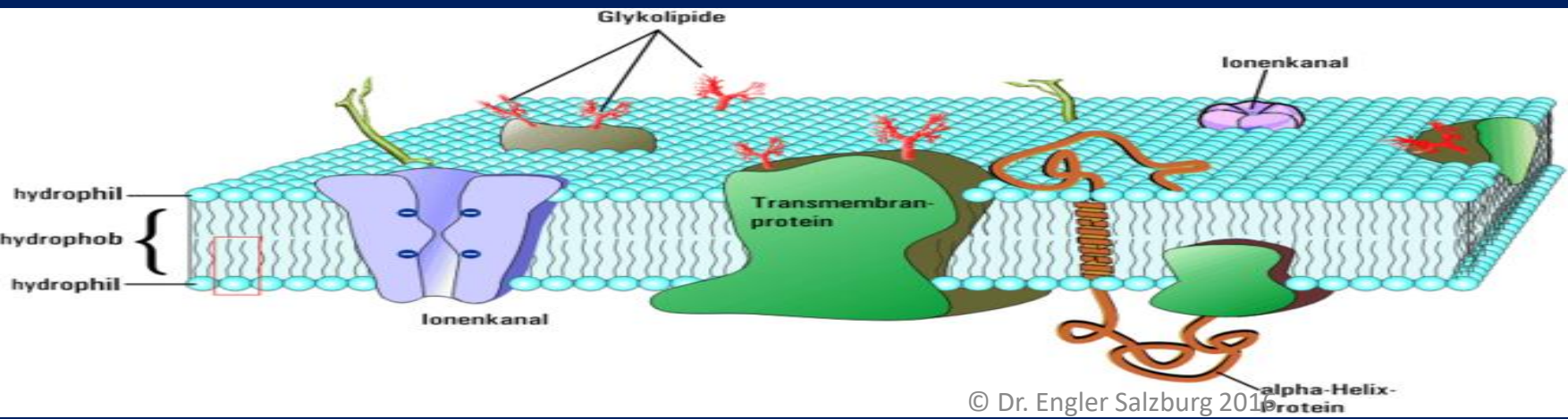
TMRP sind von mitochondrialem ATP abhängig und für den bio-energetischen Zustand der Zellen repräsentativ

TMRP bei normalen oder geschädigten Fibroblasten

normale WI 38 =	ATP & Morphologie normal	TMRP = - 40 mV
WI 38 mit Rn belastet =	ATP↓ & Morphologie ↓ ...	TMRP = - 25 mV
VA 13 „Krebszellen“ =	ATP↓ & Morphologie ↓ ...	TMRP = - 15 mV

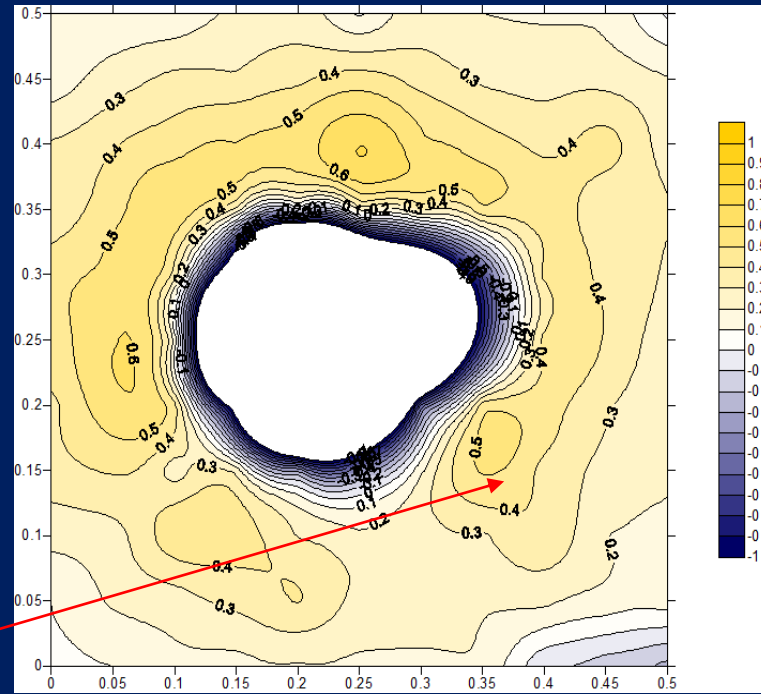
Effekte der IO_2Th ($p = < 0,05$):

WI 38/ Rn $\leftarrow IO_2Th/O_2+\bullet$	ATP↑ & Morphol. ↑ ...	TMRP = - 40 mV
VA 13 $\leftarrow IO_2Th/O_2+\bullet$	ATP↑ & Morphol. ↓ ...	TMRP↑ & Destruktion

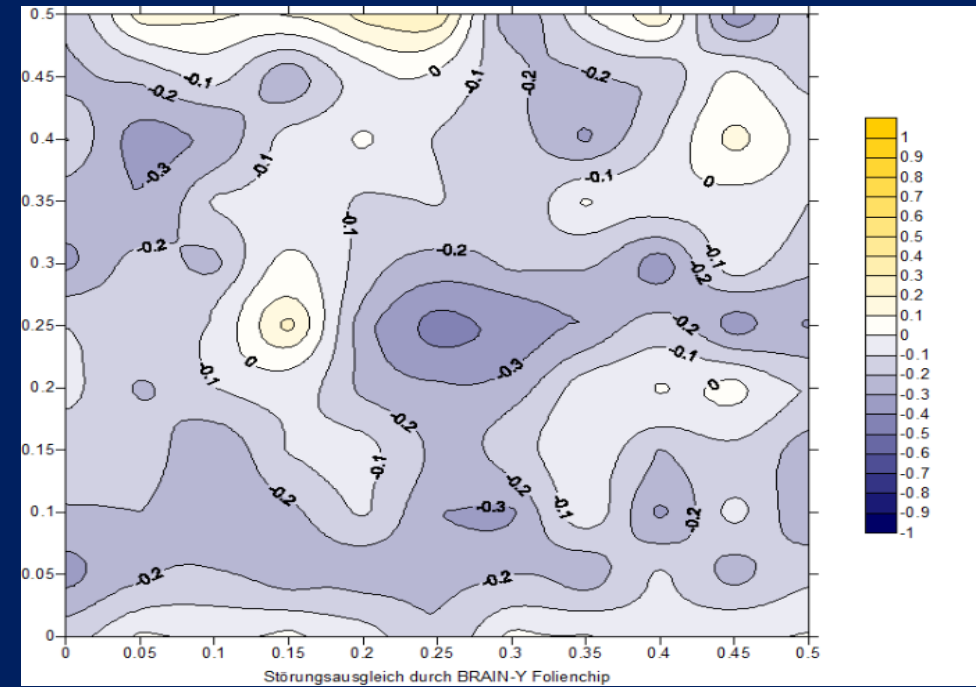


T3 = Feld mit
sendendem iPhone
ohne Chip,

Anmerkung, die natürlichen
Schwankungen von
Magnet/Kraftfeldern sollten
maximal zwischen 0,1 -0,2
Mycrotesla μ T liegen! Bei I-
phone etc allerdings zwischen
0,6 -0,7



Störung durch iPhone



Feld mit sendendem
iPhone mit Aluchip,
Ausgleichswirkung des Aluchips,

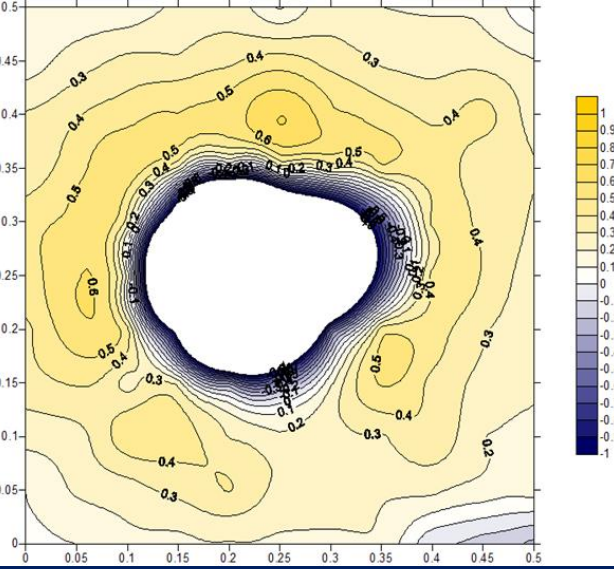


Dr. Walter Medinger

IIREC

International Institute for Research on
Electromagnetic Compatibility

Bewusstseinsveränderung durch Veränderung des magnetischen Vektorpotentials/Skalarwellen! Entanglement



- Der Chip beeinflusst **das magnetische Vektorpotential** (den elektromagnetischen Impuls nach Maxwell), das für die Verteilung der magnetischen Energie verantwortlich ist.

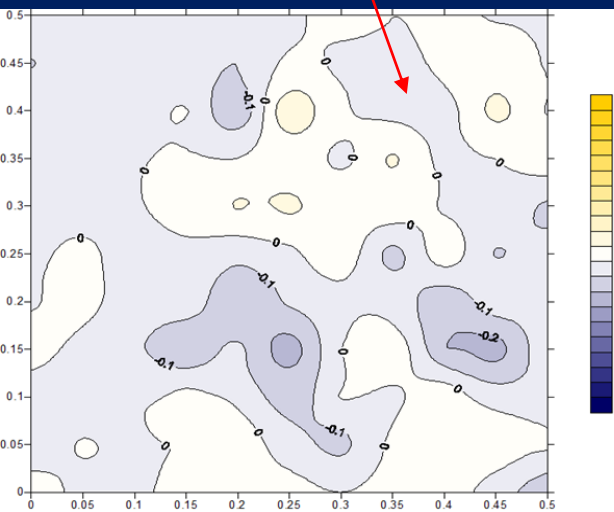
Des weiteren handelt es sich dabei um die in der Quantenphysik bestimmende elektromagnetische Größe. Diese Größe ist auch für biologische Reaktionen ausschlaggebend, denn jedes lebende System von der Zelle bis zum menschlichen Gesamtorganismus ist ein Quantensystem. Dass die Frequenzen, die im Körper elektrosensibler Patienten gespeichert sind, sowie die Frequenzen der Meridiane und Chakren nicht direkt technisch als elektrische oder magnetische Kräfte messbar sind liegt daran, dass sie als Vektorpotential und nicht als Kraftfeld ausgeprägt sind. 20,30



Da die BRAINY-Chips die Störungen im Umfeld eines Handys beheben ist anzunehmen, dass sie ein zur Neutralisierung bzw. Abwehr von Skalarfeldern in Frage kommendes Prinzip enthalten.

In Experimenten z.B. von Glen Rein konnte gezeigt werden, **das reine Vektorpotentiale (ohne magnetisches Kraftfeld) biologisch wirksamer sind als solche, die von einem Kraftfeld begleitet werden.** Die besonders auffälligen Magnetfeldstörungen im Umfeld eines sendenden oder empfangenden Handys sind darauf zurückzuführen, dass das Handy selbst nach der Lehrbuchphysik im Nahfeld erhebliche **skalare** Feldanteile besitzt.

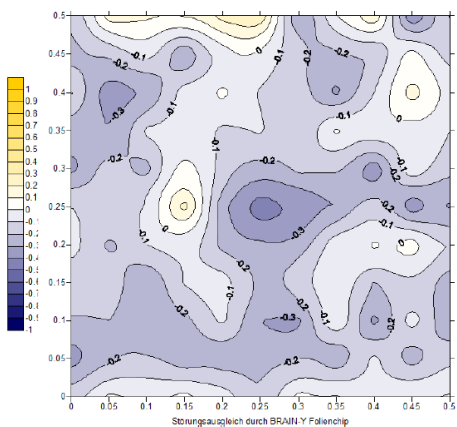
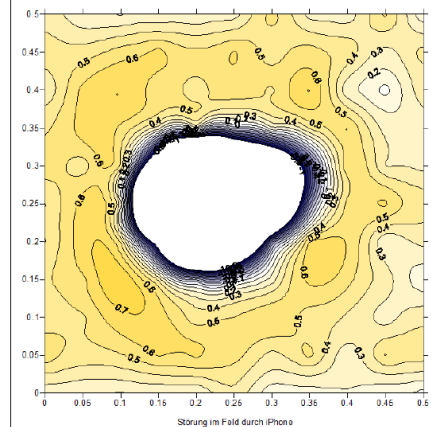
- Eine elektroskalares Feld ist immer dann zu erwarten, wenn eine deutliche räumliche Inhomogenität elektrischer Feldlinien herrscht (das ist z.B. im Nahfeld von Hochfrequenzsendern und -empfängern der Fall) oder wenn eine hohe elektrische Spannung sehr plötzlich (z.B. innerhalb von Nanosekunden) abfällt.



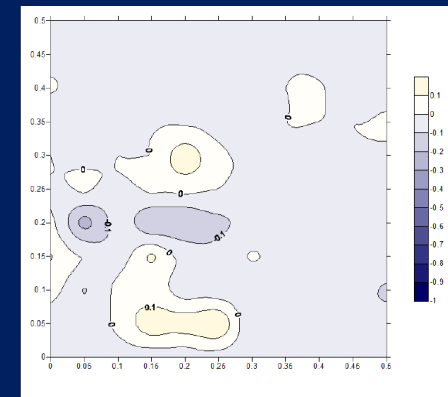
Fernübertragung

Das bedeutet, dass nicht wie bei den üblichen Tests das im Messfeld befindliche „empfangende“ Handy mit dem Chip ausgestattet wurde, sondern das entfernte „sendende“ Handy. Dieses war beim **ersten Test 60 km** vom Messlabor entfernt. Der Test erbrachte ein **grundsätzlich (jedenfalls in einem Teil des Messfeldes eindeutiges) positives Ergebnis** (siehe zweite Grafik). Zur Absicherung dieses Ergebnisses wurde der **Test wiederholt**, wobei sich das „sendende“ Handy nur in einer Entfernung von **5 m vom Ort der Messung** befand. Das **Ergebnis fiel wieder positiv aus**, wobei die stärksten Effekte im gleichen Teil des Messfeldes auftraten wie beim ersten Fernübertragungstest, jedoch auch im übrigen Teil des Feldes positive Wirkungen zu verzeichnen waren. Diese Ergebnisse sind jedenfalls als Hinweise zu verstehen, dass sich die Wirkung des BRAIN-Y-Chips als **Quanteneffekt auf einer elektromagnetischen Trägerwelle** (konkret der Funkwelle eines Mobilfunknetzes) übertragen lässt. –

Die gleichfalls durchgeführte **Nachmessung nach dem Belastungstest** (72 h in einem extrem inhomogenen Magnetfeld) wurde in „klassischer“ Weise mit dem Aluchip auf dem iPhone im Messfeld durchgeführt und erbrachte das in der vierten Grafik dargestellte **positive Ergebnis**.



Wirkung I-Phone

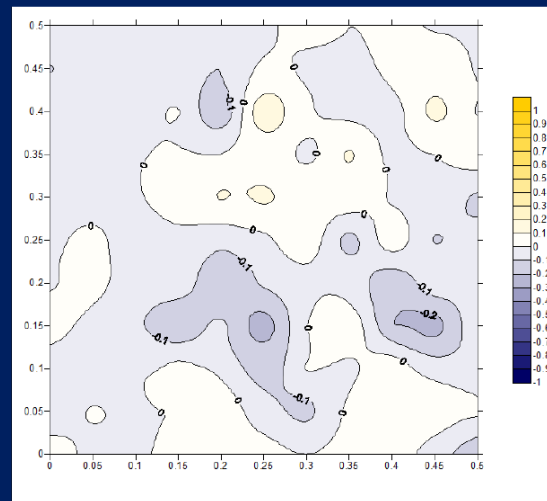


Wirkung i-phone mit Brany Folie

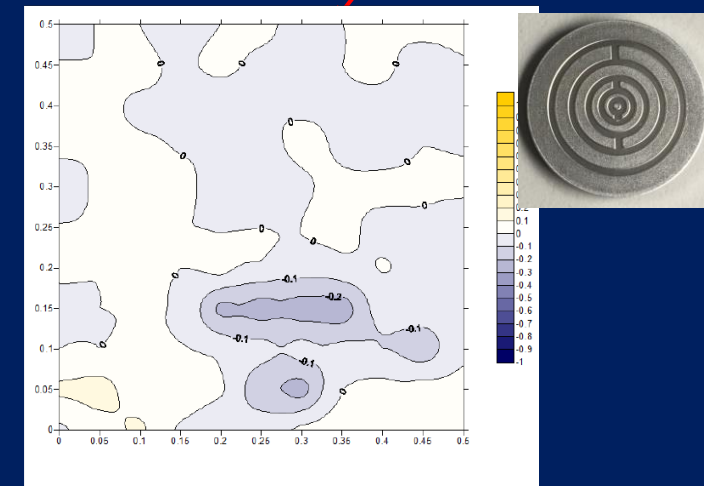
Fernwirkung Brany 5m mit I-phone, empfangendes Handy nicht gechipt!

Die in der Umgebung des Handys im Messfeld überwiegende, in blau dargestellte Abnahme der Werte belegt den Ausgleich der gelb dargestellten Wertezunahmen von Abb. 13. Die Veränderungen, deren Betrag $0,1 \mu\text{T}$ überschreitet (kräftigere Blautöne) sind messtechnisch signifikant.

Somit liegen hier Wirkungen vor, die nach sorgfältigster Durchführung der Messungen mit höchster Wahrscheinlichkeit durch Einwirkung des BRAIN-Y Chips aus der Ferne hervorgerufen wurden.



Fernwirkung **60 km!**
empfangendes Handy nicht gechipt!



Fernwirkung **60 km!** Nach **72 Std.**
empfangendes Handy nicht gechipt!



Light- Pen

1. Zugrundeliegende Mechanismen Photobiomodulation (PBM)

Die Photobiomodulation (PBM) beschreibt die Verwendung von **rotem oder nahem Infrarotlicht** zum Stimulieren, Heilen, Regenerieren und Schützen des Gewebe, das entweder verletzt oder degeneriert wurde, oder das Risiko zu sterben besteht.

Das Gehirn leidet an vielen verschiedenen Erkrankungen, die in folgende drei große Bereiche unterteilt werden können:

1. traumatische Ereignisse (Schlaganfall, traumatische Hirnverletzung und globale Ischämie),
2. degenerative Erkrankungen (Demenz, Alzheimer und Parkinson) und
3. psychiatrische Störungen (Depression, Angstzustände, posttraumatische Belastungsstörung).

Es gibt Hinweise darauf, dass alle diese scheinbar unterschiedlichen Bedingungen durch die Anwendung von **Licht auf den Kopf vorteilhaft beeinflusst werden können**. Es besteht sogar die Möglichkeit, dass PBM zur kognitiven Verbesserung bei **normalen gesunden Menschen** eingesetzt werden kann.

In dieser transkraniellen PBM (tPBM) -Anwendung wird oft nahes Infrarot (NIR) -Licht auf die Stirn aufgebracht wegen des besseren Eindringens (keine Haare, längere Wellenlänge).

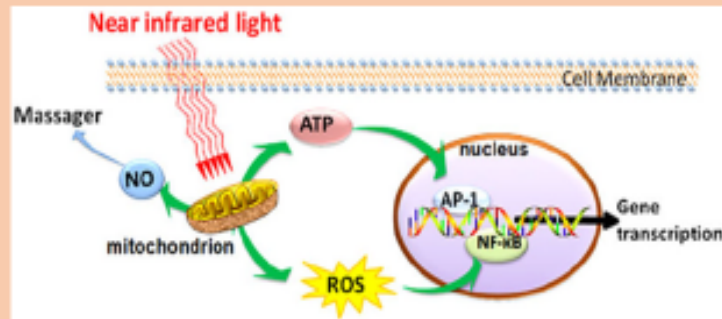


Abbildung 1. Zelluläre Mechanismen der NLLT. Schematische Darstellung der Absorption von rotem oder nahem Infrarot (NIR) Licht durch spezifische zelluläre Chromophore oder Photoakzeptoren, die in den Mitochondrien lokalisiert sind. Während dieses Prozesses in der Mitochondrien-Atmungskette wird die ATP-Produktion ansteigen und reaktive Sauerstoffspezies (ROS) werden erzeugt; ebenso werden Stickstoffmonoxide freigesetzt oder erzeugt. Diese zytosolischen Reaktionen können wiederum Transkriptionsänderungen durch Aktivierung von Transkriptionsfaktoren (z.B. NF-κB und AP-1) induzieren.

Gemäß üppiger Studienlage ist zu erwarten dass die **Photobiomodulation** insbesondere in der Verstärkung des Light – Pens durch die Eigenschaften des **Brain-Y Chips**, der auch noch modulierend und energetisierend auf **elektrische oder Skalarfelder** wirkt, eine der stärksten Therapieformen der Zukunft in der Behandlung insbesondere neurologischer aber auch immunologischer, internistischer oder orthopädischer Erkrankungen werden wird.

Mit seiner Applikation über Meridiane, insbesondere im Bereich der Stirn, der Schädelmitte, den Mittelohren und der Wirbelsäule mit all den damit verbundenen Kanälen kann eine enorme Aktivierung des Gesamt Systems erfolgen.

- Nicht zu unterschätzen ist auch die **psychiatrisch** insbesondere Trauma dämpfende Wirkung vor allem appliziert durch Nutzung des Magic-Pens in den **Ohren**.
- Eine enorme **Neuroplastizitätssteigerung** ergibt sich durch Aktivierung der Cytochromoxidase der Atmungskette der Mitochondrien mit Reparatur der DNA,
- einer vermehrten Energiebereitstellung durch **ATP**
- und einem Rückgang der Radikalwirkung durch **Induktion von Antioxidativen Enzymen** nach Erhöhung der hier aktivierten NF- Kappa Betas (Transkriptionsfaktor).

Signalvermittler und Aktivierung von Transkriptionsfaktoren

zwei der wichtigsten molekularen **Photorezeptoren oder Chromophore** (**Cytochrom-C-Oxidase** und durch Wärme leitende Ionenkanäle) in neuronalen Zellen, **die Photonen absorbieren**, die in das Gehirn eindringen. Die Signalwege und die Aktivierung von Transkriptionsfaktoren führen zu möglichen Auswirkungen von PBM im Gehirn.

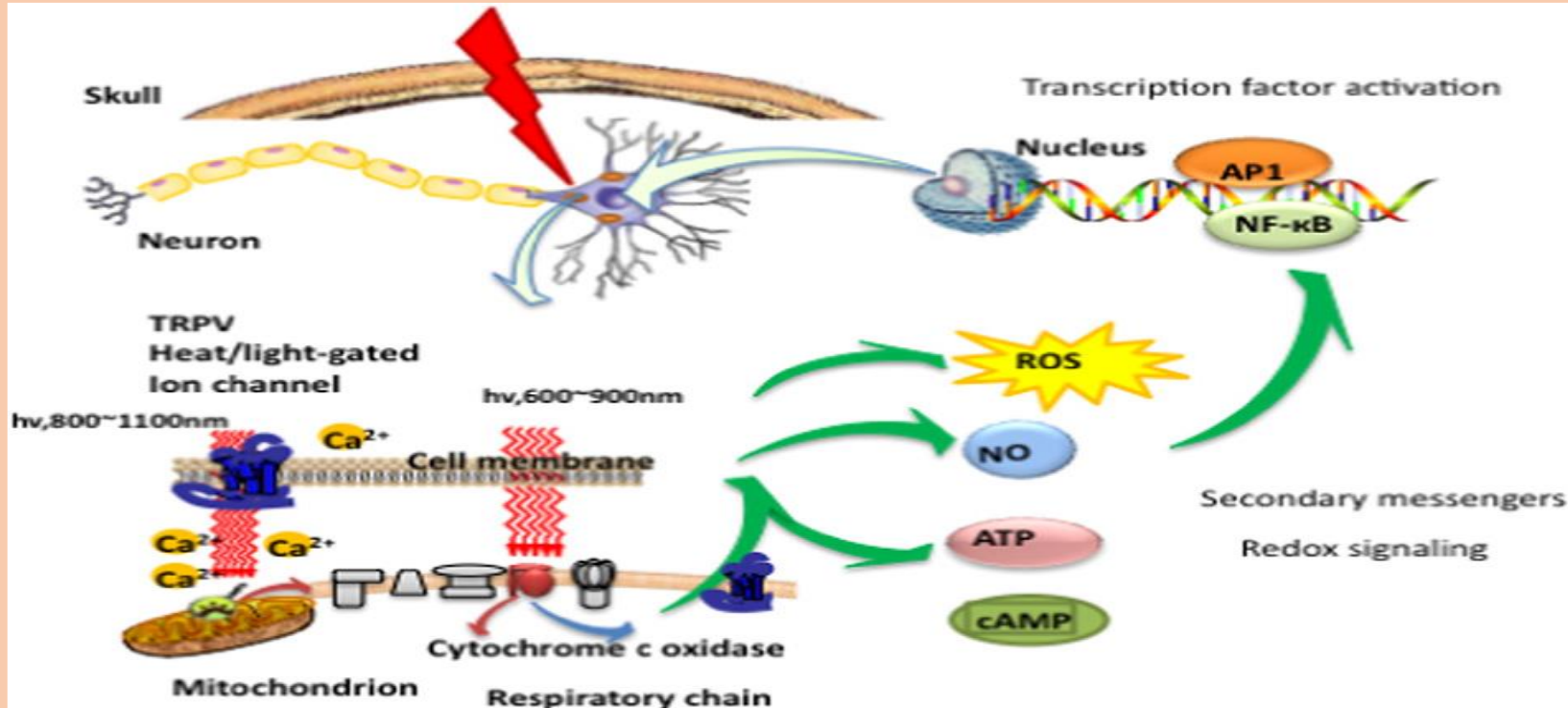
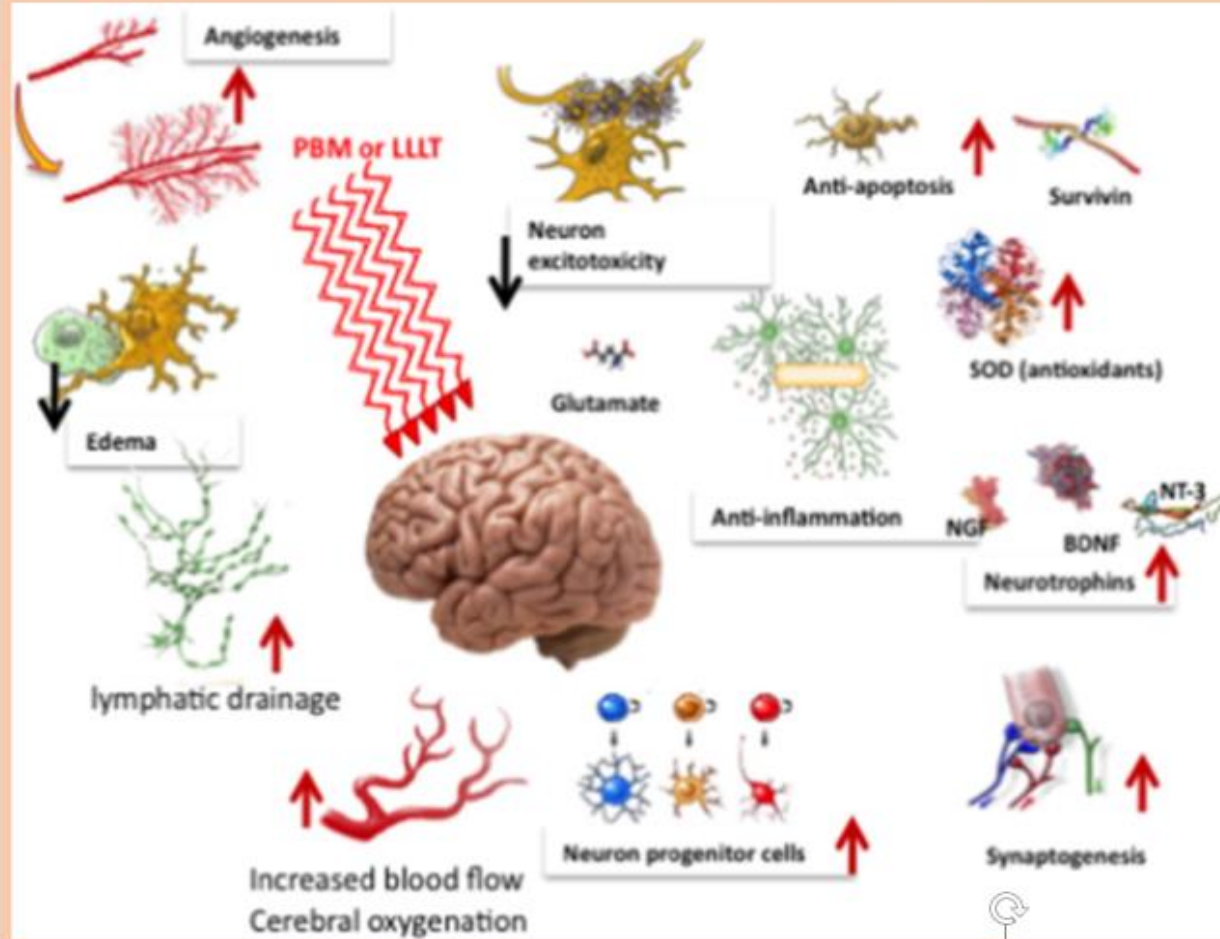


Abb. 3: Molekulare und intrazelluläre Mechanismen von transkranialen Low-Level-Lasern (Licht) oder Photobiomodulation. AP1, Aktivatorprotein 1; ATP, Adenosintriphosphat; Ca²⁺, Calciumionen; cAMP cyclisches Adenosinmonophosphat; NF-κB, Nuklearfaktor Kappa B; NO, Stickoxid; ROS, reaktive Sauerstoffspezies; TRPV, transientes Rezeptorpotential Vanilloid.

Es können verschiedenste Prozesse ablaufen, von denen eine Vielzahl von Erkrankungen des Gehirns profitieren können. Diese Prozesse können in

1. kurzfristige Stimulation (**ATP, Blutfluss, Lymphfluss, zerebrale Oxygenierung, weniger Ödem**) unterteilt werden.
2. Eine andere Gruppe von Prozessen dreht sich um **Neuroprotektion** (Hochregulierung anti-apoptotischer Proteine, weniger Excitotoxizität, mehr Antioxidationsmittel, weniger Entzündungen).
3. Schließlich eine Gruppe von Prozessen, die unter "**Hilfe zur Heilung des Gehirns**" zusammengefasst werden können (**Neurotrophine, Neurogenese und Synaptogenese**).

Photobiomodulation (PBM)



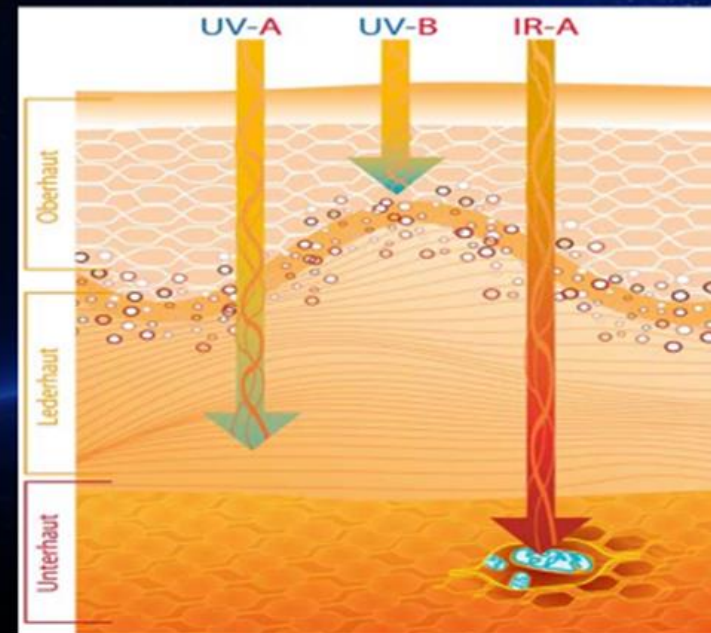
Gewebespezifische Prozesse, die nach PBM auftreten und eine Reihe von Hirnstörungen verbessern.

BDNF, aus dem Gehirn stammender neurotropher Faktor; LLLT, Low-Level-Lichttherapie; NGF, Nervenwachstumsfaktor; NT-3, Neurotrophin 3; PBM, Photobiomodulation; SOD, Superoxiddismutase.

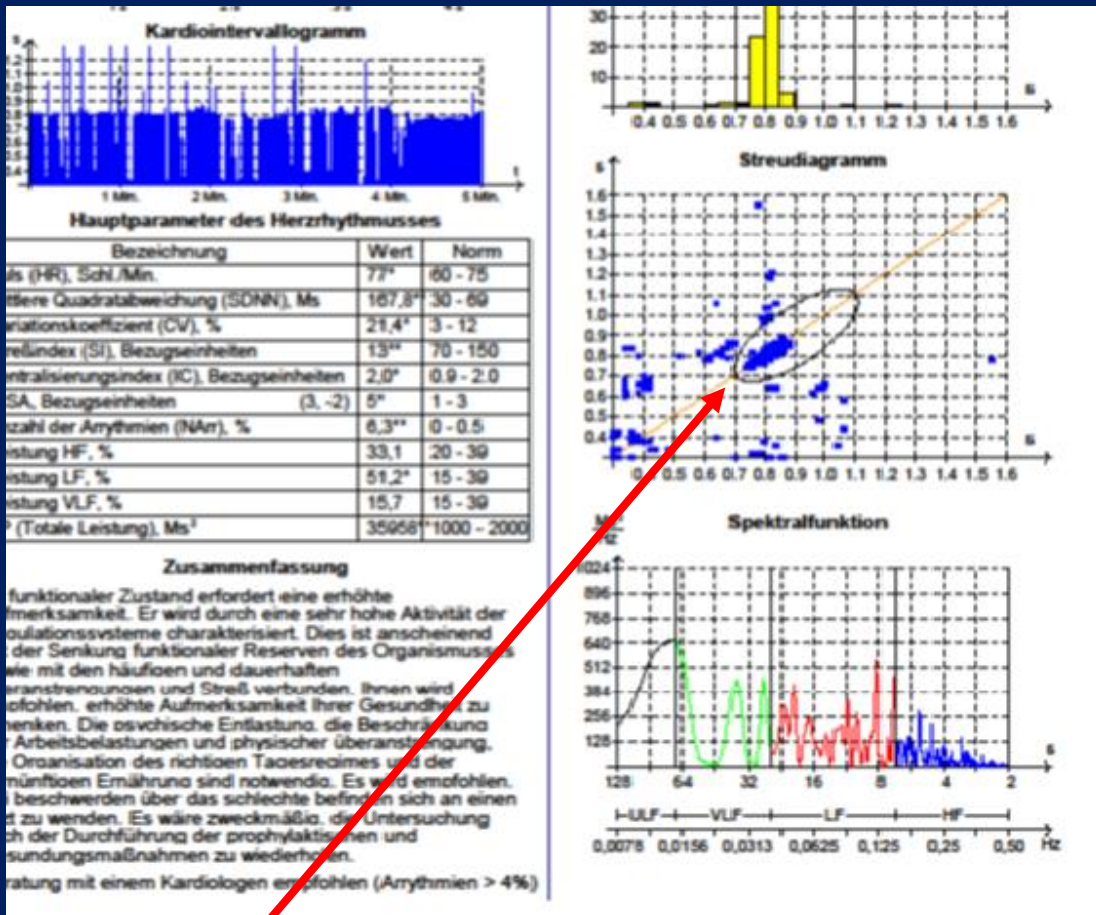
Abbildung-150. Fern- und Nahinfrarotlicht in Form der Applikation durch den Licht-Pen erlauben ebenso wie die erhöhte Gabe von Melatonin die Aktivierung aller nur erdenklichen Heilprozesse des Gehirns (s. Beschreibungen der letzten Abbildungen). Interessant ist aber vor allem die enorme Aktivierung des BDNF, der auch als Langlebigkeitsfaktor der 100-jährigen Studien von Terman und Friedman bekannt wurde, indem er zusammen mit einer erhöhten Aktivität der Zirbeldrüse, dann der Schilddrüse und des Thymus die komplette Immun-Modulation nicht nur des Gehirns und deren Entgiftungsvorgänge unter stärkerer Hirndurchblutung und vermehrter Neuroplastizität erfolgreich steuern kann. ¶

Verjüngende und Heilende Wirkung von Ferninfrarotlicht

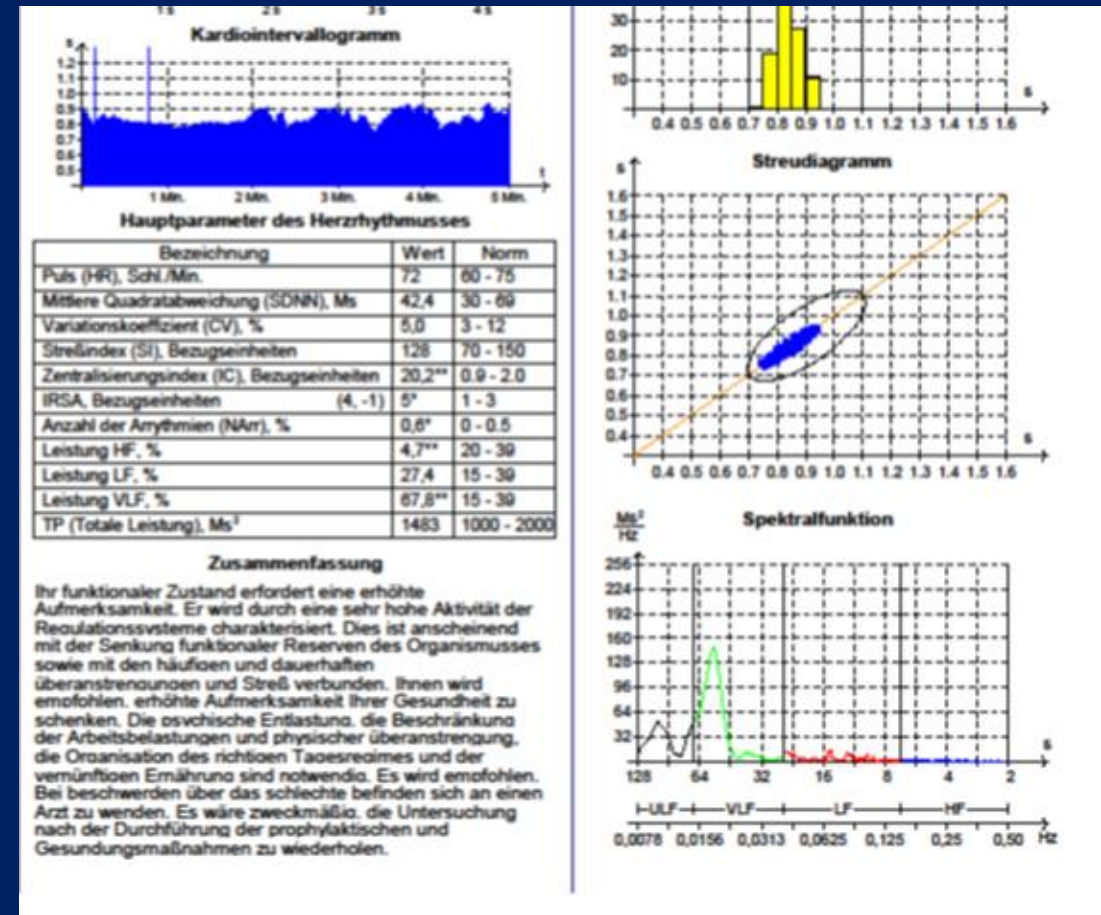
Development NASA, Japan, Russia: Micro particles of bio ceramic powder create corporal resonance with long-wave infrared radiation, emission in the range of 9.3 to 9.53 micrometers (wave length of DNA). They activate the **DNA, microcirculation, the pineal gland** and induce the **brain hormones** for an increase in cognitive performance, especially memory. There are enormous effects, even in the case of **Alzheimer's disease, stroke and sleep disorders** by reducing lipid peroxidation, **vascular processes**, e.g. **arterial hypertension, pain reduction, anti-tumour effects** by direct activation of the immunoglobulin, **general regeneration of all types of tissue.**



Wirkung von Ferninfrarot bis auf die Fettzellen, die dann emulgiert und aufgelöst werden wobei damit eine erhebliche Entgiftungsfunktion mit einhergeht



55 year-old businessman who had suffered from severe Arrhythmia for years (arrhythmia index 6.2 !). Before treatment with the ENKI Bandana



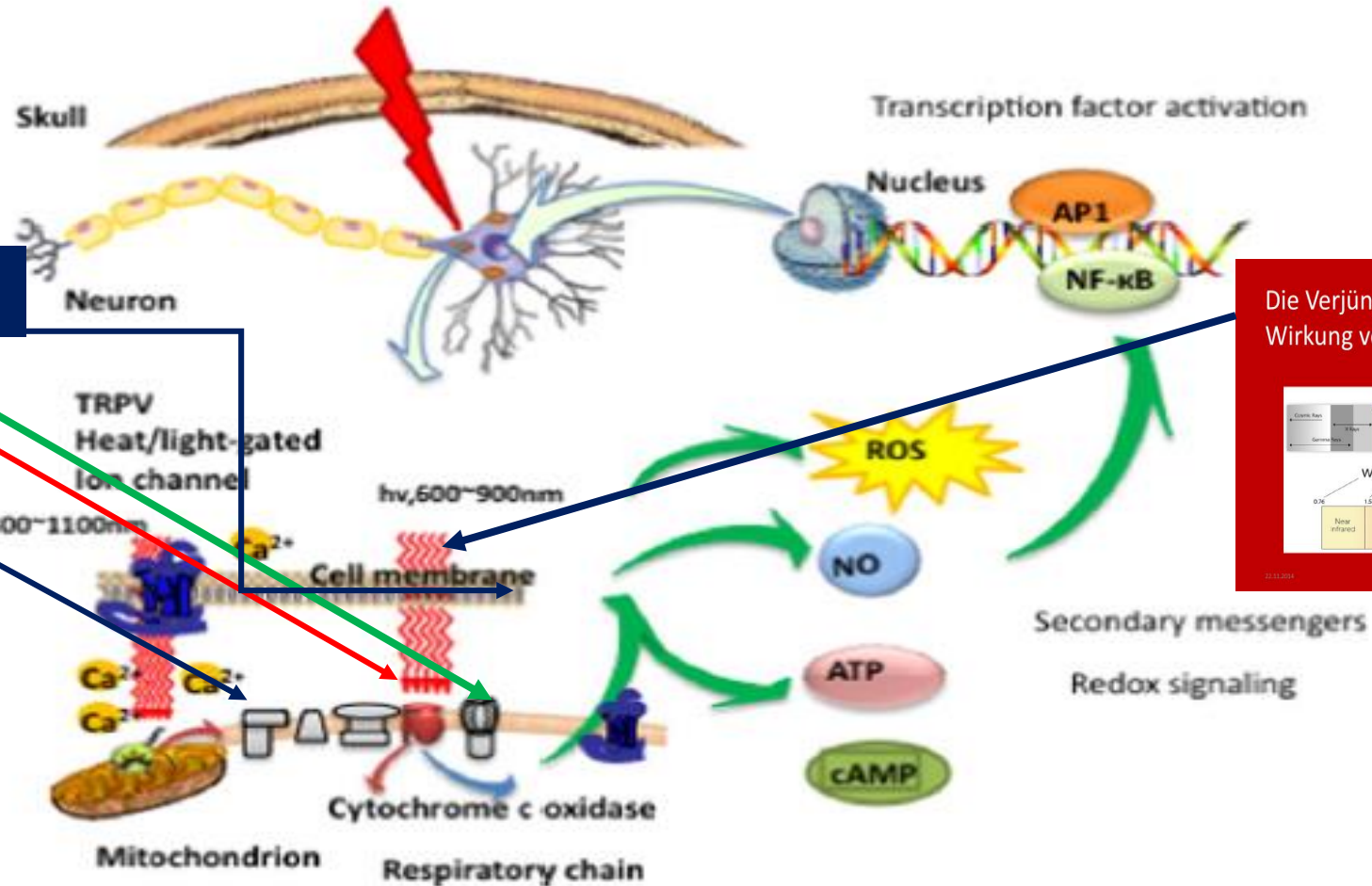
After just 15 minutes of treatment with the ENKI Bandana there is a normal heart rhythm (arrhythmia index 0.0) and complete circulatory synchronisation!

Ferninfrarot-Strahlung (FIR) und Melatonin korrigieren die DNA und Verjüngen

M.R. Hamblin / BBA Clinical 6 (2016) 113–124

115

Melatoninwirkung



Die Verjüngende und Heilende Wirkung von Ferninfrarotlicht

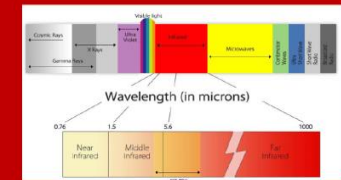


Fig. 1. Molecular and intracellular mechanisms of transcranial low level laser (light) or photobiomodulation. AP1, activator protein 1; ATP, adenosine triphosphate; Ca²⁺, calcium ions; cAMP, cyclic adenosine monophosphate; NF-kB, nuclear factor kappa B; NO, nitric oxide; ROS, reactive oxygen species; TRPV, transient receptor potential vanilloid.

Ferninfrarot-Strahlung (FIR)

VOM WELTRAUM
IN DIE
MEDIZINISCHE
PRAXIS



Lewis Madison
Terman (January
15, 1877 –
December 21,
1956)

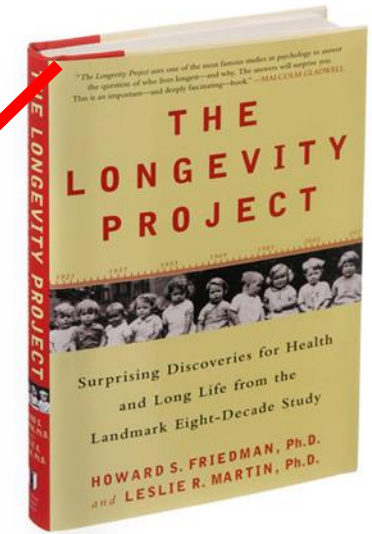
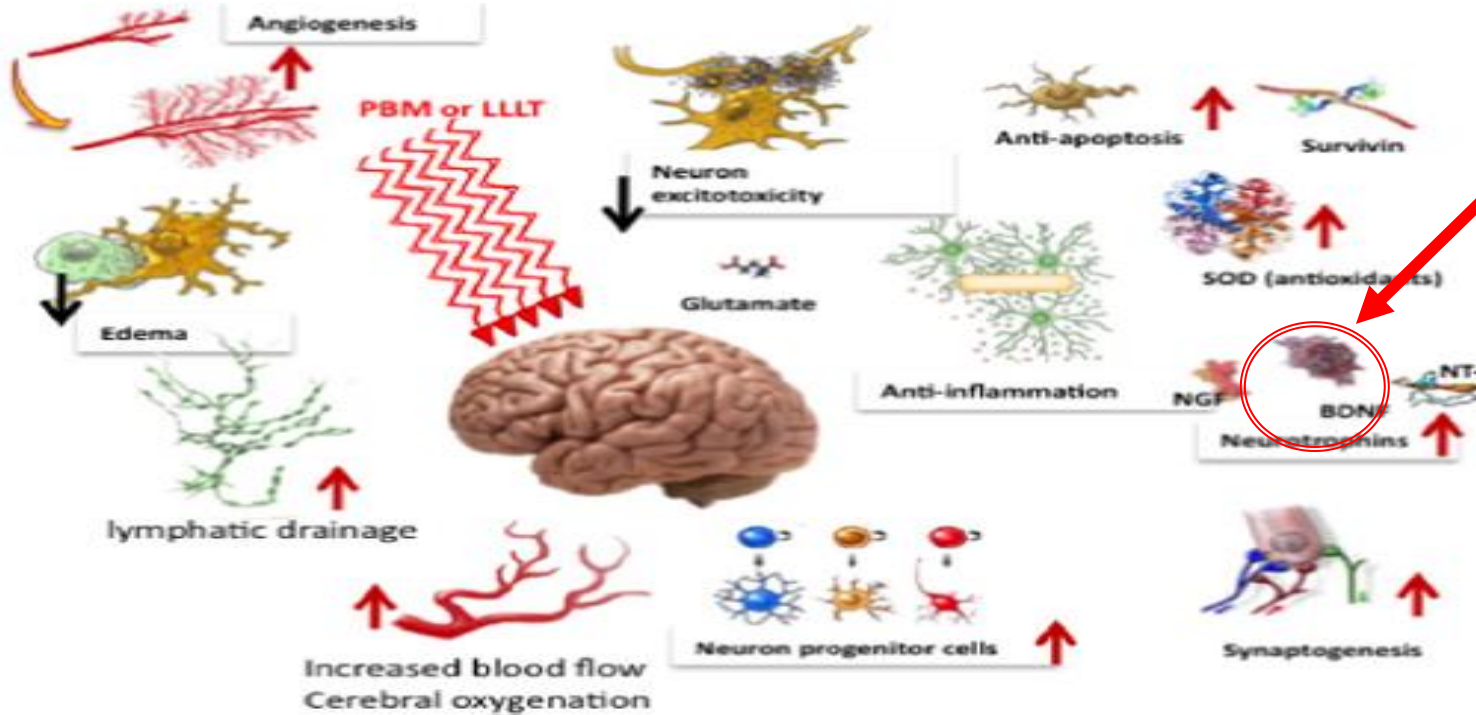


Fig. 2. Tissue specific processes that occur after PBM and benefit a range of brain disorders. BDNF, brain-derived neurotrophic factor; LLLT, low level light therapy; NGF, nerve growth factor; NT-3, neurotrophin 3; PBM, photobiomodulation; SOD, superoxide dismutase.

Table 2

List of brain disorders that may in principle be treated by tPBM.

Type of brain disorder			
Traumatic Acute stroke	Neurodegenerative Alzheimer's disease	Psychiatric Depression (major, bipolar, suicidal ideation)	Neurodevelopmental Autism (autism spectrum disorder)
Chronic stroke	Parkinson's disease	Psychosis (schizophrenia)	Attention deficit hyperactivity disorder (ADHD)
Acute TBI	Other dementias (vascular, Lewy bodies, frontotemporal)	Post traumatic stress disorder (PTSD)	
Chronic TBI	Chronic traumatic encephalopathy	Addiction	
Global ischemia	Amyotrophic lateral sclerosis (Lou Gehrig's disease)	Insomnia	
Coma (vegetative state)	Primary progressive aphasia		
Birth trauma (neonatal stroke)	Prion diseases (Creutzfeldt-Jakob)		
"Chemo-brain"	Huntington's disease		



Durch **Dr. Selichev** und **Dr. Kolganov** wurden wirksame Instrumente entwickelt, die helfen, die gefährliche Strahlung zu harmonisieren.

Die Kombination aus Orgon-Modul gekoppelt mit einem offenen Schwingkreis ermöglicht den Aufbau eines starken negentropischen – also den Körper aufbauenden – Feldes durch Erzeugung rechtsdrehender Torsionswellen.

Nach einer Nahtoderfahrung anlässlich eines Autounfalles hatte der Entwickler, **Dr. Kolganov**, auch Elektroingenieur, die rettende Idee,

Teslafunktionen mit offenem Schwingkreis und diamagnetischen antreibenden Ei-genschaften der Reichtechnik zu kombinieren.

1. Neben der den **Elektrosmog neutralisierenden** Raumkugel (die Kleine Kugel neutralisiert etwa 200 m², die Doppelte Kugel zwischen 500 und 700 m²) wurden Elemente
2. Die Kombination der **para- und diamagnetischen** Eigenschaften erzeugt stabilisierende und **antreibende Wirkung** sozusagen aller Körpersäfte sowie der Weißen (Immun- und Fresszellen) und roten Blutkörperchen.
3. Zudem wird der Riesenkristall DNA durch die starke Resonanzwirkung des Kristalles der Untereinheiten der Kugel, die entsprechend einer heiligen **Geometrischen Formel zusätzlich aufgebaut werden (ziehen ähnlich wie der Brain-Y Chip Energie aus dem Quanten Vakuum), in eine höhere Schwingung transformiert.**
4. Daher wirkt die Kolganov-Kugel nicht nur **Elektrosmog- und Currygitter- oder Hartmanngitter bzw. Wasseradern- neutralisierend** sondern auch indirekt auf das von Reich bereits in den 50 er Jahren beschriebene DOR, d.h. die linksherum drehenden pathologischen Photonenkreise /verkehrt drehende Torsionswellen werden nach **rechts lebenserhaltend und lebensschaffend gedreht**
5. Er wirkt also ähnlich wie der Quanten-Energie-Stein zusätzlich **negentropisch /gesundheitsfördernd) auf seine Umgebung und den Körper. Nach Erfahrungsberichten scheint er auch harmonisierend insgesamt auf Pflanzen, Tiere und Menschen zu wirken,**
6. zum Amusement gereicht die immer wieder geäußerte Feststellung, dass nach jahrelang Latenz dem Besitzer der Kolganov-Kugel seitens des Nachbarn wieder begrüßt wird.



die Kolganov-Kugel kann auch den Reichschen DOR- Effekt (verkehrte Information tragende Photonen oder linksdrehende Torsionsfelder, die entropisch vernichtend wirken) neutralisieren. So kommt es zu erheblichen Wachstumsreizen in **Tierzuchten** oder zu einer erstaunlicherweise **nicht** mehr nachweisbaren Adrenalin- und Cortison Ansammlung bei ursprünglich durch die Anfahrt gestressten **Schlachttieren** oder zum Nachlassen von Ratten oder Ungeziefer im Wirkungsbereich der Kolganov-Kugel. Restaurants und Hotels berichten von erheblichen **Zuwachsraten an freundlicher Kundschaft**, ebenso Theater und Kinos in Russland. Typisch ist auch das Mitführen von Kolganov-Kugeln zur Harmonisierung des **Straßenverkehrs im Auto** bzw. zur Reduktion von **Elektrosmog im Kfz** oder in Hotels, Bahnen oder Flugzeugen. Darüber hinaus wird die Kugel auch **in Krankenhäusern** in Russland zur schnelleren Wundheilung und Erholung eingesetzt.

II. Der biochemische Aspekt oder die gewaltig schädliche Rolle des Spike-Proteins

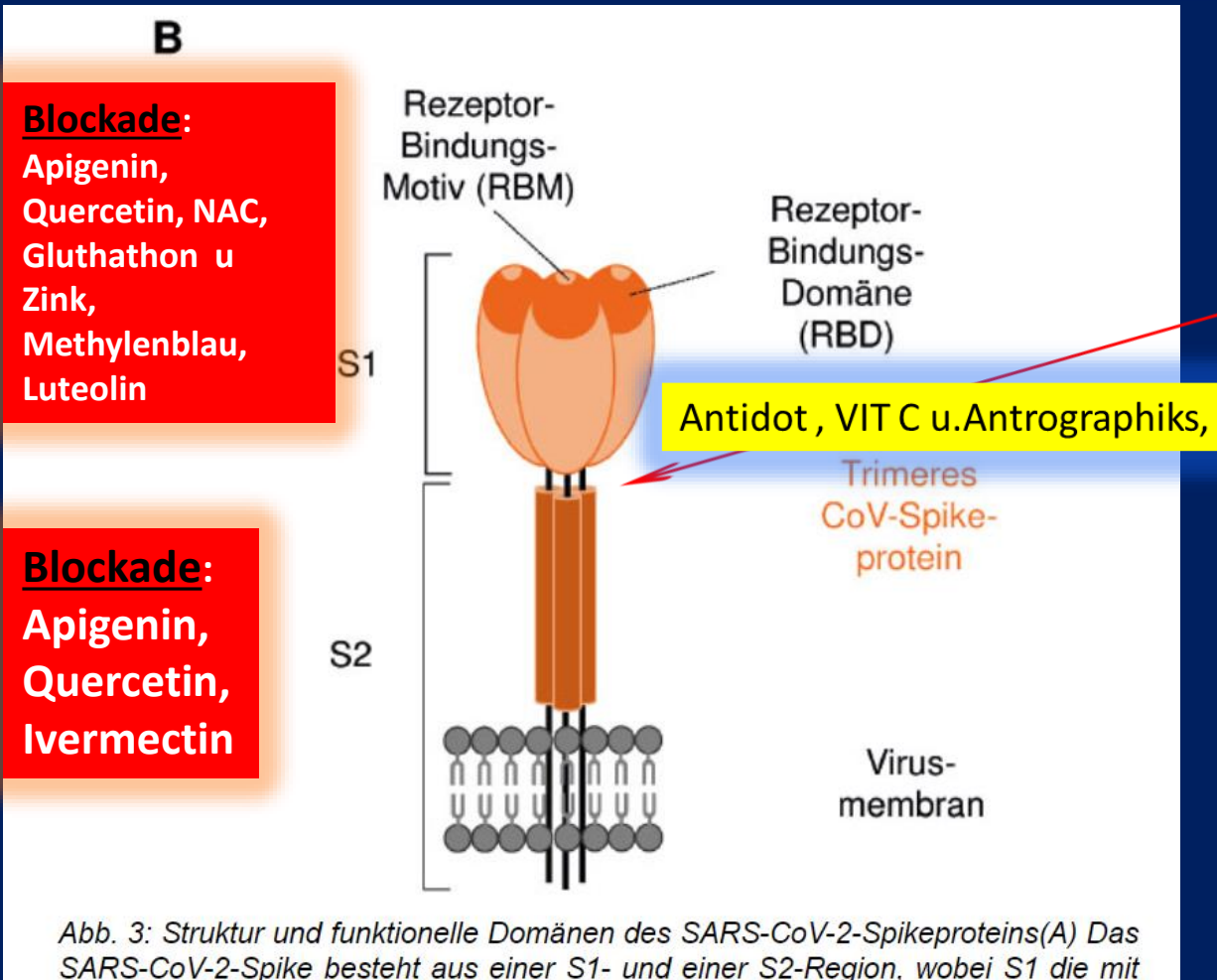


Abb. 3: Struktur und funktionelle Domänen des SARS-CoV-2-Spikeproteins(A) Das SARS-CoV-2-Spike besteht aus einer S1- und einer S2-Region, wobei S1 die mit

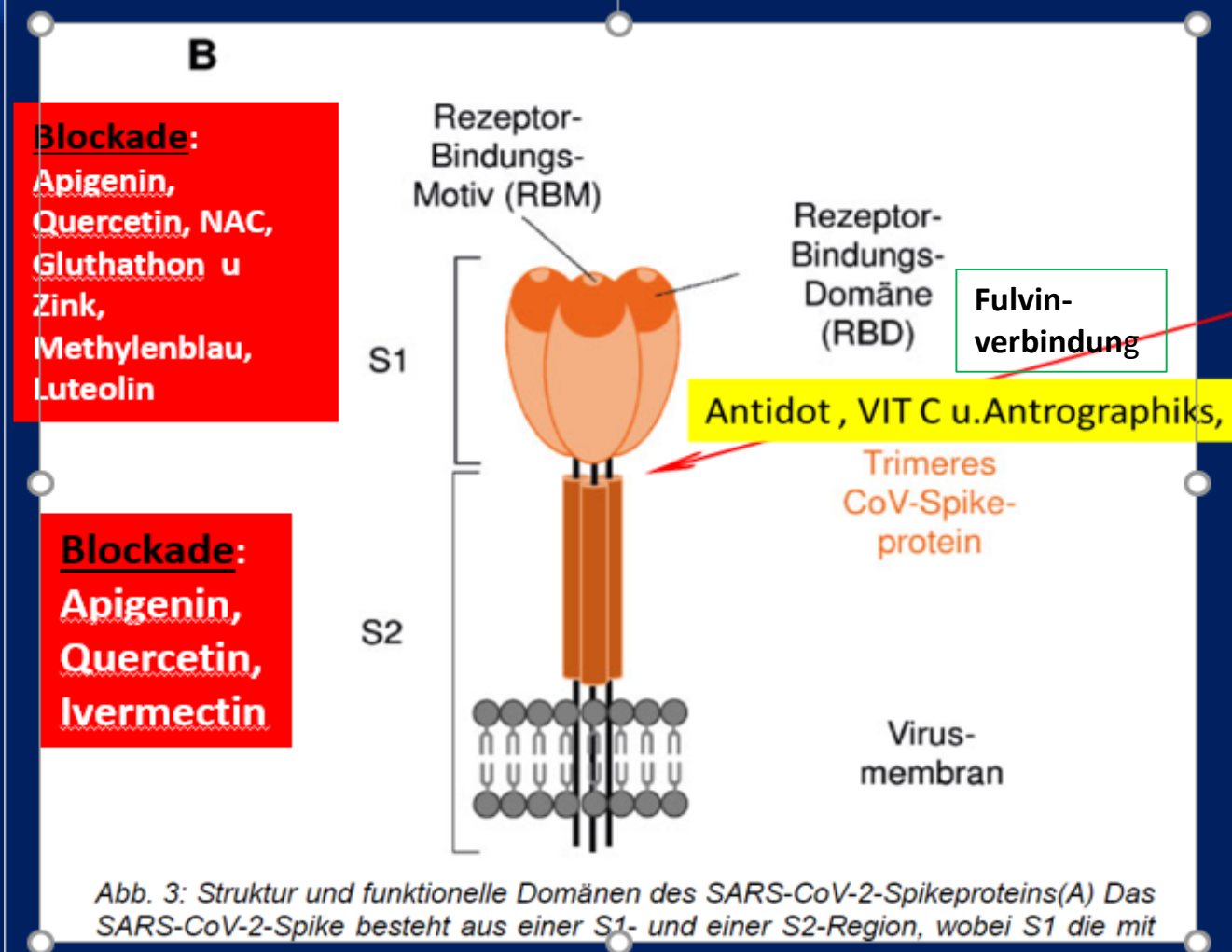
Das **S-Vorläuferprotein von SARS-CoV-2** wird in die Untereinheiten **S1** (685 Aminosäuren) und **S2** (588 Aminosäuren) gespalten. Das S-Protein enthält eine **Furin-Spaltstelle** an der Grenze zwischen den S1/S2-Untereinheiten. Es wurde gezeigt, dass das SARS-CoV-2-Virus die Transmembranprotease Serin 2 (**TMPRSS2**) für das S-Protein-Priming einsetzt, und es wird spekuliert, dass die Furin-vermittelte Spaltung an der S1/S2-Stelle in infizierten Zellen den anschließenden TMPRSS2-abhängigen Eintritt in die Zielzellen fördern könnte.

1. Die **S1-Untereinheit** besitzt die Rezeptor-Bindungsdomäne (**RBD**), die den Eintritt dieses Virus in empfängliche Zellen über die Peptidase-Domäne des **Wirts ACE2** mit hoher Affinität ($K_d = 15 \text{ nM}$) vermittelt.
2. **Das S2-Protein**, von dem berichtet wird, dass es gut konserviert ist und 99 % Identität mit dem Fledermaus-Coronavirus zeigt, ist für die **Membranfusion** verantwortlich+-. Die proteolytische Spaltung des S-Glykoproteins wird ebenfalls als wichtiger Faktor angesehen, der bestimmen kann, ob das Virus speziesübergreifend sein kann. Dieser Spaltungsschritt könnte ein Ziel für die Blockierung der zoonotischen Coronavirus-Übertragung darstellen.

Biochemische Aspekte zur Verhinderung der Anlagerung und Verbreitung der S-Proteine

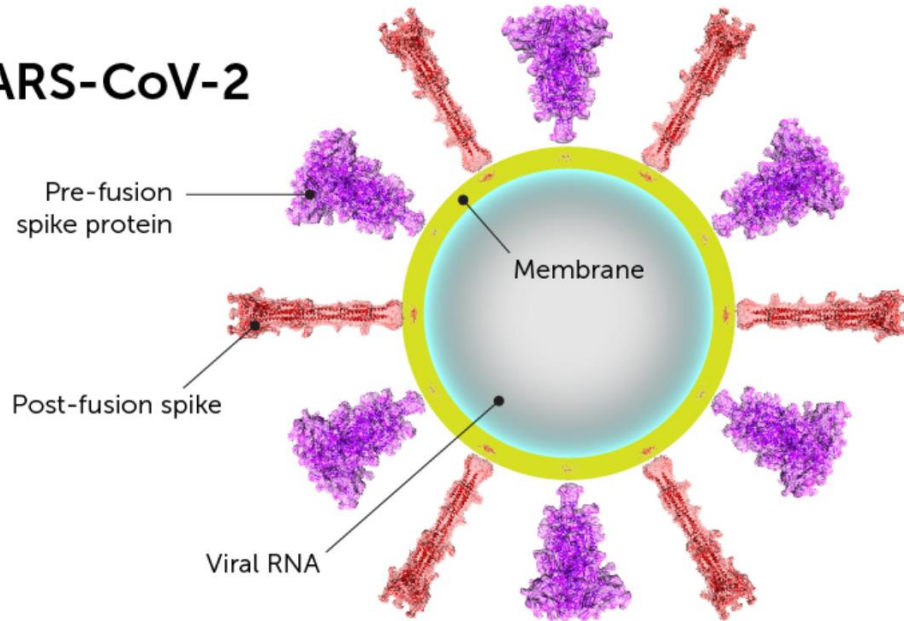
1. Besetzen des Spikeprotein-komplexes, z. B. durch NAC; Gluthathon; Apigenin und Luteolin, teilweise Quercetin, Methylenblau, Brunella vulgaris
2. Verhindern des Ankoppelns des Spikeproteins an die ACE – Rezeptoren in den Gefäßen der Lunge, Niere, Darm, Leber und im gesamten Körper, (Apigenin, Luteolin, Quercetin, Methylenblau, Nac, Gluthathion)
3. die Verhinderung des Ablösens der Spike-Proteinfläche vom Spikeprotein (Quercetin Apigenin)
4. Verhinderung der Transkription, dh. des Ablesens der S-Protein information in der Zelle (Quercetin Apigenin)
5. die Verhinderung der Translation des S-Proteins
6. Verhinderung der Vermehrung der S-Proteine auch über Exosomen (Vitamin c, Vit D, Arginin)
7. die Verhinderung des verheerenden Cytokinstorms via durch Apigenin, n-Acetylcystein, L- Gluthation, Arginin und via Melatonin

ad II. Biochemischer Aspekt, v.a. Abkoppeln des Spike-Proteins



Spike Protein 101: A Primer from Dr. Larry Palevsky

SARS-CoV-2



Und jetzt sehen wir, dass Frauen, die sich in der Nähe von anderen befinden, denen injiziert wurde, die gleiche Erfahrung machen, was den Verdacht aufkommen lassen muss, dass nicht nur diese Messenger-RNA den Körper dazu bringt, kontinuierlich Spike-Protein zu produzieren, sondern auch dieses Spike-Protein wird wahrscheinlich aus dem Atem, dem Speichel, der Haut und wer weiß, wo sonst im Körper es vergossen wird. Und dieses wird auf Nichtinjizierte uebertragen !

Und so liefert diese Messenger-RNA-Technologie, wie sie genannt wird, also die Impfung, die genetischen Anweisungen für die Herstellung des Spike-Proteins. Und das Problem ist, dass noch nie eine Studie durchgeführt wurde, um die Sicherheit zu testen. Es wurde jedoch auch keine Studie durchgeführt, um zu testen, ob wir die Produktion dieses Spike-Proteins einschalten und jemals ausschalten.

Es wurde gezeigt, dass Spike-Protein in der natürlich vorkommenden SARS-COV2-Virusinfektion **Gehirnentzündungen und neurologische Schäden, Herzinfarkte, Lungenerkrankungen, Lebererkrankungen, Nierenerkrankungen und die Interaktion mit dem männlichen und weiblichen Fortpflanzungssystem sowie die Beeinflussung des Blutes verursacht Bindung an Sauerstoff und Blutgerinnung.** Und so wissen wir, dass die natürliche Krankheit von SARS-COV2 aufgrund der Wirkung des Spike-Proteins Menschen mit all diesen Arten von systemischen Erkrankungen krank macht. Und jetzt nehmen wir die genetischen Anweisungen für dieses Spike-Protein und bitten unseren Körper, mehr aus diesem Spike-Protein herzustellen. Indem wir mehr aus diesem Spike-Protein herstellen, erzeugen wir im Wesentlichen die Symptome und die Krankheit von Covid 19, indem wir Menschen das Potenzial geben, Hirnschäden und neurologische Schäden, Lungenerkrankungen, Lebererkrankungen, zu erleiden. Nierenerkrankungen, Herzinfarkte, Schlaganfälle, Blutgerinnungsprobleme und Beeinträchtigungen des männlichen und weiblichen Fortpflanzungssystems.

Und es gibt keine Studie, die zeigt, ob wir, wenn der Körper mit der Herstellung dieses synthetischen Spike-Proteins beginnt, jemals die Produktion dieses Spike-Proteins abschalten oder nicht. Und so ist bekannt, dass Spike-Protein das menschliche Gewebe ziemlich schädigt.

11. IMPFSTOFF

CA2704283A1 • 2009-07-09 • GLAXOSMITHKLINE BIOLOG SA [BE]

Früheste Priorität : 2007-06-19 • Früheste Veröffentlichung : 2008-12-24

Die vorliegende Erfindung stellt einen Impfstoff oder eine immunogene Zusammensetzung bereit, umfassend: ein immunogenes SARS-Coronavirus S (Spike)-Polypeptid oder ein

PATENT SPIKE PROTEIN
2007

Produktinformationen "SARS-CoV-2 (2019-nCoV) Spike S1 Protein (RBD) mit His-Tag"

SARS-CoV-2 (2019-nCoV) Spike S1 Protein (**RBD = receptor binding domain**): Das SARS-CoV-Virusgenom codiert ein **Spike-Protein, ein Hüllprotein, ein Eintritts-Membranprotein und ein Nukleoprotein**. Von diesen Proteinen ist das **Spike (S) -Glykoprotein für die Bindung des Virus an die Wirtszelle und die Membranfusion zu Beginn des Infektionsprozesses essentiell und wird daher für den Viruseintritt und das Zellinnere unbedingt benötigt**.

Das Spike-Protein ist auch ein **Hauptimmunogen** und ein mögliches Ziel für Inhibitoren. Besonders hervorzuheben ist dabei die Aminosäuresequenz: **Arg-Gly-Asp (RGD)** in Position 403-405 des Spike-Proteins. Diese 3 Aminosäuren sind in allen bekannten SARS-Co-2-Sequenzen hinweg konserviert, nicht jedoch in anderen Coronaviren. Rekombinantes Protein der Rezeptorbindungsdomäne (RBD) von SARS-CoV-2 (COVID-19) Spike S1 aus dem Wuhan-Pneumonie-Virus mit C-terminalem His-Tag, flüssige Formulierung.

Ausserhalb von SARS-CoV-2 kommt die **RGD-Sequenz besonders in Proteinen der Extrazellulären Matrix (Bindegewebe) vor, beispielsweise in Fibronectin und Vitronectin**. Dadurch können Zellen mit Hilfe von bestimmten Zelloberflächen-Rezeptoren, den Integrinen, an die RGD-Sequenz binden. Neben den SARS-CoV-2-Viren benutzen auch schon länger bekannte Viren, wie **HMPV, HCV oder EBV das RGD, um in die Zelle einzudringen**.

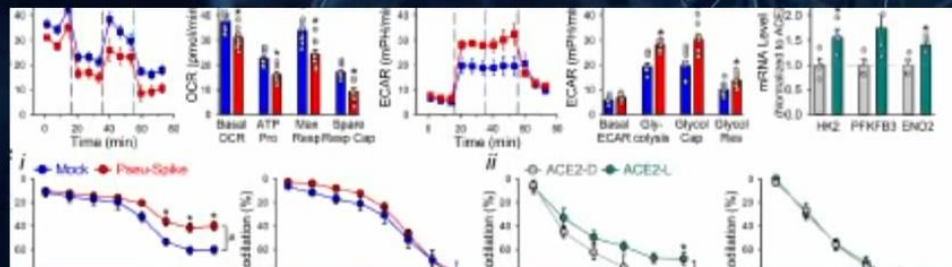
Das SARS-CoV-2-Spike (S)-Protein ist ein großes Typ I-Transmembranprotein, das aus zwei Untereinheiten, **S1 und S2, besteht**.

- Die S1-Untereinheit enthält eine **Rezeptorbindungsdomäne (RBD)**, die für die Bindung an das Angiotensin-konvertierende Enzym 2 (**ACE2**) des Wirtszellrezeptors verantwortlich ist.
- Die S2-Untereinheit vermittelt die **Fusion zwischen der Membran des Virus und der Wirtszelle**.
- Das **S1-RBD-Protein spielt eine Schlüsselrolle bei der Induktion von neutralisierenden Antikörper- und T-Zell-Reaktionen sowie dem Aufbau schützender Immunität**.

Es wurde berichtet, dass SARS-CoV-2 ACE2 als Rezeptor für den Eintritt in Zellen nutzt und die **Rezeptorbindungsdomäne (RBD) von SARS-CoV-2 eine starke Interaktion mit menschlichen ACE2-Molekülen** aufweist.

- Eine hohe ACE2-Expression wird in **Typ-II-Alveolarzellen**, in der **Speiseröhre**, in absorptiven **Enterozyten des Ileums und des Kolons** sowie in proximalen **Tubuluszellen der Niere** beobachtet
- Diese Organe gelten als besonders **gefährdet für eine SARS-CoV-2-Infektion**. In Tiermodellen wurde gezeigt, dass eine Behandlung mit Angiotensin-Converting-Enzym-Inhibitoren (ACEI) und Angiotensin-Rezeptorblockern (ARB) die **Expression von ACE2 in verschiedenen Organen erhöhen kann**. Es wurde argumentiert, dass, obwohl ACEI und ARBs in der Regel für Patienten mit kardiovaskulären und Nierenerkrankungen empfohlen werden, ihre Anwendung, insbesondere bei älteren Menschen, den Schweregrad der Symptome **einer SARS-CoV-2-Infektion erhöhen kann**

SARS-CoV-2 Spike Protein Impairs Endothelial Function via Downregulation of ACE 2



Ser-1176 indicated impaired eNOS activity. These changes of pACE2, ACE2, MDM2 expression, and AMPK activity in endothelium were recapitulated by in vitro experiments using pulmonary arterial ECs infected with Pseu-Spike which was rescued by treatment with N-acetyl-L-cysteine, a reactive oxygen species inhibitor (Figure [B], ii).

DIE STUDIE ZEIGT NICHT KAUSAL, DASS ES AM GLUTATHION LIEGT, DA MAN DEN GLUTATHIONSPIEGEL LEIDER NICHT GEMESSEN HAT. MEINE PERSÖNLICHE EINSCHÄTZUNG IST ABER KLAR: SUPEROXIDRADIKAL E UND WASSERSTOFFPEROXID SIND DAS HAUPTPROBLEM UND DIE GLUTATHIONPEROXIDASE SPIELT DORT

DIE ENTSCHEIDENDE ROLLE!

DAS Spike Protein von SARS-COV- 2

<https://www.ahajournals.org/doi/full/10.1161/CIRCRESAHA.121.318902>

SARS-CoV-2 Spike Protein Impairs Endothelial Function via Downregulation of ACE 2

Yuyang Lei, Jiao Zhang, Cara R. Schiavon, Ming He, Lili Chen, Hui Shen, Yichi Zhang, Qian Yin, Yoshitake Cho, Leonardo Andrade, Gerald S. Shadel, Mark Hepokoski, Ting Lei, Hongliang Wang, ... See all authors

Originally published 31 Mar 2021 | <https://doi.org/10.1161/CIRCRESAHA.121.318902> | Circulation Research. 2021;128:1323-1326

is related to

Mitochondriale Funktion.

Konfokale Bilder von ECs, die mit S1-Protein behandelt wurden, zeigten eine erhöhte **mitochondriale Fragmentierung**, was auf eine veränderte mitochondriale Dynamik hinweist

Es zeigt, dass das S-Protein allein das Endothel schädigen kann, was sich in einer beeinträchtigten **mitochondrialen Funktion und eNOS-Aktivität**, aber einer erhöhten **Glykolyse** manifestiert.

Es scheint, dass das S-Protein in Ecs (Endothelzellen) den **Redox-Stress** erhöht, was zu einer **Deaktivierung von AMPK**, einer Hochregulierung von **MDM2** (damit wird vermindert P53 sezerniert, also **vermehrte Tumorbildung!!**) und letztlich zu einer **Destabilisierung von ACE2** führen kann.

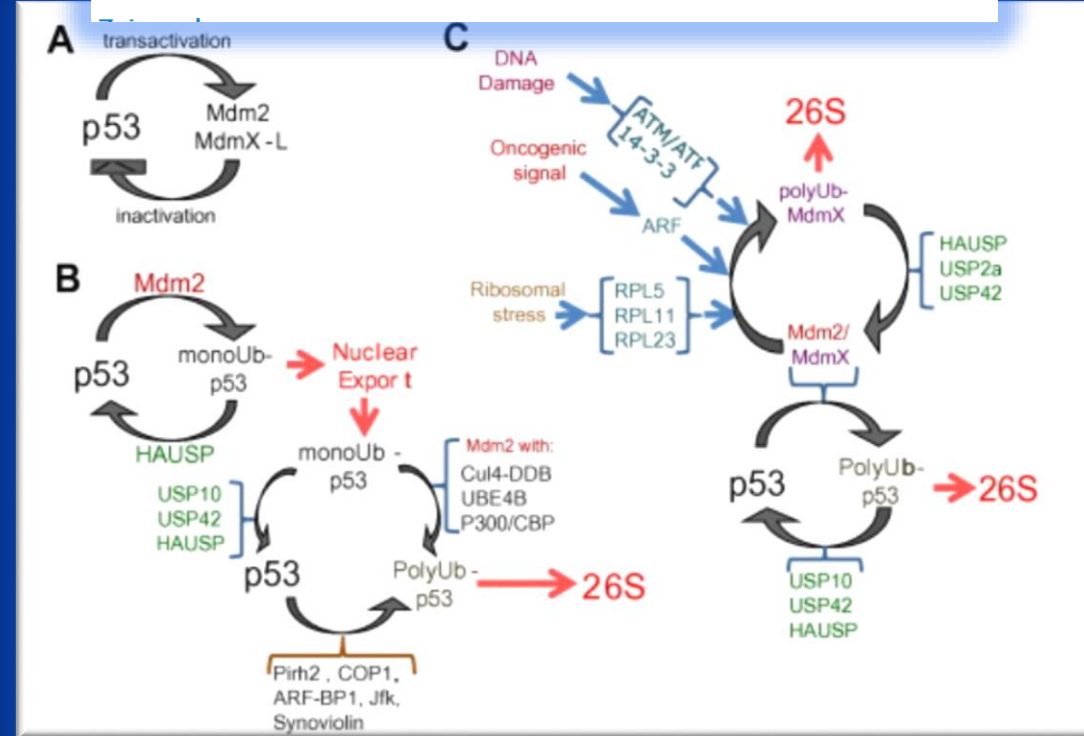
Obwohl diese Ergebnisse in einer zukünftigen Studie mit dem SARS-CoV-2-Virus bestätigt werden müssen, scheint es paradox, dass eine ACE2-Reduktion durch das S-Protein die Virusinfektiosität verringern und dadurch das Endothel schützen würde. Allerdings könnte ein dysreguliertes Renin-Angiotensin-System aufgrund der ACE2-Reduktion die endotheliale Dysfunktion verschlimmern und zu einer Endotheliitis führen. Insgesamt deuten unsere Ergebnisse darauf hin, dass die durch das S-Protein hervorgerufene EC-Schädigung die **verringerte Virusinfektiosität überlagert**.

Rezension

Mdm2 und MdmX kooperieren bei der Regulierung von p53

Herausgegeben von Wilhelm Just

Xinjiang Wang^a, Xuejun Jiang^b



Mdm2 und MdmX steuern die **p53**-Stabilität auf mehreren Ebenen. (A) p53 und Mdm2 bilden eine gut etablierte autoregulatorische Rückkopplungsschleife, in der p53 die **Mdm2- Gentranskription transaktiviert** und der anschließende Anstieg des Mdm2-Proteins p53 inaktiviert. Kürzlich wurde gezeigt, dass die MdmX-L-Isoform an einer ähnlichen Schleife teilnimmt.

Mdm2 p53 hauptsächlich durch **Proteinabbau** reguliert, während **MdmX p53** hauptsächlich durch Modulation seiner **Transkriptionsaktivität** reguliert

mitochondriale Funktion.

Konfokale Bilder von ECs, die mit S1-Protein behandelt wurden, zeigten eine erhöhte **mitochondriale Fragmentierung**, was auf eine veränderte mitochondriale Dynamik hinweist

Es zeigt, dass das S-Protein allein das Endothel schädigen kann, was sich in einer beeinträchtigten **mitochondrialen Funktion und eNOS-Aktivität**, aber einer erhöhten **Glykolyse** manifestiert.

Es scheint, dass das S-Protein in Ecs (Endothelzellen) den **Redox-Stress** erhöht, was zu einer **Deaktivierung von AMPK**, einer Hochregulierung von **MDM2** (damit wird vermindert P53 sezerniert, also vermehrte Tumorbildung!!) und letztlich zu einer **Destabilisierung von ACE2** führen kann.

Obwohl diese Ergebnisse in einer zukünftigen Studie mit dem SARS-CoV-2-Virus bestätigt werden müssen, scheint es paradox, dass eine ACE2-Reduktion durch das S-Protein die Virusinfektiosität verringern und dadurch das Endothel schützen würde. Allerdings könnte ein dysreguliertes Renin-Angiotensin-System aufgrund der ACE2-Reduktion die endotheliale Dysfunktion verschlimmern und zu einer Endothelitis führen. Insgesamt deuten unsere Ergebnisse darauf hin, dass die durch das S-Protein hervorgerufene EC-Schädigung die **verringerte Virusinfektiosität überlagert**.

Loesungen gegen S-Protein

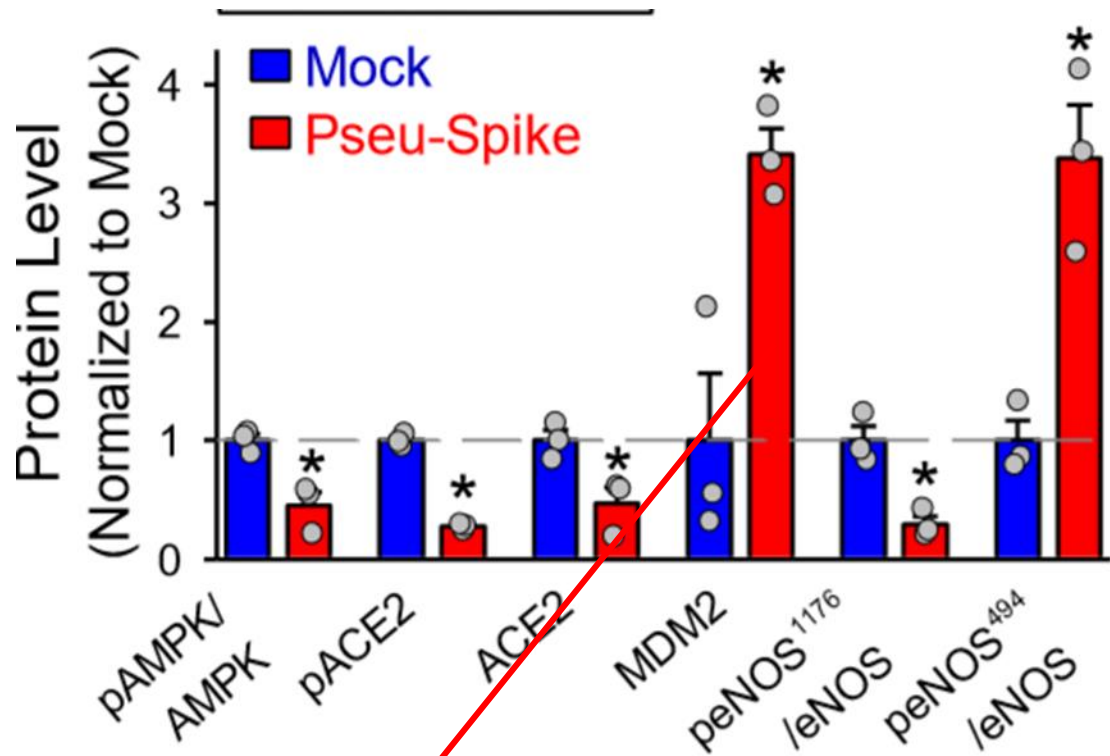
Therapie:

- **NAC und Gluthathion mit Zink** (Blockade der Andockung des S-Proteins an den ACE-Rezeptor)
- **Melatonin u Vit C** (Blockieren das NLRP3-Inflammasoms, das den tödlichen Zytokinsturm verursachen kann)

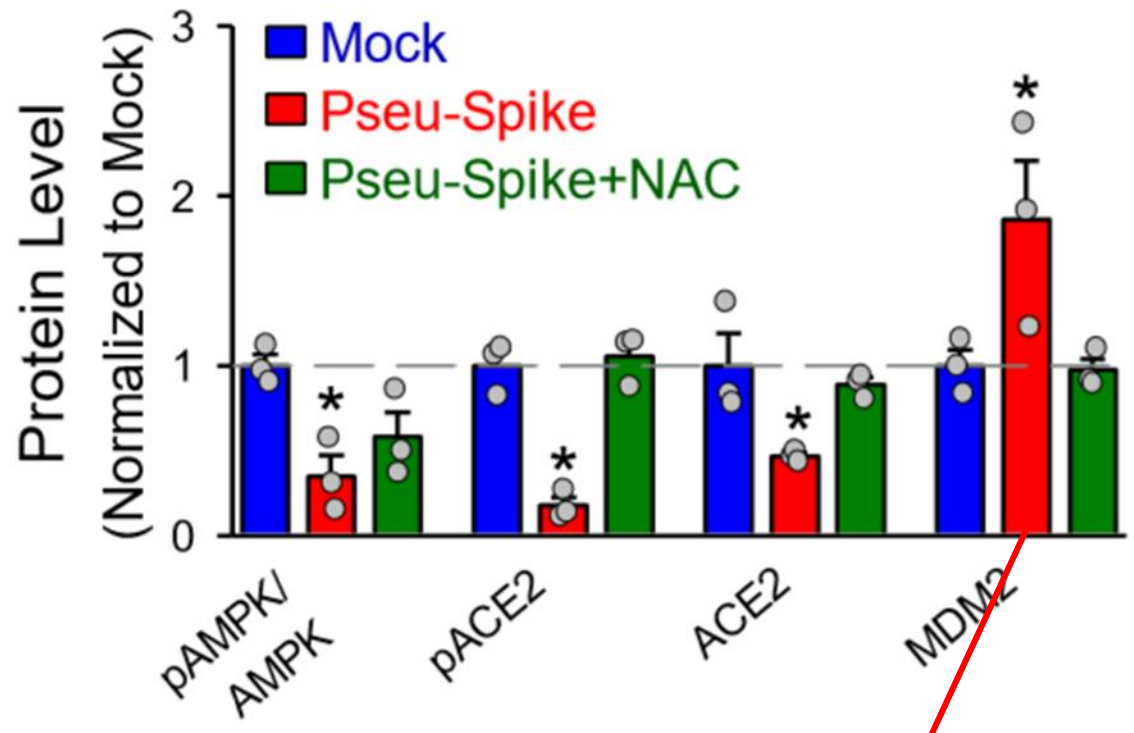
Melatonin was shown to inhibit NLRP-3 inflammasomes in mice with myocardial septic conditions, transforming severe myocardial inflammation into milder symptoms, preventing cardiac failure, and significantly enhanced survival rates of septic mice (Melatonin administration to wild-type mice and nontreated NLRP3 mutant mice share similar inhibition of the inflammatory response during sepsis – Rahim – 2017 – Journal of Pineal Research – Wiley Online Library <https://onlinelibrary.wiley.com/doi/abs/10.1111/jpi.12410>)

Melatonin attenuates sepsis-induced cardiac dysfunction via a PI3K/Akt-dependent mechanism | SpringerLink <https://link.springer.com/article/10.1007%2Fs00395-015-0526-1>)

- **NO aus Arginin, erhöht durch TIAMAT /ERBSENPROTEIN 30mg –sachets** liefern die Wirkung von **720 mg Arginine**, dadurch werden die Vaporine –Kanaele, die durch Elektrosmog mit Ca-geflutet werden und das extrem neurologisch toxische **Peroxyinitrit** liefern, das wiederum die Cytokinkaskade ueber Inflammasome aktiviert, (Tod durch ARDS) gehemmt



Senkung des Energielevels (AMPK) der Zellen durch Gabe von S-Protein
 zudem wird **MDM2 u damit verringert** P53 sezerniert, also vermehrte Tumorbildung!!) p53 wird bei Zellstress phosphoryliert und damit weniger verbraucht u steigt an, Tumorbildung damit erhöht!



Hier Zugabe von **NAC** zu Spikeproteinen: NAC ist offenbar in der Lage AMPK zu normalisieren und die Gefaesschaeden zu beseitigen! ACE2 ist durch NAC wieder normalisiert!! MDM2 ist ebenfalls wieder reduziert. Damit erhoeht sich der P53, Tumorschutz steigt an!
 NAC hebt den Gluthathionspiegel, der 80% des Koerpers entgiftet u die wichtigstwn Enzyme u Vitamine reduziert

(B, i). Humane pulmonal-arterielle EC (PAECs) wurden mit Pseu-Spike oder Mock-Virus für 24 h mit oder ohne N-Acetyl-L-Cystein (NAC; 5 mmol/L) Vorbehandlung für 2 h infiziert. Die Proteinextrakte wurden mittels Western Blot mit Antikörpern gegen Proteine wie angegeben analysiert (n=4; B, ii).

Review

Important Flavonoids and Their Role as a Therapeutic Agent

Asad Ullah ¹, Sidra Munir ¹, Syed Lal Badshah ^{1,*}, Noreen Khan ¹, Lubna Ghani ², Benjamin Gabriel Poulson ³, Abdul-Hamid Emwas ⁴ and Mariusz Jaremko ^{3,*}

Flavonoide wirken als exogene Antioxidantien und werden über vier Mechanismen direkt von Radikalen oxidiert, um weniger reaktive Spezies zu bilden, nämlich (1) die Hemmung der Stickoxid-Synthase-Aktivität, (2) die Hemmung der Xanthin-Oxidase-Aktivität, (3) die Modulation von Kanalwegen, oder durch (4) Wechselwirkung mit anderen Enzymsystemen [77 , 78].

Hypothetisches Modell, das die mögliche Wirkung von Flavonoiden aus *J. platyphylla* auf die Spiegel einiger Entzündungsmediatoren zeigt. **Lipopolysaccharid (LPS)** bindet an den **TLR4-Rezeptor** und löst die Bildung **reaktiver Sauerstoffspezies (ROS)** aus Nicotinamid-Adenin-Dinukleotid-Phosphat (**NADPH-Oxidase**) und Mitochondrien aus. ROS-vermittelte Redoxreaktionen aktivieren die nukleäre Translokation des nuklearen Faktors κ -Leichtketten-Enhancer von aktivierten B-Zellen (**NF- κ B**). **Die NF- κ B-Aktivierung** vermittelt induzierbare Stickoxid-Synthase (**iNOS**) und **Cyclooxygenase (COX) Expression**. Sowohl COX-1- als auch COX-2-Aktivitäten vermitteln die Produktion von **Prostaglandinen**. Darüber hinaus *J. platyphylla* Gesamtextrakte (Mischung aus **Flavonoiden und lipophilen Verbindungen**) hemmen **sowohl COX-1- als auch COX-2-Aktivitäten**. Der schwarze Pfeil nach oben zeigt einen Anstieg der Entzündungsmediatoren an, wenn Makrophagenzellen mit LPS stimuliert werden. Der nach unten gerichtete blaue Pfeil zeigt die unterdrückende Wirkung von Flavonoiden auf ROS-, NO- und Prostaglandinspiegel. Das rote T-förmige Symbol zeigt eine Hemmung der Proteinaktivität an. Adaptiert von Ambriz-Perez, Bang, Nair, Angulo-Escalante, Cisneros-Zevallos und Heredia [76].

Flavonoids as Cytokine Modulators: A Possible Therapy for Inflammation-Related Diseases

Nayely Leyva-López ¹, Erick P Gutierrez-Grijalva ², Dulce L Ambriz-Perez ³, J Basilio Heredia ⁴

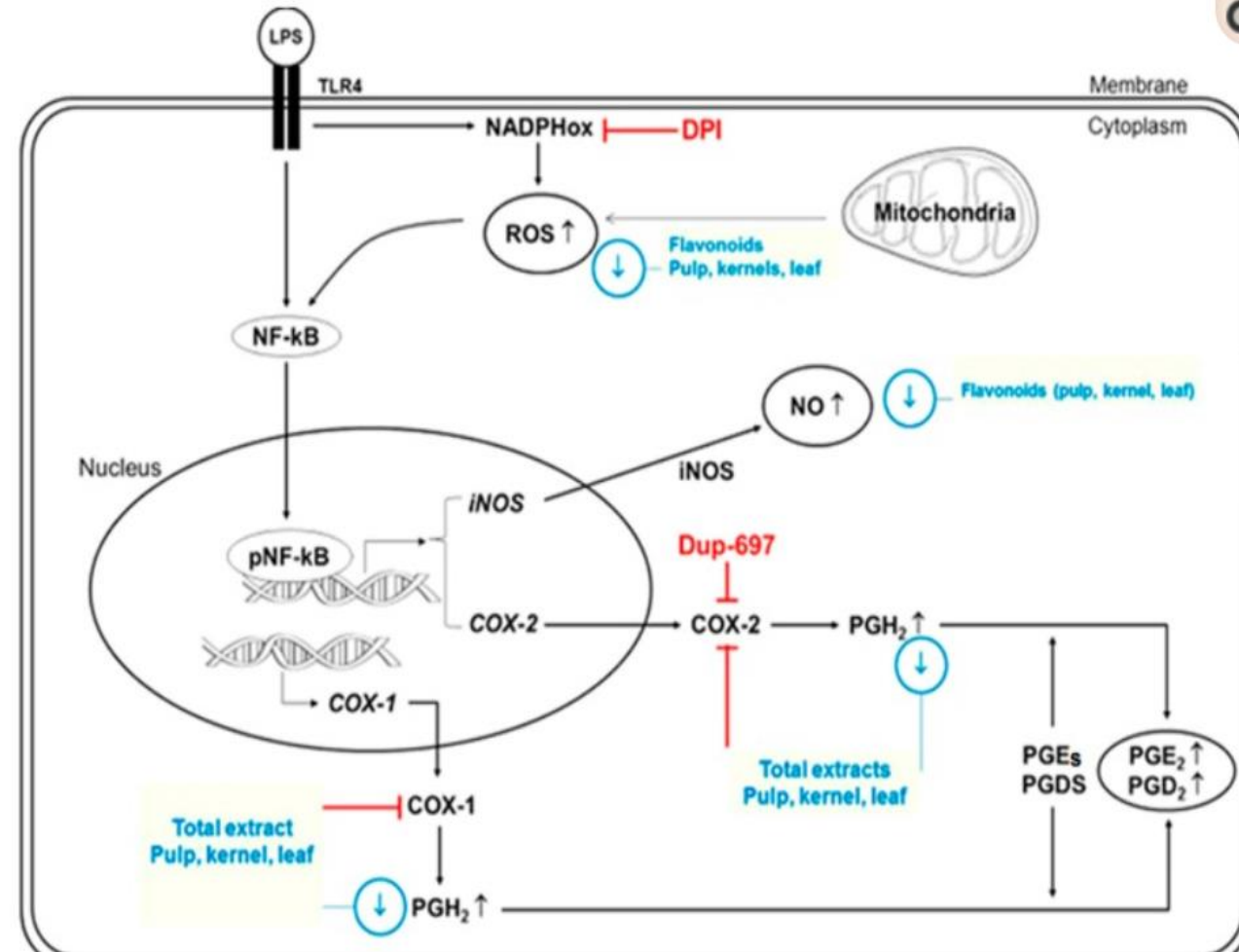


Tabelle 3 . Heilpflanzenmetaboliten mit bekanntem Wirkmechanismus gegen eine SARS-CoV-Infektion.

S. Nr.	Metaboliten	Wirkungsweise	Verweise
1.	Phenolische Verbindungen	Hemmt die Spaltungsaktivität des SARS-3CLpro-Enzyms	Lin et al. (2005)
2.	2-Undecanon, Decanoylacetaldehyd, Myrcen	Hemmt die virale SARS-3CLpro-Aktivität	Fun et al. (2011)
3.	<u>Quercetin</u> , Isoquercitrin, Hyperin, Rutin	Blockieren der viralen RNA-abhängigen RNA-Polymerase-Aktivität (RdRp)	(Lau et al., 2008a)
4.	Myricetin und Scutellarein	Inhibieren von nsP13 durch Beeinflussung der ATPase-Aktivität	Yu et al. (2012)
5.	Glycyrrhizin	Hemmt die Adsorption und Penetration von Viren	Chen et al. (2006b)
6.	Herbacetin, Quercetin , Isobavaschalcon, 3-β-D-Glucosid und Helichrysetin	Hemmt die Spaltungsaktivität des MERS-3CLpro-Enzyms	Jo et al. (2019)
7.	Tetrandrin, Fangchinolin und Cepharanthin	Hemmt die Expression von HCoV-OC43-Spike und Nukleokapsid-Protein.	Zou et al. (2019)
8.	Herbacetin, Rhoifolin, Pectolinarin, Quercetin , Epigallocatechingallat und Gallocatechingallat	Hemmen der SARS-3CLpro-Aktivität	Nguyen et al. (2012)
9.	Quercetin	Hemmen Sie den zellulären Eintritt von SARS-CoV	Chen et al. (2008)
10.	Kaempferol	3a-Ionenkanal des Coronavirus hemmen	Schwarz et al. (2014)
11.	Saikosaponine	Verhindern Sie das frühe Stadium der HCoV-22E9-Infektion, einschließlich viraler Anheftung und Penetration	Chen et al. (2006b)
12.	Luteolin	Bindet eifrig an das Oberflächen-Spike-Protein von SARS-CoV	(Yi et al., 2004a)

Glycyrrhizin

Hemmt die Adsorption und Penetration von Viren

Plant-derived compounds

potential drug candidates for COVID-19

LUTEOLIN
APIGENIN

Bindet eifrig an das Oberflächen-Spike-Protein von SARS-CoV

QUERCETIN,
APIGENIN

Hemmen Sie den zellulären Eintritt von SARS-CoV

Vit C Blockiert Furingene

APIGENIN;
Methylenblau;NAC hemmen ACE-Rezeptorbindung

QUERCETIN,
APIGENIN

Phytochemical

Inhibition of RNA replication

Cytoplasm
Quercetin, Isoquercitrin,
Hyperin, Rutin
APIGENIN

Blockieren der viralen RNA-abhängigen RNA-Polymerase-Aktivität (RdRp)

Genomic replication

Subgenomic (nested) transcription

Nucleocapsid (N)

Spike (S)

Membrane (M)

Envelope (E)

RdRp SARS-CoV-2
PDB ID: 6M71

Phytochemical binding pocket

Inhibition of Virus release

Formation of mature virion

S, E, and M proteins combine with nucleocapsid

Viral genome

N in cytoplasm

Translation of viral structural proteins

S, M, and E at ER membrane

Exocytosis

Inflammasome als Vorstufe des Cytokinstorms werden durch Malatonin und Arginin blockiert

Melatonin, Vit.C, Arginin blockieren die Vaporine

VAPORINKANÄLE zum Ausschleusen der Viren werden durch Ca- Einstrom nach Elektrosmog 1000 fach verstärkt! Problem alles vernichtende Peroxynitritbildung, Gegenmassnahmen va Gabe von Arginin

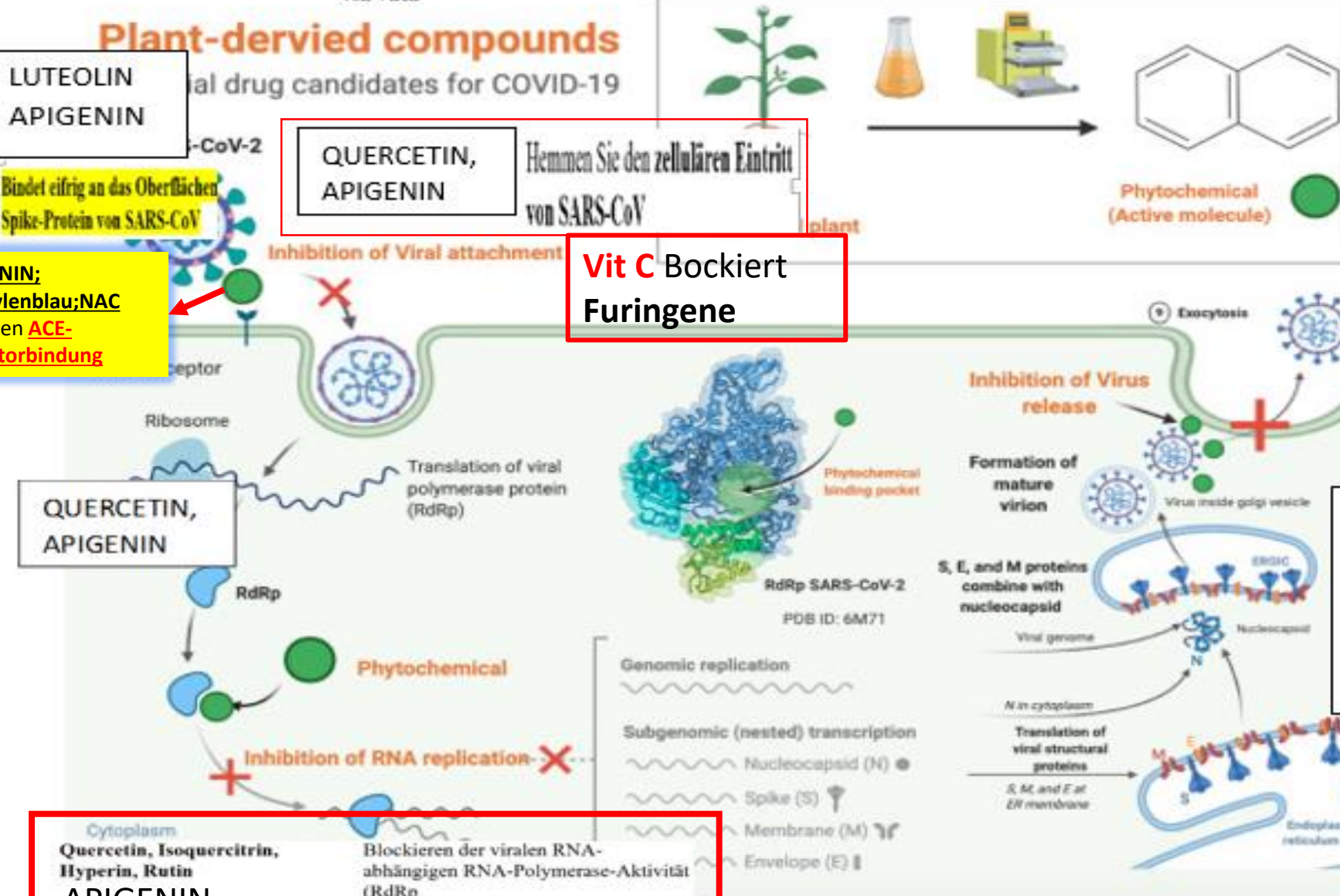
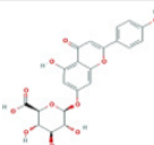
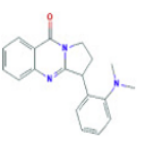
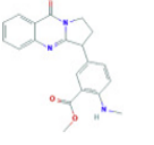


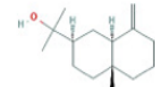
Tabelle 2 . Liste der Top-Hit-Phytochemikalien, ausgewählt durch virtuelles Screening.

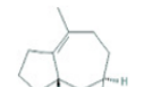
S. Nein	Name des sekundären Pflanzenstoffes	Chemische Struktur	PubChem-ID	Bindungsenergie an Zielproteine (kcal mol ⁻¹)			
				M ^{pro}	ACE-2	S-Protein	RdRp
Name des Krauts: <u>Eucalyptus globulus</u>							
1	Apigenin-7-O-glucuronid		5319484	-9,1	-8,8	-7,2	-8,8
2	Ellagsäure		5281855	-8,4	-8,4	-6,2	-7,8
Name des Krauts: <u>Justicia adhatoda</u>							
3	<u>Vasicolinon</u>		627712	-8,0	-7,5	-6,4	-7,6
4	<u>Anisotin</u>		442884	-7,4	-7,8	-6,4	-8,2

S. Nein	Name des sekundären Pflanzenstoffes	Chemische Struktur	PubChem-ID	Bindungsenergie an Zielproteine (kcal mol ⁻¹)			
				M ^{pro}	ACE-2	S-Protein	RdRp

Name des Krauts: Eucalyptus globulus

Name des Krauts: Vitex negundo

5	<u>Eudesmol</u>		91457	-8,0	-7,1	-6,0	-7,2
---	-----------------	--	-------	------	------	------	------

6	<u>Viridifloren</u>		10910653	-7,4	-7,3	-5,8	-6,6
---	---------------------	--	----------	------	------	------	------

Wie erwartet führte **APIGENIN** die Liste der bioaktiven Treffer mit einer Bindungsenergie von $-8.7 \text{ kcal mol}^{-1}$ in Wechselwirkung mit RdRp (Tabelle 2) an, die sogar **höher ist als die Bindungsenergie ($-7.6 \text{ kcal mol}^{-1}$) der bekannten RdRP-Inhibitor – Remdesivir (Ergänzende Tabelle 1).**

Promising phytochemicals of traditional Indian herbal steam inhalation therapy to combat COVID-19 – An in silico study

Shanmugaraj Gowrishankar^{a,1,*}, Sankar Muthumanickam^{b,1}, Arumugam Kamaladevi^{c,1}, Chandrasekar Karthika^a, Ravi Jothi^a, Pandi Boomi^b, Dharuman Maniazhagu^d, Shunmugiah Karutha Pandian^a

^a Department of Biotechnology, Science Campus, Alagappa University, Karaikal, Tamil Nadu, India

^b Department of Bioinformatics, Alagappa University, Karaikal, Tamil Nadu, India

^c Department of Animal Science, School of Life Sciences, Bharathidasan University, Tiruchengode, Tamil Nadu, India

^d Department of Physical Education & Health Sciences, Alagappa University, Karaikal, India



Flavonoide, nämlich **Quercetin, Apigenin und Luteolin**, können die Zytokinexpression und -sekretion reduzieren. I

Biochemische Aspekte zur Verhinderung der Anlagerung und Verbreitung der S- Proteine

1. **Besetzen des Spikeprotein-komplexes**, z. B. **durch NAC; Gluthathon; Apigenin und Luteolin**, teilweise **Quercetin, Methylenblau, Brunella vulgaris**
2. Verhindern des **Ankoppelns des Spikeproteins an die ACE – Rezeptoren** va der Gefäße der Lunge, Niere, Darm Leber und im gesamten Körper, (**Apigenin, Luteolin, Quercetin, Methylenblau, Nac, Gluthathion, Folsäure**)
3. die **Verhinderung des Ablösens der Spike-Proteinfläche vom Spikeprotein (Quercetin Apigenin)**
4. **Verhinderung der Transkription, dh. des Ablesens der S- Protein information in der Zelle (Quercetin Apigenin)**
5. **die Verhinderung der Translation des S-Proteins**
6. **Verhinderung der Vermehrung der S-Proteine auch über Exosomen (Vitamin c, Vit D, Arginin)**
7. die **Verhinderung des verheerenden Cytokinstorms** va durch **Apigenin, n-Acetylcystein, L- Gluthation, Arginin und va Melatonin**, Zeolithe

Promising phytochemicals of traditional Indian herbal steam inhalation therapy to combat COVID-19 – An in silico study

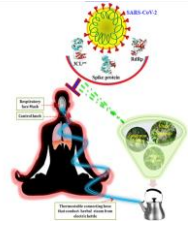
Shanmugaraj Gowrishankar^{a,1,*}, Sankar Muthumanickam^{b,1}, Arumugam Kamaladevi^{c,1}, Chandrasekar Karthika^a, Ravi Jothi^a, Pandi Boomi^b, Dharuman Maniazhagu^d, Shunmugiah Karutha Pandian^a

^a Department of Biotechnology, Science Campus, Alagappa University, Karaikudi, Tamil Nadu, India

^b Department of Bioinformatics, Alagappa University, Karaikudi, Tamil Nadu, India

^c Department of Animal Science, School of Life Sciences, Bharathidasan University, Tiruchirappalli, Tamil Nadu, India

^d Department of Physical Education & Health Sciences, Alagappa University, Karaikudi, India



Bestes Produkt, v.a. über Inhalation ist
APIGENIN

Insgesamt **57 sekundäre Pflanzenstoffe** wurden virtuell gegen **vier strukturelle Proteinziele von SARS-CoV-2** untersucht, nämlich. **3CL pro, ACE-2, Spike-Glykoprotein und RdRp.**

Vorsehungsweise zwei Bioaktivstoffe aus jeder der drei Pflanzen, **dh Apigenin-o-7-glucuronid** und **Ellagsäure** aus Eucalyptus globulus; **Eudesmol** und **Viridifloren** aus Vitex negundo und; **Vasicolinon** und **Anisotin** aus Justicia adhatoda wurden basierend auf Wechselwirkungsenergien, konventionellen

- **Wasserstoffbrückenbindungszahlen** und anderen
- **nicht-kovalenten Wechselwirkungen** als die am besten getroffenen Leitmoleküle identifiziert.

Im Vergleich mit den bekannten **SARS-CoV-2-Protease-Inhibitoren – Lopinavir** und **RdRp-Inhibitor – Remdesivir** erwies sich **Apigenin-o-7-glucuronid** als ein **phänomenaler Inhibitor sowohl der Protease als auch der Polymerase**, da es stark mit ihren aktiven Zentren interagiert und eine bemerkenswert hohe Bindungsaffinität.

1. Ebenso spielt **RdRp** auch eine **Kurz** nach der Erkennung durch den **ACE-2-Rezeptor** benötigt das SARS-CoV-2 die **Hauptprotease (M pro ; auch bekannt als 3-Chymotrypsin-ähnliche Protease (3CL pro))** für die **proteolytische** Reifung des Virus. Das Targeting von 3CL pro könnte die Spaltung des viralen Polyproteins hemmen, was letztendlich die virale Replikation in Wirtszellen verhindert (Zhang et al., 2020).
2. wesentliche Rolle bei der viralen **Transkription und Reifung** im Wirt ([Lung et al., 2020](#)). Daher könnten die traditionellen Kräuter mit Wirksamkeit zur Hemmung von Protease (3CLpro) und **Polymerase (RdRp)** die Virusreplikation plausibel verhindern und eine weitere Ausbreitung sowie eine Infektion in den Atemwegen stoppen.

Daher wurden in der aktuellen Untersuchung diese Phytoliganden auf ihre Hemmfähigkeit untersucht gegen:

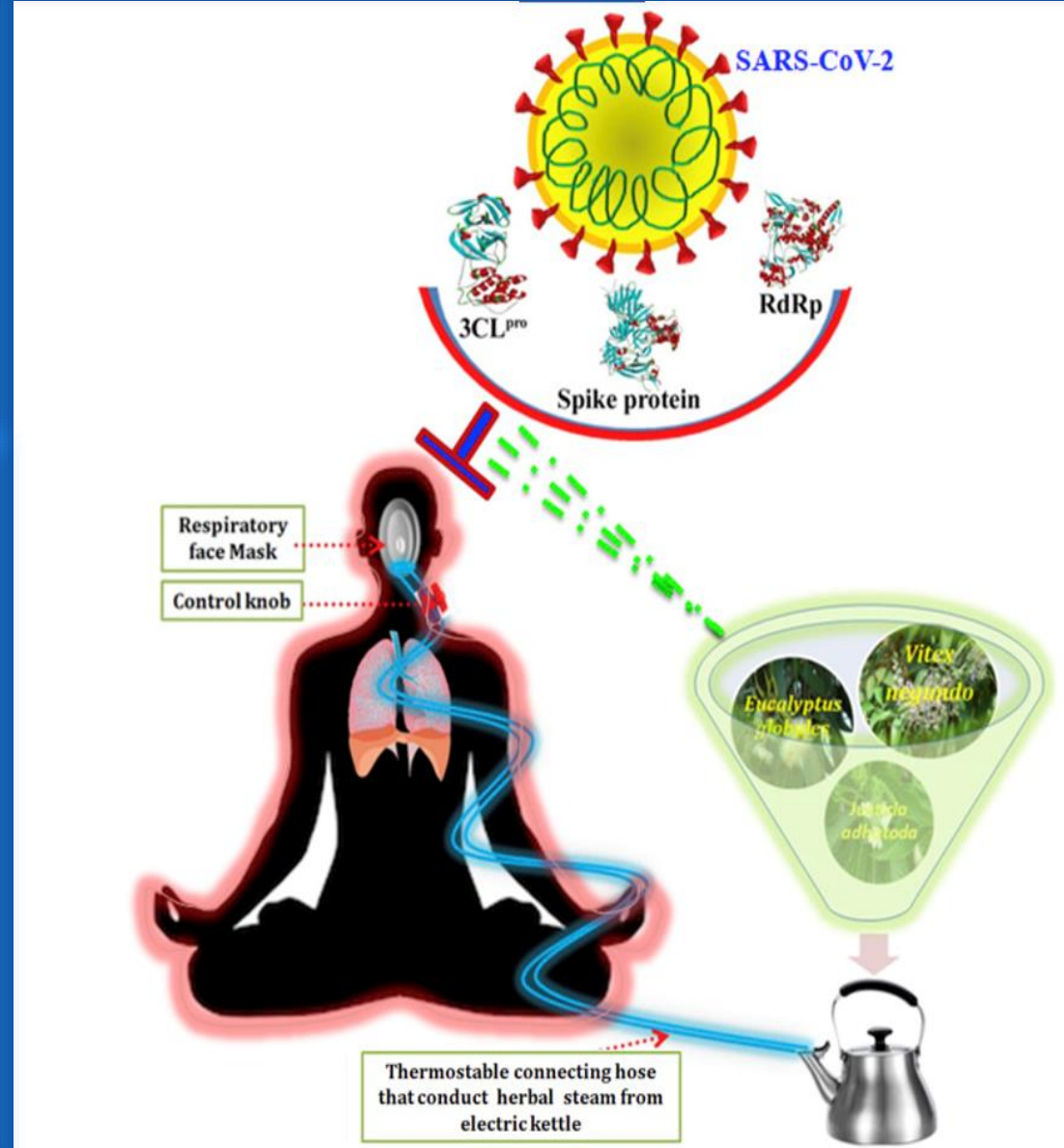
1. **M pro Proteolyse als virale Protease**, > **Apigenin**, stärker als Lopinavir verhindert die Replikation des Virus
2. **ACE-2**, > **Apigenin**, blockiert den Wirtsrezeptor ACE-2
3. **S-Protein** > **Apigenin** zeigt sehr **starke Bindungsassoziation mit dem S-Protein von SARS-CoV-2.**
4. **RdRp RNA-abhängige RNA- Polymerase zur viralen Transkription** > **Apigenin**, stärker als Remdesivir! Verhindert Transkription

Phytoliganden	MW	HBD	HBA	Log p[<5]	nRO	nViol
Apigenin-7-O-glucuronid	446.36	6	11	0,55	4	2
Ellagsäure	302.19	4	8	0,94	0	0
Vasicolinon	305.38	0	4	2,91	2	0
Anisotin	349,39	1	6	2.99	4	0
Endesmol	222.37	1	1	4.01	1	0
Viridifloren	204,36	0	0	4.19	0	0

Hinweis: MW-Molekulargewicht, HBD-Wasserstoffbrücken-Donor, HBA-Wasserstoffbrücken-Akzeptor, Log p, TPSA-Gesamtpolare Oberfläche, nRO-Zahl der drehbaren Bindung, nViol-Zahl der Verletzung.

Diese vom Liganden ausgeübten molekularen Bindungen/Wechselwirkungen sind in der Tat das unvermeidliche Element, das für biologische Funktionen und erfolgreiche Wirkstoffentwicklungen in Betracht gezogen werden muss.

1. **M pro ist ein am häufigsten anerkanntes Wirkstoffziel von SARS-CoV-2**, das zum Protein der Nsp-Familie gehört, das für die Polyproteinverarbeitung im viralen Lebenszyklus unerlässlich ist (Zhang et al., 2020). Eine Vielzahl neuer Berichte hat betont, dass die Hemmung viraler **Proteasen** ein vielversprechender Ansatz zur Behandlung des Fortschreitens der Viruserkrankung wäre (Zhang et al., 2020).
2. In ähnlicher Weise spielt **SARS-CoV-2 RdRp** auch eine zentrale Rolle bei der **viralen Transkription**, und daher würde ein Targeting auf dieses Protein die virale Maschinerie plausibel stoppen und das Virus inaktivieren.
3. Ebenso behindert **die virale Replikation durch das Targeting von M pro und RdRp**,
4. das **Blockieren des Wirtsrezeptors ACE-2** könnte letztendlich zu einer strukturellen Veränderung führen, die wiederum den Eintritt des Virus im Anfangsschritt verhindert. Von nun an wird berichtet, dass die Verbindungen, die wirksam sind, um die aktiven Stellen dieser entscheidenden Wirkstoffziele zu binden, die **Transkription hemmen, die letztendlich die virale Replikation stoppt** (Alagu Lakshmi et al., 2020 ; Joshi et al., 2020 ; Gyebi et al., 2020). .



Methylenblau hemmt die SARS-CoV-2-Spike-ACE2-Protein-Protein-Wechselwirkung - ein Mechanismus, der zu seiner antiviralen Aktivität gegen COVID-19 beitragen kann

Damir Bojadzic,¹ Oscar Alcazar,¹ und Peter Buchwald^{1,2,*}

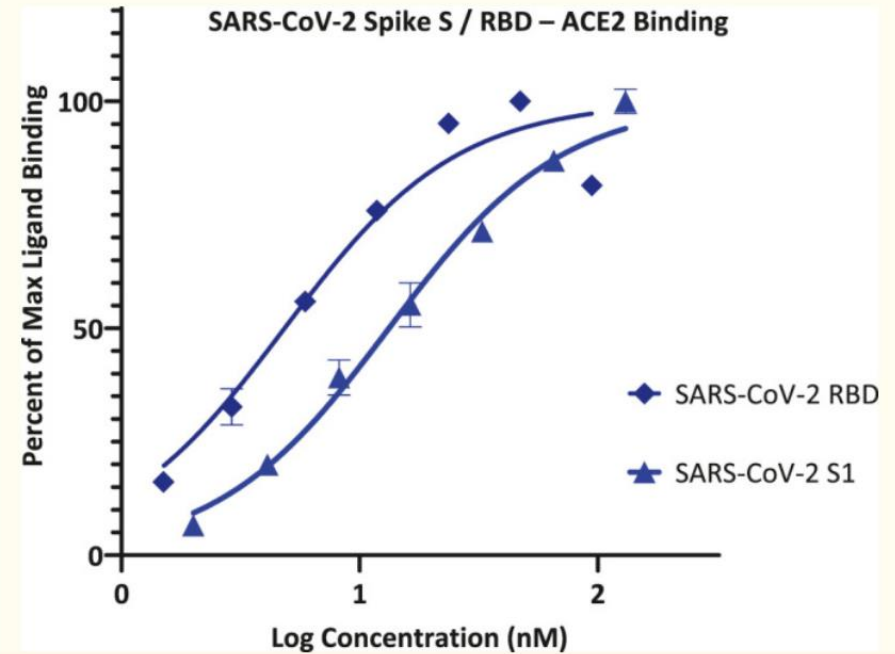
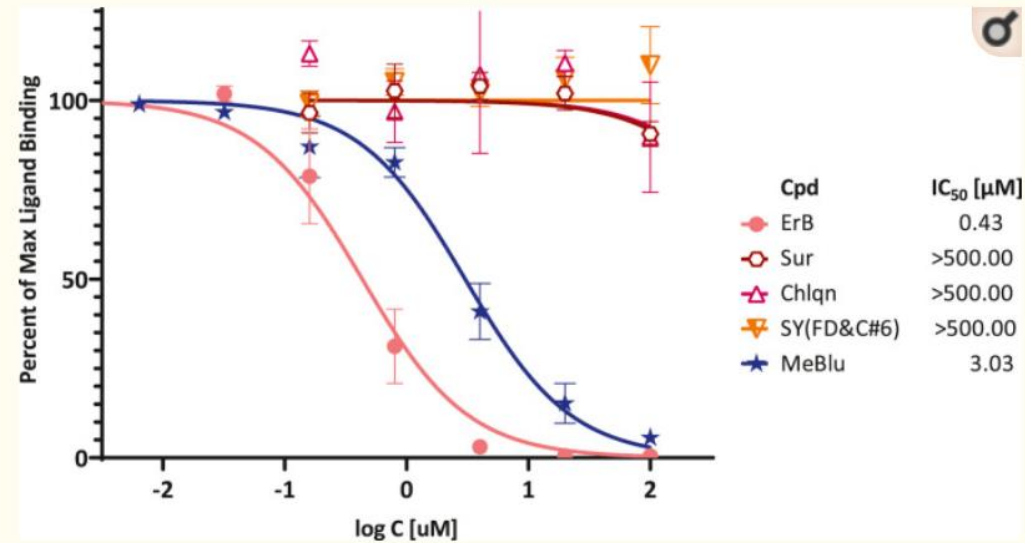


ABBILDUNG 1

Konzentrations-Reaktions-Kurven für die Bindung von SARS-CoV-2-Spike-Protein S1 und RBD an ACE2 in unserem ELISA-basierten Assay-Format. Daten, die mit Fc-konjugiertem ACE2 auf der Platte und His-markiertem S1 oder RBD erhalten wurden, wurden in zunehmenden Mengen zugegeben, wie gezeigt, wobei die gebundene Menge unter Verwendung eines Anti-His-HRP-Konjugats nachgewiesen wurde (Mittelwert ± SD für zwei Experimente in Duplikaten).

Suramin, **Chloroquin**, Trypanblue und Sunset Yellow hatten keine nennenswerte Fähigkeit das sars-cov-"Binding Protein RBD oder das SARS-COV-2- S1 Protein zu binden, jedoch **METHylen-Blau!**

Methylenblau inhibierte den Eintritt eines SARS-CoV-2-Spikes mit Pseudovirus in ACE2-exprimierende Zellen mit hohem IC₅₀ (3,5 μM). Daher könnte diese PPI-Hemmaktivität auch in Abwesenheit von Licht zu ihrer antiviralen Aktivität gegen SARS-CoV-2 beitragen, indem sie ihre **Anhaftung an ACE2-exprimierende Zellen blockiert** und dieses kostengünstige und weit verbreitete Medikament potenziell zur Vorbeugung und Behandlung von COVID nützlich macht -19 als orales oder inhalatives Medikament.

Infection-enhancing anti-SARS-CoV-2 antibodies recognize both the original Wuhan/D614G strain and Delta variants. A potential risk for mass vaccination?

Nouara Yahia • Henri Chahinian • Jacques Fantini

Published: August 09, 2021 • DOI: <https://doi.org/10.1016/j.jinf.2021.08.010>

Bei symptomatischen Covid-19 wurden **infektionsfördernde** Antikörper nachgewiesen.

-
-

Antikörperabhängige Verstärkung (ADE) ist ein potenzielles Problem für Impfstoffe.

-
-

Verstärkende Antikörper erkennen sowohl den Wuhan-Stamm als auch Delta-Varianten.

-
-

ADE von Delta-Varianten ist ein potenzielles Risiko für aktuelle Impfstoffe.

-
-

Impfstoffformulierungen ohne ADE-Epitop werden vorgeschlagen.

Bei der **Delta-Variante** haben **neutralisierende Antikörper jedoch eine verringerte Affinität** zum **Spike**-Protein, während **erleichternde Antikörper (ADE) eine auffallend erhöhte Affinität** aufweisen.

Daher kann **ADE ein Problem für Menschen sein, die Impfstoffe erhalten, die auf der ursprünglichen Wuhan-Stamm-Spike-Sequenz (entweder mRNA oder virale Vektoren) basieren**. Unter diesen Umständen sollten Impfstoffe der zweiten Generation mit Spike-Proteinformulierungen, denen strukturell konservierte ADE-bezogene Epitope fehlen, in Betracht gezogen werden.

Wuhan/D614G

Bei
Ungeimpften



Da unsere Daten zeigen, dass Delta-Varianten besonders gut von infektiösfördernden **Antikörpern (ADE)** erkannt werden, die auf die **NTD (N-terminale Domain der D-Spikeproteine)** abzielen, sollte die Möglichkeit von ADE weiter untersucht werden, da sie ein **potenzielles Risiko für eine Massenimpfung während der aktuellen Delta-Varianten-Pandemie** darstellen kann.

In dieser Hinsicht sind Impfstoffe der zweiten Generation mit Spike-Proteinformulierungen, denen **strukturell konservierte ADE-bezogene Epitope fehlen**, sollten in Betracht gezogen werden.

Delta variants

Bei Geimpften!!

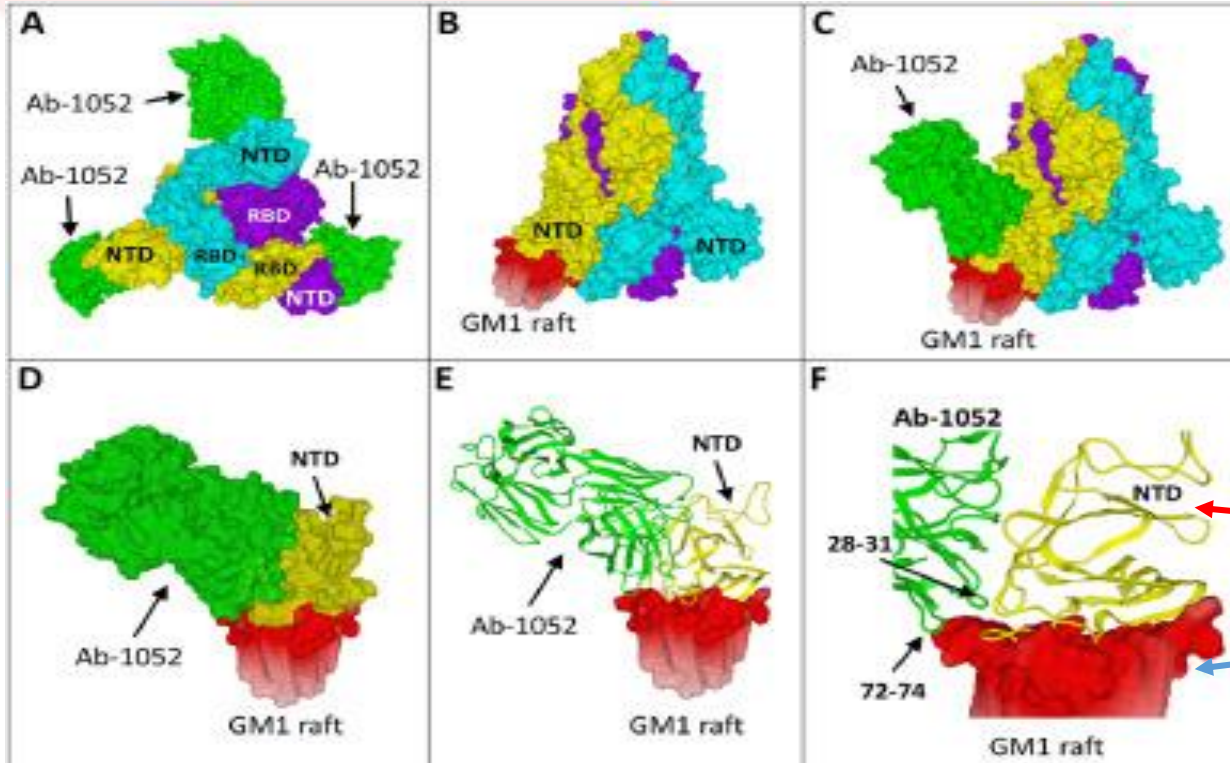


Abb. 1 **Infektionserhöhende Antikörper erkennen die NTD (N-TERMINALE Domain des S-Spikeproteines) von Delta-Varianten.** A. Molekulares Modell des Delta B.1.617.1 Spike-Trimers, gesehen von der Wirtszelloberfläche (Ketten A, B und C in Cyan, Gelb bzw. Violett), wobei NTD und RBD jeder Kette angegeben sind. Der **Antikörper 1052 ist grün.**

B. Spike-Trimer mit der B-Untereinheit, die an ein Lipid-Raft gebunden ist (mit 6 **Gangliosid-GM1-Molekülen**).

C. Trimolekularer [Spike-Antikörper-Raft]-Komplex.

D. Konzentrieren Sie sich auf den **NTD-Antikörper-Komplex**, der an das **Lipid-Raft** gebunden ist.

E. Sekundärstrukturen **des NTD (gelb)** und des **Antikörpers (grün)**, die an **Lipid-Raft-Ganglioside** gebunden sind.

F. Der **Antikörper 1052** klemmt die NTD und den Rand des Lipid-Rafts.

Durch das **Abklemmen der NTD und des Lipid-Rafts** verstärkt der Antikörper die **Anheftung des Spike-Proteins an die Zelloberfläche** und erleichtert so die Konformationsänderung der RBD, die der nächste Schritt des Virusinfektionsprozesses ist

Entwicklung von Prionen durch Spikeproteine

m RNA: **Keine** der kommerziell erhältlichen mRNA-Injektionen ist in der **synthetisch hergestellten mRNA rein und initiiert in den Ribosomen der Wirtszelle reine COVID-19-Spike-Proteine**. Die meisten dieser **30 % nicht identifizierten, halb abgebrochenen mRNA-Moleküle führen zur Herstellung von abnormalen und 100 % fremden Proteinstrukturen; einschließlich Prionen.**

Bei Tieren und Menschen dauert es einige Jahre, bis Prionen die klinische Erkrankung entwickeln, da sie in der Regel auf der Grundlage einer chronischen, degenerativen Entzündung entstehen.

Ein **Prion ist ein Protein**, das von der Zelle kodiert wird, aber entweder gutartig oder möglicherweise für den Organismus nützlich ist, daher die Erhaltung seines Gens im Genom. Selten kann es in eine **krankheitserregende oder toxische Prionenform** umgewandelt werden; der vollständige Satz von Faktoren, die eine solche Transformation verursachen, ist nicht bekannt, kann aber **physiologischen Stress** einschließen. **Prion bewirkt die Umwandlung anderer, gutartiger Formen des gleichen Proteins in die Prionform**, dh es vermehrt sich innerhalb des Organismus, und es ist auch auf andere Organismen oder manchmal auf eine **andere Spezies übertragbar**. Die bekannten Säugetier-Prionen stammen aus Amyloiden und verursachen neurale Phänotypen (Tabelle 1). Insbesondere erfordert der gesamte Infektionszyklus keine matrizengerichtete von Nukleinsäure,

- TSE gehören Karu,
- Creutzfeldt-Jakob-Krankheit,
- Gerstmann-Straussler-Scheinker Syndrom und
- tödliche familiäre Schlaflosigkeit beim Menschen sowie
- Scrapie,



Biochemical and Biophysical Research Communications

Volume 554, 21 May 2021, Pages 94-98



SARS-CoV-2 spike protein interactions with amyloidogenic proteins: Potential clues to neurodegeneration

Danish Idrees^a, Vijay Kumar^b **Spike-Protein,**

Show more

- entsteht durch die Translation der Impfstoff-RNA,
- bindet das Angiotensin-Converting-Enzym 2 (ACE2), ein zinkhaltiges Enzym.

Diese Wechselwirkung hat das **Potenzial, das intrazelluläre Zink zu erhöhen**. Es wurde gezeigt, dass Zinkionen **die Umwandlung von TDP-43 in seine pathologische Prionkonfiguration** bewirken. Es ist bekannt, dass die Faltung von **TDP-43 und FUS in ihre pathologischen Prionenbestätigungen Amyotrophe Lateralsklerose verursacht (ALS), Degeneration des vorderen Temporallappens, Parkinson, Jacob-Kreutzfeldt-Syndrom, Alzheimer-Krankheit und andere neurologische degenerative Erkrankungen.**

Die RNA-Sequenz des Impfstoffes von Pfizer sowie dessen Spike-Protein- Target- Interaktion können intrazelluläre **DNA-Bindungsprotein (TDP-43)** und **Fused in Sarcoma (FUS)** in ihre pathologischen **Prionen-Konformationen umzuwandeln.**

- Die anfängliche Bindung könnte zwischen **Spike-Proteinen auf der Oberfläche der durch den Impfstoff transfizierten Zelle und ACE2 auf der Oberfläche einer benachbarten Zelle erfolgen.**

Der resultierende Komplex kann internalisiert werden.

- Alternativ könnte die Interaktion zunächst **im Zytoplasma einer Zelle stattfinden, die ACE2 produziert und mit der für das Spike-Protein kodierenden Impfstoff-RNA transfiziert wurde**

1. Die Wechselwirkung ist angesichts der Annahme, dass das COVID-19 verursachende Virus, SARS-CoV-2, eine **Biowaffe** ist [10,11], ziemlich besorgniserregend und es ist möglich, dass das virale Spike-Protein entwickelt wurde, um eine **Prionenkrankheit** zu verursachen

2. Ein weiteres Problem besteht darin, dass der Pfizer-Impfstoff ein einzigartiges **RNA-Nukleosid 1-Methyl-3'-Pseudouridylyl (Ψ) verwendet**. Laut FDA-Briefing-Dokumenten wurde dieses Nukleosid ausgewählt, um die **Aktivierung des angeborenen Immunsystems zu reduzieren** [12]. RNA-Moleküle, die dieses Nukleosid enthalten, haben zweifellos eine veränderte Bindung [13].

3. Der Impfstoff platziert ein neuartiges Molekül, **das Spike-Protein, in/auf der Oberfläche von Wirtszellen. Dieses Spike-Protein ist ein potenzieller Rezeptor für einen anderen möglicherweise neuartigen Infektionserreger**. Wenn diejenigen, die argumentieren, dass COVID-19 tatsächlich eine Biowaffe ist, Recht haben, könnte ein zweites **potenziell gefährlicheres Virus freigesetzt werden, das Spike-Protein bindet, das auf den Wirtszellen von Impfstoffempfängern** gefunden wird.

4. Durch die Platzierung **des identischen Rezeptors**, des Spike-Proteins, auf Zellen aller in einer Population **verschwindet die genetische Vielfalt** für mindestens einen potentiellen Rezeptor. **Jeder in der Bevölkerung wird jetzt potenziell anfällig für die Bindung mit demselben Infektionserreger.**

Autoimmunität und die Gegenerkrankung, das metabolische Syndrom, sind bekannte unerwünschte Ereignisse, die durch Impfstoffe verursacht werden [14].

- Die **DARPA** hat auch Interesse daran gezeigt, die SARS-2CoV-Infektion zu einem Instrument **für die globale Kontrolle zu** machen, indem sie die schnelle Einführung von mRNA-Impfstoffen intensiv fördert, die in den 2000er Jahren bei Großtieren eine schlechte Erfolgsbilanz aufweisen.

Und die **Zusammenarbeit zwischen DARPA, NIH und dem chinesischen Militär (Wuhan-Labor)**

wurde in vielen Zeugenaussagen und Whistleblowern mehr als wahrscheinlich gemacht.

- Die aktuelle Dritte Welle (Frühjahr 2021) in Indien wird nicht durch eine neue Mutation verursacht, sondern tritt fast nur **bei zuvor geimpften Gesunden auf.**

Long-COVID-Syndrom-assoziierter Hirnnebel und Chemofog: Luteolin zur Rettung

Theoharis C. Theoharides , Christos Cholevas , Konstantinos Polyzoidis , Antonios Politis

Erstmals veröffentlicht: 12. April 2021 | <https://doi.org/10.1002/biof.1726> | Zitate: 1

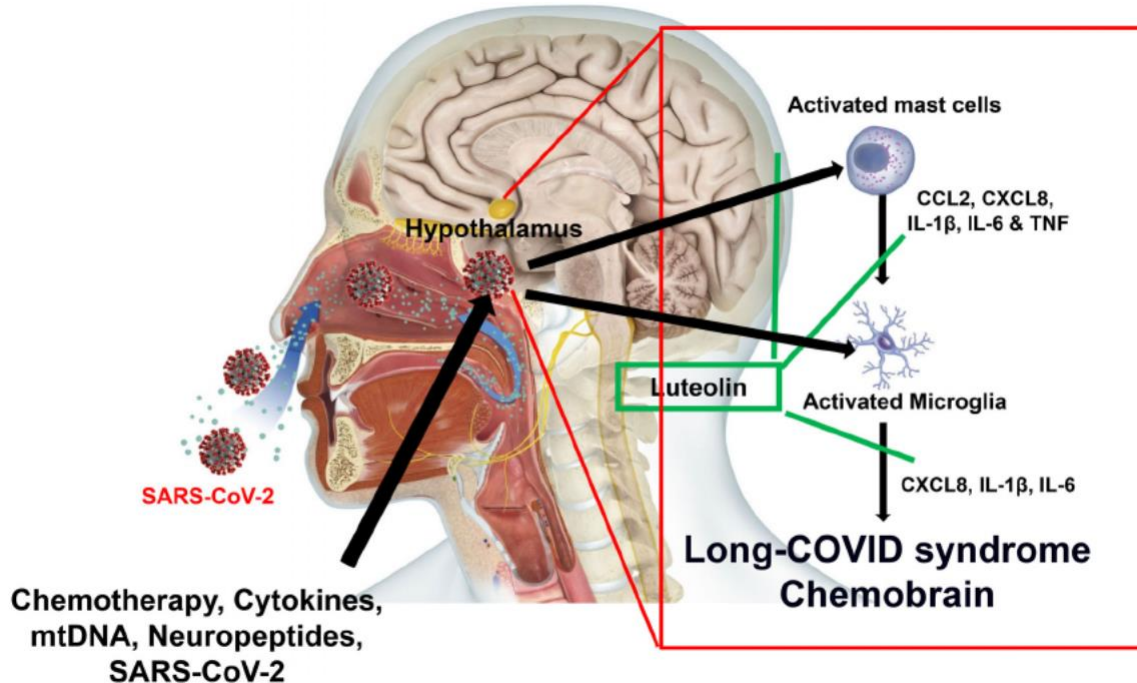


ABBILDUNG 1 Schematische Darstellung, wie SARS-CoV-2 Mastzellen und Mikroglia im Hypothalamus stimulieren könnte, gehemmt durch Luteolin. SARS-CoV-2 könnte über die Riechnervenbahn in das Gehirn eindringen und den Hypothalamus erreichen, wo es Mastzellen und Mikroglia im Gehirn zur Freisetzung entzündungsfördernder Moleküle anregen und so zu Gehirnentzündungen und Hirnnebel beitragen könnte. Die Wirkung von SARS-CoV-2 könnte durch eine Chemotherapie sowie durch Zytokine und mtDNA oder durch Neuropeptide, die bei Stress freigesetzt werden, noch verstärkt werden. Diese könnten zur Pathogenese und zu den Symptomen des Long-COVID-Syndroms und des "Chemobrain" beitragen und könnten durch das Flavonoid Luteolin verhindert werden.

Ein sinnvoller Ansatz, insbesondere bei Hirnnebel im Zusammenhang mit dem Long-COVID-Syndrom, ME/CFS, MCAS und Chemotherapie-induziertem "Chemohirn", wäre die **Hemmung der Mastzell-assozierten Neuroinflammation**.³⁸ Obwohl die Hemmung von Mastzellen bei COVID-19 oder Long-COVID-Syndrom von Vorteil sein könnte, gibt es keine wirksamen Mastzellhemmer.¹³⁶ Stattdessen könnten Mastzellen mit den **strukturell verwandten natürlichen Flavonoiden Luteolin und Quercetin**¹³⁷⁻¹⁴¹ gehemmt werden, die leicht erhältlich sind und allgemein als sicher gelten¹⁴²⁻¹⁴⁶ (Abbildung 1).

- Beide Flavonoide haben umfassende **antivirale Eigenschaften**, **hemmen das Eindringen des Virus in die Wirtszellen**,^{108,147,148}
- **hemmen die Neuroinflammation**,¹⁴⁹ und
- **verringern den kognitiven Abbau**.¹⁵⁰ Darüber hinaus dringt **Luteolin** besser in das Gehirn ein, **hemmt sowohl Mikroglia**^{151,152} **als auch Mastzellen**^{153,154} **und reduziert Berichten zufolge die Neuroinflammation**^{145,155,156} **und kognitive Dysfunktion**^{157,158}, einschließlich der **Alzheimer-Krankheit bei Menschen**^{159,160} und in Tiermodellen.¹⁶¹ Luteolin und Quercetin können nach oraler Verabreichung nur schwer absorbiert werden,¹⁶² aber ihre Pharmakokinetik wird in liposomalen Zubereitungen mit Oliventresteröl erheblich verbessert.¹⁶³ Tatsächlich wurde eine Luteolin-Formulierung in **Oliventresteröl (NeuroProtek®)** wirksam zur Verbesserung von Autismus-Spektrum-Störungen eingesetzt,^{144,164} während eine **andere (BrainGain®)** Gehirnebel reduzierte.¹⁵⁷ Diese liposomalen Formulierungen verbessern nicht nur die orale Absorption und Bioverfügbarkeit, sondern bieten auch die zusätzlichen neuroprotektiven entzündungshemmenden Wirkungen

ad III.
seelisch- psychisch –
geistiger Aspekt

Die CDC
bezeichnet
Geimpfte als
ZOMBIES

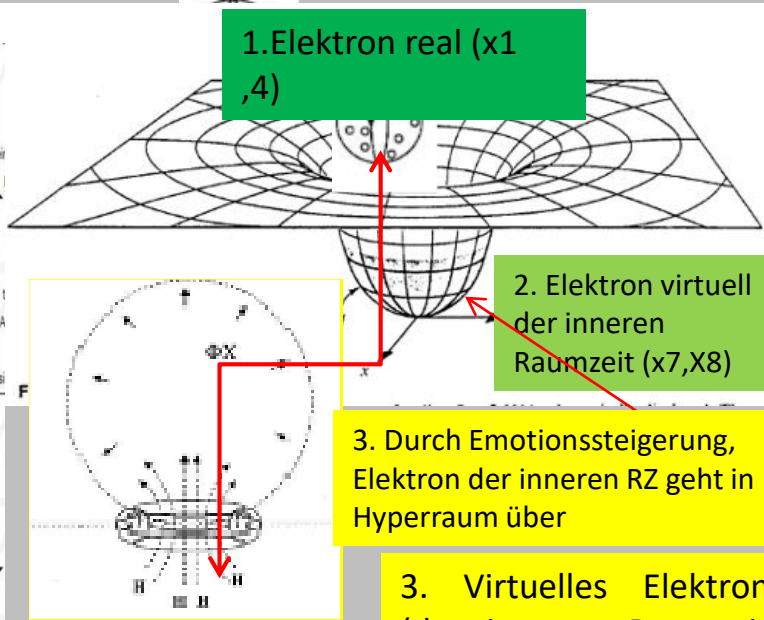
Die Impfung spaltet offenbar „Seelenanteile“ ab, die auch bezüglich der „inneren Elektronen“ deutliche Steuerungseigenschaften in Form von **Informationen**, **Bedeutung und Energie** für den Körper haben.

Abgesehen von mental-geistigen und schamanischen Techniken können über die Technische Ebene unsererseits folgende Systeme, also alle Systeme, die nach Burkhard Heim modulierenden Zugriff auf den Hyperraum m X9-x12 haben, diese bedeutungsvollen Seelenanteile offenbar wieder zurückholen:

- SCIO
- DISCONDER
- KOSYREV-SPIEGEL

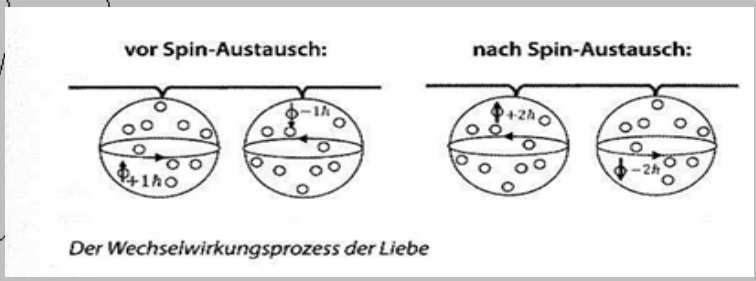
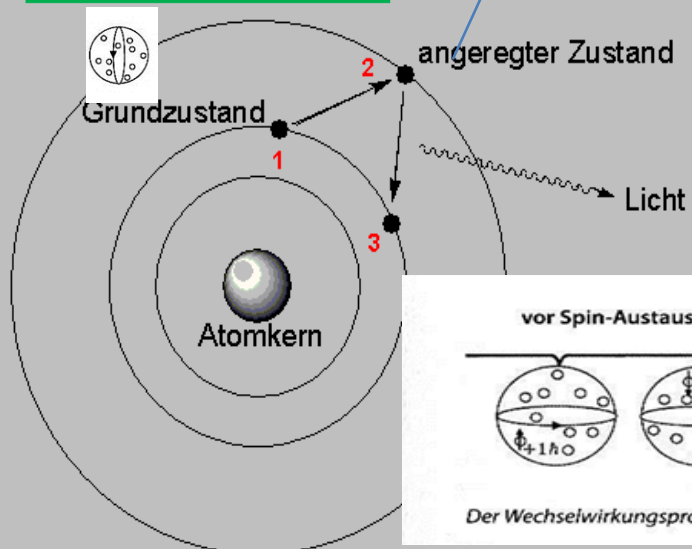


Das **Biotron** und der **Kosyrevspiegel** können spontan die für die epigentische Verbindung zwischen Kosmos und DNA so notwendige **Phantom-DNA** erzeugen und in Verbindung mit der durch die unmittelbare Umgebung unserer DNA (v.a. Histonkomplexe, Wasser, Kollagene und Umfeld) erzeugten **Fermi-Pata – Ulam Regressionen** bzw. rechtsdrehenden Torsionen, (verantwortlich für die Umsetzung von Frequenzen in Materie!) die **körperliche DNA zu etwa 50 % und mehr Korrigieren !!**



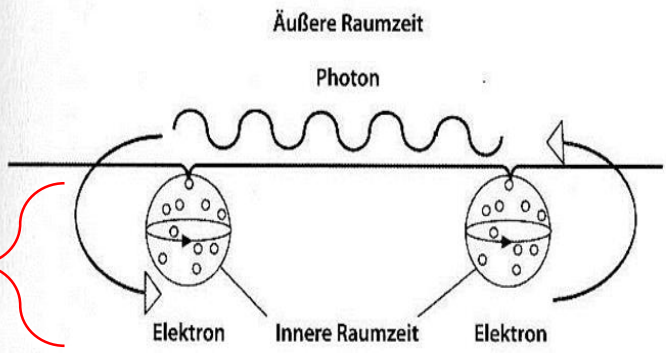
3. Virtuelles Elektron (der inneren Raumzeit löst sich auf und tankt Information und Energie aus dem Hyperraum (Blaupause des Körpers) zur Regeneration abhängig von der Emotion

1. Elektron real (x1,4)



Charons komplexe Relativitätstheorie

Abstrahlung (Emission) und Empfang (Absorption) von Photonen aus der äußeren Raumzeit



Elektronen und Positronen mit ihrem inwohnenden Photonen oder Antiphotonengas sind die kleinsten elementaren Einheiten des Bewusstseins! Alles wird in den Elektronen u Photonen abgespeichert (Gedächtnis, Erfahrung) der Austausch an Energie, Information und Spin erfolgt ständig über Absorption (Aufnahme) und Emission (Abgabe) von Photonen zwischen äusserer und innerer Raumzeit. Alles was jemals erlebt wurde wird in den inneren Photonenringen gespeichert.

Durch Gefühlsveränderung in Richtung Liebe, Spinnegativierung, Energiezunahme u Negentropie Übergang in Hyperraum um Informationen und Energie sowie neue Erfahrungen aufzunehmen

Keine Angst - CDC ist bereit



Holen Sie sich ein Kit, machen Sie einen Plan, seien Sie vorbereitet

Wenn Zombies durch die Straßen streifen würden, würde CDC wie jeder andere Krankheitsausbruch eine Untersuchung durchführen. CDC würde Städten, Staaten oder internationalen Partnern, die mit einem Zombie-Befall zu tun haben, technische Hilfe leisten. Diese Unterstützung kann Beratung, Labortests und -analysen, Patientenmanagement und -pflege, Verfolgung von Kontakten und Infektionskontrolle (einschließlich Isolierung und Quarantäne) umfassen). Es ist wahrscheinlich, dass eine Untersuchung dieses Szenarios mehrere Ziele erreichen würde: die Ursache der Krankheit, die Quelle der Infektion / des Virus / des Toxins bestimmen, lernen, wie es übertragen wird und wie leicht es sich verbreitet, wie man den Kreislauf von bricht Übertragung und verhindern so weitere Fälle, und wie Patienten am besten behandelt werden können. Wissenschaftler würden nicht nur daran arbeiten, die Ursache und Heilung des Zombie-Ausbruchs zu ermitteln, sondern CDC und andere Bundesbehörden würden medizinische Teams und Ersthelfer entsenden, um den Betroffenen zu helfen (ich werde die jungen Detektive für namenlose Krankheiten freiwillig für die Feldarbeit zur Verfügung stellen).



Rudolf Steiner (1861-1925) schrieb vor über 100 Jahren:

„In Zukunft werden wir die Seele mit Medizin beseitigen. Unter dem Vorwand einer "gesunden Sichtweise" wird es einen Impfstoff geben, mit dem der menschliche Körper so schnell wie möglich direkt bei der Geburt behandelt wird, damit der Mensch den Gedanken an die Existenz von Seele und Geist nicht entwickeln kann.

- Materialistischen Ärzten wird die Aufgabe betraut, die Seele der Menschheit zu entfernen.

Wie heute werden Menschen gegen diese Krankheit oder diese Krankheit geimpft, so dass zukünftig Kinder mit einer Substanz geimpft werden können, die genau so hergestellt werden kann, dass Menschen dank dieser Impfung immun gegen die "Wahnsinn" des geistlichen Lebens.

Er wäre extrem schlau, aber er würde kein Gewissen entwickeln, und das ist das wahre Ziel einiger materialistischer Kreise.

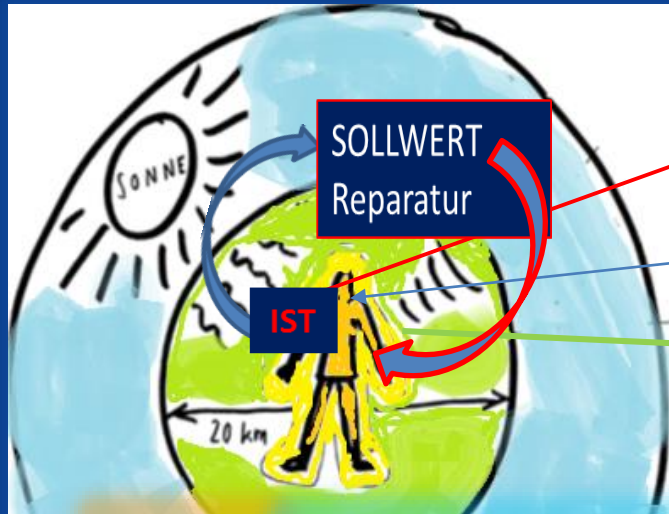
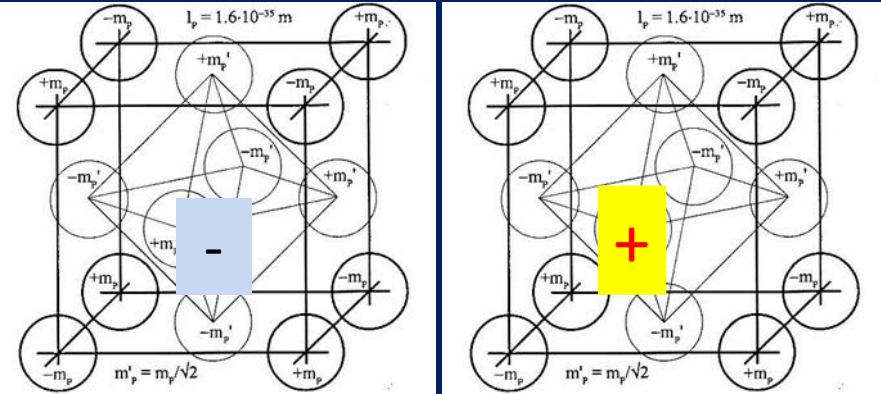
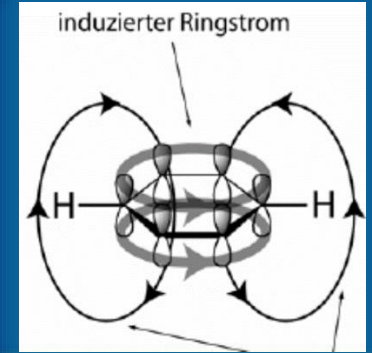
Mit so einem Impfstoff lässt sich der Ätherische Körper ganz einfach im physischen Körper verlieren.

Sobald der Ätherische Körper losgelöst ist, würde die Beziehung zwischen dem Universum und dem etherischen Körper extrem instabil werden, und der Mensch würde zum **Automaton** werden, denn der physische Körper des Menschen muss durch spirituellen Willen auf dieser Erde poliert werden.

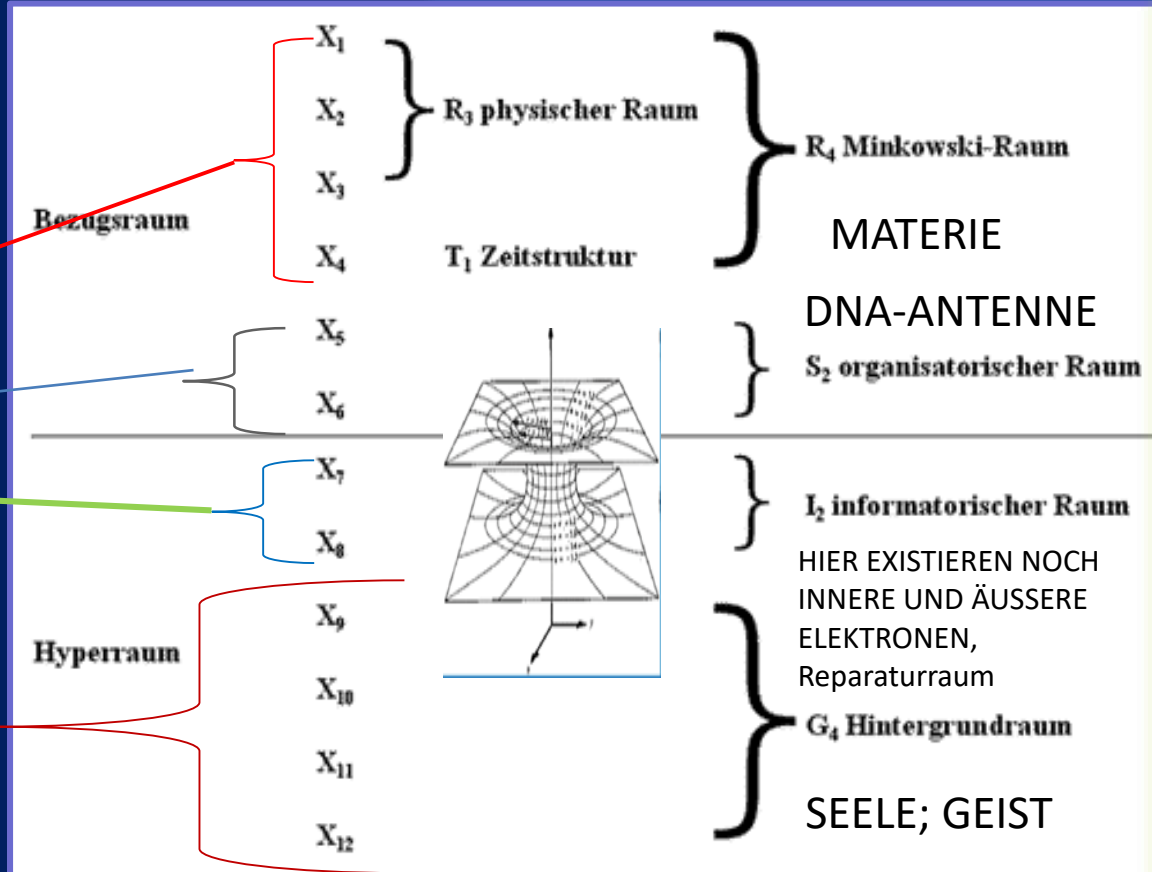
Der Impfstoff wird also zu einer Art arrymanique Kraft; der Mensch kann sich nicht mehr von einem bestimmten materialistischen Gefühl befreien. Er wird materialistisch für Verfassung und kann sich nicht mehr dem Geistigen erheben.

Gesamtsteuerung des Menschen, Schalenmodell nach Burkhard Heim

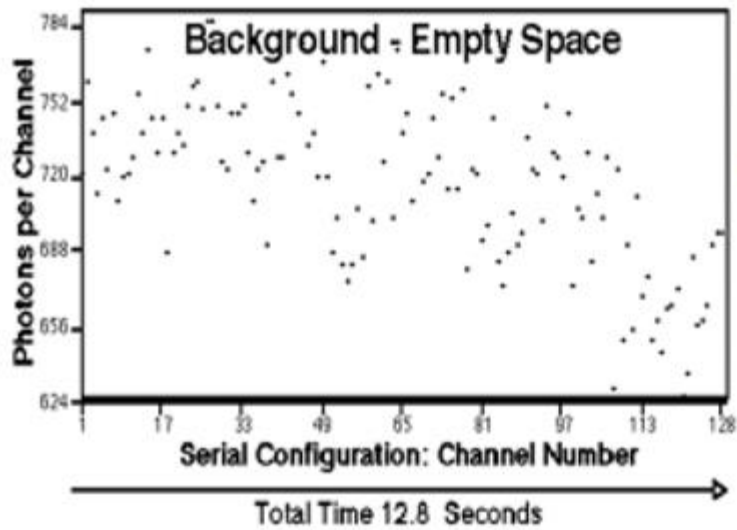
Heim arbeitete an zwei großen Problemen:
 1. an Gravitation und Feldantrieben und
 2. an einer einheitlichen Theorie der Elementarteilchen.



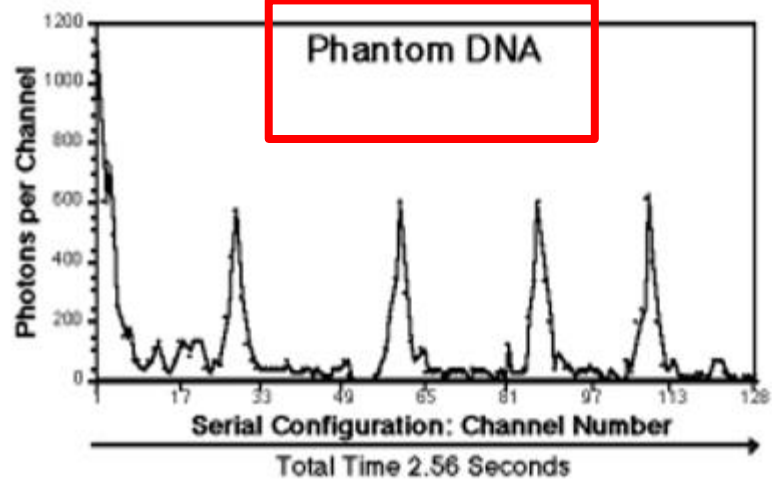
VON GARIAJEV beschriebene Phantom-DNA, als Bindeglied zwischen körperlicher DNA und Schwingungsinformationen des Kosmos



Alle Werte wurden bereits 1985 in der Vorbereitung des Teilchenbeschleunigers von CERNE auf 15 Stellen hinter dem Komma berechnet. Ständiger Austausch der Ist und Soll-wertes des Körpers durch die Antennenstruktur der DNA, ständiger 99 % Austausch zwischen Materieraum und Informationsraum zur Korrektur aller Zellen

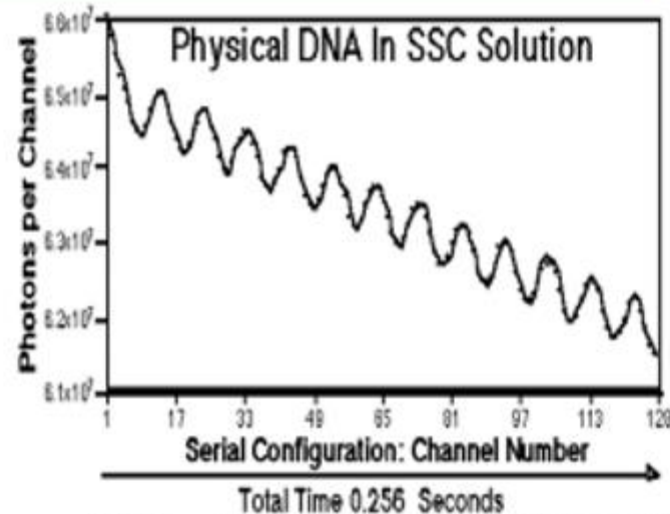


(a) MALVERN <<< K7032 >>> Version 2.1 Date 18-09-1991 Time 10:49:08
 Correlator 1 Sample Time per Channel (mS) = 100
 Auto-correlation



(a) MALVERN <<< K7032 >>> Version 2.1 Date 23-11-1992 Time 13:37:28
 Correlator 1 Sample Time per Channel (mS) = 20
 Auto-correlation

Jede DNA hat ein frequenzspezifisches Abbild der DNA, die Phantom-DNA, die Informationen des nichtmateriellen Feldes auf die materielle DNA überträgt und umgekehrt

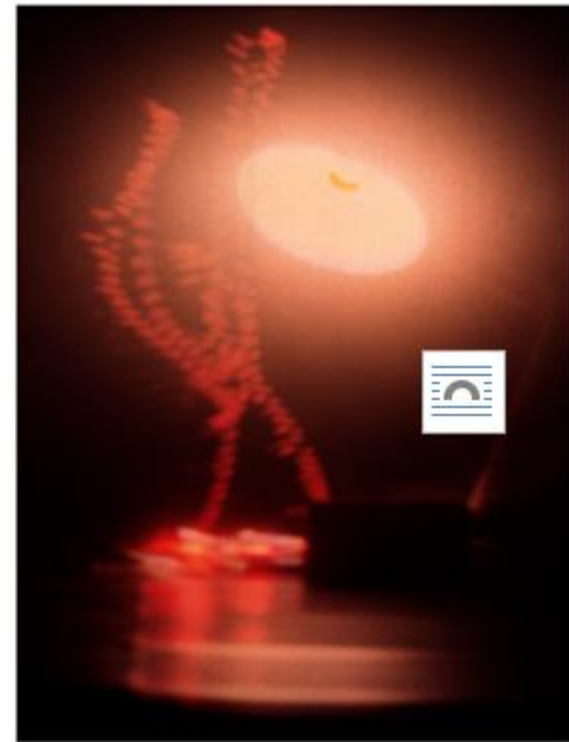


(b) MALVERN <<< K7032 >>> Version 2.1 Date 14-12-1990 Time 12:25:37
 Correlator 1 Sample Time per Channel (mS) = 2.0
 Auto-correlation

Mit Hilfe der Korrelationslaserspektroskopie kann der **DNA-Phantomeffekt** aufgezeichnet werden. Es zeigt eine bisher **unbekannte Art von DNA-Gedächtnis**.

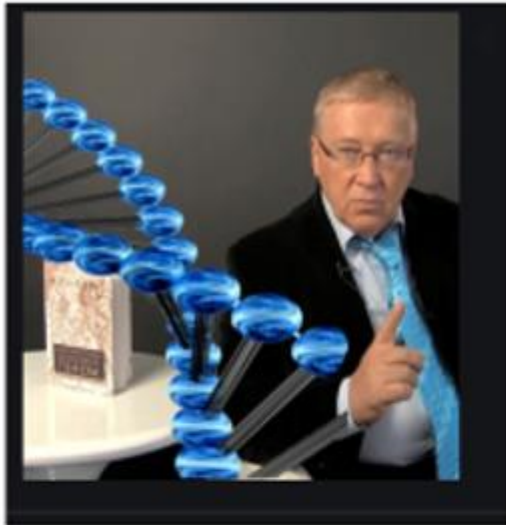
Wenn DNA aus dem Spektrometer extrahiert wird, zeichnet das Gerät weiterhin das dynamische Spektrum der DNA-Spur (Phantom) auf.

Das obere Diagramm ist der Hintergrund. Daneben befindet sich die Schwingungsdynamik einer DNA-Lösung. Unten links ist ein Phantom der DNA.



Manifestation der Fähigkeit der DNA, **Wellenrepliken** zu bilden

- DNA-Wellenrepliken werden in Form quantisierter Strukturen („Maschinengewehrband“) von der DNA-Präparation getrennt. Diffuses Leuchten.
- Eine einfache Form der Anzeige (Replikation) eines DNA-Präparats.
- Das DNA-Präparat wird durch bestimmte physikalische Felder angeregt und trennt Wellenstrukturen (Repliken) von sich, die für das Auge unsichtbar, aber durch einen Film fixiert sind.
- Wellenstrukturen (wahrscheinlich von Torsionscharakter) interagieren mit der Fotoschicht und erzeugen Photonen, die den Film beleuchten.



Der Wellengene- tische Ursprungs- code der DNA

Nach den Forschungsergebnissen des Biophysikers und Biologen Prof Pjotr Garjajev und seinem Team ist die DNA nicht nur **Sender und Empfänger elektromagnetischer Energie**, sondern nimmt auch die in der Strahlung enthaltene Information auf und interpretiert sie weiter. Die DNA ist also ein höchst komplexer **interaktiver Biochip auf Lichtbasis mit 3 Gigabits Speicherfähigkeit, der noch dazu in der Lage ist, die menschliche Sprache zu verstehen.** Sie kommuniziert auf einer **syntaktischen und semantischen Ebene**, die allen menschlichen Sprachen gemeinsam ist. Sie benutzt also zur Kommunikation einen Code, den man als Ursprache der Menschheit bezeichnen könnte

Ein Präzedenzfall für die Heilung einer "unheilbarer" **Mukoviszidose** durch die Technologie von LVH.

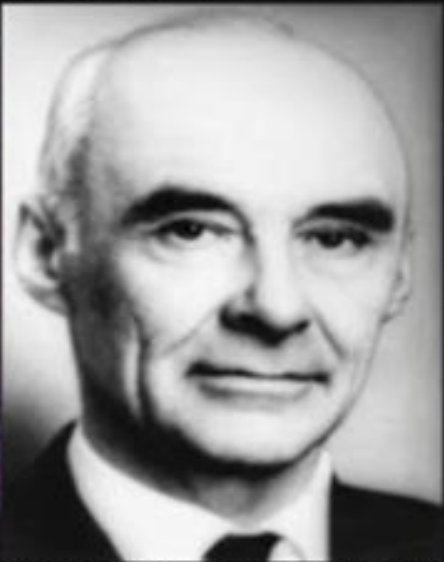
Linker Informationsspender - **gesunde Schwester** eines geheilten Mädchens Alice (rechts)

Kind mit Mucoviscidose (normalerweise Tod durch Ersticken durch Überschleimung vor dem 18. Lebensjahr) nun durch **Übertragen der Information eines gesunden Phantom-DNA – Teils** auf die kranke Schwester, Kind nun geheilt,



1. Umsetzung der Zeitwellenenergie im Kosyrevspiegel

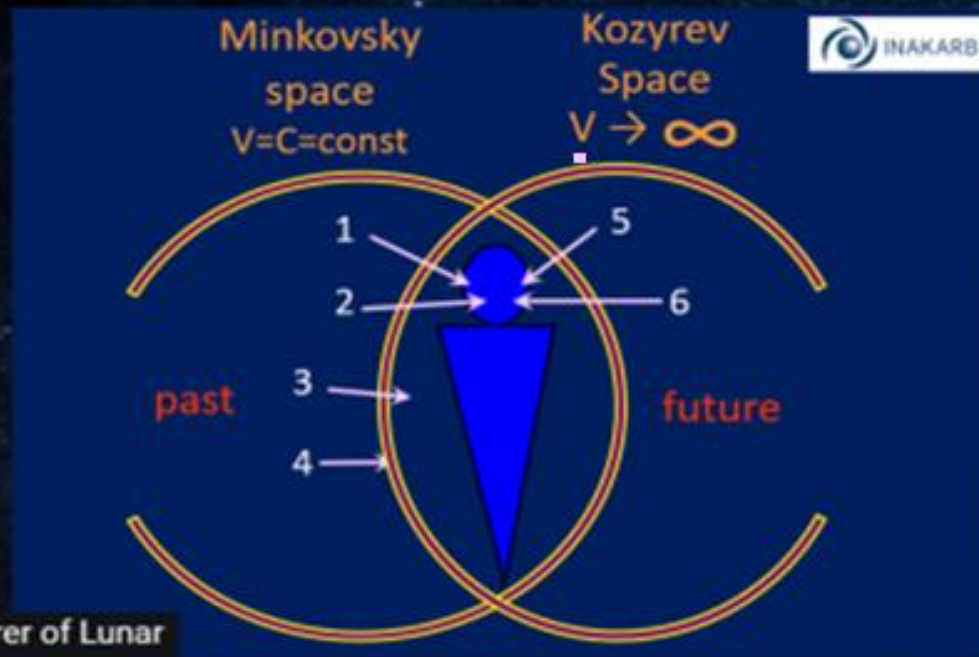
Basierend auf Kosyrevs Ideen wurden 1989 im Internationalen SRI für kosmische Anthropoökologie (ISRICA) einige **metallische Bildschirme für "Energie-Zeit" - Flüsse entworfen**, die von einem Menschen bestrahlt werden. Sie werden als "Kosyrevs Spiegel" bezeichnet.



Nikolai A. Kozyrev (1908 -1983) — Discoverer of Lunar Volcanism

Laut dem Akademiker **V.P.Kasnacheev**, befindet sich jede lebende Substanz auf der Erde, auch unser Gehirn, in einer Zonenprojektion von zwei Räumen:

1. im **Minkovsky-Einsteins** traditioneller physischer Welt und
2. in Kosyrevs Raum, in dem die **Zeit verschiedene Bewegungen und Dichte** hat.



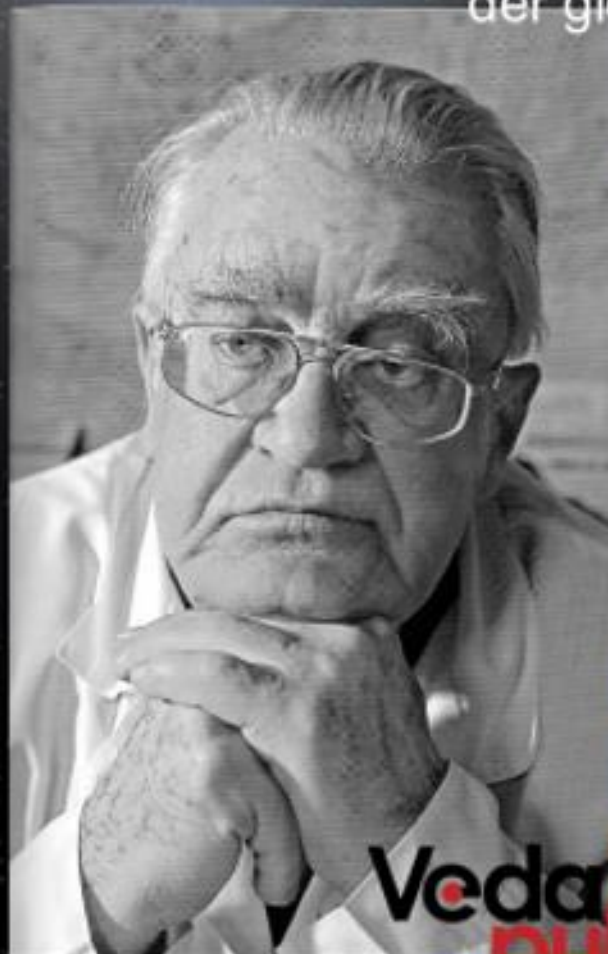
1 — Consciousness level (Aristotle lope); 2 — Subconsciousness level (Boyes logic);
3 — 'Basements' of consciousness; 4 — Man's coiporality supporting the consciousness;
5 — Metalevel (cosmic consciousness); 6 — 'Basements' of cosmic consciousness.



Schwächung
des Erdmagnet-
Feldes um das 550
bis 650 fache

*Das elektromagnetische
Feld unseres Planeten ist
schlussendlich der
Schleier, der Raum und
Zeit in unsere alltägliche
Newtonsche Realität
herunter filtert – und uns
so die menschliche
Erfahrung der linearen
Zeit ermöglicht.“*

*„Unter Ausschluss
(Abschirmung) von
elektromagnetischen Feldern
haben wir einen Zugriff auf
ein Energiefeld
›unmittelbarer Lokalität‹, das
unserer Realität unterlegt ist.
Sobald eine Person diesen
Zustand einmal erreicht hat,
bleibt ihr Bewusstsein so
ausgedehnt.“*



„... Wir legen großen Wert auf die
kosmophysikalische Rolle des Kosmos, in der das
Leben gebildet und entwickelt wurde. Es ist mit der
kosmoplanetaren Autotrophie verbunden, ... von
dem das Überleben der Menschheit in der Epoche
der globalen Veränderungen auf der Erde abhängt.,,

V.P. Kaznacheev

Innerhalb dieser
Abschirmung von
äußeren
Magnetfeldern
konnten die
Probanden
zuverlässig auf alle
Orte und Zeiten
zugreifen –
Vergangenheit,
Gegenwart und
Zukunft –
unmittelbar.

Vedat
Pulse
Pulse Analysis
Device

Mirror's experiment of 06.19.2001 INSIDE MIRRORS



Dr. I.Kuznetsova seemed to be a stalker of two projects: "Pakal Votan" and "The solar eclipse", dividing 300 days. Using special computer filters, the paradox Kirlian- photo of eclipse period, obtained in "Kozyrev's mirrors" was analyzed again.



1



2

Auf diesem Bild das in völliger Dunkelheit entstand durch automatisch funktionierende Kameras bei Beginn eines Lichtblitzes kann man deutlich die bereits von Gariaev bekannten **Phantom DNA Bilder**, die sich innerhalb des Spiegels auf der Wand abzeichneten, sehen.

Diese Phantom DNA ist in der Lage, erhebliche Informationen des gesamten Kosmos an unsere homonymen DNA-Anteile zu liefern, um diese zu korrigieren!

Dies geschieht insbesondere durch die von Kozyrev bereits beschriebene Zeitverdichtung und Aktivierung des Zeitflusses,

*Wenn Sie noch in der Lage sind, Fragen zu stellen,
dürfen Sie dies jetzt tun ...*



KONTAKT

Internationale Akademie für
Regulationsmedizin und
Bewusstseinsforschung
Bonner Straße 10 53424
Rolandseck Telefon: +49 (0)2228
91 34 50 E-Mail: info@inakarb.de

WICHTIG;

Die **INAKARB** bzw
Privatarztpraxisklinik Prof
Edinger

befindet sich ab Mitte September
in
Friedrichshafen am Bodensee
Am Flughafen 76
D- 88048 Friedrichshafen